



COMMISSARIO DELEGATO PER L'EMERGENZA
 DETERMINATASI NEL SETTORE DEL TRAFFICO E DELLA MOBILITÀ NEL
 TERRITORIO DELLE PROVINCE DI TREVISO E VICENZA

SUPERSTRADA A PEDAGGIO PEDEMONTANA VENETA

CONCESSIONARIO



SPV srl
 Via Inverio, 24/A
 10146 Torino

Società di progetto ai sensi dell'art. 156 D.LGS 163/06
 subentrato all'ATI



SIS Scpa
 Via Inverio, 24/A
 10146 Torino

Consorzio Stabile fra le Imprese:



SACYR S.A.



INC S.p.A.

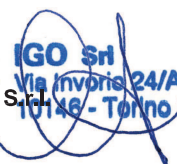


SIPAL S.p.A.



INFRASTRUCTURAS S.A.
 Paseo de la Castellana, 83-85
 28046 Madrid

PROGETTISTA



Ingegneria Grandi Opere S.r.l.
 Via Inverio, 24/A
 10146 Torino

RESPONSABILE PROGETTAZIONE



**ORDINE DEGLI INGEGNERI
 DELLA PROVINCIA DI CUNEO**
 1211 *Dott. Ing. Claudio Dogliani*

RESPONSABILE INTEGRAZIONE PRESTAZIONI SPECIALISTICHE



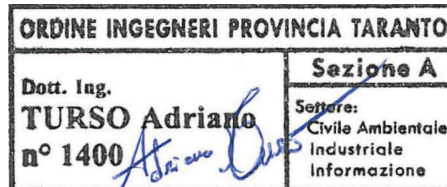
SUPPORTO ALLA PROGETTAZIONE DELL'INFRASTRUTTURA E DELLE OPERE CIVILI



COORDINATORE PER LA SICUREZZA IN FASE DI PROGETTAZIONE



GEOLOGO



N. Progr. _____
 Carrella N. _____

PROGETTO DEFINITIVO

(C.U.P. H51B03000050009)

LOTTO 3 - TRATTA "F"
 dal Km. 54+755 al Km 55+495

TITOLO ELABORATO:

**PROGETTO DELL'INFRASTRUTTURA
 OPERE D'ARTE MINORI: OPERE DI SOSTEGNO
 MURO PREFABBRICATO - SV. RIESE - MU.3F.005.N
 Relazione di calcolo del muro**

P V D S R A P M U 3 F 0 0 5 - 0 0 1 N 0 0 1 R A 0

SCALA: -

REV.	DESCRIZIONE	REDATTO	DATA	VERIFICATO	DATA	APPROVATO	DATA
0	PRIMA EMISSIONE	SICS	05/03/2012	IGO	09/03/2012	SIS	14/03/2012

IL RESPONSABILE DEL PROCEDIMENTO:

Ing. Giuseppe FASIOL

IL COMMISSARIO:

Ing. Silvano VERNIZZI

VALIDAZIONE:

PROTOCOLLO : _____

DEL: _____

**COMMISSARIO DELEGATO PER L'EMERGENZA DETERMINATASI NEL
SETTORE DEL TRAFFICO E DELLA MOBILITA' NEL TERRITORIO
DELLE PROVINCE DI TREVISO E VICENZA**

**SUPERSTRADA A PEDAGGIO
PEDEMONTANA VENETA**

PROGETTO DEFINITIVO

**OPERE D'ARTE MINORI: OPERE DI SOSTEGNO
Muro MU.3F.05.N
Relazione di calcolo del muro**

INDICE

INDICE	2
1. DESCRIZIONE DELL'OPERA.....	3
2. ESAME DEI RISULTATI.....	4
2.1. TRATTO F	4
2.1.1. TIPO F3 - MURO TRATTO F CON ALTEZZA FUORI TERRA DI 4M	4
2.1.2. TIPO F4 - MURO TRATTO F CON ALTEZZA FUORI TERRA DI 5M	41
2.1.3. TIPO F5 - MURO TRATTO F CON ALTEZZA FUORI TERRA DI 6M	78
2.1.4. TIPO GETTATO IN OPERA - ALTEZZA FUORI TERRA H < 5.50M	115

1. DESCRIZIONE DELL'OPERA

Nel presente elaborato sono riportati i calcoli statici (ottenuti mediante l'utilizzo del programma **MAX10.0**[®] Rel. 10.05a del 2010, distribuita dalla società AZTEC) delle strutture in calcestruzzo armato relativi alla realizzazione dei muri di controripa in c.a. compresi tra il km 54+755 e il km 55+495 della tratta F del lotto 3F della Superstrada a pedaggio Pedemontana Veneta.

L'opera sarà realizzata mediante una piastra di fondazione sulla quale si innesteranno i paramenti verticali costituiti da lastre prefabbricate in cemento armato, a spessore costante, o in cemento armato gettato in opera, solidarizzate tramite un cordolo di collegamento in testa, secondo quanto indicato negli elaborati grafici di progetto.

2. ESAME DEI RISULTATI

2.1. TRATTO F

2.1.1. Tipo F3 - Muro tratto F con altezza fuori terra di 4m

Normativa

N.T.C. 2008 - Approccio 1

Simbologia adottata

γ_{Gsfav}	Coefficiente parziale sfavorevole sulle azioni permanenti
γ_{Gfav}	Coefficiente parziale favorevole sulle azioni permanenti
γ_{Qsfav}	Coefficiente parziale sfavorevole sulle azioni variabili
γ_{Qfav}	Coefficiente parziale favorevole sulle azioni variabili
$\gamma_{tan\phi'}$	Coefficiente parziale di riduzione dell'angolo di attrito drenato
$\gamma_{c'}$	Coefficiente parziale di riduzione della coesione drenata
γ_{cu}	Coefficiente parziale di riduzione della coesione non drenata
γ_{qu}	Coefficiente parziale di riduzione del carico ultimo
γ_{γ}	Coefficiente parziale di riduzione della resistenza a compressione uniassiale delle rocce

Coefficienti di partecipazione combinazioni statiche

Coefficienti parziali per le azioni o per l'effetto delle azioni:

Carichi	Effetto		A1	A2	EQU	HYD
Permanenti	Favorevole	γ_{Gfav}	1.00	1.00	0.90	0.90
Permanenti	Sfavorevole	γ_{Gsfav}	1.30	1.00	1.10	1.30
Variabili	Favorevole	γ_{Qfav}	0.00	0.00	0.00	0.00
Variabili	Sfavorevole	γ_{Qsfav}	1.50	1.30	1.50	1.50

Coefficienti parziali per i parametri geotecnici del terreno:

Parametri		M1	M2	M2	M1
Tangente dell'angolo di attrito	$\gamma_{tan\phi'}$	1.00	1.25	1.25	1.00
Coesione efficace	$\gamma_{c'}$	1.00	1.25	1.25	1.00
Resistenza non drenata	γ_{cu}	1.00	1.40	1.40	1.00
Resistenza a compressione uniassiale	γ_{qu}	1.00	1.60	1.60	1.00
Peso dell'unità di volume	γ_{γ}	1.00	1.00	1.00	1.00

Coefficienti di partecipazione combinazioni sismiche

Coefficienti parziali per le azioni o per l'effetto delle azioni:

Carichi	Effetto		A1	A2	EQU	HYD
Permanenti	Favorevole	γ_{Gfav}	1.00	1.00	1.00	0.90
Permanenti	Sfavorevole	γ_{Gsfav}	1.00	1.00	1.00	1.30
Variabili	Favorevole	γ_{Qfav}	0.00	0.00	0.00	0.00
Variabili	Sfavorevole	γ_{Qsfav}	1.00	1.00	1.00	1.50

Coefficienti parziali per i parametri geotecnici del terreno:

Parametri		M1	M2	M2	M1
Tangente dell'angolo di attrito	$\gamma_{tan\phi'}$	1.00	1.25	1.25	1.00
Coesione efficace	$\gamma_{c'}$	1.00	1.25	1.25	1.00
Resistenza non drenata	γ_{cu}	1.00	1.40	1.40	1.00
Resistenza a compressione uniassiale	γ_{qu}	1.00	1.60	1.60	1.00
Peso dell'unità di volume	γ_{γ}	1.00	1.00	1.00	1.00

FONDAZIONE SUPERFICIALE

Coefficienti parziali γ_R per le verifiche agli stati limite ultimi STR e GEO

PV_D_SR_AP_MU_3_F_005-_001_N_001_R_A_0

Muro MU.3F.05.N – Relazione di Calcolo

Verifica

Coefficienti parziali

	R1	R2	R3
Capacità portante della fondazione	1.00	1.00	1.40
Scorrimento	1.00	1.00	1.10
Resistenza del terreno a valle	1.00	1.00	1.40
Stabilità globale		1.10	

Geometria muro e fondazione

Descrizione

Muro a mensola in c.a.

Altezza del paramento	4.00 [m]
Spessore in sommità	0.15 [m]
Spessore all'attacco con la fondazione	0.15 [m]
Inclinazione paramento esterno	0.00 [°]
Inclinazione paramento interno	0.00 [°]

Fondazione

Lunghezza mensola fondazione di valle	0.50 [m]
Lunghezza mensola fondazione di monte	2.15 [m]
Lunghezza totale fondazione	2.80 [m]
Inclinazione piano di posa della fondazione	0.00 [°]
Spessore fondazione	0.50 [m]
Spessore magrone	0.10 [m]

Contrafforti prefabbricati

Altezza contrafforti	4.00 [m]
Spessore contrafforti	0.20 [m]
Larghezza in sommità	0.20 [m]
Larghezza alla base	0.63 [m]
Larghezza elemento	1.20 [m]
Numero contrafforti	8
Posizione :	Monte

Materiali utilizzati per la strutturaCalcestruzzo

Peso specifico	25.000 [kN/mc]
Classe di Resistenza	C25/30
Resistenza caratteristica a compressione R_{ck}	30.00 [N/mm ²]
Modulo elastico E	31447.048 [N/mm ²]

Acciaio

Tipo	B450C
Tensione di snervamento σ_{fa}	449.94 [N/mm ²]

Geometria profilo terreno a monte del muroSimbologia adottata e sistema di riferimento

(Sistema di riferimento con origine in testa al muro, ascissa X positiva verso monte, ordinata Y positiva verso l'alto)

N numero ordine del punto

X ascissa del punto espressa in [m]

Y ordinata del punto espressa in [m]

A inclinazione del tratto espressa in [°]

N	X	Y	A
1	1.35	0.00	0.00
2	9.67	5.00	31.00
3	30.00	5.00	0.00

PV_D_SR_AP_MU_3_F_005-_001_N_001_R_A_0

Muro MU.3F.05.N – Relazione di Calcolo

Terreno a valle del muro

Inclinazione terreno a valle del muro rispetto all'orizzontale	0.00	[°]
Altezza del rinterro rispetto all'attacco fondaz.valle-paramento	0.60	[m]

Descrizione terreni*Simbologia adottata*

Nr.	Indice del terreno
Descrizione	Descrizione terreno
γ	Peso di volume del terreno espresso in [kN/mc]
γ_s	Peso di volume saturo del terreno espresso in [kN/mc]
ϕ	Angolo d'attrito interno espresso in [°]
δ	Angolo d'attrito terra-muro espresso in [°]
c	Coesione espressa in [N/mm ^q]
c_a	Adesione terra-muro espressa in [N/mm ^q]

Descrizione	γ	γ_s	ϕ	δ	c	c_a
AL1	18.00	18.00	35.00	23.33	0.0000	0.0000
AL3 - Paramento	19.00	19.00	40.00	26.67	0.0020	0.0000
AL3 - Fondazione	20.00	20.00	40.00	40.00	0.0020	0.0000

Stratigrafia*Simbologia adottata*

N	Indice dello strato
H	Spessore dello strato espresso in [m]
a	Inclinazione espressa in [°]
Kw	Costante di Winkler orizzontale espressa in Kg/cm ² /cm
Ks	Coefficiente di spinta
Terreno	Terreno dello strato

Nr.	H	a	Kw	Ks	Terreno
1	0.10	0.00	0.00	0.00	AL1
2	20.00	0.00	16.69	0.00	AL3 - Fondazione

Terreno di riempimento AL3 - Paramento

Condizioni di carico*Simbologia e convenzioni di segno adottate*

Carichi verticali positivi verso il basso.

Carichi orizzontali positivi verso sinistra.

Momento positivo senso antiorario.

X	Ascissa del punto di applicazione del carico concentrato espressa in [m]
F_x	Componente orizzontale del carico concentrato espressa in [kN]
F_y	Componente verticale del carico concentrato espressa in [kN]
M	Momento espresso in [kNm]
X_i	Ascissa del punto iniziale del carico ripartito espressa in [m]
X_f	Ascissa del punto finale del carico ripartito espressa in [m]
Q_i	Intensità del carico per $x=X_i$ espressa in [kN/m]
Q_f	Intensità del carico per $x=X_f$ espressa in [kN/m]
D / C	Tipo carico : D=distribuito C=concentrato

Condizione n° 1 (Vento)

C	Paramento	X=0.00	Y=0.00	$F_x=3.0000$	$F_y=0.0000$	M=6.0000
---	-----------	--------	--------	--------------	--------------	----------

Descrizione combinazioni di carico*Simbologia adottata*

F/S	Effetto dell'azione (FAV: Favorevole, SFAV: Sfavorevole)
γ	Coefficiente di partecipazione della condizione
Ψ	Coefficiente di combinazione della condizione

PV_D_SR_AP_MU_3_F_005-_001_N_001_R_A_0

Muro MU.3F.05.N – Relazione di CalcoloCombinazione n° 1 - Caso A1-M1 (STR)

	S/F	γ	Ψ	$\gamma * \Psi$
Peso proprio muro	FAV	1.00	1.00	1.00
Peso proprio terrapieno	FAV	1.00	1.00	1.00
Spinta terreno	SFAV	1.30	1.00	1.30

Combinazione n° 2 - Caso A2-M2 (GEO)

	S/F	γ	Ψ	$\gamma * \Psi$
Peso proprio muro	SFAV	1.00	1.00	1.00
Peso proprio terrapieno	SFAV	1.00	1.00	1.00
Spinta terreno	SFAV	1.00	1.00	1.00

Combinazione n° 3 - Caso EQU (SLU)

	S/F	γ	Ψ	$\gamma * \Psi$
Peso proprio muro	FAV	0.90	1.00	0.90
Peso proprio terrapieno	FAV	0.90	1.00	0.90
Spinta terreno	SFAV	1.10	1.00	1.10

Combinazione n° 4 - Caso A2-M2 (GEO-STAB)

	S/F	γ	Ψ	$\gamma * \Psi$
Peso proprio muro	SFAV	1.00	1.00	1.00
Peso proprio terrapieno	SFAV	1.00	1.00	1.00
Spinta terreno	SFAV	1.00	1.00	1.00

Combinazione n° 5 - Caso A1-M1 (STR)

	S/F	γ	Ψ	$\gamma * \Psi$
Peso proprio muro	FAV	1.00	1.00	1.00
Peso proprio terrapieno	FAV	1.00	1.00	1.00
Spinta terreno	SFAV	1.30	1.00	1.30
Vento	SFAV	1.50	1.00	1.50

Combinazione n° 6 - Caso A2-M2 (GEO)

	S/F	γ	Ψ	$\gamma * \Psi$
Peso proprio muro	SFAV	1.00	1.00	1.00
Peso proprio terrapieno	SFAV	1.00	1.00	1.00
Spinta terreno	SFAV	1.00	1.00	1.00
Vento	SFAV	1.30	1.00	1.30

Combinazione n° 7 - Caso EQU (SLU)

	S/F	γ	Ψ	$\gamma * \Psi$
Peso proprio muro	FAV	0.90	1.00	0.90
Peso proprio terrapieno	FAV	0.90	1.00	0.90
Spinta terreno	SFAV	1.10	1.00	1.10
Vento	SFAV	1.50	1.00	1.50

Combinazione n° 8 - Caso A2-M2 (GEO-STAB)

	S/F	γ	Ψ	$\gamma * \Psi$
Peso proprio muro	SFAV	1.00	1.00	1.00
Peso proprio terrapieno	SFAV	1.00	1.00	1.00
Spinta terreno	SFAV	1.00	1.00	1.00
Vento	SFAV	1.30	1.00	1.30

Combinazione n° 9 - Caso A1-M1 (STR) - Sisma Vert. positivo

	S/F	γ	Ψ	$\gamma * \Psi$
Peso proprio muro	SFAV	1.00	1.00	1.00
Peso proprio terrapieno	SFAV	1.00	1.00	1.00
Spinta terreno	SFAV	1.00	1.00	1.00

Combinazione n° 10 - Caso A1-M1 (STR) - Sisma Vert. negativo

PV_D_SR_AP_MU_3_F_005-_001_N_001_R_A_0

Muro MU.3F.05.N – Relazione di Calcolo

	S/F	γ	Ψ	$\gamma * \Psi$
Peso proprio muro	SFAV	1.00	1.00	1.00
Peso proprio terrapieno	SFAV	1.00	1.00	1.00
Spinta terreno	SFAV	1.00	1.00	1.00

Combinazione n° 11 - Caso A2-M2 (GEO) - Sisma Vert. positivo

	S/F	γ	Ψ	$\gamma * \Psi$
Peso proprio muro	SFAV	1.00	1.00	1.00
Peso proprio terrapieno	SFAV	1.00	1.00	1.00
Spinta terreno	SFAV	1.00	1.00	1.00

Combinazione n° 12 - Caso A2-M2 (GEO) - Sisma Vert. negativo

	S/F	γ	Ψ	$\gamma * \Psi$
Peso proprio muro	SFAV	1.00	1.00	1.00
Peso proprio terrapieno	SFAV	1.00	1.00	1.00
Spinta terreno	SFAV	1.00	1.00	1.00

Combinazione n° 13 - Caso EQU (SLU) - Sisma Vert. positivo

	S/F	γ	Ψ	$\gamma * \Psi$
Peso proprio muro	FAV	1.00	1.00	1.00
Peso proprio terrapieno	FAV	1.00	1.00	1.00
Spinta terreno	SFAV	1.00	1.00	1.00

Combinazione n° 14 - Caso EQU (SLU) - Sisma Vert. negativo

	S/F	γ	Ψ	$\gamma * \Psi$
Peso proprio muro	FAV	1.00	1.00	1.00
Peso proprio terrapieno	FAV	1.00	1.00	1.00
Spinta terreno	SFAV	1.00	1.00	1.00

Combinazione n° 15 - Caso A2-M2 (GEO-STAB) - Sisma Vert. positivo

	S/F	γ	Ψ	$\gamma * \Psi$
Peso proprio muro	SFAV	1.00	1.00	1.00
Peso proprio terrapieno	SFAV	1.00	1.00	1.00
Spinta terreno	SFAV	1.00	1.00	1.00

Combinazione n° 16 - Caso A2-M2 (GEO-STAB) - Sisma Vert. negativo

	S/F	γ	Ψ	$\gamma * \Psi$
Peso proprio muro	SFAV	1.00	1.00	1.00
Peso proprio terrapieno	SFAV	1.00	1.00	1.00
Spinta terreno	SFAV	1.00	1.00	1.00

Combinazione n° 17 - Quasi Permanente (SLE)

	S/F	γ	Ψ	$\gamma * \Psi$
Peso proprio muro	--	1.00	1.00	1.00
Peso proprio terrapieno	--	1.00	1.00	1.00
Spinta terreno	--	1.00	1.00	1.00
Vento	SFAV	1.00	1.00	1.00

Combinazione n° 18 - Frequente (SLE)

	S/F	γ	Ψ	$\gamma * \Psi$
Peso proprio muro	--	1.00	1.00	1.00
Peso proprio terrapieno	--	1.00	1.00	1.00
Spinta terreno	--	1.00	1.00	1.00
Vento	SFAV	1.00	1.00	1.00

Combinazione n° 19 - Rara (SLE)

	S/F	γ	Ψ	$\gamma * \Psi$
Peso proprio muro	--	1.00	1.00	1.00
Peso proprio terrapieno	--	1.00	1.00	1.00
Spinta terreno	--	1.00	1.00	1.00

PV_D_SR_AP_MU_3_F_005-_001_N_001_R_A_0

Muro MU.3F.05.N – Relazione di Calcolo

Vento SFAV 1.00 1.00 1.00

Impostazioni di analisi

Metodo verifica sezioni

Stato limite**Impostazioni verifiche SLU**Coefficienti parziali per resistenze di calcolo dei materiali

Coefficiente di sicurezza calcestruzzo a compressione	1.60
Coefficiente di sicurezza calcestruzzo a trazione	1.60
Coefficiente di sicurezza acciaio	1.15
Fattore riduzione da resistenza cubica a cilindrica	0.83
Fattore di riduzione per carichi di lungo periodo	0.85
Coefficiente di sicurezza per la sezione	1.00

Impostazioni verifiche SLE

Condizioni ambientali

Ordinarie

Armatura ad aderenza migliorata

Verifica fessurazione

Sensibilità delle armature

Sensibile

Valori limite delle aperture delle fessure

 $w_1 = 0.20$ $w_2 = 0.30$ $w_3 = 0.40$

Metodo di calcolo aperture delle fessure

Circ. Min. 252 (15/10/1996)

Verifica delle tensioni

Combinazione di carico

Rara $\sigma_c < 0.60 f_{ck}$ - $\sigma_f < 0.80 f_{yk}$ Quasi permanente $\sigma_c < 0.45 f_{ck}$ Calcolo della portanza metodo di VesicCoefficiente correttivo su N_y per effetti cinematici (combinazioni sismiche SLU): 1.00Coefficiente correttivo su N_y per effetti cinematici (combinazioni sismiche SLE): 1.00**Impostazioni avanzate**

Componente verticale della spinta nel calcolo delle sollecitazioni

Influenza del terreno sulla fondazione di valle nelle verifiche e nel calcolo delle sollecitazioni

Diagramma correttivo per eccentricità negativa con aliquota di parzializzazione pari a 0.00

Quadro riassuntivo coeff. di sicurezza calcolatiSimbologia adottata

C	Identificativo della combinazione
Tipo	Tipo combinazione
Sisma	Combinazione sismica
CS_{SCO}	Coeff. di sicurezza allo scorrimento
CS_{RIB}	Coeff. di sicurezza al ribaltamento
CS_{QLIM}	Coeff. di sicurezza a carico limite
CS_{STAB}	Coeff. di sicurezza a stabilità globale

C	Tipo	Sisma	CS_{SCO}	CS_{RIB}	CS_{qlim}	CS_{stab}
1	A1-M1 - [1]	--	3.33	--	20.47	--
2	A2-M2 - [1]	--	2.20	--	6.14	--
3	EQU - [1]	--	--	2.61	--	--
4	STAB - [1]	--	--	--	--	1.83
5	A1-M1 - [2]	--	3.16	--	18.05	--
6	A2-M2 - [2]	--	2.12	--	5.44	--
7	EQU - [2]	--	--	2.27	--	--
8	STAB - [2]	--	--	--	--	1.83

PV_D_SR_AP_MU_3_F_005-001_N_001_R_A_0

Muro MU.3F.05.N – Relazione di Calcolo

9	A1-M1 - [3]	Orizzontale + Verticale positivo	2.32	--	10.61	--
10	A1-M1 - [3]	Orizzontale + Verticale negativo	2.25	--	10.74	--
11	A2-M2 - [3]	Orizzontale + Verticale positivo	1.40	--	1.98	--
12	A2-M2 - [3]	Orizzontale + Verticale negativo	1.37	--	1.94	--
13	EQU - [3]	Orizzontale + Verticale positivo	--	1.98	--	--
14	EQU - [3]	Orizzontale + Verticale negativo	--	1.86	--	--
15	STAB - [3]	Orizzontale + Verticale positivo	--	--	--	1.54
16	STAB - [3]	Orizzontale + Verticale negativo	--	--	--	1.52
17	SLEQ - [1]	--	4.02	--	24.61	--
18	SLEF - [1]	--	4.02	--	24.61	--
19	SLER - [1]	--	4.02	--	24.61	--

Analisi della spinta e verifiche

Sistema di riferimento adottato per le coordinate :

Origine in testa al muro (spigolo di monte)

Ascisse X (espresse in [m]) positive verso monte

Ordinate Y (espresse in [m]) positive verso l'alto

Le forze orizzontali sono considerate positive se agenti da monte verso valle

Le forze verticali sono considerate positive se agenti dall'alto verso il basso

Calcolo riferito ad 1 metro di muro

Tipo di analisi

Calcolo della spinta	metodo di Culmann
Calcolo del carico limite	metodo di Vesic
Calcolo della stabilità globale	metodo di Bishop
Calcolo della spinta in condizioni di	Spinta attiva

Sisma

Combinazioni SLU

Accelerazione al suolo a_g	3.20 [m/s ²]
Coefficiente di amplificazione per tipo di sottosuolo (S)	1.09
Coefficiente di amplificazione topografica (St)	1.00
Coefficiente riduzione (β_m)	0.31
Rapporto intensità sismica verticale/orizzontale	0.50
Coefficiente di intensità sismica orizzontale (percento)	$k_h=(a_g/g*\beta_m*St*S) = 11.00$
Coefficiente di intensità sismica verticale (percento)	$k_v=0.50 * k_h = 5.50$

Combinazioni SLE

Accelerazione al suolo a_g	1.31 [m/s ²]
Coefficiente di amplificazione per tipo di sottosuolo (S)	1.20
Coefficiente di amplificazione topografica (St)	1.00
Coefficiente riduzione (β_m)	0.24
Rapporto intensità sismica verticale/orizzontale	0.50
Coefficiente di intensità sismica orizzontale (percento)	$k_h=(a_g/g*\beta_m*St*S) = 3.86$
Coefficiente di intensità sismica verticale (percento)	$k_v=0.50 * k_h = 1.93$

Forma diagramma incremento sismico Stessa forma diagramma statico

Partecipazione spinta passiva (percento) 50.0
Lunghezza del muro 9.60 [m]

Peso muro 50.0000 [kN]
Baricentro del muro X=0.50 Y=-3.58

Superficie di spinta

Punto inferiore superficie di spinta X = 2.15 Y = -4.50
Punto superiore superficie di spinta X = 2.15 Y = 0.48
Altezza della superficie di spinta 4.98 [m]

PV_D_SR_AP_MU_3_F_005-001_N_001_R_A_0

Muro MU.3F.05.N – Relazione di Calcolo

Inclinazione superficie di spinta(rispetto alla verticale) 0.00 [°]

COMBINAZIONE n° 1**Peso muro favorevole e Peso terrapieno favorevole**

Valore della spinta statica	106.8575	[kN]		
Componente orizzontale della spinta statica	82.2567	[kN]		
Componente verticale della spinta statica	68.2082	[kN]		
Punto d'applicazione della spinta	X = 2.15	[m]	Y = -2.86	[m]
Inclinaz. della spinta rispetto alla normale alla superficie	39.67	[°]		
Inclinazione linea di rottura in condizioni statiche	50.26	[°]		
Peso terrapieno gravante sulla fondazione a monte	162.0738	[kN]		
Baricentro terrapieno gravante sulla fondazione a monte	X = 1.09	[m]	Y = -1.95	[m]
Numero contrafforti	8			
Peso del singolo contrafforte	8.3000	[kN]		
Peso del contrafforte riferito ad un metro di muro	6.9167	[kN]		
Baricentro contrafforte	X = 0.23	[m]	Y = -2.35	[m]

Risultanti

Risultante dei carichi applicati in dir. orizzontale	82.2567	[kN]
Risultante dei carichi applicati in dir. verticale	293.1987	[kN]
Resistenza passiva a valle del muro	-27.8234	[kN]
Sforzo normale sul piano di posa della fondazione	293.1987	[kN]
Sforzo tangenziale sul piano di posa della fondazione	82.2567	[kN]
Eccentricità rispetto al baricentro della fondazione	0.02	[m]
Lunghezza fondazione reagente	2.80	[m]
Risultante in fondazione	304.5187	[kN]
Inclinazione della risultante (rispetto alla normale)	15.67	[°]
Momento rispetto al baricentro della fondazione	6.6624	[kNm]
Carico ultimo della fondazione	6000.8731	[kN]

Tensioni sul terreno

Lunghezza fondazione reagente	2.80	[m]
Tensione terreno allo spigolo di valle	0.10981	[N/mm ²]
Tensione terreno allo spigolo di monte	0.09962	[N/mm ²]

Fattori per il calcolo della capacità portante

Coeff. capacità portante	$N_c = 75.31$	$N_q = 64.20$	$N_\gamma = 109.41$
Fattori forma	$s_c = 1.00$	$s_q = 1.00$	$s_\gamma = 1.00$
Fattori inclinazione	$i_c = 0.55$	$i_q = 0.56$	$i_\gamma = 0.40$
Fattori profondità	$d_c = 1.16$	$d_q = 1.08$	$d_\gamma = 1.00$
Fattori inclinazione piano posa	$b_c = 1.00$	$b_q = 1.00$	$b_\gamma = 1.00$
Fattori inclinazione pendio	$g_c = 1.00$	$g_q = 1.00$	$g_\gamma = 1.00$

I coefficienti N' tengono conto dei fattori di forma, profondità, inclinazione carico, inclinazione piano di posa, inclinazione pendio.

$N'_c = 47.98$ $N'_q = 38.80$ $N'_\gamma = 43.89$

COEFFICIENTI DI SICUREZZA

Coefficiente di sicurezza a scorrimento	3.33
Coefficiente di sicurezza a carico ultimo	20.47

Sollecitazioni fondazione di valle**Combinazione n° 1**

L'ascissa X(espressa in m) è considerata positiva verso monte con origine in corrispondenza dell'estremo libero della fondazione di valle

Momento positivo se tende le fibre inferiori, espresso in kNm

Taglio positivo se diretto verso l'alto, espresso in kN

Nr.	X	M	T
-----	---	---	---

PV_D_SR_AP_MU_3_F_005-_001_N_001_R_A_0

Muro MU.3F.05.N – Relazione di Calcolo

1	0.00	0.0000	0.0000
2	0.05	0.1021	4.0811
3	0.10	0.4080	8.1531
4	0.15	0.9172	12.2159
5	0.20	1.6294	16.2697
6	0.25	2.5440	20.3143
7	0.30	3.6607	24.3499
8	0.35	4.9789	28.3763
9	0.40	6.4982	32.3937
10	0.45	8.2181	36.4019
11	0.50	10.1382	40.4011

Sollecitazioni fondazione di monteCombinazione n° 1

L'ascissa X(espressa in m) è considerata positiva verso valle con origine in corrispondenza dell'estremo libero della fondazione di monte

Momento positivo se tende le fibre inferiori, espresso in kNm

Taglio positivo se diretto verso l'alto, espresso in kN

Nr.	X	M	T
1	0.00	0.0000	0.0000
2	0.21	-0.5139	-4.6381
3	0.43	-1.9332	-8.4218
4	0.65	-4.0740	-11.3509
5	0.86	-6.7533	-13.4522
6	1.07	-9.8372	-15.2069
7	1.29	-13.2802	-16.7933
8	1.50	-17.0462	-18.2112
9	1.72	-21.0990	-19.4609
10	1.93	-25.4024	-20.5422
11	2.15	-29.9201	-21.4551

Armature e tensioni nei materiali della fondazioneCombinazione n° 1

Simbologia adottata

B	base della sezione espressa in [m]
H	altezza della sezione espressa in [m]
A _{fi}	area di armatura in corrispondenza del lembo inferiore in [mq]
A _{fs}	area di armatura in corrispondenza del lembo superiore in [mq]
N _u	sfuerzo normale ultimo espresso in [kN]
M _u	momento ultimo espresso in [kNm]
CS	coefficiente sicurezza sezione
VR _{cd}	Aliquota di taglio assorbito dal cls, espresso in [kN]
VR _{sd}	Aliquota di taglio assorbito dall'armatura, espresso in [kN]
VR _d	Resistenza al taglio, espresso in [kN]

Fondazione di valle

(L'ascissa X, espressa in [m], è positiva verso monte con origine in corrispondenza dell'estremo libero della fondazione di valle)

Nr.	Y	B, H	A _{fs}	A _{fi}	N _u	M _u	CS	V _{Rd}	V _{Rcd}	V _{Rsd}
1	0.00	1.00, 0.500	0.000000	0.000565	0.00	0.00	1000.00	173.53	--	--
2	0.05	1.00, 0.500	0.000000	0.000565	0.00	98.61	966.14	173.53	--	--
3	0.10	1.00, 0.500	0.010050	0.000565	0.00	98.55	241.58	173.53	--	--
4	0.15	1.00, 0.500	0.010050	0.000565	0.00	98.55	107.45	173.53	--	--
5	0.20	1.00, 0.500	0.010050	0.000565	0.00	98.55	60.49	173.53	--	--
6	0.25	1.00, 0.500	0.010050	0.000565	0.00	98.55	38.74	173.53	--	--
7	0.30	1.00, 0.500	0.010050	0.000565	0.00	98.55	26.92	173.53	--	--
8	0.35	1.00, 0.500	0.010050	0.000565	0.00	98.55	19.79	173.53	--	--
9	0.40	1.00, 0.500	0.010050	0.000565	0.00	98.55	15.17	173.53	--	--
10	0.45	1.00, 0.500	0.010050	0.000565	0.00	98.55	11.99	173.53	--	--
11	0.50	1.00, 0.500	0.010050	0.000565	0.00	98.55	9.72	173.53	--	--

PV_D_SR_AP_MU_3_F_005-001_N_001_R_A_0

Muro MU.3F.05.N – Relazione di Calcolo

Fondazione di monte

(L'ascissa X, espressa in [m], è positiva verso valle con origine in corrispondenza dell'estremo libero della fondazione di monte)

Nr.	Y	B, H	A _{fs}	A _{fi}	N _u	M _u	CS	V _{Rd}	V _{Rcd}	V _{Rsd}
1	0.00	1.00, 0.500	0.000000	0.000565	0.00	0.00	1000.00	173.53	--	--
2	0.21	1.00, 0.500	0.010050	0.000565	0.00	-172.73	336.11	173.53	--	--
3	0.43	1.00, 0.500	0.010050	0.000565	0.00	-172.73	89.35	173.53	--	--
4	0.65	1.00, 0.500	0.010050	0.000565	0.00	-172.73	42.40	173.53	--	--
5	0.86	1.00, 0.500	0.010050	0.000565	0.00	-172.73	25.58	173.53	--	--
6	1.07	1.00, 0.500	0.010050	0.000565	0.00	-172.73	17.56	173.53	--	--
7	1.29	1.00, 0.500	0.010050	0.000565	0.00	-172.73	13.01	173.53	--	--
8	1.50	1.00, 0.500	0.010050	0.000565	0.00	-172.73	10.13	173.53	--	--
9	1.72	1.00, 0.500	0.010050	0.000565	0.00	-172.73	8.19	173.53	--	--
10	1.93	1.00, 0.500	0.010050	0.000565	0.00	-172.73	6.80	173.53	--	--
11	2.15	1.00, 0.500	0.010050	0.000565	0.00	-172.73	5.77	173.53	--	--

COMBINAZIONE n° 2

Valore della spinta statica	117.2418	[kN]		
Componente orizzontale della spinta statica	97.9413	[kN]		
Componente verticale della spinta statica	64.4448	[kN]		
Punto d'applicazione della spinta	X = 2.15	[m]	Y = -2.69	[m]
Inclinaz. della spinta rispetto alla normale alla superficie	33.34	[°]		
Inclinazione linea di rottura in condizioni statiche	46.69	[°]		
Peso terrapieno gravante sulla fondazione a monte	162.0738	[kN]		
Baricentro terrapieno gravante sulla fondazione a monte	X = 1.09	[m]	Y = -1.95	[m]
Numero contrafforti	8			
Peso del singolo contrafforte	8.3000	[kN]		
Peso del contrafforte riferito ad un metro di muro	6.9167	[kN]		
Baricentro contrafforte	X = 0.23	[m]	Y = -2.35	[m]

Risultanti

Risultante dei carichi applicati in dir. orizzontale	97.9413	[kN]
Risultante dei carichi applicati in dir. verticale	289.4353	[kN]
Resistenza passiva a valle del muro	-21.2853	[kN]
Sforzo normale sul piano di posa della fondazione	289.4353	[kN]
Sforzo tangenziale sul piano di posa della fondazione	97.9413	[kN]
Eccentricità rispetto al baricentro della fondazione	0.19	[m]
Lunghezza fondazione reagente	2.80	[m]
Risultante in fondazione	305.5574	[kN]
Inclinazione della risultante (rispetto alla normale)	18.70	[°]
Momento rispetto al baricentro della fondazione	53.9384	[kNm]
Carico ultimo della fondazione	1777.1246	[kN]

Tensioni sul terreno

Lunghezza fondazione reagente	2.80	[m]
Tensione terreno allo spigolo di valle	0.14465	[N/mmq]
Tensione terreno allo spigolo di monte	0.06209	[N/mmq]

Fattori per il calcolo della capacità portante

Coeff. capacità portante	N _c = 75.31	N _q = 64.20	N _γ = 109.41
Fattori forma	s _c = 1.00	s _q = 1.00	s _γ = 1.00
Fattori inclinazione	i _c = 0.46	i _q = 0.48	i _γ = 0.32
Fattori profondità	d _c = 1.16	d _q = 1.10	d _γ = 1.00
Fattori inclinazione piano posa	b _c = 1.00	b _q = 1.00	b _γ = 1.00
Fattori inclinazione pendio	g _c = 1.00	g _q = 1.00	g _γ = 1.00

I coefficienti N' tengono conto dei fattori di forma, profondità, inclinazione carico, inclinazione piano di posa, inclinazione pendio.

PV_D_SR_AP_MU_3_F_005-_001_N_001_R_A_0

Muro MU.3F.05.N – Relazione di Calcolo

$N'_c = 47.98$

$N'_q = 38.80$

$N'_y = 43.89$

COEFFICIENTI DI SICUREZZA

Coefficiente di sicurezza a scorrimento

2.20

Coefficiente di sicurezza a carico ultimo

6.14

Sollecitazioni fondazione di valle**Combinazione n° 2**

L'ascissa X(espressa in m) è considerata positiva verso monte con origine in corrispondenza dell'estremo libero della fondazione di valle

Momento positivo se tende le fibre inferiori, espresso in kNm

Taglio positivo se diretto verso l'alto, espresso in kN

Nr.	X	M	T
1	0.00	0.0000	0.0000
2	0.05	0.1496	5.9706
3	0.10	0.5958	11.8675
4	0.15	1.3351	17.6907
5	0.20	2.3637	23.4401
6	0.25	3.6779	29.1159
7	0.30	5.2740	34.7179
8	0.35	7.1484	40.2462
9	0.40	9.2974	45.7008
10	0.45	11.7173	51.0817
11	0.50	14.4044	56.3889

Sollecitazioni fondazione di monte**Combinazione n° 2**

L'ascissa X(espressa in m) è considerata positiva verso valle con origine in corrispondenza dell'estremo libero della fondazione di monte

Momento positivo se tende le fibre inferiori, espresso in kNm

Taglio positivo se diretto verso l'alto, espresso in kN

Nr.	X	M	T
1	0.00	0.0000	0.0000
2	0.21	-0.7538	-6.6966
3	0.43	-2.7440	-11.5025
4	0.65	-5.5643	-14.4176
5	0.86	-8.8085	-15.4625
6	1.07	-12.1084	-15.0072
7	1.29	-15.1640	-13.1891
8	1.50	-17.6820	-10.0079
9	1.72	-19.3697	-5.4638
10	1.93	-19.9338	0.4433
11	2.15	-19.0814	7.7133

Armature e tensioni nei materiali della fondazione**Combinazione n° 2**

Simbologia adottata

B	base della sezione espressa in [m]
H	altezza della sezione espressa in [m]
A_{fi}	area di armatura in corrispondenza del lembo inferiore in [mq]
A_{fs}	area di armatura in corrispondenza del lembo superiore in [mq]
N_u	sforzo normale ultimo espresso in [kN]
M_u	momento ultimo espresso in [kNm]
CS	coefficiente sicurezza sezione
VRcd	Aliquota di taglio assorbito dal cls, espresso in [kN]
VRsd	Aliquota di taglio assorbito dall'armatura, espresso in [kN]
VRd	Resistenza al taglio, espresso in [kN]

Fondazione di valle

PV_D_SR_AP_MU_3_F_005-_001_N_001_R_A_0

Muro MU.3F.05.N – Relazione di Calcolo

(L'ascissa X, espressa in [m], è positiva verso monte con origine in corrispondenza dell'estremo libero della fondazione di valle)

Nr.	Y	B, H	A _{fs}	A _{fi}	N _u	M _u	CS	V _{Rd}	V _{Rcd}	V _{Rsd}
1	0.00	1.00, 0.500	0.0000000	0.000565	0.00	0.00	1000.00	173.53	--	--
2	0.05	1.00, 0.500	0.0000000	0.000565	0.00	98.61	659.27	173.53	--	--
3	0.10	1.00, 0.500	0.010050	0.000565	0.00	98.55	165.41	173.53	--	--
4	0.15	1.00, 0.500	0.010050	0.000565	0.00	98.55	73.82	173.53	--	--
5	0.20	1.00, 0.500	0.010050	0.000565	0.00	98.55	41.70	173.53	--	--
6	0.25	1.00, 0.500	0.010050	0.000565	0.00	98.55	26.80	173.53	--	--
7	0.30	1.00, 0.500	0.010050	0.000565	0.00	98.55	18.69	173.53	--	--
8	0.35	1.00, 0.500	0.010050	0.000565	0.00	98.55	13.79	173.53	--	--
9	0.40	1.00, 0.500	0.010050	0.000565	0.00	98.55	10.60	173.53	--	--
10	0.45	1.00, 0.500	0.010050	0.000565	0.00	98.55	8.41	173.53	--	--
11	0.50	1.00, 0.500	0.010050	0.000565	0.00	98.55	6.84	173.53	--	--

Fondazione di monte

(L'ascissa X, espressa in [m], è positiva verso valle con origine in corrispondenza dell'estremo libero della fondazione di monte)

Nr.	Y	B, H	A _{fs}	A _{fi}	N _u	M _u	CS	V _{Rd}	V _{Rcd}	V _{Rsd}
1	0.00	1.00, 0.500	0.0000000	0.000565	0.00	0.00	1000.00	173.53	--	--
2	0.21	1.00, 0.500	0.010050	0.000565	0.00	-172.73	229.16	173.53	--	--
3	0.43	1.00, 0.500	0.010050	0.000565	0.00	-172.73	62.95	173.53	--	--
4	0.65	1.00, 0.500	0.010050	0.000565	0.00	-172.73	31.04	173.53	--	--
5	0.86	1.00, 0.500	0.010050	0.000565	0.00	-172.73	19.61	173.53	--	--
6	1.07	1.00, 0.500	0.010050	0.000565	0.00	-172.73	14.27	173.53	--	--
7	1.29	1.00, 0.500	0.010050	0.000565	0.00	-172.73	11.39	173.53	--	--
8	1.50	1.00, 0.500	0.010050	0.000565	0.00	-172.73	9.77	173.53	--	--
9	1.72	1.00, 0.500	0.010050	0.000565	0.00	-172.73	8.92	173.53	--	--
10	1.93	1.00, 0.500	0.010050	0.000565	0.00	-172.73	8.67	173.53	--	--
11	2.15	1.00, 0.500	0.010050	0.000565	0.00	-172.73	9.05	173.53	--	--

COMBINAZIONE n° 3

Valore della spinta statica	129.8045	[kN]		
Componente orizzontale della spinta statica	108.4355	[kN]		
Componente verticale della spinta statica	71.3509	[kN]		
Punto d'applicazione della spinta	X = 2.15	[m]	Y = -2.69	[m]
Inclinaz. della spinta rispetto alla normale alla superficie	33.35	[°]		
Inclinazione linea di rottura in condizioni statiche	46.69	[°]		
Peso terrapieno gravante sulla fondazione a monte	145.8665	[kN]		
Baricentro terrapieno gravante sulla fondazione a monte	X = 1.09	[m]	Y = -1.95	[m]
Numero contrafforti	8			
Peso del singolo contrafforte	7.4700	[kN]		
Peso del contrafforte riferito ad un metro di muro	6.2250	[kN]		
Baricentro contrafforte	X = 0.23	[m]	Y = -2.35	[m]

Risultanti

Risultante dei carichi applicati in dir. orizzontale	108.4355	[kN]
Risultante dei carichi applicati in dir. verticale	273.8424	[kN]
Resistenza passiva a valle del muro	-19.1568	[kN]
Momento ribaltante rispetto allo spigolo a valle	196.1692	[kNm]
Momento stabilizzante rispetto allo spigolo a valle	512.6472	[kNm]
Sforzo normale sul piano di posa della fondazione	273.8424	[kN]
Sforzo tangenziale sul piano di posa della fondazione	108.4355	[kN]
Eccentricità rispetto al baricentro della fondazione	0.24	[m]
Lunghezza fondazione reagente	2.80	[m]
Risultante in fondazione	294.5300	[kN]
Inclinazione della risultante (rispetto alla normale)	21.60	[°]
Momento rispetto al baricentro della fondazione	66.9013	[kNm]
PV_D_SR_AP_MU_3_F_005-_001_N_001_R_A_0		

COEFFICIENTI DI SICUREZZA

Coefficiente di sicurezza a ribaltamento

2.61

Stabilità globale muro + terreno**Combinazione n° 4**

Le ascisse X sono considerate positive verso monte

Le ordinate Y sono considerate positive verso l'alto

Origine in testa al muro (spigolo contro terra)

W peso della striscia espresso in [kN]

 α angolo fra la base della striscia e l'orizzontale espresso in [°] (positivo antiorario) ϕ angolo d'attrito del terreno lungo la base della strisciac coesione del terreno lungo la base della striscia espressa in [N/mm²]

b larghezza della striscia espressa in [m]

u pressione neutra lungo la base della striscia espressa in [N/mm²]

Metodo di Bishop

Numero di cerchi analizzati 36

Numero di strisce 25

Cerchio critico

Coordinate del centro X[m]= 0.00 Y[m]= 3.41

Raggio del cerchio R[m]= 8.20

Ascissa a valle del cerchio Xi[m]= -4.58

Ascissa a monte del cerchio Xs[m]= 8.18

Larghezza della striscia dx[m]= 0.51

Coefficiente di sicurezza C= 1.83

Le strisce sono numerate da monte verso valle

Caratteristiche delle strisce

Striscia	W	α (°)	Wsin α	b/cos α	ϕ	c	u
1	2130.97	77.64	2081.56	2.38	29.26	0.000	0.000
2	3458.81	65.05	3136.00	1.21	31.30	0.007	0.000
3	4141.26	57.50	3492.64	0.95	33.87	0.016	0.000
4	4602.45	51.32	3593.08	0.82	33.87	0.016	0.000
5	4920.95	45.91	3534.22	0.73	33.87	0.016	0.000
6	5138.41	40.98	3369.76	0.68	33.87	0.016	0.000
7	5277.59	36.40	3131.96	0.63	33.87	0.016	0.000
8	5352.57	32.08	2842.85	0.60	33.87	0.016	0.000
9	5372.71	27.96	2518.79	0.58	33.87	0.016	0.000
10	5344.56	23.99	2172.65	0.56	33.87	0.016	0.000
11	5272.84	20.13	1815.07	0.54	33.87	0.016	0.000
12	5155.02	16.38	1453.45	0.53	33.87	0.016	0.000
13	4957.39	12.69	1089.00	0.52	33.87	0.016	0.000
14	4814.42	9.06	757.78	0.52	33.87	0.016	0.000
15	4859.95	5.46	462.31	0.51	33.87	0.016	0.000
16	4893.98	1.88	160.80	0.51	33.87	0.016	0.000
17	3002.65	-1.69	-88.32	0.51	33.87	0.016	0.000
18	1442.41	-5.26	-132.25	0.51	33.87	0.016	0.000
19	1337.38	-8.86	-205.90	0.52	33.87	0.016	0.000
20	1237.22	-12.49	-267.52	0.52	33.87	0.016	0.000
21	1101.43	-16.17	-306.76	0.53	33.87	0.016	0.000
22	928.21	-19.92	-316.32	0.54	33.87	0.016	0.000
23	715.04	-23.77	-288.21	0.56	33.87	0.016	0.000
24	458.53	-27.73	-213.38	0.58	33.87	0.016	0.000
25	154.02	-31.85	-81.27	0.60	33.87	0.016	0.000

 $\Sigma W_i = 844.0791$ [kN] $\Sigma W_i \sin \alpha_i = 330.6069$ [kN] $\Sigma W_i \tan \phi_i = 562.1465$ [kN]

PV_D_SR_AP_MU_3_F_005-_001_N_001_R_A_0

Muro MU.3F.05.N – Relazione di Calcolo

$$\sum \tan \alpha_i \tan \phi_i = 7.55$$

COMBINAZIONE n° 5**Peso muro favorevole e Peso terrapieno favorevole**

Valore della spinta statica	106.8575	[kN]		
Componente orizzontale della spinta statica	82.2567	[kN]		
Componente verticale della spinta statica	68.2082	[kN]		
Punto d'applicazione della spinta	X = 2.15	[m]	Y = -2.86	[m]
Inclinaz. della spinta rispetto alla normale alla superficie	39.67	[°]		
Inclinazione linea di rottura in condizioni statiche	50.26	[°]		
Peso terrapieno gravante sulla fondazione a monte	162.0738	[kN]		
Baricentro terrapieno gravante sulla fondazione a monte	X = 1.09	[m]	Y = -1.95	[m]
Numero contrafforti	8			
Peso del singolo contrafforte	8.3000	[kN]		
Peso del contrafforte riferito ad un metro di muro	6.9167	[kN]		
Baricentro contrafforte	X = 0.23	[m]	Y = -2.35	[m]

Risultanti carichi esterni

Componente dir. X	4.50	[kN]
-------------------	------	------

Risultanti

Risultante dei carichi applicati in dir. orizzontale	86.7567	[kN]
Risultante dei carichi applicati in dir. verticale	293.1987	[kN]
Resistenza passiva a valle del muro	-27.8234	[kN]
Sforzo normale sul piano di posa della fondazione	293.1987	[kN]
Sforzo tangenziale sul piano di posa della fondazione	86.7567	[kN]
Eccentricità rispetto al baricentro della fondazione	0.12	[m]
Lunghezza fondazione reagente	2.80	[m]
Risultante in fondazione	305.7650	[kN]
Inclinazione della risultante (rispetto alla normale)	16.48	[°]
Momento rispetto al baricentro della fondazione	35.9124	[kNm]
Carico ultimo della fondazione	5292.5431	[kN]

Tensioni sul terreno

Lunghezza fondazione reagente	2.80	[m]
Tensione terreno allo spigolo di valle	0.13220	[N/mmq]
Tensione terreno allo spigolo di monte	0.07723	[N/mmq]

Fattori per il calcolo della capacità portante

Coeff. capacità portante	$N_c = 75.31$	$N_q = 64.20$	$N_\gamma = 109.41$
Fattori forma	$s_c = 1.00$	$s_q = 1.00$	$s_\gamma = 1.00$
Fattori inclinazione	$i_c = 0.53$	$i_q = 0.54$	$i_\gamma = 0.38$
Fattori profondità	$d_c = 1.16$	$d_q = 1.08$	$d_\gamma = 1.00$
Fattori inclinazione piano posa	$b_c = 1.00$	$b_q = 1.00$	$b_\gamma = 1.00$
Fattori inclinazione pendio	$g_c = 1.00$	$g_q = 1.00$	$g_\gamma = 1.00$

I coefficienti N' tengono conto dei fattori di forma, profondità, inclinazione carico, inclinazione piano di posa, inclinazione pendio.

$$N'_c = 47.98 \qquad N'_q = 38.80 \qquad N'_\gamma = 43.89$$

COEFFICIENTI DI SICUREZZA

Coefficiente di sicurezza a scorrimento	3.16
Coefficiente di sicurezza a carico ultimo	18.05

Sollecitazioni fondazione di valleCombinazione n° 5

L'ascissa X (espressa in m) è considerata positiva verso monte con origine in corrispondenza dell'estremo libero della fondazione di valle

PV_D_SR_AP_MU_3_F_005-_001_N_001_R_A_0

Muro MU.3F.05.N – Relazione di Calcolo

Momento positivo se tende le fibre inferiori, espresso in kNm

Taglio positivo se diretto verso l'alto, espresso in kN

Nr.	X	M	T
1	0.00	0.0000	0.0000
2	0.05	0.1297	5.1804
3	0.10	0.5172	10.3116
4	0.15	1.1601	15.3938
5	0.20	2.0558	20.4269
6	0.25	3.2019	25.4110
7	0.30	4.5961	30.3459
8	0.35	6.2357	35.2318
9	0.40	8.1184	40.0686
10	0.45	10.2418	44.8563
11	0.50	12.6032	49.5950

Sollecitazioni fondazione di monteCombinazione n° 5

L'ascissa X(espressa in m) è considerata positiva verso valle con origine in corrispondenza dell'estremo libero della fondazione di monte

Momento positivo se tende le fibre inferiori, espresso in kNm

Taglio positivo se diretto verso l'alto, espresso in kN

Nr.	X	M	T
1	0.00	0.0000	0.0000
2	0.21	-1.0048	-9.0814
3	0.43	-3.7908	-16.5692
4	0.65	-8.0153	-22.4633
5	0.86	-13.3364	-26.7906
6	1.07	-19.4611	-30.0321
7	1.29	-26.1851	-32.3662
8	1.50	-33.3135	-33.7927
9	1.72	-40.6510	-34.3119
10	1.93	-48.0025	-33.9235
11	2.15	-55.1731	-32.6277

Armature e tensioni nei materiali della fondazioneCombinazione n° 5

Simbologia adottata

B	base della sezione espressa in [m]
H	altezza della sezione espressa in [m]
A _{fi}	area di armatura in corrispondenza del lembo inferiore in [mq]
A _{fs}	area di armatura in corrispondenza del lembo superiore in [mq]
N _u	sforzo normale ultimo espresso in [kN]
M _u	momento ultimo espresso in [kNm]
CS	coefficiente sicurezza sezione
V _{Rcd}	Aliquota di taglio assorbito dal cls, espresso in [kN]
V _{Rsd}	Aliquota di taglio assorbito dall'armatura, espresso in [kN]
VRd	Resistenza al taglio, espresso in [kN]

Fondazione di valle

(L'ascissa X, espressa in [m], è positiva verso monte con origine in corrispondenza dell'estremo libero della fondazione di valle)

Nr.	Y	B, H	A _{fs}	A _{fi}	N _u	M _u	CS	V _{Rd}	V _{Rcd}	V _{Rsd}
1	0.00	1.00, 0.500	0.0000000	0.000565	0.00	0.00	1000.00	173.53	--	--
2	0.05	1.00, 0.500	0.0000000	0.000565	0.00	98.61	760.21	173.53	--	--
3	0.10	1.00, 0.500	0.0010050	0.000565	0.00	98.55	190.55	173.53	--	--
4	0.15	1.00, 0.500	0.0010050	0.000565	0.00	98.55	84.96	173.53	--	--
5	0.20	1.00, 0.500	0.0010050	0.000565	0.00	98.55	47.94	173.53	--	--
6	0.25	1.00, 0.500	0.0010050	0.000565	0.00	98.55	30.78	173.53	--	--
7	0.30	1.00, 0.500	0.0010050	0.000565	0.00	98.55	21.44	173.53	--	--

PV_D_SR_AP_MU_3_F_005-_001_N_001_R_A_0

Muro MU.3F.05.N – Relazione di Calcolo

8	0.35	1.00, 0.500.0010050.000565	0.00	98.55	15.80	173.53	--	--
9	0.40	1.00, 0.500.0010050.000565	0.00	98.55	12.14	173.53	--	--
10	0.45	1.00, 0.500.0010050.000565	0.00	98.55	9.62	173.53	--	--
11	0.50	1.00, 0.500.0010050.000565	0.00	98.55	7.82	173.53	--	--

Fondazione di monte

(L'ascissa X, espressa in [m], è positiva verso valle con origine in corrispondenza dell'estremo libero della fondazione di monte)

Nr.	Y	B, H	A _{fs}	A _{fi}	N _u	M _u	CS	V _{Rd}	V _{Rcd}	V _{Rsd}
1	0.00	1.00, 0.500.0000000.000565			0.00	0.00	1000.00	173.53	--	--
2	0.21	1.00, 0.500.0010050.000565			0.00	-172.73	171.90	173.53	--	--
3	0.43	1.00, 0.500.0010050.000565			0.00	-172.73	45.57	173.53	--	--
4	0.65	1.00, 0.500.0010050.000565			0.00	-172.73	21.55	173.53	--	--
5	0.86	1.00, 0.500.0010050.000565			0.00	-172.73	12.95	173.53	--	--
6	1.07	1.00, 0.500.0010050.000565			0.00	-172.73	8.88	173.53	--	--
7	1.29	1.00, 0.500.0010050.000565			0.00	-172.73	6.60	173.53	--	--
8	1.50	1.00, 0.500.0010050.000565			0.00	-172.73	5.18	173.53	--	--
9	1.72	1.00, 0.500.0010050.000565			0.00	-172.73	4.25	173.53	--	--
10	1.93	1.00, 0.500.0010050.000565			0.00	-172.73	3.60	173.53	--	--
11	2.15	1.00, 0.500.0010050.000565			0.00	-172.73	3.13	173.53	--	--

COMBINAZIONE n° 6

Valore della spinta statica	117.2418	[kN]		
Componente orizzontale della spinta statica	97.9413	[kN]		
Componente verticale della spinta statica	64.4448	[kN]		
Punto d'applicazione della spinta	X = 2.15	[m]	Y = -2.69	[m]
Inclinaz. della spinta rispetto alla normale alla superficie	33.34	[°]		
Inclinazione linea di rottura in condizioni statiche	46.69	[°]		

Peso terrapieno gravante sulla fondazione a monte	162.0738	[kN]		
Baricentro terrapieno gravante sulla fondazione a monte	X = 1.09	[m]	Y = -1.95	[m]
Numero contrafforti	8			
Peso del singolo contrafforte	8.3000	[kN]		
Peso del contrafforte riferito ad un metro di muro	6.9167	[kN]		
Baricentro contrafforte	X = 0.23	[m]	Y = -2.35	[m]

Risultanti carichi esterni

Componente dir. X	3.90	[kN]
-------------------	------	------

Risultanti

Risultante dei carichi applicati in dir. orizzontale	101.8413	[kN]
Risultante dei carichi applicati in dir. verticale	289.4353	[kN]
Resistenza passiva a valle del muro	-21.2853	[kN]
Sforzo normale sul piano di posa della fondazione	289.4353	[kN]
Sforzo tangenziale sul piano di posa della fondazione	101.8413	[kN]
Eccentricità rispetto al baricentro della fondazione	0.27	[m]
Lunghezza fondazione reagente	2.80	[m]
Risultante in fondazione	306.8297	[kN]
Inclinazione della risultante (rispetto alla normale)	19.39	[°]
Momento rispetto al baricentro della fondazione	79.2884	[kNm]
Carico ultimo della fondazione	1573.6953	[kN]

Tensioni sul terreno

Lunghezza fondazione reagente	2.80	[m]
Tensione terreno allo spigolo di valle	0.16405	[N/mmq]
Tensione terreno allo spigolo di monte	0.04269	[N/mmq]

Fattori per il calcolo della capacità portante

Coeff. capacità portante	N _c = 75.31	N _q = 64.20	N _γ = 109.41
---------------------------------	------------------------	------------------------	-------------------------

PV_D_SR_AP_MU_3_F_005-_001_N_001_R_A_0

Muro MU.3F.05.N – Relazione di Calcolo

Fattori forma	$s_c = 1.00$	$s_q = 1.00$	$s_\gamma = 1.00$
Fattori inclinazione	$i_c = 0.44$	$i_q = 0.46$	$i_\gamma = 0.30$
Fattori profondità	$d_c = 1.16$	$d_q = 1.10$	$d_\gamma = 1.00$
Fattori inclinazione piano posa	$b_c = 1.00$	$b_q = 1.00$	$b_\gamma = 1.00$
Fattori inclinazione pendio	$g_c = 1.00$	$g_q = 1.00$	$g_\gamma = 1.00$

I coefficienti N' tengono conto dei fattori di forma, profondità, inclinazione carico, inclinazione piano di posa, inclinazione pendio.

$$N'_c = 47.98$$

$$N'_q = 38.80$$

$$N'_\gamma = 43.89$$
COEFFICIENTI DI SICUREZZA

Coefficiente di sicurezza a scorrimento

2.12

Coefficiente di sicurezza a carico ultimo

5.44

Sollecitazioni fondazione di valleCombinazione n° 6

L'ascissa X(espressa in m) è considerata positiva verso monte con origine in corrispondenza dell'estremo libero della fondazione di valle

Momento positivo se tende le fibre inferiori, espresso in kNm

Taglio positivo se diretto verso l'alto, espresso in kN

Nr.	X	M	T
1	0.00	0.0000	0.0000
2	0.05	0.1735	6.9233
3	0.10	0.6905	13.7383
4	0.15	1.5456	20.4448
5	0.20	2.7332	27.0431
6	0.25	4.2481	33.5330
7	0.30	6.0847	39.9145
8	0.35	8.2377	46.1876
9	0.40	10.7017	52.3524
10	0.45	13.4711	58.4089
11	0.50	16.5407	64.3570

Sollecitazioni fondazione di monteCombinazione n° 6

L'ascissa X(espressa in m) è considerata positiva verso valle con origine in corrispondenza dell'estremo libero della fondazione di monte

Momento positivo se tende le fibre inferiori, espresso in kNm

Taglio positivo se diretto verso l'alto, espresso in kN

Nr.	X	M	T
1	0.00	0.0000	0.0000
2	0.21	-1.1792	-10.5475
3	0.43	-4.3540	-18.5636
4	0.65	-8.9801	-24.0484
5	0.86	-14.5138	-27.0224
6	1.07	-20.4491	-27.8558
7	1.29	-26.3482	-26.6856
8	1.50	-31.7803	-23.5119
9	1.72	-36.3147	-18.3346
10	1.93	-39.5206	-11.1539
11	2.15	-40.9673	-1.9696

Armature e tensioni nei materiali della fondazioneCombinazione n° 6

Simbologia adottata

B base della sezione espressa in [m]

H altezza della sezione espressa in [m]

A_{fi} area di armatura in corrispondenza del lembo inferiore in [mq]

PV_D_SR_AP_MU_3_F_005-_001_N_001_R_A_0

Muro MU.3F.05.N – Relazione di Calcolo

A_{fs}	area di armatura in corrispondenza del lembo superiore in [mq]
N_u	sforzo normale ultimo espresso in [kN]
M_u	momento ultimo espresso in [kNm]
CS	coefficiente sicurezza sezione
V_{Rcd}	Aliquota di taglio assorbito dal cls, espresso in [kN]
V_{Rsd}	Aliquota di taglio assorbito dall'armatura, espresso in [kN]
V_{Rd}	Resistenza al taglio, espresso in [kN]

Fondazione di valle

(L'ascissa X, espressa in [m], è positiva verso monte con origine in corrispondenza dell'estremo libero della fondazione di valle)

Nr.	Y	B, H	A_{fs}	A_{fi}	N_u	M_u	CS	V_{Rd}	V_{Rcd}	V_{Rsd}
1	0.00	1.00, 0.500	0.000000	0.000565	0.00	0.00	1000.00	173.53	--	--
2	0.05	1.00, 0.500	0.000000	0.000565	0.00	98.61	568.24	173.53	--	--
3	0.10	1.00, 0.500	0.0010050	0.000565	0.00	98.55	142.72	173.53	--	--
4	0.15	1.00, 0.500	0.0010050	0.000565	0.00	98.55	63.77	173.53	--	--
5	0.20	1.00, 0.500	0.0010050	0.000565	0.00	98.55	36.06	173.53	--	--
6	0.25	1.00, 0.500	0.0010050	0.000565	0.00	98.55	23.20	173.53	--	--
7	0.30	1.00, 0.500	0.0010050	0.000565	0.00	98.55	16.20	173.53	--	--
8	0.35	1.00, 0.500	0.0010050	0.000565	0.00	98.55	11.96	173.53	--	--
9	0.40	1.00, 0.500	0.0010050	0.000565	0.00	98.55	9.21	173.53	--	--
10	0.45	1.00, 0.500	0.0010050	0.000565	0.00	98.55	7.32	173.53	--	--
11	0.50	1.00, 0.500	0.0010050	0.000565	0.00	98.55	5.96	173.53	--	--

Fondazione di monte

(L'ascissa X, espressa in [m], è positiva verso valle con origine in corrispondenza dell'estremo libero della fondazione di monte)

Nr.	Y	B, H	A_{fs}	A_{fi}	N_u	M_u	CS	V_{Rd}	V_{Rcd}	V_{Rsd}
1	0.00	1.00, 0.500	0.000000	0.000565	0.00	0.00	1000.00	173.53	--	--
2	0.21	1.00, 0.500	0.0010050	0.000565	0.00	-172.73	146.48	173.53	--	--
3	0.43	1.00, 0.500	0.0010050	0.000565	0.00	-172.73	39.67	173.53	--	--
4	0.65	1.00, 0.500	0.0010050	0.000565	0.00	-172.73	19.23	173.53	--	--
5	0.86	1.00, 0.500	0.0010050	0.000565	0.00	-172.73	11.90	173.53	--	--
6	1.07	1.00, 0.500	0.0010050	0.000565	0.00	-172.73	8.45	173.53	--	--
7	1.29	1.00, 0.500	0.0010050	0.000565	0.00	-172.73	6.56	173.53	--	--
8	1.50	1.00, 0.500	0.0010050	0.000565	0.00	-172.73	5.44	173.53	--	--
9	1.72	1.00, 0.500	0.0010050	0.000565	0.00	-172.73	4.76	173.53	--	--
10	1.93	1.00, 0.500	0.0010050	0.000565	0.00	-172.73	4.37	173.53	--	--
11	2.15	1.00, 0.500	0.0010050	0.000565	0.00	-172.73	4.22	173.53	--	--

COMBINAZIONE n° 7

Valore della spinta statica	129.8045	[kN]		
Componente orizzontale della spinta statica	108.4355	[kN]		
Componente verticale della spinta statica	71.3509	[kN]		
Punto d'applicazione della spinta	X = 2.15	[m]	Y = -2.69	[m]
Inclinaz. della spinta rispetto alla normale alla superficie	33.35	[°]		
Inclinazione linea di rottura in condizioni statiche	46.69	[°]		
Peso terrapieno gravante sulla fondazione a monte	145.8665	[kN]		
Baricentro terrapieno gravante sulla fondazione a monte	X = 1.09	[m]	Y = -1.95	[m]
Numero contrafforti	8			
Peso del singolo contrafforte	7.4700	[kN]		
Peso del contrafforte riferito ad un metro di muro	6.2250	[kN]		
Baricentro contrafforte	X = 0.23	[m]	Y = -2.35	[m]

Risultanti carichi esterni

Componente dir. X	4.50	[kN]
-------------------	------	------

Risultanti

Risultante dei carichi applicati in dir. orizzontale	112.9355	[kN]
--	----------	------

PV_D_SR_AP_MU_3_F_005-_001_N_001_R_A_0

Muro MU.3F.05.N – Relazione di Calcolo

Risultante dei carichi applicati in dir. verticale	273.8424	[kN]
Resistenza passiva a valle del muro	-19.1568	[kN]
Momento ribaltante rispetto allo spigolo a valle	225.4192	[kNm]
Momento stabilizzante rispetto allo spigolo a valle	512.6472	[kNm]
Sforzo normale sul piano di posa della fondazione	273.8424	[kN]
Sforzo tangenziale sul piano di posa della fondazione	112.9355	[kN]
Eccentricità rispetto al baricentro della fondazione	0.35	[m]
Lunghezza fondazione reagente	2.80	[m]
Risultante in fondazione	296.2163	[kN]
Inclinazione della risultante (rispetto alla normale)	22.41	[°]
Momento rispetto al baricentro della fondazione	96.1513	[kNm]

COEFFICIENTI DI SICUREZZA

Coefficiente di sicurezza a ribaltamento 2.27

Stabilità globale muro + terreno**Combinazione n° 8**

Le ascisse X sono considerate positive verso monte

Le ordinate Y sono considerate positive verso l'alto

Origine in testa al muro (spigolo contro terra)

W peso della striscia espresso in [kN]

 α angolo fra la base della striscia e l'orizzontale espresso in [°] (positivo antiorario) ϕ angolo d'attrito del terreno lungo la base della strisciac coesione del terreno lungo la base della striscia espressa in [N/mm²]

b larghezza della striscia espressa in [m]

u pressione neutra lungo la base della striscia espressa in [N/mm²]

Metodo di Bishop

Numero di cerchi analizzati 36

Numero di strisce 25

Cerchio critico

Coordinate del centro X[m]= 0.00 Y[m]= 3.41

Raggio del cerchio R[m]= 8.20

Ascissa a valle del cerchio Xi[m]= -4.58

Ascissa a monte del cerchio Xs[m]= 8.18

Larghezza della striscia dx[m]= 0.51

Coefficiente di sicurezza C= 1.83

Le strisce sono numerate da monte verso valle

Caratteristiche delle strisce

Striscia	W	α (°)	$W\sin\alpha$	$b/\cos\alpha$	ϕ	c	u
1	2130.97	77.64	2081.56	2.38	29.26	0.000	0.000
2	3458.81	65.05	3136.00	1.21	31.30	0.007	0.000
3	4141.26	57.50	3492.64	0.95	33.87	0.016	0.000
4	4602.45	51.32	3593.08	0.82	33.87	0.016	0.000
5	4920.95	45.91	3534.22	0.73	33.87	0.016	0.000
6	5138.41	40.98	3369.76	0.68	33.87	0.016	0.000
7	5277.59	36.40	3131.96	0.63	33.87	0.016	0.000
8	5352.57	32.08	2842.85	0.60	33.87	0.016	0.000
9	5372.71	27.96	2518.79	0.58	33.87	0.016	0.000
10	5344.56	23.99	2172.65	0.56	33.87	0.016	0.000
11	5272.84	20.13	1815.07	0.54	33.87	0.016	0.000
12	5155.02	16.38	1453.45	0.53	33.87	0.016	0.000
13	4957.39	12.69	1089.00	0.52	33.87	0.016	0.000
14	4814.42	9.06	757.78	0.52	33.87	0.016	0.000
15	4859.95	5.46	462.31	0.51	33.87	0.016	0.000
16	4893.98	1.88	160.80	0.51	33.87	0.016	0.000
17	3002.65	-1.69	-88.32	0.51	33.87	0.016	0.000
18	1442.41	-5.26	-132.25	0.51	33.87	0.016	0.000

PV_D_SR_AP_MU_3_F_005-_001_N_001_R_A_0

Muro MU.3F.05.N – Relazione di Calcolo

19	1337.38	-8.86	-205.90	0.52	33.87	0.016	0.000
20	1237.22	-12.49	-267.52	0.52	33.87	0.016	0.000
21	1101.43	-16.17	-306.76	0.53	33.87	0.016	0.000
22	928.21	-19.92	-316.32	0.54	33.87	0.016	0.000
23	715.04	-23.77	-288.21	0.56	33.87	0.016	0.000
24	458.53	-27.73	-213.38	0.58	33.87	0.016	0.000
25	154.02	-31.85	-81.27	0.60	33.87	0.016	0.000

 $\Sigma W_i = 844.0791$ [kN] $\Sigma W_i \sin \alpha_i = 330.6069$ [kN] $\Sigma W_i \tan \phi_i = 562.1465$ [kN] $\Sigma \tan \alpha_i \tan \phi_i = 7.55$ COMBINAZIONE n° 9

Valore della spinta statica	79.9538	[kN]		
Componente orizzontale della spinta statica	61.5454	[kN]		
Componente verticale della spinta statica	51.0369	[kN]		
Punto d'applicazione della spinta	X = 2.15	[m]	Y = -2.88	[m]
Inclinaz. della spinta rispetto alla normale alla superficie	39.67	[°]		
Inclinazione linea di rottura in condizioni statiche	50.32	[°]		
Incremento sismico della spinta	55.6772	[kN]		
Punto d'applicazione dell'incremento sismico di spinta	X = 2.15	[m]	Y = -2.88	[m]
Inclinazione linea di rottura in condizioni sismiche	45.76	[°]		
Peso terrapieno gravante sulla fondazione a monte	162.0738	[kN]		
Baricentro terrapieno gravante sulla fondazione a monte	X = 1.09	[m]	Y = -1.95	[m]
Numero contrafforti	8			
Peso del singolo contrafforte	8.3000	[kN]		
Peso del contrafforte riferito ad un metro di muro	6.9167	[kN]		
Baricentro contrafforte	X = 0.23	[m]	Y = -2.35	[m]
Inerzia del muro	5.5000	[kN]		
Inerzia verticale del muro	2.7500	[kN]		
Inerzia del terrapieno fondazione di monte	17.8281	[kN]		
Inerzia verticale del terrapieno fondazione di monte	8.9140	[kN]		
Inerzia del singolo contrafforte	0.9130	[kN]		
Inerzia del contrafforte riferita ad un metro di muro	0.7608	[kN]		
Inerzia verticale del singolo contrafforte	0.4565	[kN]		
Inerzia verticale del contrafforte riferita ad un metro di muro	0.3804	[kN]		

Risultanti

Risultante dei carichi applicati in dir. orizzontale	129.1525	[kN]
Risultante dei carichi applicati in dir. verticale	323.6124	[kN]
Resistenza passiva a valle del muro	-27.8234	[kN]
Sforzo normale sul piano di posa della fondazione	323.6124	[kN]
Sforzo tangenziale sul piano di posa della fondazione	129.1525	[kN]
Eccentricità rispetto al baricentro della fondazione	0.20	[m]
Lunghezza fondazione reagente	2.80	[m]
Risultante in fondazione	348.4327	[kN]
Inclinazione della risultante (rispetto alla normale)	21.76	[°]
Momento rispetto al baricentro della fondazione	65.9129	[kNm]
Carico ultimo della fondazione	3433.2856	[kN]

Tensioni sul terreno

Lunghezza fondazione reagente	2.80	[m]
Tensione terreno allo spigolo di valle	0.16602	[N/mm ²]
Tensione terreno allo spigolo di monte	0.06513	[N/mm ²]

Fattori per il calcolo della capacità portante

PV_D_SR_AP_MU_3_F_005-_001_N_001_R_A_0

Muro MU.3F.05.N – Relazione di Calcolo

Coeff. capacità portante	$N_c = 75.31$	$N_q = 64.20$	$N_\gamma = 109.41$
Fattori forma	$s_c = 1.00$	$s_q = 1.00$	$s_\gamma = 1.00$
Fattori inclinazione	$i_c = 0.40$	$i_q = 0.41$	$i_\gamma = 0.24$
Fattori profondità	$d_c = 1.16$	$d_q = 1.08$	$d_\gamma = 1.00$
Fattori inclinazione piano posa	$b_c = 1.00$	$b_q = 1.00$	$b_\gamma = 1.00$
Fattori inclinazione pendio	$g_c = 1.00$	$g_q = 1.00$	$g_\gamma = 1.00$

I coefficienti N' tengono conto dei fattori di forma, profondità, inclinazione carico, inclinazione piano di posa, inclinazione pendio.

$N'_c = 47.98$	$N'_q = 38.80$	$N'_\gamma = 43.89$
----------------	----------------	---------------------

COEFFICIENTI DI SICUREZZA

Coefficiente di sicurezza a scorrimento	2.32
Coefficiente di sicurezza a carico ultimo	10.61

Sollecitazioni fondazione di valleCombinazione n° 9

L'ascissa X(espressa in m) è considerata positiva verso monte con origine in corrispondenza dell'estremo libero della fondazione di valle

Momento positivo se tende le fibre inferiori, espresso in kNm

Taglio positivo se diretto verso l'alto, espresso in kN

Nr.	X	M	T
1	0.00	0.0000	0.0000
2	0.05	0.1761	7.0309
3	0.10	0.7016	13.9718
4	0.15	1.5718	20.8226
5	0.20	2.7823	27.5833
6	0.25	4.3286	34.2539
7	0.30	6.2062	40.8344
8	0.35	8.4106	47.3249
9	0.40	10.9372	53.7253
10	0.45	13.7816	60.0356
11	0.50	16.9393	66.2558

Sollecitazioni fondazione di monteCombinazione n° 9

L'ascissa X(espressa in m) è considerata positiva verso valle con origine in corrispondenza dell'estremo libero della fondazione di monte

Momento positivo se tende le fibre inferiori, espresso in kNm

Taglio positivo se diretto verso l'alto, espresso in kN

Nr.	X	M	T
1	0.00	0.0000	0.0000
2	0.21	-0.6726	-5.8913
3	0.43	-2.3761	-9.5893
4	0.65	-4.6388	-11.0939
5	0.86	-6.9897	-10.4258
6	1.07	-8.9954	-7.9549
7	1.29	-10.2909	-3.8185
8	1.50	-10.5180	1.9834
9	1.72	-9.3187	9.4509
10	1.93	-6.3348	18.5839
11	2.15	-1.2082	29.3825

Armature e tensioni nei materiali della fondazioneCombinazione n° 9

Simbologia adottata

B base della sezione espressa in [m]

H altezza della sezione espressa in [m]

PV_D_SR_AP_MU_3_F_005-_001_N_001_R_A_0

Muro MU.3F.05.N – Relazione di Calcolo

A _{fi}	area di armatura in corrispondenza del lembo inferiore in [mq]
A _{fs}	area di armatura in corrispondenza del lembo superiore in [mq]
N _u	sforzo normale ultimo espresso in [kN]
M _u	momento ultimo espresso in [kNm]
CS	coefficiente sicurezza sezione
VR _{cd}	Aliquota di taglio assorbito dal cls, espresso in [kN]
VR _{sd}	Aliquota di taglio assorbito dall'armatura, espresso in [kN]
VR _d	Resistenza al taglio, espresso in [kN]

Fondazione di valle

(L'ascissa X, espressa in [m], è positiva verso monte con origine in corrispondenza dell'estremo libero della fondazione di valle)

Nr.	Y	B, H	A _{fs}	A _{fi}	N _u	M _u	CS	V _{Rd}	V _{Rcd}	V _{Rsd}
1	0.00	1.00, 0.500	0.000000	0.000565	0.00	0.00	1000.00	173.53	--	--
2	0.05	1.00, 0.500	0.000000	0.000565	0.00	98.61	559.80	173.53	--	--
3	0.10	1.00, 0.500	0.010050	0.000565	0.00	98.55	140.47	173.53	--	--
4	0.15	1.00, 0.500	0.010050	0.000565	0.00	98.55	62.70	173.53	--	--
5	0.20	1.00, 0.500	0.010050	0.000565	0.00	98.55	35.42	173.53	--	--
6	0.25	1.00, 0.500	0.010050	0.000565	0.00	98.55	22.77	173.53	--	--
7	0.30	1.00, 0.500	0.010050	0.000565	0.00	98.55	15.88	173.53	--	--
8	0.35	1.00, 0.500	0.010050	0.000565	0.00	98.55	11.72	173.53	--	--
9	0.40	1.00, 0.500	0.010050	0.000565	0.00	98.55	9.01	173.53	--	--
10	0.45	1.00, 0.500	0.010050	0.000565	0.00	98.55	7.15	173.53	--	--
11	0.50	1.00, 0.500	0.010050	0.000565	0.00	98.55	5.82	173.53	--	--

Fondazione di monte

(L'ascissa X, espressa in [m], è positiva verso valle con origine in corrispondenza dell'estremo libero della fondazione di monte)

Nr.	Y	B, H	A _{fs}	A _{fi}	N _u	M _u	CS	V _{Rd}	V _{Rcd}	V _{Rsd}
1	0.00	1.00, 0.500	0.000000	0.000565	0.00	0.00	1000.00	173.53	--	--
2	0.21	1.00, 0.500	0.010050	0.000565	0.00	-172.73	256.80	173.53	--	--
3	0.43	1.00, 0.500	0.010050	0.000565	0.00	-172.73	72.70	173.53	--	--
4	0.65	1.00, 0.500	0.010050	0.000565	0.00	-172.73	37.24	173.53	--	--
5	0.86	1.00, 0.500	0.010050	0.000565	0.00	-172.73	24.71	173.53	--	--
6	1.07	1.00, 0.500	0.010050	0.000565	0.00	-172.73	19.20	173.53	--	--
7	1.29	1.00, 0.500	0.010050	0.000565	0.00	-172.73	16.78	173.53	--	--
8	1.50	1.00, 0.500	0.010050	0.000565	0.00	-172.73	16.42	173.53	--	--
9	1.72	1.00, 0.500	0.010050	0.000565	0.00	-172.73	18.54	173.53	--	--
10	1.93	1.00, 0.500	0.010050	0.000565	0.00	-172.73	27.27	173.53	--	--
11	2.15	1.00, 0.500	0.010050	0.000565	0.00	-172.73	142.96	173.53	--	--

COMBINAZIONE n° 10

Valore della spinta statica	79.9538	[kN]		
Componente orizzontale della spinta statica	61.5454	[kN]		
Componente verticale della spinta statica	51.0369	[kN]		
Punto d'applicazione della spinta	X = 2.15	[m]	Y = -2.88	[m]
Inclinaz. della spinta rispetto alla normale alla superficie	39.67	[°]		
Inclinazione linea di rottura in condizioni statiche	50.32	[°]		
Incremento sismico della spinta	46.5183	[kN]		
Punto d'applicazione dell'incremento sismico di spinta	X = 2.15	[m]	Y = -2.88	[m]
Inclinazione linea di rottura in condizioni sismiche	45.26	[°]		
Peso terrapieno gravante sulla fondazione a monte	162.0738	[kN]		
Baricentro terrapieno gravante sulla fondazione a monte	X = 1.09	[m]	Y = -1.95	[m]
Numero contrafforti	8			
Peso del singolo contrafforte	8.3000	[kN]		
Peso del contrafforte riferito ad un metro di muro	6.9167	[kN]		
Baricentro contrafforte	X = 0.23	[m]	Y = -2.35	[m]
Inerzia del muro	5.5000	[kN]		

PV_D_SR_AP_MU_3_F_005-_001_N_001_R_A_0

Muro MU.3F.05.N – Relazione di Calcolo

Inerzia verticale del muro	-2.7500	[kN]
Inerzia del terrapieno fondazione di monte	17.8281	[kN]
Inerzia verticale del terrapieno fondazione di monte	-8.9140	[kN]
Inerzia del singolo contrafforte	0.9130	[kN]
Inerzia del contrafforte riferita ad un metro di muro	0.7608	[kN]
Inerzia verticale del singolo contrafforte	-0.4565	[kN]
Inerzia verticale del contrafforte riferita ad un metro di muro	-0.3804	[kN]

Risultanti

Risultante dei carichi applicati in dir. orizzontale	122.1024	[kN]
Risultante dei carichi applicati in dir. verticale	293.6771	[kN]
Resistenza passiva a valle del muro	-27.8234	[kN]
Sforzo normale sul piano di posa della fondazione	293.6771	[kN]
Sforzo tangenziale sul piano di posa della fondazione	122.1024	[kN]
Eccentricità rispetto al baricentro della fondazione	0.23	[m]
Lunghezza fondazione reagente	2.80	[m]
Risultante in fondazione	318.0491	[kN]
Inclinazione della risultante (rispetto alla normale)	22.58	[°]
Momento rispetto al baricentro della fondazione	67.0169	[kNm]
Carico ultimo della fondazione	3152.6841	[kN]

Tensioni sul terreno

Lunghezza fondazione reagente	2.80	[m]
Tensione terreno allo spigolo di valle	0.15617	[N/mm ²]
Tensione terreno allo spigolo di monte	0.05360	[N/mm ²]

Fattori per il calcolo della capacità portante

Coeff. capacità portante	$N_c = 75.31$	$N_q = 64.20$	$N_\gamma = 109.41$
Fattori forma	$s_c = 1.00$	$s_q = 1.00$	$s_\gamma = 1.00$
Fattori inclinazione	$i_c = 0.38$	$i_q = 0.39$	$i_\gamma = 0.23$
Fattori profondità	$d_c = 1.16$	$d_q = 1.08$	$d_\gamma = 1.00$
Fattori inclinazione piano posa	$b_c = 1.00$	$b_q = 1.00$	$b_\gamma = 1.00$
Fattori inclinazione pendio	$g_c = 1.00$	$g_q = 1.00$	$g_\gamma = 1.00$

I coefficienti N' tengono conto dei fattori di forma, profondità, inclinazione carico, inclinazione piano di posa, inclinazione pendio.

$$N'_c = 47.98 \qquad N'_q = 38.80 \qquad N'_\gamma = 43.89$$

COEFFICIENTI DI SICUREZZA

Coefficiente di sicurezza a scorrimento	2.25
Coefficiente di sicurezza a carico ultimo	10.74

Sollecitazioni fondazione di valleCombinazione n° 10

L'ascissa X(espressa in m) è considerata positiva verso monte con origine in corrispondenza dell'estremo libero della fondazione di valle

Momento positivo se tende le fibre inferiori, espresso in kNm

Taglio positivo se diretto verso l'alto, espresso in kN

Nr.	X	M	T
1	0.00	0.0000	0.0000
2	0.05	0.1638	6.5379
3	0.10	0.6523	12.9841
4	0.15	1.4607	19.3388
5	0.20	2.5846	25.6019
6	0.25	4.0194	31.7734
7	0.30	5.7604	37.8534
8	0.35	7.8032	43.8417
9	0.40	10.1431	49.7385
10	0.45	12.7755	55.5436
11	0.50	15.6959	61.2572

PV_D_SR_AP_MU_3_F_005-_001_N_001_R_A_0

Sollecitazioni fondazione di monte

Combinazione n° 10

L'ascissa X(espressa in m) è considerata positiva verso valle con origine in corrispondenza dell'estremo libero della fondazione di monte

Momento positivo se tende le fibre inferiori, espresso in kNm

Taglio positivo se diretto verso l'alto, espresso in kN

Nr.	X	M	T
1	0.00	0.0000	0.0000
2	0.21	-0.9382	-8.3576
3	0.43	-3.4346	-14.4940
4	0.65	-7.0115	-18.4092
5	0.86	-11.1918	-20.1236
6	1.07	-15.5362	-20.0075
7	1.29	-19.6736	-18.1979
8	1.50	-23.2399	-14.6949
9	1.72	-25.8710	-9.4984
10	1.93	-27.2029	-2.6086
11	2.15	-26.8714	5.9748

Armature e tensioni nei materiali della fondazione

Combinazione n° 10

Simbologia adottata

B	base della sezione espressa in [m]
H	altezza della sezione espressa in [m]
A _{fi}	area di armatura in corrispondenza del lembo inferiore in [mq]
A _{fs}	area di armatura in corrispondenza del lembo superiore in [mq]
N _u	sforzo normale ultimo espresso in [kN]
M _u	momento ultimo espresso in [kNm]
CS	coefficiente sicurezza sezione
VRcd	Aliquota di taglio assorbito dal cls, espresso in [kN]
VRsd	Aliquota di taglio assorbito dall'armatura, espresso in [kN]
VRd	Resistenza al taglio, espresso in [kN]

Fondazione di valle

(L'ascissa X, espressa in [m], è positiva verso monte con origine in corrispondenza dell'estremo libero della fondazione di valle)

Nr.	Y	B, H	A _{fs}	A _{fi}	N _u	M _u	CS	V _{Rd}	V _{Rcd}	V _{Rsd}
1	0.00	1.00, 0.500	0.0000000	0.000565	0.00	0.00	1000.00	173.53	--	--
2	0.05	1.00, 0.500	0.0000000	0.000565	0.00	98.61	601.90	173.53	--	--
3	0.10	1.00, 0.500	0.010050	0.000565	0.00	98.55	151.10	173.53	--	--
4	0.15	1.00, 0.500	0.010050	0.000565	0.00	98.55	67.47	173.53	--	--
5	0.20	1.00, 0.500	0.010050	0.000565	0.00	98.55	38.13	173.53	--	--
6	0.25	1.00, 0.500	0.010050	0.000565	0.00	98.55	24.52	173.53	--	--
7	0.30	1.00, 0.500	0.010050	0.000565	0.00	98.55	17.11	173.53	--	--
8	0.35	1.00, 0.500	0.010050	0.000565	0.00	98.55	12.63	173.53	--	--
9	0.40	1.00, 0.500	0.010050	0.000565	0.00	98.55	9.72	173.53	--	--
10	0.45	1.00, 0.500	0.010050	0.000565	0.00	98.55	7.71	173.53	--	--
11	0.50	1.00, 0.500	0.010050	0.000565	0.00	98.55	6.28	173.53	--	--

Fondazione di monte

(L'ascissa X, espressa in [m], è positiva verso valle con origine in corrispondenza dell'estremo libero della fondazione di monte)

Nr.	Y	B, H	A _{fs}	A _{fi}	N _u	M _u	CS	V _{Rd}	V _{Rcd}	V _{Rsd}
1	0.00	1.00, 0.500	0.0000000	0.000565	0.00	0.00	1000.00	173.53	--	--
2	0.21	1.00, 0.500	0.010050	0.000565	0.00	-172.73	184.10	173.53	--	--
3	0.43	1.00, 0.500	0.010050	0.000565	0.00	-172.73	50.29	173.53	--	--
4	0.65	1.00, 0.500	0.010050	0.000565	0.00	-172.73	24.64	173.53	--	--
5	0.86	1.00, 0.500	0.010050	0.000565	0.00	-172.73	15.43	173.53	--	--

PV_D_SR_AP_MU_3_F_005-_001_N_001_R_A_0

Muro MU.3F.05.N – Relazione di Calcolo

6	1.07	1.00, 0.500.0010050.000565	0.00	-172.73	11.12	173.53	--	--
7	1.29	1.00, 0.500.0010050.000565	0.00	-172.73	8.78	173.53	--	--
8	1.50	1.00, 0.500.0010050.000565	0.00	-172.73	7.43	173.53	--	--
9	1.72	1.00, 0.500.0010050.000565	0.00	-172.73	6.68	173.53	--	--
10	1.93	1.00, 0.500.0010050.000565	0.00	-172.73	6.35	173.53	--	--
11	2.15	1.00, 0.500.0010050.000565	0.00	-172.73	6.43	173.53	--	--

COMBINAZIONE n° 11

Valore della spinta statica	117.2418	[kN]					
Componente orizzontale della spinta statica	97.9413	[kN]					
Componente verticale della spinta statica	64.4448	[kN]					
Punto d'applicazione della spinta	X = 2.15	[m]	Y = -2.69			[m]	
Inclinaz. della spinta rispetto alla normale alla superficie	33.34	[°]					
Inclinazione linea di rottura in condizioni statiche	46.69	[°]					
Incremento sismico della spinta	64.1831	[kN]					
Punto d'applicazione dell'incremento sismico di spinta	X = 2.15	[m]	Y = -2.69			[m]	
Inclinazione linea di rottura in condizioni sismiche	41.81	[°]					
Peso terrapieno gravante sulla fondazione a monte	162.0738	[kN]					
Baricentro terrapieno gravante sulla fondazione a monte	X = 1.09	[m]	Y = -1.95			[m]	
Numero contrafforti	8						
Peso del singolo contrafforte	8.3000	[kN]					
Peso del contrafforte riferito ad un metro di muro	6.9167	[kN]					
Baricentro contrafforte	X = 0.23	[m]	Y = -2.35			[m]	
Inerzia del muro	5.5000	[kN]					
Inerzia verticale del muro	2.7500	[kN]					
Inerzia del terrapieno fondazione di monte	17.8281	[kN]					
Inerzia verticale del terrapieno fondazione di monte	8.9140	[kN]					
Inerzia del singolo contrafforte	0.9130	[kN]					
Inerzia del contrafforte riferita ad un metro di muro	0.7608	[kN]					
Inerzia verticale del singolo contrafforte	0.4565	[kN]					
Inerzia verticale del contrafforte riferita ad un metro di muro	0.3804	[kN]					

Risultanti

Risultante dei carichi applicati in dir. orizzontale	176.3074	[kN]		
Risultante dei carichi applicati in dir. verticale	336.7596	[kN]		
Resistenza passiva a valle del muro	-21.2853	[kN]		
Sforzo normale sul piano di posa della fondazione	336.7596	[kN]		
Sforzo tangenziale sul piano di posa della fondazione	176.3074	[kN]		
Eccentricità rispetto al baricentro della fondazione	0.45	[m]		
Lunghezza fondazione reagente	2.80	[m]		
Risultante in fondazione	380.1202	[kN]		
Inclinazione della risultante (rispetto alla normale)	27.63	[°]		
Momento rispetto al baricentro della fondazione	151.8281	[kNm]		
Carico ultimo della fondazione	667.6025	[kN]		

Tensioni sul terreno

Lunghezza fondazione reagente	2.80	[m]
Tensione terreno allo spigolo di valle	0.23647	[N/mm ²]
Tensione terreno allo spigolo di monte	0.00408	[N/mm ²]

Fattori per il calcolo della capacità portante

Coeff. capacità portante	$N_c = 75.31$	$N_q = 64.20$	$N_\gamma = 109.41$
Fattori forma	$s_c = 1.00$	$s_q = 1.00$	$s_\gamma = 1.00$
Fattori inclinazione	$i_c = 0.24$	$i_q = 0.27$	$i_\gamma = 0.13$
Fattori profondità	$d_c = 1.16$	$d_q = 1.10$	$d_\gamma = 1.00$
Fattori inclinazione piano posa	$b_c = 1.00$	$b_q = 1.00$	$b_\gamma = 1.00$
Fattori inclinazione pendio	$g_c = 1.00$	$g_q = 1.00$	$g_\gamma = 1.00$

PV_D_SR_AP_MU_3_F_005-_001_N_001_R_A_0

Muro MU.3F.05.N – Relazione di Calcolo

I coefficienti N' tengono conto dei fattori di forma, profondità, inclinazione carico, inclinazione piano di posa, inclinazione pendio.

$$N'_c = 47.98$$

$$N'_q = 38.80$$

$$N'_y = 43.89$$

COEFFICIENTI DI SICUREZZA

Coefficiente di sicurezza a scorrimento	1.40
Coefficiente di sicurezza a carico ultimo	1.98

Sollecitazioni fondazione di valleCombinazione n° 11

L'ascissa X(espressa in m) è considerata positiva verso monte con origine in corrispondenza dell'estremo libero della fondazione di valle

Momento positivo se tende le fibre inferiori, espresso in kNm

Taglio positivo se diretto verso l'alto, espresso in kN

Nr.	X	M	T
1	0.00	0.0000	0.0000
2	0.05	0.2632	10.4946
3	0.10	1.0460	20.7816
4	0.15	2.3379	30.8612
5	0.20	4.1287	40.7333
6	0.25	6.4078	50.3979
7	0.30	9.1650	59.8550
8	0.35	12.3899	69.1047
9	0.40	16.0720	78.1468
10	0.45	20.2011	86.9814
11	0.50	24.7667	95.6086

Sollecitazioni fondazione di monteCombinazione n° 11

L'ascissa X(espressa in m) è considerata positiva verso valle con origine in corrispondenza dell'estremo libero della fondazione di monte

Momento positivo se tende le fibre inferiori, espresso in kNm

Taglio positivo se diretto verso l'alto, espresso in kN

Nr.	X	M	T
1	0.00	0.0000	0.0000
2	0.21	-2.0060	-17.9329
3	0.43	-7.3984	-31.5014
4	0.65	-15.2388	-40.7057
5	0.86	-24.5894	-45.5661
6	1.07	-34.5502	-46.4529
7	1.29	-44.2892	-43.5032
8	1.50	-52.9816	-36.7170
9	1.72	-59.8026	-26.0943
10	1.93	-63.9272	-11.6351
11	2.15	-64.5307	6.6607

Armature e tensioni nei materiali della fondazioneCombinazione n° 11

Simbologia adottata

B	base della sezione espressa in [m]
H	altezza della sezione espressa in [m]
A _{fi}	area di armatura in corrispondenza del lembo inferiore in [mq]
A _{fs}	area di armatura in corrispondenza del lembo superiore in [mq]
N _u	sforzo normale ultimo espresso in [kN]
M _u	momento ultimo espresso in [kNm]
CS	coefficiente sicurezza sezione
VR _{cd}	Aliquota di taglio assorbito dal cls, espresso in [kN]
VR _{sd}	Aliquota di taglio assorbito dall'armatura, espresso in [kN]
VR _d	Resistenza al taglio, espresso in [kN]

PV_D_SR_AP_MU_3_F_005-_001_N_001_R_A_0

Muro MU.3F.05.N – Relazione di Calcolo

Fondazione di valle

(L'ascissa X, espressa in [m], è positiva verso monte con origine in corrispondenza dell'estremo libero della fondazione di valle)

Nr.	Y	B, H	A _{fs}	A _{fi}	N _u	M _u	CS	V _{Rd}	V _{Rcd}	V _{Rsd}
1	0.00	1.00, 0.500.0000000.000565			0.00	0.00	1000.00	173.53	--	--
2	0.05	1.00, 0.500.0000000.000565			0.00	98.61	374.61	173.53	--	--
3	0.10	1.00, 0.500.0010050.000565			0.00	98.55	94.22	173.53	--	--
4	0.15	1.00, 0.500.0010050.000565			0.00	98.55	42.15	173.53	--	--
5	0.20	1.00, 0.500.0010050.000565			0.00	98.55	23.87	173.53	--	--
6	0.25	1.00, 0.500.0010050.000565			0.00	98.55	15.38	173.53	--	--
7	0.30	1.00, 0.500.0010050.000565			0.00	98.55	10.75	173.53	--	--
8	0.35	1.00, 0.500.0010050.000565			0.00	98.55	7.95	173.53	--	--
9	0.40	1.00, 0.500.0010050.000565			0.00	98.55	6.13	173.53	--	--
10	0.45	1.00, 0.500.0010050.000565			0.00	98.55	4.88	173.53	--	--
11	0.50	1.00, 0.500.0010050.000565			0.00	98.55	3.98	173.53	--	--

Fondazione di monte

(L'ascissa X, espressa in [m], è positiva verso valle con origine in corrispondenza dell'estremo libero della fondazione di monte)

Nr.	Y	B, H	A _{fs}	A _{fi}	N _u	M _u	CS	V _{Rd}	V _{Rcd}	V _{Rsd}
1	0.00	1.00, 0.500.0000000.000565			0.00	0.00	1000.00	173.53	--	--
2	0.21	1.00, 0.500.0010050.000565			0.00	-172.73	86.11	173.53	--	--
3	0.43	1.00, 0.500.0010050.000565			0.00	-172.73	23.35	173.53	--	--
4	0.65	1.00, 0.500.0010050.000565			0.00	-172.73	11.33	173.53	--	--
5	0.86	1.00, 0.500.0010050.000565			0.00	-172.73	7.02	173.53	--	--
6	1.07	1.00, 0.500.0010050.000565			0.00	-172.73	5.00	173.53	--	--
7	1.29	1.00, 0.500.0010050.000565			0.00	-172.73	3.90	173.53	--	--
8	1.50	1.00, 0.500.0010050.000565			0.00	-172.73	3.26	173.53	--	--
9	1.72	1.00, 0.500.0010050.000565			0.00	-172.73	2.89	173.53	--	--
10	1.93	1.00, 0.500.0010050.000565			0.00	-172.73	2.70	173.53	--	--
11	2.15	1.00, 0.500.0010050.000565			0.00	-172.73	2.68	173.53	--	--

COMBINAZIONE n° 12

Valore della spinta statica	117.2418	[kN]		
Componente orizzontale della spinta statica	97.9413	[kN]		
Componente verticale della spinta statica	64.4448	[kN]		
Punto d'applicazione della spinta	X = 2.15	[m]	Y = -2.69	[m]
Inclinaz. della spinta rispetto alla normale alla superficie	33.34	[°]		
Inclinazione linea di rottura in condizioni statiche	46.69	[°]		
Incremento sismico della spinta	51.3571	[kN]		
Punto d'applicazione dell'incremento sismico di spinta	X = 2.15	[m]	Y = -2.69	[m]
Inclinazione linea di rottura in condizioni sismiche	41.25	[°]		
Peso terrapieno gravante sulla fondazione a monte	162.0738	[kN]		
Baricentro terrapieno gravante sulla fondazione a monte	X = 1.09	[m]	Y = -1.95	[m]
Numero contrafforti	8			
Peso del singolo contrafforte	8.3000	[kN]		
Peso del contrafforte riferito ad un metro di muro	6.9167	[kN]		
Baricentro contrafforte	X = 0.23	[m]	Y = -2.35	[m]
Inerzia del muro	5.5000	[kN]		
Inerzia verticale del muro	-2.7500	[kN]		
Inerzia del terrapieno fondazione di monte	17.8281	[kN]		
Inerzia verticale del terrapieno fondazione di monte	-8.9140	[kN]		
Inerzia del singolo contrafforte	0.9130	[kN]		
Inerzia del contrafforte riferita ad un metro di muro	0.7608	[kN]		
Inerzia verticale del singolo contrafforte	-0.4565	[kN]		
Inerzia verticale del contrafforte riferita ad un metro di muro	-0.3804	[kN]		
PV_D_SR_AP_MU_3_F_005-001_N_001_R_A_0				

Muro MU.3F.05.N – Relazione di Calcolo

Risultanti

Risultante dei carichi applicati in dir. orizzontale	165.5929	[kN]
Risultante dei carichi applicati in dir. verticale	305.6206	[kN]
Resistenza passiva a valle del muro	-21.2853	[kN]
Sforzo normale sul piano di posa della fondazione	305.6206	[kN]
Sforzo tangenziale sul piano di posa della fondazione	165.5929	[kN]
Eccentricità rispetto al baricentro della fondazione	0.48	[m]
Lunghezza fondazione reagente	2.76	[m]
Risultante in fondazione	347.5988	[kN]
Inclinazione della risultante (rispetto alla normale)	28.45	[°]
Momento rispetto al baricentro della fondazione	146.7060	[kNm]
Carico ultimo della fondazione	593.8452	[kN]

Tensioni sul terreno

Lunghezza fondazione reagente	2.76	[m]
Tensione terreno allo spigolo di valle	0.22147	[N/mm ²]
Tensione terreno allo spigolo di monte	0.00000	[N/mm ²]

Fattori per il calcolo della capacità portante

Coeff. capacità portante	$N_c = 75.31$	$N_q = 64.20$	$N_\gamma = 109.41$
Fattori forma	$s_c = 1.00$	$s_q = 1.00$	$s_\gamma = 1.00$
Fattori inclinazione	$i_c = 0.22$	$i_q = 0.25$	$i_\gamma = 0.11$
Fattori profondità	$d_c = 1.16$	$d_q = 1.10$	$d_\gamma = 1.00$
Fattori inclinazione piano posa	$b_c = 1.00$	$b_q = 1.00$	$b_\gamma = 1.00$
Fattori inclinazione pendio	$g_c = 1.00$	$g_q = 1.00$	$g_\gamma = 1.00$
I coefficienti N' tengono conto dei fattori di forma, profondità, inclinazione carico, inclinazione piano di posa, inclinazione pendio.			
	$N'_c = 47.98$	$N'_q = 38.80$	$N'_\gamma = 43.89$

COEFFICIENTI DI SICUREZZA

Coefficiente di sicurezza a scorrimento	1.37
Coefficiente di sicurezza a carico ultimo	1.94

Sollecitazioni fondazione di valleCombinazione n° 12

L'ascissa X (espressa in m) è considerata positiva verso monte con origine in corrispondenza dell'estremo libero della fondazione di valle

Momento positivo se tende le fibre inferiori, espresso in kNm

Taglio positivo se diretto verso l'alto, espresso in kN

Nr.	X	M	T
1	0.00	0.0000	0.0000
2	0.05	0.2445	9.7482
3	0.10	0.9715	19.2958
4	0.15	2.1708	28.6428
5	0.20	3.8324	37.7892
6	0.25	5.9464	46.7350
7	0.30	8.5026	55.4801
8	0.35	11.4910	64.0247
9	0.40	14.9017	72.3686
10	0.45	18.7245	80.5119
11	0.50	22.9495	88.4546

Sollecitazioni fondazione di monteCombinazione n° 12

L'ascissa X (espressa in m) è considerata positiva verso valle con origine in corrispondenza dell'estremo libero della fondazione di monte

Momento positivo se tende le fibre inferiori, espresso in kNm

PV_D_SR_AP_MU_3_F_005-_001_N_001_R_A_0

Muro MU.3F.05.N – Relazione di Calcolo

Taglio positivo se diretto verso l'alto, espresso in kN

Nr.	X	M	T
1	0.00	0.0000	0.0000
2	0.21	-2.1661	-19.4999
3	0.43	-8.0822	-34.8271
4	0.65	-16.8381	-45.9172
5	0.86	-27.5233	-52.7906
6	1.07	-39.2651	-55.8176
7	1.29	-51.2590	-55.1352
8	1.50	-62.7074	-50.7435
9	1.72	-72.8129	-42.6424
10	1.93	-80.7778	-30.8320
11	2.15	-85.8048	-15.3123

Armature e tensioni nei materiali della fondazione

Combinazione n° 12

Simbologia adottata

B	base della sezione espressa in [m]
H	altezza della sezione espressa in [m]
A _{fi}	area di armatura in corrispondenza del lembo inferiore in [mq]
A _{fs}	area di armatura in corrispondenza del lembo superiore in [mq]
N _u	sforzo normale ultimo espresso in [kN]
M _u	momento ultimo espresso in [kNm]
CS	coefficiente sicurezza sezione
V _{Rcd}	Aliquota di taglio assorbito dal cls, espresso in [kN]
V _{Rsd}	Aliquota di taglio assorbito dall'armatura, espresso in [kN]
VRd	Resistenza al taglio, espresso in [kN]

Fondazione di valle

(L'ascissa X, espressa in [m], è positiva verso monte con origine in corrispondenza dell'estremo libero della fondazione di valle)

Nr.	Y	B, H	A _{fs}	A _{fi}	N _u	M _u	CS	V _{Rd}	V _{Rcd}	V _{Rsd}
1	0.00	1.00, 0.500	0.000000	0.000565	0.00	0.00	1000.00	173.53	--	--
2	0.05	1.00, 0.500	0.000000	0.000565	0.00	98.61	403.24	173.53	--	--
3	0.10	1.00, 0.500	0.001005	0.000565	0.00	98.55	101.45	173.53	--	--
4	0.15	1.00, 0.500	0.001005	0.000565	0.00	98.55	45.40	173.53	--	--
5	0.20	1.00, 0.500	0.001005	0.000565	0.00	98.55	25.72	173.53	--	--
6	0.25	1.00, 0.500	0.001005	0.000565	0.00	98.55	16.57	173.53	--	--
7	0.30	1.00, 0.500	0.001005	0.000565	0.00	98.55	11.59	173.53	--	--
8	0.35	1.00, 0.500	0.001005	0.000565	0.00	98.55	8.58	173.53	--	--
9	0.40	1.00, 0.500	0.001005	0.000565	0.00	98.55	6.61	173.53	--	--
10	0.45	1.00, 0.500	0.001005	0.000565	0.00	98.55	5.26	173.53	--	--
11	0.50	1.00, 0.500	0.001005	0.000565	0.00	98.55	4.29	173.53	--	--

Fondazione di monte

(L'ascissa X, espressa in [m], è positiva verso valle con origine in corrispondenza dell'estremo libero della fondazione di monte)

Nr.	Y	B, H	A _{fs}	A _{fi}	N _u	M _u	CS	V _{Rd}	V _{Rcd}	V _{Rsd}
1	0.00	1.00, 0.500	0.000000	0.000565	0.00	0.00	1000.00	173.53	--	--
2	0.21	1.00, 0.500	0.001005	0.000565	0.00	-172.73	79.74	173.53	--	--
3	0.43	1.00, 0.500	0.001005	0.000565	0.00	-172.73	21.37	173.53	--	--
4	0.65	1.00, 0.500	0.001005	0.000565	0.00	-172.73	10.26	173.53	--	--
5	0.86	1.00, 0.500	0.001005	0.000565	0.00	-172.73	6.28	173.53	--	--
6	1.07	1.00, 0.500	0.001005	0.000565	0.00	-172.73	4.40	173.53	--	--
7	1.29	1.00, 0.500	0.001005	0.000565	0.00	-172.73	3.37	173.53	--	--
8	1.50	1.00, 0.500	0.001005	0.000565	0.00	-172.73	2.75	173.53	--	--
9	1.72	1.00, 0.500	0.001005	0.000565	0.00	-172.73	2.37	173.53	--	--
10	1.93	1.00, 0.500	0.001005	0.000565	0.00	-172.73	2.14	173.53	--	--
11	2.15	1.00, 0.500	0.001005	0.000565	0.00	-172.73	2.01	173.53	--	--

Muro MU.3F.05.N – Relazione di CalcoloCOMBINAZIONE n° 13

Valore della spinta statica	117.2418	[kN]		
Componente orizzontale della spinta statica	97.9413	[kN]		
Componente verticale della spinta statica	64.4448	[kN]		
Punto d'applicazione della spinta	X = 2.15	[m]	Y = -2.69	[m]
Inclinaz. della spinta rispetto alla normale alla superficie	33.34	[°]		
Inclinazione linea di rottura in condizioni statiche	46.69	[°]		
Incremento sismico della spinta	64.1831	[kN]		
Punto d'applicazione dell'incremento sismico di spinta	X = 2.15	[m]	Y = -2.69	[m]
Inclinazione linea di rottura in condizioni sismiche	41.81	[°]		
Peso terrapieno gravante sulla fondazione a monte	162.0738	[kN]		
Baricentro terrapieno gravante sulla fondazione a monte	X = 1.09	[m]	Y = -1.95	[m]
Numero contrafforti	8			
Peso del singolo contrafforte	8.3000	[kN]		
Peso del contrafforte riferito ad un metro di muro	6.9167	[kN]		
Baricentro contrafforte	X = 0.23	[m]	Y = -2.35	[m]
Inerzia del muro	5.5000	[kN]		
Inerzia verticale del muro	2.7500	[kN]		
Inerzia del terrapieno fondazione di monte	17.8281	[kN]		
Inerzia verticale del terrapieno fondazione di monte	8.9140	[kN]		
Inerzia del singolo contrafforte	0.9130	[kN]		
Inerzia del contrafforte riferita ad un metro di muro	0.7608	[kN]		
Inerzia verticale del singolo contrafforte	0.4565	[kN]		
Inerzia verticale del contrafforte riferita ad un metro di muro	0.3804	[kN]		

Risultanti

Risultante dei carichi applicati in dir. orizzontale	176.3074	[kN]		
Risultante dei carichi applicati in dir. verticale	336.7596	[kN]		
Resistenza passiva a valle del muro	-21.2853	[kN]		
Momento ribaltante rispetto allo spigolo a valle	326.2579	[kNm]		
Momento stabilizzante rispetto allo spigolo a valle	645.8932	[kNm]		
Sforzo normale sul piano di posa della fondazione	336.7596	[kN]		
Sforzo tangenziale sul piano di posa della fondazione	176.3074	[kN]		
Eccentricità rispetto al baricentro della fondazione	0.45	[m]		
Lunghezza fondazione reagente	2.80	[m]		
Risultante in fondazione	380.1202	[kN]		
Inclinazione della risultante (rispetto alla normale)	27.63	[°]		
Momento rispetto al baricentro della fondazione	151.8281	[kNm]		

COEFFICIENTI DI SICUREZZA

Coefficiente di sicurezza a ribaltamento	1.98			
--	------	--	--	--

COMBINAZIONE n° 14

Valore della spinta statica	117.2418	[kN]		
Componente orizzontale della spinta statica	97.9413	[kN]		
Componente verticale della spinta statica	64.4448	[kN]		
Punto d'applicazione della spinta	X = 2.15	[m]	Y = -2.69	[m]
Inclinaz. della spinta rispetto alla normale alla superficie	33.34	[°]		
Inclinazione linea di rottura in condizioni statiche	46.69	[°]		
Incremento sismico della spinta	51.3571	[kN]		
Punto d'applicazione dell'incremento sismico di spinta	X = 2.15	[m]	Y = -2.69	[m]
Inclinazione linea di rottura in condizioni sismiche	41.25	[°]		
Peso terrapieno gravante sulla fondazione a monte	162.0738	[kN]		
Baricentro terrapieno gravante sulla fondazione a monte	X = 1.09	[m]	Y = -1.95	[m]
Numero contrafforti	8			

PV_D_SR_AP_MU_3_F_005-_001_N_001_R_A_0

Muro MU.3F.05.N – Relazione di Calcolo

Peso del singolo contrafforte	8.3000	[kN]	
Peso del contrafforte riferito ad un metro di muro	6.9167	[kN]	
Baricentro contrafforte	X = 0.23	[m]	Y = -2.35 [m]
Inerzia del muro	5.5000	[kN]	
Inerzia verticale del muro	-2.7500	[kN]	
Inerzia del terrapieno fondazione di monte	17.8281	[kN]	
Inerzia verticale del terrapieno fondazione di monte	-8.9140	[kN]	
Inerzia del singolo contrafforte	0.9130	[kN]	
Inerzia del contrafforte riferita ad un metro di muro	0.7608	[kN]	
Inerzia verticale del singolo contrafforte	-0.4565	[kN]	
Inerzia verticale del contrafforte riferita ad un metro di muro	-0.3804	[kN]	

Risultanti

Risultante dei carichi applicati in dir. orizzontale	165.5929	[kN]
Risultante dei carichi applicati in dir. verticale	305.6206	[kN]
Resistenza passiva a valle del muro	-21.2853	[kN]
Momento ribaltante rispetto allo spigolo a valle	325.9531	[kNm]
Momento stabilizzante rispetto allo spigolo a valle	607.1160	[kNm]
Sforzo normale sul piano di posa della fondazione	305.6206	[kN]
Sforzo tangenziale sul piano di posa della fondazione	165.5929	[kN]
Eccentricità rispetto al baricentro della fondazione	0.48	[m]
Lunghezza fondazione reagente	2.76	[m]
Risultante in fondazione	347.5988	[kN]
Inclinazione della risultante (rispetto alla normale)	28.45	[°]
Momento rispetto al baricentro della fondazione	146.7060	[kNm]

COEFFICIENTI DI SICUREZZA

Coefficiente di sicurezza a ribaltamento	1.86
--	------

Stabilità globale muro + terrenoCombinazione n° 15

Le ascisse X sono considerate positive verso monte

Le ordinate Y sono considerate positive verso l'alto

Origine in testa al muro (spigolo contro terra)

W peso della striscia espresso in [kN]

 α angolo fra la base della striscia e l'orizzontale espresso in [°] (positivo antiorario) ϕ angolo d'attrito del terreno lungo la base della strisciac coesione del terreno lungo la base della striscia espressa in [N/mm²]

b larghezza della striscia espressa in [m]

u pressione neutra lungo la base della striscia espressa in [N/mm²]

Metodo di Bishop

Numero di cerchi analizzati 36

Numero di strisce 25

Cerchio critico

Coordinate del centro X[m]= 0.00 Y[m]= 3.41

Raggio del cerchio R[m]= 8.20

Ascissa a valle del cerchio Xi[m]= -4.58

Ascissa a monte del cerchio Xs[m]= 8.18

Larghezza della striscia dx[m]= 0.51

Coefficiente di sicurezza C= 1.54

Le strisce sono numerate da monte verso valle

Caratteristiche delle strisce

Striscia	W	α (°)	Wsin α	b/cos α	ϕ	c	u
1	2130.97	77.64	2081.56	2.38	29.26	0.000	0.000
2	3458.81	65.05	3136.00	1.21	31.30	0.007	0.000
3	4141.26	57.50	3492.64	0.95	33.87	0.016	0.000
4	4602.45	51.32	3593.08	0.82	33.87	0.016	0.000

PV_D_SR_AP_MU_3_F_005-_001_N_001_R_A_0

Muro MU.3F.05.N – Relazione di Calcolo

5	4920.95	45.91	3534.22	0.73	33.87	0.016	0.000
6	5138.41	40.98	3369.76	0.68	33.87	0.016	0.000
7	5277.59	36.40	3131.96	0.63	33.87	0.016	0.000
8	5352.57	32.08	2842.85	0.60	33.87	0.016	0.000
9	5372.71	27.96	2518.79	0.58	33.87	0.016	0.000
10	5344.56	23.99	2172.65	0.56	33.87	0.016	0.000
11	5272.84	20.13	1815.07	0.54	33.87	0.016	0.000
12	5155.02	16.38	1453.45	0.53	33.87	0.016	0.000
13	4957.39	12.69	1089.00	0.52	33.87	0.016	0.000
14	4814.42	9.06	757.78	0.52	33.87	0.016	0.000
15	4859.95	5.46	462.31	0.51	33.87	0.016	0.000
16	4893.98	1.88	160.80	0.51	33.87	0.016	0.000
17	3002.65	-1.69	-88.32	0.51	33.87	0.016	0.000
18	1442.41	-5.26	-132.25	0.51	33.87	0.016	0.000
19	1337.38	-8.86	-205.90	0.52	33.87	0.016	0.000
20	1237.22	-12.49	-267.52	0.52	33.87	0.016	0.000
21	1101.43	-16.17	-306.76	0.53	33.87	0.016	0.000
22	928.21	-19.92	-316.32	0.54	33.87	0.016	0.000
23	715.04	-23.77	-288.21	0.56	33.87	0.016	0.000
24	458.53	-27.73	-213.38	0.58	33.87	0.016	0.000
25	154.02	-31.85	-81.27	0.60	33.87	0.016	0.000

$\Sigma W_i = 844.0791$ [kN]

$\Sigma W_i \sin \alpha_i = 330.6069$ [kN]

$\Sigma W_i \tan \phi_i = 562.1465$ [kN]

$\Sigma \tan \alpha_i \tan \phi_i = 7.55$

Stabilità globale muro + terreno

Combinazione n° 16

Le ascisse X sono considerate positive verso monte

Le ordinate Y sono considerate positive verso l'alto

Origine in testa al muro (spigolo contro terra)

W peso della striscia espresso in [kN]

α angolo fra la base della striscia e l'orizzontale espresso in [°] (positivo antiorario)

ϕ angolo d'attrito del terreno lungo la base della striscia

c coesione del terreno lungo la base della striscia espressa in [N/mm²]

b larghezza della striscia espressa in [m]

u pressione neutra lungo la base della striscia espressa in [N/mm²]

Metodo di Bishop

Numero di cerchi analizzati 36

Numero di strisce 25

Cerchio critico

Coordinate del centro X[m]= 0.00 Y[m]= 3.41

Raggio del cerchio R[m]= 8.20

Ascissa a valle del cerchio Xi[m]= -4.58

Ascissa a monte del cerchio Xs[m]= 8.18

Larghezza della striscia dx[m]= 0.51

Coefficiente di sicurezza C= 1.52

Le strisce sono numerate da monte verso valle

Caratteristiche delle strisce

Striscia	W	α (°)	$W \sin \alpha$	$b / \cos \alpha$	ϕ	c	u
1	2130.97	77.64	2081.56	2.38	29.26	0.000	0.000
2	3458.81	65.05	3136.00	1.21	31.30	0.007	0.000
3	4141.26	57.50	3492.64	0.95	33.87	0.016	0.000
4	4602.45	51.32	3593.08	0.82	33.87	0.016	0.000
5	4920.95	45.91	3534.22	0.73	33.87	0.016	0.000
6	5138.41	40.98	3369.76	0.68	33.87	0.016	0.000

PV_D_SR_AP_MU_3_F_005-_001_N_001_R_A_0

Muro MU.3F.05.N – Relazione di Calcolo

7	5277.59	36.40	3131.96	0.63	33.87	0.016	0.000
8	5352.57	32.08	2842.85	0.60	33.87	0.016	0.000
9	5372.71	27.96	2518.79	0.58	33.87	0.016	0.000
10	5344.56	23.99	2172.65	0.56	33.87	0.016	0.000
11	5272.84	20.13	1815.07	0.54	33.87	0.016	0.000
12	5155.02	16.38	1453.45	0.53	33.87	0.016	0.000
13	4957.39	12.69	1089.00	0.52	33.87	0.016	0.000
14	4814.42	9.06	757.78	0.52	33.87	0.016	0.000
15	4859.95	5.46	462.31	0.51	33.87	0.016	0.000
16	4893.98	1.88	160.80	0.51	33.87	0.016	0.000
17	3002.65	-1.69	-88.32	0.51	33.87	0.016	0.000
18	1442.41	-5.26	-132.25	0.51	33.87	0.016	0.000
19	1337.38	-8.86	-205.90	0.52	33.87	0.016	0.000
20	1237.22	-12.49	-267.52	0.52	33.87	0.016	0.000
21	1101.43	-16.17	-306.76	0.53	33.87	0.016	0.000
22	928.21	-19.92	-316.32	0.54	33.87	0.016	0.000
23	715.04	-23.77	-288.21	0.56	33.87	0.016	0.000
24	458.53	-27.73	-213.38	0.58	33.87	0.016	0.000
25	154.02	-31.85	-81.27	0.60	33.87	0.016	0.000

$\Sigma W_i = 844.0791$ [kN]

$\Sigma W_i \sin \alpha_i = 330.6069$ [kN]

$\Sigma W_i \tan \phi_i = 562.1465$ [kN]

$\Sigma \tan \alpha_i \tan \phi_i = 7.55$

Sollecitazioni fondazione di valle

Combinazione n° 17

L'ascissa X (espressa in m) è considerata positiva verso monte con origine in corrispondenza dell'estremo libero della fondazione di valle

Momento positivo se tende le fibre inferiori, espresso in kNm

Taglio positivo se diretto verso l'alto, espresso in kN

Nr.	X	M	T
1	0.00	0.0000	0.0000
2	0.05	0.1070	4.2750
3	0.10	0.4272	8.5292
4	0.15	0.9595	12.7626
5	0.20	1.7031	16.9753
6	0.25	2.6567	21.1672
7	0.30	3.8194	25.3384
8	0.35	5.1902	29.4888
9	0.40	6.7680	33.6185
10	0.45	8.5517	37.7274
11	0.50	10.5404	41.8155

Sollecitazioni fondazione di monte

Combinazione n° 17

L'ascissa X (espressa in m) è considerata positiva verso valle con origine in corrispondenza dell'estremo libero della fondazione di monte

Momento positivo se tende le fibre inferiori, espresso in kNm

Taglio positivo se diretto verso l'alto, espresso in kN

Nr.	X	M	T
1	0.00	0.0000	0.0000
2	0.21	-0.2142	-1.8402
3	0.43	-0.7259	-2.7687
4	0.65	-1.3394	-2.7856
5	0.86	-1.8588	-1.9113
6	1.07	-2.1266	-0.5160
7	1.29	-2.0532	1.2631

PV_D_SR_AP_MU_3_F_005-001_N_001_R_A_0

Muro MU.3F.05.N – Relazione di Calcolo

8	1.50	-1.5560	3.4261
9	1.72	-0.5524	5.9730
10	1.93	1.0399	8.9037
11	2.15	3.3037	12.2183

Armature e tensioni nei materiali della fondazioneCombinazione n° 17

Simbologia adottata

B	base della sezione espressa in [m]
H	altezza della sezione espressa in [m]
A _{fi}	area di armatura in corrispondenza del lembo inferiore in [mq]
A _{fs}	area di armatura in corrispondenza del lembo superiore in [mq]
σ _c	tensione nel calcestruzzo espressa in [N/mmq]
τ _c	tensione tangenziale nel calcestruzzo espressa in [N/mmq]
σ _{fi}	tensione nell'armatura disposta in corrispondenza del lembo inferiore in [N/mmq]
σ _{fs}	tensione nell'armatura disposta in corrispondenza del lembo superiore in [N/mmq]

Fondazione di valle

(L'ascissa X, espressa in [m], è positiva verso monte con origine in corrispondenza dell'estremo libero della fondazione di valle)

Nr.	X	B, H	A _{fs}	A _{fi}	σ _c	τ _c	σ _{fi}	σ _{fs}
1	0.00	1.00, 0.500	0.000000	0.000565	0.000	0.000	0.000	0.000
2	0.05	1.00, 0.500	0.000000	0.000565	0.006	0.011	0.437	0.000
3	0.10	1.00, 0.500	0.010050	0.000565	0.022	0.022	1.745	-0.155
4	0.15	1.00, 0.500	0.010050	0.000565	0.050	0.033	3.920	-0.348
5	0.20	1.00, 0.500	0.010050	0.000565	0.089	0.043	6.958	-0.618
6	0.25	1.00, 0.500	0.010050	0.000565	0.139	0.054	10.854	-0.963
7	0.30	1.00, 0.500	0.010050	0.000565	0.200	0.065	15.604	-1.385
8	0.35	1.00, 0.500	0.010050	0.000565	0.272	0.075	21.205	-1.882
9	0.40	1.00, 0.500	0.010050	0.000565	0.355	0.086	27.651	-2.454
10	0.45	1.00, 0.500	0.010050	0.000565	0.448	0.096	34.938	-3.101
11	0.50	1.00, 0.500	0.010050	0.000565	0.552	0.107	43.063	-3.822

Fondazione di monte

(L'ascissa X, espressa in [m], è positiva verso valle con origine in corrispondenza dell'estremo libero della fondazione di monte)

Nr.	X	B, H	A _{fs}	A _{fi}	σ _c	τ _c	σ _{fi}	σ _{fs}
1	0.00	1.00, 0.500	0.000000	0.000565	0.000	0.000	0.000	0.000
2	0.21	1.00, 0.500	0.010050	0.000565	0.009	-0.005	-0.082	0.500
3	0.43	1.00, 0.500	0.010050	0.000565	0.031	-0.007	-0.279	1.694
4	0.65	1.00, 0.500	0.010050	0.000565	0.057	-0.007	-0.514	3.126
5	0.86	1.00, 0.500	0.010050	0.000565	0.080	-0.005	-0.714	4.338
6	1.07	1.00, 0.500	0.010050	0.000565	0.091	-0.001	-0.817	4.963
7	1.29	1.00, 0.500	0.010050	0.000565	0.088	0.003	-0.788	4.791
8	1.50	1.00, 0.500	0.010050	0.000565	0.067	0.009	-0.598	3.631
9	1.72	1.00, 0.500	0.010050	0.000565	0.024	0.015	-0.212	1.289
10	1.93	1.00, 0.500	0.010050	0.000565	0.055	0.023	4.249	-0.377
11	2.15	1.00, 0.500	0.010050	0.000565	0.173	0.031	13.497	-1.198

Sollecitazioni fondazione di valleCombinazione n° 18

L'ascissa X(espressa in m) è considerata positiva verso monte con origine in corrispondenza dell'estremo libero della fondazione di valle

Momento positivo se tende le fibre inferiori, espresso in kNm

Taglio positivo se diretto verso l'alto, espresso in kN

Nr.	X	M	T
1	0.00	0.0000	0.0000
2	0.05	0.1070	4.2750

PV_D_SR_AP_MU_3_F_005-001_N_001_R_A_0

Muro MU.3F.05.N – Relazione di Calcolo

3	0.10	0.4272	8.5292
4	0.15	0.9595	12.7626
5	0.20	1.7031	16.9753
6	0.25	2.6567	21.1672
7	0.30	3.8194	25.3384
8	0.35	5.1902	29.4888
9	0.40	6.7680	33.6185
10	0.45	8.5517	37.7274
11	0.50	10.5404	41.8155

Sollecitazioni fondazione di monteCombinazione n° 18

L'ascissa X(espressa in m) è considerata positiva verso valle con origine in corrispondenza dell'estremo libero della fondazione di monte

Momento positivo se tende le fibre inferiori, espresso in kNm

Taglio positivo se diretto verso l'alto, espresso in kN

Nr.	X	M	T
1	0.00	0.0000	0.0000
2	0.21	-0.2142	-1.8402
3	0.43	-0.7259	-2.7687
4	0.65	-1.3394	-2.7856
5	0.86	-1.8588	-1.9113
6	1.07	-2.1266	-0.5160
7	1.29	-2.0532	1.2631
8	1.50	-1.5560	3.4261
9	1.72	-0.5524	5.9730
10	1.93	1.0399	8.9037
11	2.15	3.3037	12.2183

Armature e tensioni nei materiali della fondazioneCombinazione n° 18

Simbologia adottata

B base della sezione espressa in [m]

H altezza della sezione espressa in [m]

A_{fi} area di armatura in corrispondenza del lembo inferiore in [mq]

A_{fs} area di armatura in corrispondenza del lembo superiore in [mq]

σ_c tensione nel calcestruzzo espressa in [N/mmq]

τ_c tensione tangenziale nel calcestruzzo espressa in [N/mmq]

σ_{fi} tensione nell'armatura disposta in corrispondenza del lembo inferiore in [N/mmq]

σ_{fs} tensione nell'armatura disposta in corrispondenza del lembo superiore in [N/mmq]

Fondazione di valle

(L'ascissa X, espressa in [m], è positiva verso monte con origine in corrispondenza dell'estremo libero della fondazione di valle)

Nr.	X	B, H	A _{fs}	A _{fi}	σ _c	τ _c	σ _{fi}	σ _{fs}
1	0.00	1.00, 0.500	0.0000000	0.000565	0.000	0.000	0.000	0.000
2	0.05	1.00, 0.500	0.0000000	0.000565	0.006	0.011	0.437	0.000
3	0.10	1.00, 0.500	0.0010050	0.000565	0.022	0.022	1.745	-0.155
4	0.15	1.00, 0.500	0.0010050	0.000565	0.050	0.033	3.920	-0.348
5	0.20	1.00, 0.500	0.0010050	0.000565	0.089	0.043	6.958	-0.618
6	0.25	1.00, 0.500	0.0010050	0.000565	0.139	0.054	10.854	-0.963
7	0.30	1.00, 0.500	0.0010050	0.000565	0.200	0.065	15.604	-1.385
8	0.35	1.00, 0.500	0.0010050	0.000565	0.272	0.075	21.205	-1.882
9	0.40	1.00, 0.500	0.0010050	0.000565	0.355	0.086	27.651	-2.454
10	0.45	1.00, 0.500	0.0010050	0.000565	0.448	0.096	34.938	-3.101
11	0.50	1.00, 0.500	0.0010050	0.000565	0.552	0.107	43.063	-3.822

Fondazione di monte

PV_D_SR_AP_MU_3_F_005-_001_N_001_R_A_0

Muro MU.3F.05.N – Relazione di Calcolo

(L'ascissa X, espressa in [m], è positiva verso valle con origine in corrispondenza dell'estremo libero della fondazione di monte)

Nr.	X	B, H	A _{fs}	A _{fi}	σ _c	τ _c	σ _{fi}	σ _{fs}
1	0.00	1.00, 0.500	0.000000	0.000565	0.000	0.000	0.000	0.000
2	0.21	1.00, 0.500	0.001005	0.000565	0.009	-0.005	-0.082	0.500
3	0.43	1.00, 0.500	0.001005	0.000565	0.031	-0.007	-0.279	1.694
4	0.65	1.00, 0.500	0.001005	0.000565	0.057	-0.007	-0.514	3.126
5	0.86	1.00, 0.500	0.001005	0.000565	0.080	-0.005	-0.714	4.338
6	1.07	1.00, 0.500	0.001005	0.000565	0.091	-0.001	-0.817	4.963
7	1.29	1.00, 0.500	0.001005	0.000565	0.088	0.003	-0.788	4.791
8	1.50	1.00, 0.500	0.001005	0.000565	0.067	0.009	-0.598	3.631
9	1.72	1.00, 0.500	0.001005	0.000565	0.024	0.015	-0.212	1.289
10	1.93	1.00, 0.500	0.001005	0.000565	0.055	0.023	4.249	-0.377
11	2.15	1.00, 0.500	0.001005	0.000565	0.173	0.031	13.497	-1.198

Sollecitazioni fondazione di valle

Combinazione n° 19

L'ascissa X(espressa in m) è considerata positiva verso monte con origine in corrispondenza dell'estremo libero della fondazione di valle

Momento positivo se tende le fibre inferiori, espresso in kNm

Taglio positivo se diretto verso l'alto, espresso in kN

Nr.	X	M	T
1	0.00	0.0000	0.0000
2	0.05	0.1070	4.2750
3	0.10	0.4272	8.5292
4	0.15	0.9595	12.7626
5	0.20	1.7031	16.9753
6	0.25	2.6567	21.1672
7	0.30	3.8194	25.3384
8	0.35	5.1902	29.4888
9	0.40	6.7680	33.6185
10	0.45	8.5517	37.7274
11	0.50	10.5404	41.8155

Sollecitazioni fondazione di monte

Combinazione n° 19

L'ascissa X(espressa in m) è considerata positiva verso valle con origine in corrispondenza dell'estremo libero della fondazione di monte

Momento positivo se tende le fibre inferiori, espresso in kNm

Taglio positivo se diretto verso l'alto, espresso in kN

Nr.	X	M	T
1	0.00	0.0000	0.0000
2	0.21	-0.2142	-1.8402
3	0.43	-0.7259	-2.7687
4	0.65	-1.3394	-2.7856
5	0.86	-1.8588	-1.9113
6	1.07	-2.1266	-0.5160
7	1.29	-2.0532	1.2631
8	1.50	-1.5560	3.4261
9	1.72	-0.5524	5.9730
10	1.93	1.0399	8.9037
11	2.15	3.3037	12.2183

Armature e tensioni nei materiali della fondazione

Combinazione n° 19

Simbologia adottata

B base della sezione espressa in [m]

PV_D_SR_AP_MU_3_F_005-_001_N_001_R_A_0

Muro MU.3F.05.N – Relazione di Calcolo

H	altezza della sezione espressa in [m]
A _{fi}	area di armatura in corrispondenza del lembo inferiore in [mq]
A _{fs}	area di armatura in corrispondenza del lembo superiore in [mq]
σ _c	tensione nel calcestruzzo espressa in [N/mm ²]
τ _c	tensione tangenziale nel calcestruzzo espressa in [N/mm ²]
σ _{fi}	tensione nell'armatura disposta in corrispondenza del lembo inferiore in [N/mm ²]
σ _{fs}	tensione nell'armatura disposta in corrispondenza del lembo superiore in [N/mm ²]

Fondazione di valle

(L'ascissa X, espressa in [m], è positiva verso monte con origine in corrispondenza dell'estremo libero della fondazione di valle)

Nr.	X	B, H	A _{fs}	A _{fi}	σ _c	τ _c	σ _{fi}	σ _{fs}
1	0.00	1.00, 0.500	0.000000	0.000565	0.000	0.000	0.000	0.000
2	0.05	1.00, 0.500	0.000000	0.000565	0.006	0.011	0.437	0.000
3	0.10	1.00, 0.500	0.001005	0.000565	0.022	0.022	1.745	-0.155
4	0.15	1.00, 0.500	0.001005	0.000565	0.050	0.033	3.920	-0.348
5	0.20	1.00, 0.500	0.001005	0.000565	0.089	0.043	6.958	-0.618
6	0.25	1.00, 0.500	0.001005	0.000565	0.139	0.054	10.854	-0.963
7	0.30	1.00, 0.500	0.001005	0.000565	0.200	0.065	15.604	-1.385
8	0.35	1.00, 0.500	0.001005	0.000565	0.272	0.075	21.205	-1.882
9	0.40	1.00, 0.500	0.001005	0.000565	0.355	0.086	27.651	-2.454
10	0.45	1.00, 0.500	0.001005	0.000565	0.448	0.096	34.938	-3.101
11	0.50	1.00, 0.500	0.001005	0.000565	0.552	0.107	43.063	-3.822

Fondazione di monte

(L'ascissa X, espressa in [m], è positiva verso valle con origine in corrispondenza dell'estremo libero della fondazione di monte)

Nr.	X	B, H	A _{fs}	A _{fi}	σ _c	τ _c	σ _{fi}	σ _{fs}
1	0.00	1.00, 0.500	0.000000	0.000565	0.000	0.000	0.000	0.000
2	0.21	1.00, 0.500	0.001005	0.000565	0.009	-0.005	-0.082	0.500
3	0.43	1.00, 0.500	0.001005	0.000565	0.031	-0.007	-0.279	1.694
4	0.65	1.00, 0.500	0.001005	0.000565	0.057	-0.007	-0.514	3.126
5	0.86	1.00, 0.500	0.001005	0.000565	0.080	-0.005	-0.714	4.338
6	1.07	1.00, 0.500	0.001005	0.000565	0.091	-0.001	-0.817	4.963
7	1.29	1.00, 0.500	0.001005	0.000565	0.088	0.003	-0.788	4.791
8	1.50	1.00, 0.500	0.001005	0.000565	0.067	0.009	-0.598	3.631
9	1.72	1.00, 0.500	0.001005	0.000565	0.024	0.015	-0.212	1.289
10	1.93	1.00, 0.500	0.001005	0.000565	0.055	0.023	4.249	-0.377
11	2.15	1.00, 0.500	0.001005	0.000565	0.173	0.031	13.497	-1.198

2.1.2. Tipo F4 - Muro tratto F con altezza fuori terra di 5m

Normativa

N.T.C. 2008 - Approccio 1

Simbologia adottata

γ_{Gsfav}	Coefficiente parziale sfavorevole sulle azioni permanenti
γ_{Gfav}	Coefficiente parziale favorevole sulle azioni permanenti
γ_{Qsfav}	Coefficiente parziale sfavorevole sulle azioni variabili
γ_{Qfav}	Coefficiente parziale favorevole sulle azioni variabili
$\gamma_{tan\phi'}$	Coefficiente parziale di riduzione dell'angolo di attrito drenato
$\gamma_{c'}$	Coefficiente parziale di riduzione della coesione drenata
γ_{cu}	Coefficiente parziale di riduzione della coesione non drenata
γ_{qu}	Coefficiente parziale di riduzione del carico ultimo
γ_{γ}	Coefficiente parziale di riduzione della resistenza a compressione uniassiale delle rocce

Coefficienti di partecipazione combinazioni statiche

Coefficienti parziali per le azioni o per l'effetto delle azioni:

Carichi	Effetto		A1	A2	EQU	HYD
Permanenti	Favorevole	γ_{Gfav}	1.00	1.00	0.90	0.90
Permanenti	Sfavorevole	γ_{Gsfav}	1.30	1.00	1.10	1.30
Variabili	Favorevole	γ_{Qfav}	0.00	0.00	0.00	0.00
Variabili	Sfavorevole	γ_{Qsfav}	1.50	1.30	1.50	1.50

Coefficienti parziali per i parametri geotecnici del terreno:

Parametri		M1	M2	M2	M1
Tangente dell'angolo di attrito	$\gamma_{tan\phi'}$	1.00	1.25	1.25	1.00
Coesione efficace	$\gamma_{c'}$	1.00	1.25	1.25	1.00
Resistenza non drenata	γ_{cu}	1.00	1.40	1.40	1.00
Resistenza a compressione uniassiale	γ_{qu}	1.00	1.60	1.60	1.00
Peso dell'unità di volume	γ_{γ}	1.00	1.00	1.00	1.00

Coefficienti di partecipazione combinazioni sismiche

Coefficienti parziali per le azioni o per l'effetto delle azioni:

Carichi	Effetto		A1	A2	EQU	HYD
Permanenti	Favorevole	γ_{Gfav}	1.00	1.00	1.00	0.90
Permanenti	Sfavorevole	γ_{Gsfav}	1.00	1.00	1.00	1.30
Variabili	Favorevole	γ_{Qfav}	0.00	0.00	0.00	0.00
Variabili	Sfavorevole	γ_{Qsfav}	1.00	1.00	1.00	1.50

Coefficienti parziali per i parametri geotecnici del terreno:

Parametri		M1	M2	M2	M1
Tangente dell'angolo di attrito	$\gamma_{tan\phi'}$	1.00	1.25	1.25	1.00
Coesione efficace	$\gamma_{c'}$	1.00	1.25	1.25	1.00
Resistenza non drenata	γ_{cu}	1.00	1.40	1.40	1.00
Resistenza a compressione uniassiale	γ_{qu}	1.00	1.60	1.60	1.00
Peso dell'unità di volume	γ_{γ}	1.00	1.00	1.00	1.00

FONDAZIONE SUPERFICIALE

Coefficienti parziali γ_R per le verifiche agli stati limite ultimi STR e GEO

Verifica	Coefficienti parziali		
	R1	R2	R3
Capacità portante della fondazione	1.00	1.00	1.40
Scorrimento	1.00	1.00	1.10
Resistenza del terreno a valle	1.00	1.00	1.40

PV_D_SR_AP_MU_3_F_005-_001_N_001_R_A_0

Stabilità globale

1.10

Geometria muro e fondazioneDescrizione **Muro a mensola in c.a.**

Altezza del paramento	5.00 [m]
Spessore in sommità	0.15 [m]
Spessore all'attacco con la fondazione	0.15 [m]
Inclinazione paramento esterno	0.00 [°]
Inclinazione paramento interno	0.00 [°]

Fondazione

Lunghezza mensola fondazione di valle	0.50 [m]
Lunghezza mensola fondazione di monte	2.85 [m]
Lunghezza totale fondazione	3.50 [m]
Inclinazione piano di posa della fondazione	0.00 [°]
Spessore fondazione	0.60 [m]
Spessore magrone	0.10 [m]

Contrafforti prefabbricati

Altezza contrafforti	5.00 [m]
Spessore contrafforti	0.20 [m]
Larghezza in sommità	0.20 [m]
Larghezza alla base	0.85 [m]
Larghezza elemento	1.20 [m]
Numero contrafforti	8
Posizione :	Monte

Materiali utilizzati per la struttura

<i>Calcestruzzo</i>	
Peso specifico	25.000 [kN/mc]
Classe di Resistenza	C25/30
Resistenza caratteristica a compressione R_{ck}	30.00 [MPa]
Modulo elastico E	31447.048 [MPa]
<i>Acciaio</i>	
Tipo	B450C
Tensione di snervamento σ_{fa}	450 [MPa]

Geometria profilo terreno a monte del muro*Simbologia adottata e sistema di riferimento*

(Sistema di riferimento con origine in testa al muro, ascissa X positiva verso monte, ordinata Y positiva verso l'alto)

N numero ordine del punto

X ascissa del punto espressa in [m]

Y ordinata del punto espressa in [m]

A inclinazione del tratto espressa in [°]

N	X	Y	A
1	1.35	0.00	0.00
2	9.67	5.00	31.00
3	30.00	5.00	0.00

Terreno a valle del muro

Inclinazione terreno a valle del muro rispetto all'orizzontale 0.00 [°]

PV_D_SR_AP_MU_3_F_005-_001_N_001_R_A_0

Muro MU.3F.05.N – Relazione di Calcolo

Altezza del rinterro rispetto all'attacco fondaz.valle-paramento 0.60 [m]

Descrizione terreni

Simbologia adottata

Nr.	Indice del terreno
Descrizione	Descrizione terreno
γ	Peso di volume del terreno espresso in [kN/mc]
γ_s	Peso di volume saturo del terreno espresso in [kN/mc]
ϕ	Angolo d'attrito interno espresso in [°]
δ	Angolo d'attrito terra-muro espresso in [°]
c	Coesione espressa in [MPa]
c_a	Adesione terra-muro espressa in [MPa]

Descrizione	γ	γ_s	ϕ	δ	c	c_a
AL1	18.00	18.00	35.00	23.33	0.0000	0.0000
AL3 - Paramento	19.00	19.00	40.00	26.67	0.0020	0.0000
AL3 - Fondazione	20.00	20.00	40.00	40.00	0.0020	0.0000

Stratigrafia

Simbologia adottata

N	Indice dello strato
H	Spessore dello strato espresso in [m]
a	Inclinazione espressa in [°]
Kw	Costante di Winkler orizzontale espressa in Kg/cm ² /cm
Ks	Coefficiente di spinta
Terreno	Terreno dello strato

Nr.	H	a	Kw	Ks	Terreno
1	0.20	0.00	7.52	0.00	AL1
2	20.00	0.00	19.42	0.00	AL3 - Fondazione

Terreno di riempimento AL3 - Paramento

Condizioni di carico

Simbologia e convenzioni di segno adottate

Carichi verticali positivi verso il basso.

Carichi orizzontali positivi verso sinistra.

Momento positivo senso antiorario.

X	Ascissa del punto di applicazione del carico concentrato espressa in [m]
F_x	Componente orizzontale del carico concentrato espressa in [kN]
F_y	Componente verticale del carico concentrato espressa in [kN]
M	Momento espresso in [kNm]
X_i	Ascissa del punto iniziale del carico ripartito espressa in [m]
X_f	Ascissa del punto finale del carico ripartito espressa in [m]
Q_i	Intensità del carico per $x=X_i$ espressa in [kN/m]
Q_f	Intensità del carico per $x=X_f$ espressa in [kN/m]
D / C	Tipo carico : D=distribuito C=concentrato

Condizione n° 1 (Vento)

C Paramento X=0.00 Y=0.00 $F_x=3.0000$ $F_y=0.0000$ M=6.0000

Descrizione combinazioni di carico

Simbologia adottata

F/S	Effetto dell'azione (FAV: Favorevole, SFAV: Sfavorevole)
γ	Coefficiente di partecipazione della condizione
Ψ	Coefficiente di combinazione della condizione

Combinazione n° 1 - Caso A1-M1 (STR)

	S/F	γ	Ψ	$\gamma * \Psi$
Peso proprio muro	FAV	1.00	1.00	1.00

PV_D_SR_AP_MU_3_F_005-_001_N_001_R_A_0

Muro MU.3F.05.N – Relazione di Calcolo

Peso proprio terrapieno	FAV	1.00	1.00	1.00
Spinta terreno	SFAV	1.30	1.00	1.30

Combinazione n° 2 - Caso A2-M2 (GEO)

	S/F	γ	Ψ	$\gamma * \Psi$
Peso proprio muro	SFAV	1.00	1.00	1.00
Peso proprio terrapieno	SFAV	1.00	1.00	1.00
Spinta terreno	SFAV	1.00	1.00	1.00

Combinazione n° 3 - Caso EQU (SLU)

	S/F	γ	Ψ	$\gamma * \Psi$
Peso proprio muro	FAV	0.90	1.00	0.90
Peso proprio terrapieno	FAV	0.90	1.00	0.90
Spinta terreno	SFAV	1.10	1.00	1.10

Combinazione n° 4 - Caso A2-M2 (GEO-STAB)

	S/F	γ	Ψ	$\gamma * \Psi$
Peso proprio muro	SFAV	1.00	1.00	1.00
Peso proprio terrapieno	SFAV	1.00	1.00	1.00
Spinta terreno	SFAV	1.00	1.00	1.00

Combinazione n° 5 - Caso A1-M1 (STR)

	S/F	γ	Ψ	$\gamma * \Psi$
Peso proprio muro	FAV	1.00	1.00	1.00
Peso proprio terrapieno	FAV	1.00	1.00	1.00
Spinta terreno	SFAV	1.30	1.00	1.30
Vento	SFAV	1.50	1.00	1.50

Combinazione n° 6 - Caso A2-M2 (GEO)

	S/F	γ	Ψ	$\gamma * \Psi$
Peso proprio muro	SFAV	1.00	1.00	1.00
Peso proprio terrapieno	SFAV	1.00	1.00	1.00
Spinta terreno	SFAV	1.00	1.00	1.00
Vento	SFAV	1.30	1.00	1.30

Combinazione n° 7 - Caso EQU (SLU)

	S/F	γ	Ψ	$\gamma * \Psi$
Peso proprio muro	FAV	0.90	1.00	0.90
Peso proprio terrapieno	FAV	0.90	1.00	0.90
Spinta terreno	SFAV	1.10	1.00	1.10
Vento	SFAV	1.50	1.00	1.50

Combinazione n° 8 - Caso A2-M2 (GEO-STAB)

	S/F	γ	Ψ	$\gamma * \Psi$
Peso proprio muro	SFAV	1.00	1.00	1.00
Peso proprio terrapieno	SFAV	1.00	1.00	1.00
Spinta terreno	SFAV	1.00	1.00	1.00
Vento	SFAV	1.30	1.00	1.30

Combinazione n° 9 - Caso A1-M1 (STR) - Sisma Vert. positivo

	S/F	γ	Ψ	$\gamma * \Psi$
Peso proprio muro	SFAV	1.00	1.00	1.00
Peso proprio terrapieno	SFAV	1.00	1.00	1.00
Spinta terreno	SFAV	1.00	1.00	1.00

Combinazione n° 10 - Caso A1-M1 (STR) - Sisma Vert. negativo

	S/F	γ	Ψ	$\gamma * \Psi$
Peso proprio muro	SFAV	1.00	1.00	1.00
Peso proprio terrapieno	SFAV	1.00	1.00	1.00
Spinta terreno	SFAV	1.00	1.00	1.00

PV_D_SR_AP_MU_3_F_005-_001_N_001_R_A_0

Muro MU.3F.05.N – Relazione di CalcoloCombinazione n° 11 - Caso A2-M2 (GEO) - Sisma Vert. positivo

	S/F	γ	Ψ	$\gamma * \Psi$
Peso proprio muro	SFAV	1.00	1.00	1.00
Peso proprio terrapieno	SFAV	1.00	1.00	1.00
Spinta terreno	SFAV	1.00	1.00	1.00

Combinazione n° 12 - Caso A2-M2 (GEO) - Sisma Vert. negativo

	S/F	γ	Ψ	$\gamma * \Psi$
Peso proprio muro	SFAV	1.00	1.00	1.00
Peso proprio terrapieno	SFAV	1.00	1.00	1.00
Spinta terreno	SFAV	1.00	1.00	1.00

Combinazione n° 13 - Caso EQU (SLU) - Sisma Vert. positivo

	S/F	γ	Ψ	$\gamma * \Psi$
Peso proprio muro	FAV	1.00	1.00	1.00
Peso proprio terrapieno	FAV	1.00	1.00	1.00
Spinta terreno	SFAV	1.00	1.00	1.00

Combinazione n° 14 - Caso EQU (SLU) - Sisma Vert. negativo

	S/F	γ	Ψ	$\gamma * \Psi$
Peso proprio muro	FAV	1.00	1.00	1.00
Peso proprio terrapieno	FAV	1.00	1.00	1.00
Spinta terreno	SFAV	1.00	1.00	1.00

Combinazione n° 15 - Caso A2-M2 (GEO-STAB) - Sisma Vert. positivo

	S/F	γ	Ψ	$\gamma * \Psi$
Peso proprio muro	SFAV	1.00	1.00	1.00
Peso proprio terrapieno	SFAV	1.00	1.00	1.00
Spinta terreno	SFAV	1.00	1.00	1.00

Combinazione n° 16 - Caso A2-M2 (GEO-STAB) - Sisma Vert. negativo

	S/F	γ	Ψ	$\gamma * \Psi$
Peso proprio muro	SFAV	1.00	1.00	1.00
Peso proprio terrapieno	SFAV	1.00	1.00	1.00
Spinta terreno	SFAV	1.00	1.00	1.00

Combinazione n° 17 - Quasi Permanente (SLE)

	S/F	γ	Ψ	$\gamma * \Psi$
Peso proprio muro	--	1.00	1.00	1.00
Peso proprio terrapieno	--	1.00	1.00	1.00
Spinta terreno	--	1.00	1.00	1.00
Vento	SFAV	1.00	1.00	1.00

Combinazione n° 18 - Frequente (SLE)

	S/F	γ	Ψ	$\gamma * \Psi$
Peso proprio muro	--	1.00	1.00	1.00
Peso proprio terrapieno	--	1.00	1.00	1.00
Spinta terreno	--	1.00	1.00	1.00
Vento	SFAV	1.00	1.00	1.00

Combinazione n° 19 - Rara (SLE)

	S/F	γ	Ψ	$\gamma * \Psi$
Peso proprio muro	--	1.00	1.00	1.00
Peso proprio terrapieno	--	1.00	1.00	1.00
Spinta terreno	--	1.00	1.00	1.00
Vento	SFAV	1.00	1.00	1.00

Impostazioni di analisi

Muro MU.3F.05.N – Relazione di Calcolo

Metodo verifica sezioni

Stato limite

Impostazioni verifiche SLUCoefficienti parziali per resistenze di calcolo dei materiali

Coefficiente di sicurezza calcestruzzo a compressione	1.60
Coefficiente di sicurezza calcestruzzo a trazione	1.60
Coefficiente di sicurezza acciaio	1.15
Fattore riduzione da resistenza cubica a cilindrica	0.83
Fattore di riduzione per carichi di lungo periodo	0.85
Coefficiente di sicurezza per la sezione	1.00

Impostazioni verifiche SLE

Condizioni ambientali Ordinarie

Armatura ad aderenza migliorata

Verifica fessurazione

Sensibilità delle armature

Sensibile

Valori limite delle aperture delle fessure

 $w_1 = 0.20$ $w_2 = 0.30$ $w_3 = 0.40$

Metodo di calcolo aperture delle fessure

Circ. Min. 252 (15/10/1996)

Verifica delle tensioni

Combinazione di carico

Rara $\sigma_c < 0.60 f_{ck}$ - $\sigma_f < 0.80 f_{yk}$ Quasi permanente $\sigma_c < 0.45 f_{ck}$ Calcolo della portanza metodo di VesicCoefficiente correttivo su N_y per effetti cinematici (combinazioni sismiche SLU): 1.00Coefficiente correttivo su N_y per effetti cinematici (combinazioni sismiche SLE): 1.00**Impostazioni avanzate**

Componente verticale della spinta nel calcolo delle sollecitazioni

Influenza del terreno sulla fondazione di valle nelle verifiche e nel calcolo delle sollecitazioni

Diagramma correttivo per eccentricità negativa con aliquota di parzializzazione pari a 0.00

Quadro riassuntivo coeff. di sicurezza calcolatiSimbologia adottata

C	Identificativo della combinazione
Tipo	Tipo combinazione
Sisma	Combinazione sismica
CS_{SCO}	Coeff. di sicurezza allo scorrimento
CS_{RIB}	Coeff. di sicurezza al ribaltamento
CS_{QLIM}	Coeff. di sicurezza a carico limite
CS_{STAB}	Coeff. di sicurezza a stabilità globale

C	Tipo	Sisma	CS_{SCO}	CS_{rib}	CS_{qlim}	CS_{stab}
1	A1-M1 - [1]	--	3.13	--	17.24	--
2	A2-M2 - [1]	--	2.18	--	5.53	--
3	EQU - [1]	--	--	2.47	--	--
4	STAB - [1]	--	--	--	--	1.74
5	A1-M1 - [2]	--	3.03	--	15.98	--
6	A2-M2 - [2]	--	2.13	--	5.14	--
7	EQU - [2]	--	--	2.28	--	--
8	STAB - [2]	--	--	--	--	1.74
9	A1-M1 - [3]	Orizzontale + Verticale positivo	2.30	--	9.55	--
10	A1-M1 - [3]	Orizzontale + Verticale negativo	2.23	--	9.69	--
11	A2-M2 - [3]	Orizzontale + Verticale positivo	1.43	--	1.94	--
12	A2-M2 - [3]	Orizzontale + Verticale negativo	1.39	--	1.91	--
13	EQU - [3]	Orizzontale + Verticale positivo	--	1.91	--	--
PV_D_SR_AP_MU_3_F_005-001_N_001_R_A_0						

Muro MU.3F.05.N – Relazione di Calcolo

14	EQU - [3]	Orizzontale + Verticale negativo	--	1.80	--	--
15	STAB - [3]	Orizzontale + Verticale positivo	--	--	--	1.48
16	STAB - [3]	Orizzontale + Verticale negativo	--	--	--	1.46
17	SLEQ - [1]	--	3.81	--	21.63	--
18	SLEF - [1]	--	3.81	--	21.63	--
19	SLER - [1]	--	3.81	--	21.63	--

Analisi della spinta e verifiche

Sistema di riferimento adottato per le coordinate :

Origine in testa al muro (spigolo di monte)

Ascisse X (espresse in [m]) positive verso monte

Ordinate Y (espresse in [m]) positive verso l'alto

Le forze orizzontali sono considerate positive se agenti da monte verso valle

Le forze verticali sono considerate positive se agenti dall'alto verso il basso

Calcolo riferito ad 1 metro di muro

Tipo di analisi

Calcolo della spinta	metodo di Culmann
Calcolo del carico limite	metodo di Vesic
Calcolo della stabilità globale	metodo di Bishop
Calcolo della spinta in condizioni di	Spinta attiva

Sisma**Combinazioni SLU**

Accelerazione al suolo a_g	3.20 [m/s ²]
Coefficiente di amplificazione per tipo di sottosuolo (S)	1.09
Coefficiente di amplificazione topografica (St)	1.00
Coefficiente riduzione (β_m)	0.31
Rapporto intensità sismica verticale/orizzontale	0.50
Coefficiente di intensità sismica orizzontale (percento)	$k_h=(a_g/g*\beta_m*St*S) = 11.00$
Coefficiente di intensità sismica verticale (percento)	$k_v=0.50 * k_h = 5.50$

Combinazioni SLE

Accelerazione al suolo a_g	1.31 [m/s ²]
Coefficiente di amplificazione per tipo di sottosuolo (S)	1.20
Coefficiente di amplificazione topografica (St)	1.00
Coefficiente riduzione (β_m)	0.24
Rapporto intensità sismica verticale/orizzontale	0.50
Coefficiente di intensità sismica orizzontale (percento)	$k_h=(a_g/g*\beta_m*St*S) = 3.86$
Coefficiente di intensità sismica verticale (percento)	$k_v=0.50 * k_h = 1.93$

Forma diagramma incremento sismico Stessa forma diagramma statico

Partecipazione spinta passiva (percento)	50.0
Lunghezza del muro	9.60 [m]

Peso muro	71.2500 [kN]
Baricentro del muro	X=0.79 Y=-4.56

Superficie di spinta

Punto inferiore superficie di spinta	X = 2.85	Y = -5.60
Punto superiore superficie di spinta	X = 2.85	Y = 0.90
Altezza della superficie di spinta	6.50 [m]	
Inclinazione superficie di spinta(rispetto alla verticale)	0.00 [°]	

COMBINAZIONE n° 1**Peso muro favorevole e Peso terrapieno favorevole**

PV_D_SR_AP_MU_3_F_005-_001_N_001_R_A_0

Muro MU.3F.05.N – Relazione di Calcolo

Valore della spinta statica	179.0788	[kN]		
Componente orizzontale della spinta statica	138.5436	[kN]		
Componente verticale della spinta statica	113.4675	[kN]		
Punto d'applicazione della spinta	X = 2.85	[m]	Y = -3.35	[m]
Inclinaz. della spinta rispetto alla normale alla superficie	39.32	[°]		
Inclinazione linea di rottura in condizioni statiche	52.94	[°]		
Peso terrapieno gravante sulla fondazione a monte	275.7206	[kN]		
Baricentro terrapieno gravante sulla fondazione a monte	X = 1.47	[m]	Y = -2.37	[m]
Numero contrafforti	8			
Peso del singolo contrafforte	13.1250	[kN]		
Peso del contrafforte riferito ad un metro di muro	10.9375	[kN]		
Baricentro contrafforte	X = 0.30	[m]	Y = -3.02	[m]

Risultanti

Risultante dei carichi applicati in dir. orizzontale	138.5436	[kN]
Risultante dei carichi applicati in dir. verticale	477.3756	[kN]
Resistenza passiva a valle del muro	-33.1122	[kN]
Sforzo normale sul piano di posa della fondazione	477.3756	[kN]
Sforzo tangenziale sul piano di posa della fondazione	138.5436	[kN]
Eccentricità rispetto al baricentro della fondazione	0.11	[m]
Lunghezza fondazione reagente	3.50	[m]
Risultante in fondazione	497.0732	[kN]
Inclinazione della risultante (rispetto alla normale)	16.18	[°]
Momento rispetto al baricentro della fondazione	51.7384	[kNm]
Carico ultimo della fondazione	8231.3016	[kN]

Tensioni sul terreno

Lunghezza fondazione reagente	3.50	[m]
Tensione terreno allo spigolo di valle	0.16173	[MPa]
Tensione terreno allo spigolo di monte	0.11105	[MPa]

Fattori per il calcolo della capacità portante

Coeff. capacità portante	$N_c = 75.31$	$N_q = 64.20$	$N_\gamma = 109.41$
Fattori forma	$s_c = 1.00$	$s_q = 1.00$	$s_\gamma = 1.00$
Fattori inclinazione	$i_c = 0.55$	$i_q = 0.55$	$i_\gamma = 0.39$
Fattori profondità	$d_c = 1.14$	$d_q = 1.07$	$d_\gamma = 1.00$
Fattori inclinazione piano posa	$b_c = 1.00$	$b_q = 1.00$	$b_\gamma = 1.00$
Fattori inclinazione pendio	$g_c = 1.00$	$g_q = 1.00$	$g_\gamma = 1.00$
I coefficienti N' tengono conto dei fattori di forma, profondità, inclinazione carico, inclinazione piano di posa, inclinazione pendio.			
	$N'_c = 46.68$	$N'_q = 38.04$	$N'_\gamma = 42.88$

COEFFICIENTI DI SICUREZZA

Coefficiente di sicurezza a scorrimento	3.13
Coefficiente di sicurezza a carico ultimo	17.24

Sollecitazioni fondazione di valleCombinazione n° 1

L'ascissa X(espressa in m) è considerata positiva verso monte con origine in corrispondenza dell'estremo libero della fondazione di valle

Momento positivo se tende le fibre inferiori, espresso in kNm

Taglio positivo se diretto verso l'alto, espresso in kN

Nr.	X	M	T
1	0.00	0.0000	0.0000
2	0.05	0.1636	6.5386
3	0.10	0.6533	13.0410
4	0.15	1.4671	19.5072
5	0.20	2.6034	25.9372

PV_D_SR_AP_MU_3_F_005-_001_N_001_R_A_0

Muro MU.3F.05.N – Relazione di Calcolo

6	0.25	4.0602	32.3311
7	0.30	5.8359	38.6887
8	0.35	7.9285	45.0101
9	0.40	10.3363	51.2953
10	0.45	13.0574	57.5443
11	0.50	16.0901	63.7571

Sollecitazioni fondazione di monteCombinazione n° 1

L'ascissa X(espressa in m) è considerata positiva verso valle con origine in corrispondenza dell'estremo libero della fondazione di monte

Momento positivo se tende le fibre inferiori, espresso in kNm

Taglio positivo se diretto verso l'alto, espresso in kN

Nr.	X	M	T
1	0.00	0.0000	0.0000
2	0.28	-1.9059	-12.9775
3	0.57	-7.1709	-23.5731
4	0.85	-15.1163	-31.7869
5	1.14	-25.0632	-37.6188
6	1.42	-36.3327	-41.0688
7	1.71	-48.2690	-42.4642
8	2.00	-60.4245	-42.6416
9	2.28	-72.4630	-41.6429
10	2.56	-84.0492	-39.4680
11	2.85	-94.8480	-36.1169

Armature e tensioni nei materiali della fondazioneCombinazione n° 1

Simbologia adottata

B	base della sezione espressa in [m]
H	altezza della sezione espressa in [m]
A _{fi}	area di armatura in corrispondenza del lembo inferiore in [mq]
A _{fs}	area di armatura in corrispondenza del lembo superiore in [mq]
N _u	sforzo normale ultimo espresso in [kN]
M _u	momento ultimo espresso in [kNm]
CS	coefficiente sicurezza sezione
VRcd	Aliquota di taglio assorbito dal cls, espresso in [kN]
VRsd	Aliquota di taglio assorbito dall'armatura, espresso in [kN]
VRd	Resistenza al taglio, espresso in [kN]

Fondazione di valle

(L'ascissa X, espressa in [m], è positiva verso monte con origine in corrispondenza dell'estremo libero della fondazione di valle)

Nr.	Y	B, H	A _{fs}	A _{fi}	N _u	M _u	CS	V _{Rd}	V _{Rcd}	V _{Rsd}
1	0.00	1.00, 0.600	0.0010050	0.001272	0.00	0.00	1000.00	199.57	--	--
2	0.05	1.00, 0.600	0.0010050	0.000000	0.00	2.03	12.42	199.57	--	--
3	0.10	1.00, 0.600	0.0022780	0.001272	0.00	265.72	406.76	199.57	--	--
4	0.15	1.00, 0.600	0.0022780	0.001272	0.00	265.72	181.12	199.57	--	--
5	0.20	1.00, 0.600	0.0022780	0.001272	0.00	265.72	102.07	199.57	--	--
6	0.25	1.00, 0.600	0.0022780	0.001272	0.00	265.72	65.44	199.57	--	--
7	0.30	1.00, 0.600	0.0022780	0.001272	0.00	265.72	45.53	199.57	--	--
8	0.35	1.00, 0.600	0.0022780	0.001272	0.00	265.72	33.51	199.57	--	--
9	0.40	1.00, 0.600	0.0022780	0.001272	0.00	265.72	25.71	199.57	--	--
10	0.45	1.00, 0.600	0.0022780	0.001272	0.00	265.72	20.35	199.57	--	--
11	0.50	1.00, 0.600	0.0022780	0.001272	0.00	265.72	16.51	199.57	--	--

Fondazione di monte

(L'ascissa X, espressa in [m], è positiva verso valle con origine in corrispondenza dell'estremo libero della fondazione di monte)

PV_D_SR_AP_MU_3_F_005-_001_N_001_R_A_0

Muro MU.3F.05.N – Relazione di Calcolo

Nr.	Y	B, H	A _{fs}	A _{fi}	N _u	M _u	CS	V _{Rd}	V _{Rcd}	V _{Rsd}
1	0.00	1.00, 0.600	0.0010050	0.001272	0.00	0.00	1000.00	219.33	--	--
2	0.28	1.00, 0.600	0.0010050	0.001272	0.00	-211.17	110.80	219.33	--	--
3	0.57	1.00, 0.600	0.0010050	0.001272	0.00	-211.17	29.45	219.33	--	--
4	0.85	1.00, 0.600	0.0010050	0.001272	0.00	-211.17	13.97	219.33	--	--
5	1.14	1.00, 0.600	0.0010050	0.001272	0.00	-211.17	8.43	219.33	--	--
6	1.42	1.00, 0.600	0.0010050	0.001272	0.00	-211.17	5.81	219.33	--	--
7	1.71	1.00, 0.600	0.0010050	0.001272	0.00	-211.17	4.37	219.33	--	--
8	2.00	1.00, 0.600	0.0010050	0.001272	0.00	-211.17	3.49	219.33	--	--
9	2.28	1.00, 0.600	0.0022780	0.001272	0.00	-470.01	6.49	219.33	--	--
10	2.56	1.00, 0.600	0.0022780	0.001272	0.00	-470.01	5.59	199.57	--	--
11	2.85	1.00, 0.600	0.0022780	0.001272	0.00	-470.01	4.96	199.57	--	--

COMBINAZIONE n° 2

Valore della spinta statica	183.8794	[kN]		
Componente orizzontale della spinta statica	154.2719	[kN]		
Componente verticale della spinta statica	100.0590	[kN]		
Punto d'applicazione della spinta	X = 2.85	[m]	Y = -3.19	[m]
Inclinaz. della spinta rispetto alla normale alla superficie	32.97	[°]		
Inclinazione linea di rottura in condizioni statiche	49.44	[°]		
Peso terrapieno gravante sulla fondazione a monte	275.7206	[kN]		
Baricentro terrapieno gravante sulla fondazione a monte	X = 1.47	[m]	Y = -2.37	[m]
Numero contrafforti	8			
Peso del singolo contrafforte	13.1250	[kN]		
Peso del contrafforte riferito ad un metro di muro	10.9375	[kN]		
Baricentro contrafforte	X = 0.30	[m]	Y = -3.02	[m]

Risultanti

Risultante dei carichi applicati in dir. orizzontale	154.2719	[kN]
Risultante dei carichi applicati in dir. verticale	463.9671	[kN]
Resistenza passiva a valle del muro	-25.3313	[kN]
Sforzo normale sul piano di posa della fondazione	463.9671	[kN]
Sforzo tangenziale sul piano di posa della fondazione	154.2719	[kN]
Eccentricità rispetto al baricentro della fondazione	0.29	[m]
Lunghezza fondazione reagente	3.50	[m]
Risultante in fondazione	488.9430	[kN]
Inclinazione della risultante (rispetto alla normale)	18.39	[°]
Momento rispetto al baricentro della fondazione	135.5936	[kNm]
Carico ultimo della fondazione	2564.4623	[kN]

Tensioni sul terreno

Lunghezza fondazione reagente	3.50	[m]
Tensione terreno allo spigolo di valle	0.19898	[MPa]
Tensione terreno allo spigolo di monte	0.06615	[MPa]

Fattori per il calcolo della capacità portante

Coeff. capacità portante	N _c = 75.31	N _q = 64.20	N _γ = 109.41
Fattori forma	s _c = 1.00	s _q = 1.00	s _γ = 1.00
Fattori inclinazione	i _c = 0.48	i _q = 0.50	i _γ = 0.33
Fattori profondità	d _c = 1.14	d _q = 1.09	d _γ = 1.00
Fattori inclinazione piano posa	b _c = 1.00	b _q = 1.00	b _γ = 1.00
Fattori inclinazione pendio	g _c = 1.00	g _q = 1.00	g _γ = 1.00

I coefficienti N' tengono conto dei fattori di forma, profondità, inclinazione carico, inclinazione piano di posa, inclinazione pendio.

$$N'_c = 46.68 \quad N'_q = 38.04 \quad N'_\gamma = 42.88$$

COEFFICIENTI DI SICUREZZA

Coefficiente di sicurezza a scorrimento	2.18
---	------

PV_D_SR_AP_MU_3_F_005-_001_N_001_R_A_0

Muro MU.3F.05.N – Relazione di Calcolo

Coefficiente di sicurezza a carico ultimo

5.53

Sollecitazioni fondazione di valleCombinazione n° 2

L'ascissa X(espressa in m) è considerata positiva verso monte con origine in corrispondenza dell'estremo libero della fondazione di valle

Momento positivo se tende le fibre inferiori, espresso in kNm

Taglio positivo se diretto verso l'alto, espresso in kN

Nr.	X	M	T
1	0.00	0.0000	0.0000
2	0.05	0.2142	8.5513
3	0.10	0.8536	17.0078
4	0.15	1.9134	25.3693
5	0.20	3.3889	33.6360
6	0.25	5.2754	41.8079
7	0.30	7.5681	49.8848
8	0.35	10.2623	57.8669
9	0.40	13.3532	65.7541
10	0.45	16.8361	73.5464
11	0.50	20.7063	81.2438

Sollecitazioni fondazione di monteCombinazione n° 2

L'ascissa X(espressa in m) è considerata positiva verso valle con origine in corrispondenza dell'estremo libero della fondazione di monte

Momento positivo se tende le fibre inferiori, espresso in kNm

Taglio positivo se diretto verso l'alto, espresso in kN

Nr.	X	M	T
1	0.00	0.0000	0.0000
2	0.28	-2.2860	-15.3739
3	0.57	-8.3822	-26.7378
4	0.85	-17.1456	-34.0918
5	1.14	-27.4336	-37.4358
6	1.42	-38.1031	-36.7699
7	1.71	-48.0291	-32.3457
8	2.00	-56.2465	-24.8069
9	2.28	-61.8761	-14.1856
10	2.56	-64.0394	-0.4817
11	2.85	-61.8579	16.3046

Armature e tensioni nei materiali della fondazioneCombinazione n° 2

Simbologia adottata

B	base della sezione espressa in [m]
H	altezza della sezione espressa in [m]
A _{fi}	area di armatura in corrispondenza del lembo inferiore in [mq]
A _{fs}	area di armatura in corrispondenza del lembo superiore in [mq]
N _u	sfuerzo normale ultimo espresso in [kN]
M _u	momento ultimo espresso in [kNm]
CS	coefficiente sicurezza sezione
V _{Rcd}	Aliquota di taglio assorbito dal cls, espresso in [kN]
V _{Rsd}	Aliquota di taglio assorbito dall'armatura, espresso in [kN]
V _{Rd}	Resistenza al taglio, espresso in [kN]

Fondazione di valle

(L'ascissa X, espressa in [m], è positiva verso monte con origine in corrispondenza dell'estremo libero della fondazione di valle)

Nr.	Y	B, H	A _{fs}	A _{fi}	N _u	M _u	CS	V _{Rd}	V _{Rcd}	V _{Rsd}
-----	---	------	-----------------	-----------------	----------------	----------------	----	-----------------	------------------	------------------

PV_D_SR_AP_MU_3_F_005-_001_N_001_R_A_0

Muro MU.3F.05.N – Relazione di Calcolo

1	0.00	1.00, 0.600.0010050.001272	0.00	0.00	1000.00	199.57	--	--
2	0.05	1.00, 0.600.0010050.000000	0.00	2.03	9.48	199.57	--	--
3	0.10	1.00, 0.600.0022780.001272	0.00	265.72	311.31	199.57	--	--
4	0.15	1.00, 0.600.0022780.001272	0.00	265.72	138.88	199.57	--	--
5	0.20	1.00, 0.600.0022780.001272	0.00	265.72	78.41	199.57	--	--
6	0.25	1.00, 0.600.0022780.001272	0.00	265.72	50.37	199.57	--	--
7	0.30	1.00, 0.600.0022780.001272	0.00	265.72	35.11	199.57	--	--
8	0.35	1.00, 0.600.0022780.001272	0.00	265.72	25.89	199.57	--	--
9	0.40	1.00, 0.600.0022780.001272	0.00	265.72	19.90	199.57	--	--
10	0.45	1.00, 0.600.0022780.001272	0.00	265.72	15.78	199.57	--	--
11	0.50	1.00, 0.600.0022780.001272	0.00	265.72	12.83	199.57	--	--

Fondazione di monte

(L'ascissa X, espressa in [m], è positiva verso valle con origine in corrispondenza dell'estremo libero della fondazione di monte)

Nr.	Y	B, H	A _{fs}	A _{fi}	N _u	M _u	CS	V _{Rd}	V _{Rcd}	V _{Rsd}
1	0.00	1.00, 0.600.0010050.001272	0.00	0.00	1000.00	219.33	--	--	--	--
2	0.28	1.00, 0.600.0010050.001272	0.00	-211.17	92.37	219.33	--	--	--	--
3	0.57	1.00, 0.600.0010050.001272	0.00	-211.17	25.19	219.33	--	--	--	--
4	0.85	1.00, 0.600.0010050.001272	0.00	-211.17	12.32	219.33	--	--	--	--
5	1.14	1.00, 0.600.0010050.001272	0.00	-211.17	7.70	219.33	--	--	--	--
6	1.42	1.00, 0.600.0010050.001272	0.00	-211.17	5.54	219.33	--	--	--	--
7	1.71	1.00, 0.600.0010050.001272	0.00	-211.17	4.40	219.33	--	--	--	--
8	2.00	1.00, 0.600.0010050.001272	0.00	-211.17	3.75	219.33	--	--	--	--
9	2.28	1.00, 0.600.0022780.001272	0.00	-470.01	7.60	219.33	--	--	--	--
10	2.56	1.00, 0.600.0022780.001272	0.00	-470.01	7.34	199.57	--	--	--	--
11	2.85	1.00, 0.600.0022780.001272	0.00	-470.01	7.60	199.57	--	--	--	--

COMBINAZIONE n° 3

Valore della spinta statica	203.2404	[kN]		
Componente orizzontale della spinta statica	170.5117	[kN]		
Componente verticale della spinta statica	110.6002	[kN]		
Punto d'applicazione della spinta	X = 2.85	[m]	Y = -3.19	[m]
Inclinaz. della spinta rispetto alla normale alla superficie	32.97	[°]		
Inclinazione linea di rottura in condizioni statiche	49.44	[°]		
Peso terrapieno gravante sulla fondazione a monte	248.1485	[kN]		
Baricentro terrapieno gravante sulla fondazione a monte	X = 1.47	[m]	Y = -2.37	[m]
Numero contrafforti	8			
Peso del singolo contrafforte	11.8125	[kN]		
Peso del contrafforte riferito ad un metro di muro	9.8438	[kN]		
Baricentro contrafforte	X = 0.30	[m]	Y = -3.02	[m]

Risultanti

Risultante dei carichi applicati in dir. orizzontale	170.5117	[kN]
Risultante dei carichi applicati in dir. verticale	438.1175	[kN]
Resistenza passiva a valle del muro	-22.7981	[kN]
Momento ribaltante rispetto allo spigolo a valle	411.6013	[kNm]
Momento stabilizzante rispetto allo spigolo a valle	1015.4590	[kNm]
Sforzo normale sul piano di posa della fondazione	438.1175	[kN]
Sforzo tangenziale sul piano di posa della fondazione	170.5117	[kN]
Eccentricità rispetto al baricentro della fondazione	0.37	[m]
Lunghezza fondazione reagente	3.50	[m]
Risultante in fondazione	470.1289	[kN]
Inclinazione della risultante (rispetto alla normale)	21.27	[°]
Momento rispetto al baricentro della fondazione	162.8478	[kNm]

COEFFICIENTI DI SICUREZZA

Coefficiente di sicurezza a ribaltamento 2.47

PV_D_SR_AP_MU_3_F_005-_001_N_001_R_A_0

Stabilità globale muro + terreno

Combinazione n° 4

Le ascisse X sono considerate positive verso monte

Le ordinate Y sono considerate positive verso l'alto

Origine in testa al muro (spigolo contro terra)

W peso della striscia espresso in [kN]

α angolo fra la base della striscia e l'orizzontale espresso in [°] (positivo antiorario)

ϕ angolo d'attrito del terreno lungo la base della striscia

c coesione del terreno lungo la base della striscia espressa in [MPa]

b larghezza della striscia espressa in [m]

u pressione neutra lungo la base della striscia espressa in [MPa]

Metodo di Bishop

Numero di cerchi analizzati 36

Numero di strisce 25

Cerchio critico

Coordinate del centro X[m]= 0.00 Y[m]= 4.29

Raggio del cerchio R[m]= 10.29

Ascissa a valle del cerchio Xi[m]= -5.53

Ascissa a monte del cerchio Xs[m]= 10.28

Larghezza della striscia dx[m]= 0.63

Coefficiente di sicurezza C= 1.74

Le strisce sono numerate da monte verso valle

Caratteristiche delle strisce

Striscia	W	$\alpha(^{\circ})$	$W\sin\alpha$	$b/\cos\alpha$	ϕ	c	u
1	3232.14	78.24	3164.28	3.10	29.26	0.000	0.000
2	5565.75	65.35	5058.44	1.52	30.87	0.006	0.000
3	6623.12	57.82	5605.49	1.19	33.87	0.016	0.000
4	7345.52	51.67	5762.32	1.02	33.87	0.016	0.000
5	7846.52	46.28	5671.30	0.91	33.87	0.016	0.000
6	8191.15	41.39	5415.81	0.84	33.87	0.016	0.000
7	8414.88	36.84	5045.78	0.79	33.87	0.016	0.000
8	8539.59	32.55	4595.17	0.75	33.87	0.016	0.000
9	8579.87	28.46	4089.13	0.72	33.87	0.016	0.000
10	8545.90	24.53	3547.42	0.69	33.87	0.016	0.000
11	8445.04	20.71	2986.31	0.68	33.87	0.016	0.000
12	8274.53	16.99	2417.30	0.66	33.87	0.016	0.000
13	7997.38	13.34	1844.69	0.65	33.87	0.016	0.000
14	7698.24	9.74	1302.46	0.64	33.87	0.016	0.000
15	7529.11	6.18	811.03	0.64	33.87	0.016	0.000
16	7588.78	2.65	350.98	0.63	33.87	0.016	0.000
17	5328.64	-0.87	-81.10	0.63	33.87	0.016	0.000
18	2075.23	-4.40	-159.15	0.63	33.87	0.016	0.000
19	1932.77	-7.94	-267.03	0.64	33.87	0.016	0.000
20	1792.86	-11.52	-357.91	0.65	33.87	0.016	0.000
21	1599.56	-15.14	-417.65	0.65	33.87	0.016	0.000
22	1350.38	-18.82	-435.61	0.67	33.87	0.016	0.000
23	1041.90	-22.59	-400.16	0.68	33.87	0.016	0.000
24	669.47	-26.46	-298.29	0.71	33.87	0.016	0.000
25	226.80	-30.47	-115.00	0.73	33.87	0.016	0.000

$\Sigma W_i = 1337.9932$ [kN]

$\Sigma W_i \sin\alpha_i = 540.7082$ [kN]

$\Sigma W_i \tan\phi_i = 890.6328$ [kN]

$\Sigma \tan\alpha_i \tan\phi_i = 7.93$

COMBINAZIONE n° 5

PV_D_SR_AP_MU_3_F_005-_001_N_001_R_A_0

Muro MU.3F.05.N – Relazione di Calcolo

Peso muro favorevole e Peso terrapieno favorevole

Valore della spinta statica	179.0788	[kN]		
Componente orizzontale della spinta statica	138.5436	[kN]		
Componente verticale della spinta statica	113.4675	[kN]		
Punto d'applicazione della spinta	X = 2.85	[m]	Y = -3.35	[m]
Inclinaz. della spinta rispetto alla normale alla superficie	39.32	[°]		
Inclinazione linea di rottura in condizioni statiche	52.94	[°]		

Peso terrapieno gravante sulla fondazione a monte	275.7206	[kN]		
Baricentro terrapieno gravante sulla fondazione a monte	X = 1.47	[m]	Y = -2.37	[m]
Numero contrafforti	8			
Peso del singolo contrafforte	13.1250	[kN]		
Peso del contrafforte riferito ad un metro di muro	10.9375	[kN]		
Baricentro contrafforte	X = 0.30	[m]	Y = -3.02	[m]

Risultanti carichi esterni

Componente dir. X	4.50	[kN]
-------------------	------	------

Risultanti

Risultante dei carichi applicati in dir. orizzontale	143.0436	[kN]
Risultante dei carichi applicati in dir. verticale	477.3756	[kN]
Resistenza passiva a valle del muro	-33.1122	[kN]
Sforzo normale sul piano di posa della fondazione	477.3756	[kN]
Sforzo tangenziale sul piano di posa della fondazione	143.0436	[kN]
Eccentricità rispetto al baricentro della fondazione	0.18	[m]
Lunghezza fondazione reagente	3.50	[m]
Risultante in fondazione	498.3462	[kN]
Inclinazione della risultante (rispetto alla normale)	16.68	[°]
Momento rispetto al baricentro della fondazione	85.9384	[kNm]
Carico ultimo della fondazione	7630.4583	[kN]

Tensioni sul terreno

Lunghezza fondazione reagente	3.50	[m]
Tensione terreno allo spigolo di valle	0.17849	[MPa]
Tensione terreno allo spigolo di monte	0.09430	[MPa]

Fattori per il calcolo della capacità portante

Coeff. capacità portante	$N_c = 75.31$	$N_q = 64.20$	$N_\gamma = 109.41$
Fattori forma	$s_c = 1.00$	$s_q = 1.00$	$s_\gamma = 1.00$
Fattori inclinazione	$i_c = 0.53$	$i_q = 0.54$	$i_\gamma = 0.38$
Fattori profondità	$d_c = 1.14$	$d_q = 1.07$	$d_\gamma = 1.00$
Fattori inclinazione piano posa	$b_c = 1.00$	$b_q = 1.00$	$b_\gamma = 1.00$
Fattori inclinazione pendio	$g_c = 1.00$	$g_q = 1.00$	$g_\gamma = 1.00$

I coefficienti N' tengono conto dei fattori di forma, profondità, inclinazione carico, inclinazione piano di posa, inclinazione pendio.

$N'_c = 46.68$	$N'_q = 38.04$	$N'_\gamma = 42.88$
----------------	----------------	---------------------

COEFFICIENTI DI SICUREZZA

Coefficiente di sicurezza a scorrimento	3.03
Coefficiente di sicurezza a carico ultimo	15.98

Sollecitazioni fondazione di valleCombinazione n° 5

L'ascissa X(espressa in m) è considerata positiva verso monte con origine in corrispondenza dell'estremo libero della fondazione di valle

Momento positivo se tende le fibre inferiori, espresso in kNm

Taglio positivo se diretto verso l'alto, espresso in kN

Nr.	X	M	T
-----	---	---	---

PV_D_SR_AP_MU_3_F_005-_001_N_001_R_A_0			
--	--	--	--

Muro MU.3F.05.N – Relazione di Calcolo

1	0.00	0.0000	0.0000
2	0.05	0.1844	7.3642
3	0.10	0.7354	14.6683
4	0.15	1.6502	21.9122
5	0.20	2.9256	29.0960
6	0.25	4.5588	36.2197
7	0.30	6.5466	43.2832
8	0.35	8.8861	50.2866
9	0.40	11.5743	57.2299
10	0.45	14.6081	64.1131
11	0.50	17.9846	70.9361

Sollecitazioni fondazione di monteCombinazione n° 5

L'ascissa X(espressa in m) è considerata positiva verso valle con origine in corrispondenza dell'estremo libero della fondazione di monte

Momento positivo se tende le fibre inferiori, espresso in kNm

Taglio positivo se diretto verso l'alto, espresso in kN

Nr.	X	M	T
1	0.00	0.0000	0.0000
2	0.28	-2.5492	-17.3628
3	0.57	-9.5967	-31.5663
4	0.85	-20.2419	-42.6103
5	1.14	-33.5844	-50.4950
6	1.42	-48.7239	-55.2204
7	1.71	-64.7828	-57.1137
8	2.00	-81.0920	-57.0115
9	2.28	-97.0937	-54.9557
10	2.56	-112.2312	-50.9461
11	2.85	-125.9474	-44.9829

Armature e tensioni nei materiali della fondazioneCombinazione n° 5

Simbologia adottata

B	base della sezione espressa in [m]
H	altezza della sezione espressa in [m]
A _{fi}	area di armatura in corrispondenza del lembo inferiore in [mq]
A _{fs}	area di armatura in corrispondenza del lembo superiore in [mq]
N _u	sfuerzo normale ultimo espresso in [kN]
M _u	momento ultimo espresso in [kNm]
CS	coefficiente sicurezza sezione
V _{Rcd}	Aliquota di taglio assorbito dal cls, espresso in [kN]
V _{Rsd}	Aliquota di taglio assorbito dall'armatura, espresso in [kN]
VRd	Resistenza al taglio, espresso in [kN]

Fondazione di valle

(L'ascissa X, espressa in [m], è positiva verso monte con origine in corrispondenza dell'estremo libero della fondazione di valle)

Nr.	Y	B, H	A _{fs}	A _{fi}	N _u	M _u	CS	V _{Rd}	V _{Rcd}	V _{Rsd}
1	0.00	1.00, 0.600	0.0010050	0.001272	0.00	0.00	1000.00	199.57	--	--
2	0.05	1.00, 0.600	0.0010050	0.000000	0.00	2.03	11.02	199.57	--	--
3	0.10	1.00, 0.600	0.0022780	0.001272	0.00	265.72	361.32	199.57	--	--
4	0.15	1.00, 0.600	0.0022780	0.001272	0.00	265.72	161.02	199.57	--	--
5	0.20	1.00, 0.600	0.0022780	0.001272	0.00	265.72	90.82	199.57	--	--
6	0.25	1.00, 0.600	0.0022780	0.001272	0.00	265.72	58.29	199.57	--	--
7	0.30	1.00, 0.600	0.0022780	0.001272	0.00	265.72	40.59	199.57	--	--
8	0.35	1.00, 0.600	0.0022780	0.001272	0.00	265.72	29.90	199.57	--	--
9	0.40	1.00, 0.600	0.0022780	0.001272	0.00	265.72	22.96	199.57	--	--
10	0.45	1.00, 0.600	0.0022780	0.001272	0.00	265.72	18.19	199.57	--	--
11	0.50	1.00, 0.600	0.0022780	0.001272	0.00	265.72	14.77	199.57	--	--

PV_D_SR_AP_MU_3_F_005-001_N_001_R_A_0

Muro MU.3F.05.N – Relazione di Calcolo

Fondazione di monte

(L'ascissa X, espressa in [m], è positiva verso valle con origine in corrispondenza dell'estremo libero della fondazione di monte)

Nr.	Y	B, H	A _{fs}	A _{fi}	N _u	M _u	CS	V _{Rd}	V _{Rcd}	V _{Rsd}
1	0.00	1.00, 0.600	0.0010050	0.001272	0.00	0.00	1000.00	219.33	--	--
2	0.28	1.00, 0.600	0.0010050	0.001272	0.00	-211.17	82.84	219.33	--	--
3	0.57	1.00, 0.600	0.0010050	0.001272	0.00	-211.17	22.00	219.33	--	--
4	0.85	1.00, 0.600	0.0010050	0.001272	0.00	-211.17	10.43	219.33	--	--
5	1.14	1.00, 0.600	0.0010050	0.001272	0.00	-211.17	6.29	219.33	--	--
6	1.42	1.00, 0.600	0.0010050	0.001272	0.00	-211.17	4.33	219.33	--	--
7	1.71	1.00, 0.600	0.0010050	0.001272	0.00	-211.17	3.26	219.33	--	--
8	2.00	1.00, 0.600	0.0010050	0.001272	0.00	-211.17	2.60	219.33	--	--
9	2.28	1.00, 0.600	0.0022780	0.001272	0.00	-470.01	4.84	219.33	--	--
10	2.56	1.00, 0.600	0.0022780	0.001272	0.00	-470.01	4.19	199.57	--	--
11	2.85	1.00, 0.600	0.0022780	0.001272	0.00	-470.01	3.73	199.57	--	--

COMBINAZIONE n° 6

Valore della spinta statica	183.8794	[kN]		
Componente orizzontale della spinta statica	154.2719	[kN]		
Componente verticale della spinta statica	100.0590	[kN]		
Punto d'applicazione della spinta	X = 2.85	[m]	Y = -3.19	[m]
Inclinaz. della spinta rispetto alla normale alla superficie	32.97	[°]		
Inclinazione linea di rottura in condizioni statiche	49.44	[°]		

Peso terrapieno gravante sulla fondazione a monte	275.7206	[kN]		
Baricentro terrapieno gravante sulla fondazione a monte	X = 1.47	[m]	Y = -2.37	[m]
Numero contrafforti	8			
Peso del singolo contrafforte	13.1250	[kN]		
Peso del contrafforte riferito ad un metro di muro	10.9375	[kN]		
Baricentro contrafforte	X = 0.30	[m]	Y = -3.02	[m]

Risultanti carichi esterni

Componente dir. X	3.90	[kN]		
-------------------	------	------	--	--

Risultanti

Risultante dei carichi applicati in dir. orizzontale	158.1719	[kN]		
Risultante dei carichi applicati in dir. verticale	463.9671	[kN]		
Resistenza passiva a valle del muro	-25.3313	[kN]		
Sforzo normale sul piano di posa della fondazione	463.9671	[kN]		
Sforzo tangenziale sul piano di posa della fondazione	158.1719	[kN]		
Eccentricità rispetto al baricentro della fondazione	0.36	[m]		
Lunghezza fondazione reagente	3.50	[m]		
Risultante in fondazione	490.1875	[kN]		
Inclinazione della risultante (rispetto alla normale)	18.82	[°]		
Momento rispetto al baricentro della fondazione	165.2336	[kNm]		
Carico ultimo della fondazione	2382.6201	[kN]		

Tensioni sul terreno

Lunghezza fondazione reagente	3.50	[m]		
Tensione terreno allo spigolo di valle	0.21349	[MPa]		
Tensione terreno allo spigolo di monte	0.05163	[MPa]		

Fattori per il calcolo della capacità portante

Coeff. capacità portante	N _c = 75.31	N _q = 64.20	N _y = 109.41
Fattori forma	s _c = 1.00	s _q = 1.00	s _y = 1.00
Fattori inclinazione	i _c = 0.47	i _q = 0.49	i _y = 0.32
Fattori profondità	d _c = 1.14	d _q = 1.09	d _y = 1.00
Fattori inclinazione piano posa	b _c = 1.00	b _q = 1.00	b _y = 1.00

PV_D_SR_AP_MU_3_F_005-_001_N_001_R_A_0

Muro MU.3F.05.N – Relazione di Calcolo**Fattori inclinazione pendio** $g_c = 1.00$ $g_q = 1.00$ $g_\gamma = 1.00$

I coefficienti N' tengono conto dei fattori di forma, profondità, inclinazione carico, inclinazione piano di posa, inclinazione pendio.

 $N'_c = 46.68$ $N'_q = 38.04$ $N'_\gamma = 42.88$ **COEFFICIENTI DI SICUREZZA**

Coefficiente di sicurezza a scorrimento

2.13

Coefficiente di sicurezza a carico ultimo

5.14

Sollecitazioni fondazione di valle**Combinazione n° 6**

L'ascissa X(espressa in m) è considerata positiva verso monte con origine in corrispondenza dell'estremo libero della fondazione di valle

Momento positivo se tende le fibre inferiori, espresso in kNm

Taglio positivo se diretto verso l'alto, espresso in kN

Nr.	X	M	T
1	0.00	0.0000	0.0000
2	0.05	0.2322	9.2668
3	0.10	0.9248	18.4180
4	0.15	2.0720	27.4536
5	0.20	3.6682	36.3736
6	0.25	5.7075	45.1780
7	0.30	8.1841	53.8668
8	0.35	11.0922	62.4399
9	0.40	14.4261	70.8974
10	0.45	18.1800	79.2393
11	0.50	22.3481	87.4656

Sollecitazioni fondazione di monte**Combinazione n° 6**

L'ascissa X(espressa in m) è considerata positiva verso valle con origine in corrispondenza dell'estremo libero della fondazione di monte

Momento positivo se tende le fibre inferiori, espresso in kNm

Taglio positivo se diretto verso l'alto, espresso in kN

Nr.	X	M	T
1	0.00	0.0000	0.0000
2	0.28	-2.8436	-19.1745
3	0.57	-10.4845	-33.6652
4	0.85	-21.5878	-43.4721
5	1.14	-34.8187	-48.5953
6	1.42	-48.8422	-49.0346
7	1.71	-62.3410	-45.0419
8	2.00	-74.1584	-37.2608
9	2.28	-83.2228	-25.7233
10	2.56	-88.4638	-10.4295
11	2.85	-88.8108	8.6207

Armature e tensioni nei materiali della fondazione**Combinazione n° 6**

Simbologia adottata

B base della sezione espressa in [m]

H altezza della sezione espressa in [m]

 A_{fi} area di armatura in corrispondenza del lembo inferiore in [mq] A_{fs} area di armatura in corrispondenza del lembo superiore in [mq] N_u sforzo normale ultimo espresso in [kN] M_u momento ultimo espresso in [kNm]

CS coefficiente sicurezza sezione

VRcd Aliquota di taglio assorbito dal cls, espresso in [kN]

PV_D_SR_AP_MU_3_F_005-_001_N_001_R_A_0

Muro MU.3F.05.N – Relazione di Calcolo

VRsd Aliquota di taglio assorbito dall'armatura, espresso in [kN]
 VRd Resistenza al taglio, espresso in [kN]

Fondazione di valle

(L'ascissa X, espressa in [m], è positiva verso monte con origine in corrispondenza dell'estremo libero della fondazione di valle)

Nr.	Y	B, H	A _{fs}	A _{fi}	N _u	M _u	CS	V _{Rd}	V _{Rcd}	V _{Rsd}
1	0.00	1.00, 0.600	0.0010050	0.001272	0.00	0.00	1000.00	199.57	--	--
2	0.05	1.00, 0.600	0.0010050	0.000000	0.00	2.03	8.75	199.57	--	--
3	0.10	1.00, 0.600	0.0022780	0.001272	0.00	265.72	287.34	199.57	--	--
4	0.15	1.00, 0.600	0.0022780	0.001272	0.00	265.72	128.24	199.57	--	--
5	0.20	1.00, 0.600	0.0022780	0.001272	0.00	265.72	72.44	199.57	--	--
6	0.25	1.00, 0.600	0.0022780	0.001272	0.00	265.72	46.56	199.57	--	--
7	0.30	1.00, 0.600	0.0022780	0.001272	0.00	265.72	32.47	199.57	--	--
8	0.35	1.00, 0.600	0.0022780	0.001272	0.00	265.72	23.96	199.57	--	--
9	0.40	1.00, 0.600	0.0022780	0.001272	0.00	265.72	18.42	199.57	--	--
10	0.45	1.00, 0.600	0.0022780	0.001272	0.00	265.72	14.62	199.57	--	--
11	0.50	1.00, 0.600	0.0022780	0.001272	0.00	265.72	11.89	199.57	--	--

Fondazione di monte

(L'ascissa X, espressa in [m], è positiva verso valle con origine in corrispondenza dell'estremo libero della fondazione di monte)

Nr.	Y	B, H	A _{fs}	A _{fi}	N _u	M _u	CS	V _{Rd}	V _{Rcd}	V _{Rsd}
1	0.00	1.00, 0.600	0.0010050	0.001272	0.00	0.00	1000.00	219.33	--	--
2	0.28	1.00, 0.600	0.0010050	0.001272	0.00	-211.17	74.26	219.33	--	--
3	0.57	1.00, 0.600	0.0010050	0.001272	0.00	-211.17	20.14	219.33	--	--
4	0.85	1.00, 0.600	0.0010050	0.001272	0.00	-211.17	9.78	219.33	--	--
5	1.14	1.00, 0.600	0.0010050	0.001272	0.00	-211.17	6.06	219.33	--	--
6	1.42	1.00, 0.600	0.0010050	0.001272	0.00	-211.17	4.32	219.33	--	--
7	1.71	1.00, 0.600	0.0010050	0.001272	0.00	-211.17	3.39	219.33	--	--
8	2.00	1.00, 0.600	0.0010050	0.001272	0.00	-211.17	2.85	219.33	--	--
9	2.28	1.00, 0.600	0.0022780	0.001272	0.00	-470.01	5.65	219.33	--	--
10	2.56	1.00, 0.600	0.0022780	0.001272	0.00	-470.01	5.31	199.57	--	--
11	2.85	1.00, 0.600	0.0022780	0.001272	0.00	-470.01	5.29	199.57	--	--

COMBINAZIONE n° 7

Valore della spinta statica	203.2404	[kN]		
Componente orizzontale della spinta statica	170.5117	[kN]		
Componente verticale della spinta statica	110.6002	[kN]		
Punto d'applicazione della spinta	X = 2.85	[m]	Y = -3.19	[m]
Inclinaz. della spinta rispetto alla normale alla superficie	32.97	[°]		
Inclinazione linea di rottura in condizioni statiche	49.44	[°]		

Peso terrapieno gravante sulla fondazione a monte	248.1485	[kN]		
Baricentro terrapieno gravante sulla fondazione a monte	X = 1.47	[m]	Y = -2.37	[m]
Numero contrafforti	8			
Peso del singolo contrafforte	11.8125	[kN]		
Peso del contrafforte riferito ad un metro di muro	9.8438	[kN]		
Baricentro contrafforte	X = 0.30	[m]	Y = -3.02	[m]

Risultanti carichi esterni

Componente dir. X	4.50	[kN]		
-------------------	------	------	--	--

Risultanti

Risultante dei carichi applicati in dir. orizzontale	175.0117	[kN]		
Risultante dei carichi applicati in dir. verticale	438.1175	[kN]		
Resistenza passiva a valle del muro	-22.7981	[kN]		
Momento ribaltante rispetto allo spigolo a valle	445.8013	[kNm]		
Momento stabilizzante rispetto allo spigolo a valle	1015.4590	[kNm]		

PV_D_SR_AP_MU_3_F_005-_001_N_001_R_A_0

Muro MU.3F.05.N – Relazione di Calcolo

Sforzo normale sul piano di posa della fondazione	438.1175	[kN]
Sforzo tangenziale sul piano di posa della fondazione	175.0117	[kN]
Eccentricità rispetto al baricentro della fondazione	0.45	[m]
Lunghezza fondazione reagente	3.50	[m]
Risultante in fondazione	471.7796	[kN]
Inclinazione della risultante (rispetto alla normale)	21.77	[°]
Momento rispetto al baricentro della fondazione	197.0478	[kNm]

COEFFICIENTI DI SICUREZZA

Coefficiente di sicurezza a ribaltamento	2.28
--	------

Stabilità globale muro + terrenoCombinazione n° 8

Le ascisse X sono considerate positive verso monte

Le ordinate Y sono considerate positive verso l'alto

Origine in testa al muro (spigolo contro terra)

W peso della striscia espresso in [kN]

 α angolo fra la base della striscia e l'orizzontale espresso in [°] (positivo antiorario) ϕ angolo d'attrito del terreno lungo la base della striscia

c coesione del terreno lungo la base della striscia espressa in [MPa]

b larghezza della striscia espressa in [m]

u pressione neutra lungo la base della striscia espressa in [MPa]

Metodo di Bishop

Numero di cerchi analizzati 36

Numero di strisce 25

Cerchio critico

Coordinate del centro X[m]= 0.00 Y[m]= 4.29

Raggio del cerchio R[m]= 10.29

Ascissa a valle del cerchio Xi[m]= -5.53

Ascissa a monte del cerchio Xs[m]= 10.28

Larghezza della striscia dx[m]= 0.63

Coefficiente di sicurezza C= 1.74

Le strisce sono numerate da monte verso valle

Caratteristiche delle strisce

Striscia	W	$\alpha(^{\circ})$	$W\sin\alpha$	$b/\cos\alpha$	ϕ	c	u
1	3232.14	78.24	3164.28	3.10	29.26	0.000	0.000
2	5565.75	65.35	5058.44	1.52	30.87	0.006	0.000
3	6623.12	57.82	5605.49	1.19	33.87	0.016	0.000
4	7345.52	51.67	5762.32	1.02	33.87	0.016	0.000
5	7846.52	46.28	5671.30	0.91	33.87	0.016	0.000
6	8191.15	41.39	5415.81	0.84	33.87	0.016	0.000
7	8414.88	36.84	5045.78	0.79	33.87	0.016	0.000
8	8539.59	32.55	4595.17	0.75	33.87	0.016	0.000
9	8579.87	28.46	4089.13	0.72	33.87	0.016	0.000
10	8545.90	24.53	3547.42	0.69	33.87	0.016	0.000
11	8445.04	20.71	2986.31	0.68	33.87	0.016	0.000
12	8274.53	16.99	2417.30	0.66	33.87	0.016	0.000
13	7997.38	13.34	1844.69	0.65	33.87	0.016	0.000
14	7698.24	9.74	1302.46	0.64	33.87	0.016	0.000
15	7529.11	6.18	811.03	0.64	33.87	0.016	0.000
16	7588.78	2.65	350.98	0.63	33.87	0.016	0.000
17	5328.64	-0.87	-81.10	0.63	33.87	0.016	0.000
18	2075.23	-4.40	-159.15	0.63	33.87	0.016	0.000
19	1932.77	-7.94	-267.03	0.64	33.87	0.016	0.000
20	1792.86	-11.52	-357.91	0.65	33.87	0.016	0.000
21	1599.56	-15.14	-417.65	0.65	33.87	0.016	0.000
22	1350.38	-18.82	-435.61	0.67	33.87	0.016	0.000

PV_D_SR_AP_MU_3_F_005-_001_N_001_R_A_0

Muro MU.3F.05.N – Relazione di Calcolo

23	1041.90	-22.59	-400.16	0.68	33.87	0.016	0.000
24	669.47	-26.46	-298.29	0.71	33.87	0.016	0.000
25	226.80	-30.47	-115.00	0.73	33.87	0.016	0.000

$$\Sigma W_i = 1337.9932 \text{ [kN]}$$

$$\Sigma W_i \sin \alpha_i = 540.7082 \text{ [kN]}$$

$$\Sigma W_i \tan \phi_i = 890.6328 \text{ [kN]}$$

$$\Sigma \tan \alpha_i \tan \phi_i = 7.93$$

COMBINAZIONE n° 9

Valore della spinta statica	135.1545	[kN]		
Componente orizzontale della spinta statica	104.5680	[kN]		
Componente verticale della spinta statica	85.6286	[kN]		
Punto d'applicazione della spinta	X = 2.85	[m]	Y = -3.36	[m]
Inclinaz. della spinta rispetto alla normale alla superficie	39.31	[°]		
Inclinazione linea di rottura in condizioni statiche	53.07	[°]		
Incremento sismico della spinta	75.2981	[kN]		
Punto d'applicazione dell'incremento sismico di spinta	X = 2.85	[m]	Y = -3.36	[m]
Inclinazione linea di rottura in condizioni sismiche	48.32	[°]		
Peso terrapieno gravante sulla fondazione a monte	275.7206	[kN]		
Baricentro terrapieno gravante sulla fondazione a monte	X = 1.47	[m]	Y = -2.37	[m]
Numero contrafforti	8			
Peso del singolo contrafforte	13.1250	[kN]		
Peso del contrafforte riferito ad un metro di muro	10.9375	[kN]		
Baricentro contrafforte	X = 0.30	[m]	Y = -3.02	[m]
Inerzia del muro	7.8375	[kN]		
Inerzia verticale del muro	3.9187	[kN]		
Inerzia del terrapieno fondazione di monte	30.3292	[kN]		
Inerzia verticale del terrapieno fondazione di monte	15.1646	[kN]		
Inerzia del singolo contrafforte	1.4437	[kN]		
Inerzia del contrafforte riferita ad un metro di muro	1.2031	[kN]		
Inerzia verticale del singolo contrafforte	0.7219	[kN]		
Inerzia verticale del contrafforte riferita ad un metro di muro	0.6016	[kN]		

Risultanti

Risultante dei carichi applicati in dir. orizzontale	202.8554	[kN]
Risultante dei carichi applicati in dir. verticale	516.9275	[kN]
Resistenza passiva a valle del muro	-33.1122	[kN]
Sforzo normale sul piano di posa della fondazione	516.9275	[kN]
Sforzo tangenziale sul piano di posa della fondazione	202.8554	[kN]
Eccentricità rispetto al baricentro della fondazione	0.34	[m]
Lunghezza fondazione reagente	3.50	[m]
Risultante in fondazione	555.3056	[kN]
Inclinazione della risultante (rispetto alla normale)	21.43	[°]
Momento rispetto al baricentro della fondazione	175.4835	[kNm]
Carico ultimo della fondazione	4934.7554	[kN]

Tensioni sul terreno

Lunghezza fondazione reagente	3.50	[m]
Tensione terreno allo spigolo di valle	0.23364	[MPa]
Tensione terreno allo spigolo di monte	0.06174	[MPa]

Fattori per il calcolo della capacità portante

Coeff. capacità portante	$N_c = 75.31$	$N_q = 64.20$	$N_\gamma = 109.41$
Fattori forma	$s_c = 1.00$	$s_q = 1.00$	$s_\gamma = 1.00$
Fattori inclinazione	$i_c = 0.41$	$i_q = 0.42$	$i_\gamma = 0.26$
Fattori profondità	$d_c = 1.14$	$d_q = 1.07$	$d_\gamma = 1.00$

PV_D_SR_AP_MU_3_F_005-_001_N_001_R_A_0

Muro MU.3F.05.N – Relazione di Calcolo**Fattori inclinazione piano posa**

$b_c = 1.00$

$b_q = 1.00$

$b_\gamma = 1.00$

Fattori inclinazione pendio

$g_c = 1.00$

$g_q = 1.00$

$g_\gamma = 1.00$

I coefficienti N' tengono conto dei fattori di forma, profondità, inclinazione carico, inclinazione piano di posa, inclinazione pendio.

$N'_c = 46.68$

$N'_q = 38.04$

$N'_\gamma = 42.88$

COEFFICIENTI DI SICUREZZA

Coefficiente di sicurezza a scorrimento

2.30

Coefficiente di sicurezza a carico ultimo

9.55

Sollecitazioni fondazione di valle**Combinazione n° 9**

L'ascissa X(espressa in m) è considerata positiva verso monte con origine in corrispondenza dell'estremo libero della fondazione di valle

Momento positivo se tende le fibre inferiori, espresso in kNm

Taglio positivo se diretto verso l'alto, espresso in kN

Nr.	X	M	T
1	0.00	0.0000	0.0000
2	0.05	0.2573	10.2708
3	0.10	1.0250	20.4189
4	0.15	2.2971	30.4442
5	0.20	4.0674	40.3466
6	0.25	6.3297	50.1263
7	0.30	9.0780	59.7832
8	0.35	12.3060	69.3173
9	0.40	16.0077	78.7287
10	0.45	20.1768	88.0172
11	0.50	24.8074	97.1830

Sollecitazioni fondazione di monte**Combinazione n° 9**

L'ascissa X(espressa in m) è considerata positiva verso valle con origine in corrispondenza dell'estremo libero della fondazione di monte

Momento positivo se tende le fibre inferiori, espresso in kNm

Taglio positivo se diretto verso l'alto, espresso in kN

Nr.	X	M	T
1	0.00	0.0000	0.0000
2	0.28	-2.4219	-16.1763
3	0.57	-8.7534	-27.4358
4	0.85	-17.5932	-33.7785
5	1.14	-27.5400	-35.2044
6	1.42	-37.1926	-31.7134
7	1.71	-45.1672	-23.5575
8	2.00	-50.2406	-11.3800
9	2.28	-51.2748	4.7868
10	2.56	-47.1331	24.9429
11	2.85	-36.6784	49.0884

Armature e tensioni nei materiali della fondazione**Combinazione n° 9**

Simbologia adottata

B base della sezione espressa in [m]

H altezza della sezione espressa in [m]

 A_{fi} area di armatura in corrispondenza del lembo inferiore in [mq] A_{fs} area di armatura in corrispondenza del lembo superiore in [mq] N_u sforzo normale ultimo espresso in [kN] M_u momento ultimo espresso in [kNm]

CS coefficiente sicurezza sezione

PV_D_SR_AP_MU_3_F_005-_001_N_001_R_A_0

Muro MU.3F.05.N – Relazione di Calcolo

VRcd Aliquota di taglio assorbito dal cls, espresso in [kN]
 VRsd Aliquota di taglio assorbito dall'armatura, espresso in [kN]
 VRd Resistenza al taglio, espresso in [kN]

Fondazione di valle

(L'ascissa X, espressa in [m], è positiva verso monte con origine in corrispondenza dell'estremo libero della fondazione di valle)

Nr.	Y	B, H	A _{fs}	A _{fi}	N _u	M _u	CS	V _{Rd}	V _{Rcd}	V _{Rsd}
1	0.00	1.00, 0.600	0.0010050	0.001272	0.00	0.00	1000.00	199.57	--	--
2	0.05	1.00, 0.600	0.0010050	0.000000	0.00	2.03	7.90	199.57	--	--
3	0.10	1.00, 0.600	0.0022780	0.001272	0.00	265.72	259.23	199.57	--	--
4	0.15	1.00, 0.600	0.0022780	0.001272	0.00	265.72	115.68	199.57	--	--
5	0.20	1.00, 0.600	0.0022780	0.001272	0.00	265.72	65.33	199.57	--	--
6	0.25	1.00, 0.600	0.0022780	0.001272	0.00	265.72	41.98	199.57	--	--
7	0.30	1.00, 0.600	0.0022780	0.001272	0.00	265.72	29.27	199.57	--	--
8	0.35	1.00, 0.600	0.0022780	0.001272	0.00	265.72	21.59	199.57	--	--
9	0.40	1.00, 0.600	0.0022780	0.001272	0.00	265.72	16.60	199.57	--	--
10	0.45	1.00, 0.600	0.0022780	0.001272	0.00	265.72	13.17	199.57	--	--
11	0.50	1.00, 0.600	0.0022780	0.001272	0.00	265.72	10.71	199.57	--	--

Fondazione di monte

(L'ascissa X, espressa in [m], è positiva verso valle con origine in corrispondenza dell'estremo libero della fondazione di monte)

Nr.	Y	B, H	A _{fs}	A _{fi}	N _u	M _u	CS	V _{Rd}	V _{Rcd}	V _{Rsd}
1	0.00	1.00, 0.600	0.0010050	0.001272	0.00	0.00	1000.00	219.33	--	--
2	0.28	1.00, 0.600	0.0010050	0.001272	0.00	-211.17	87.19	219.33	--	--
3	0.57	1.00, 0.600	0.0010050	0.001272	0.00	-211.17	24.12	219.33	--	--
4	0.85	1.00, 0.600	0.0010050	0.001272	0.00	-211.17	12.00	219.33	--	--
5	1.14	1.00, 0.600	0.0010050	0.001272	0.00	-211.17	7.67	219.33	--	--
6	1.42	1.00, 0.600	0.0010050	0.001272	0.00	-211.17	5.68	219.33	--	--
7	1.71	1.00, 0.600	0.0010050	0.001272	0.00	-211.17	4.68	219.33	--	--
8	2.00	1.00, 0.600	0.0010050	0.001272	0.00	-211.17	4.20	219.33	--	--
9	2.28	1.00, 0.600	0.0022780	0.001272	0.00	-470.01	9.17	219.33	--	--
10	2.56	1.00, 0.600	0.0022780	0.001272	0.00	-470.01	9.97	199.57	--	--
11	2.85	1.00, 0.600	0.0022780	0.001272	0.00	-470.01	12.81	199.57	--	--

COMBINAZIONE n° 10

Valore della spinta statica	135.1545	[kN]		
Componente orizzontale della spinta statica	104.5680	[kN]		
Componente verticale della spinta statica	85.6286	[kN]		
Punto d'applicazione della spinta	X = 2.85	[m]	Y = -3.36	[m]
Inclinaz. della spinta rispetto alla normale alla superficie	39.31	[°]		
Inclinazione linea di rottura in condizioni statiche	53.07	[°]		
Incremento sismico della spinta	60.1415	[kN]		
Punto d'applicazione dell'incremento sismico di spinta	X = 2.85	[m]	Y = -3.36	[m]
Inclinazione linea di rottura in condizioni sismiche	47.76	[°]		
Peso terrapieno gravante sulla fondazione a monte	275.7206	[kN]		
Baricentro terrapieno gravante sulla fondazione a monte	X = 1.47	[m]	Y = -2.37	[m]
Numero contrafforti	8			
Peso del singolo contrafforte	13.1250	[kN]		
Peso del contrafforte riferito ad un metro di muro	10.9375	[kN]		
Baricentro contrafforte	X = 0.30	[m]	Y = -3.02	[m]
Inerzia del muro	7.8375	[kN]		
Inerzia verticale del muro	-3.9187	[kN]		
Inerzia del terrapieno fondazione di monte	30.3292	[kN]		
Inerzia verticale del terrapieno fondazione di monte	-15.1646	[kN]		
Inerzia del singolo contrafforte	1.4437	[kN]		

PV_D_SR_AP_MU_3_F_005-_001_N_001_R_A_0

Muro MU.3F.05.N – Relazione di Calcolo

Inerzia del contrafforte riferita ad un metro di muro	1.2031	[kN]
Inerzia verticale del singolo contrafforte	-0.7219	[kN]
Inerzia verticale del contrafforte riferita ad un metro di muro	-0.6016	[kN]

Risultanti

Risultante dei carichi applicati in dir. orizzontale	191.1289	[kN]
Risultante dei carichi applicati in dir. verticale	467.9551	[kN]
Resistenza passiva a valle del muro	-33.1122	[kN]
Sforzo normale sul piano di posa della fondazione	467.9551	[kN]
Sforzo tangenziale sul piano di posa della fondazione	191.1289	[kN]
Eccentricità rispetto al baricentro della fondazione	0.37	[m]
Lunghezza fondazione reagente	3.50	[m]
Risultante in fondazione	505.4822	[kN]
Inclinazione della risultante (rispetto alla normale)	22.22	[°]
Momento rispetto al baricentro della fondazione	173.7866	[kNm]
Carico ultimo della fondazione	4536.6683	[kN]

Tensioni sul terreno

Lunghezza fondazione reagente	3.50	[m]
Tensione terreno allo spigolo di valle	0.21882	[MPa]
Tensione terreno allo spigolo di monte	0.04858	[MPa]

Fattori per il calcolo della capacità portante

Coeff. capacità portante	$N_c = 75.31$	$N_q = 64.20$	$N_\gamma = 109.41$
Fattori forma	$s_c = 1.00$	$s_q = 1.00$	$s_\gamma = 1.00$
Fattori inclinazione	$i_c = 0.39$	$i_q = 0.40$	$i_\gamma = 0.24$
Fattori profondità	$d_c = 1.14$	$d_q = 1.07$	$d_\gamma = 1.00$
Fattori inclinazione piano posa	$b_c = 1.00$	$b_q = 1.00$	$b_\gamma = 1.00$
Fattori inclinazione pendio	$g_c = 1.00$	$g_q = 1.00$	$g_\gamma = 1.00$
I coefficienti N' tengono conto dei fattori di forma, profondità, inclinazione carico, inclinazione piano di posa, inclinazione pendio.			
	$N'_c = 46.68$	$N'_q = 38.04$	$N'_\gamma = 42.88$

COEFFICIENTI DI SICUREZZA

Coefficiente di sicurezza a scorrimento	2.23
Coefficiente di sicurezza a carico ultimo	9.69

Sollecitazioni fondazione di valleCombinazione n° 10

L'ascissa X(espressa in m) è considerata positiva verso monte con origine in corrispondenza dell'estremo libero della fondazione di valle

Momento positivo se tende le fibre inferiori, espresso in kNm

Taglio positivo se diretto verso l'alto, espresso in kN

Nr.	X	M	T
1	0.00	0.0000	0.0000
2	0.05	0.2388	9.5303
3	0.10	0.9510	18.9389
4	0.15	2.1306	28.2260
5	0.20	3.7716	37.3915
6	0.25	5.8678	46.4354
7	0.30	8.4131	55.3576
8	0.35	11.4015	64.1583
9	0.40	14.8269	72.8374
10	0.45	18.6832	81.3948
11	0.50	22.9643	89.8307

Sollecitazioni fondazione di monteCombinazione n° 10

PV_D_SR_AP_MU_3_F_005-_001_N_001_R_A_0

Muro MU.3F.05.N – Relazione di Calcolo

L'ascissa X(espressa in m) è considerata positiva verso valle con origine in corrispondenza dell'estremo libero della fondazione di monte

Momento positivo se tende le fibre inferiori, espresso in kNm

Taglio positivo se diretto verso l'alto, espresso in kN

Nr.	X	M	T
1	0.00	0.0000	0.0000
2	0.28	-2.9582	-19.9465
3	0.57	-10.9061	-35.0147
4	0.85	-22.4532	-45.2047
5	1.14	-36.2093	-50.5165
6	1.42	-50.7842	-50.9500
7	1.71	-64.8050	-46.7571
8	2.00	-77.0596	-38.5813
9	2.28	-86.4211	-26.4547
10	2.56	-91.7635	-10.3774
11	2.85	-91.9608	9.6508

Armature e tensioni nei materiali della fondazioneCombinazione n° 10

Simbologia adottata

B	base della sezione espressa in [m]
H	altezza della sezione espressa in [m]
A _{fi}	area di armatura in corrispondenza del lembo inferiore in [mq]
A _{fs}	area di armatura in corrispondenza del lembo superiore in [mq]
N _u	sforzo normale ultimo espresso in [kN]
M _u	momento ultimo espresso in [kNm]
CS	coefficiente sicurezza sezione
V _{Rcd}	Aliquota di taglio assorbito dal cls, espresso in [kN]
V _{Rsd}	Aliquota di taglio assorbito dall'armatura, espresso in [kN]
VRd	Resistenza al taglio, espresso in [kN]

Fondazione di valle

(L'ascissa X, espressa in [m], è positiva verso monte con origine in corrispondenza dell'estremo libero della fondazione di valle)

Nr.	Y	B, H	A _{fs}	A _{fi}	N _u	M _u	CS	V _{Rd}	V _{Rcd}	V _{Rsd}
1	0.00	1.00, 0.600	0.0010050	0.001272	0.00	0.00	1000.00	199.57	--	--
2	0.05	1.00, 0.600	0.0010050	0.000000	0.00	2.03	8.51	199.57	--	--
3	0.10	1.00, 0.600	0.0022780	0.001272	0.00	265.72	279.41	199.57	--	--
4	0.15	1.00, 0.600	0.0022780	0.001272	0.00	265.72	124.71	199.57	--	--
5	0.20	1.00, 0.600	0.0022780	0.001272	0.00	265.72	70.45	199.57	--	--
6	0.25	1.00, 0.600	0.0022780	0.001272	0.00	265.72	45.28	199.57	--	--
7	0.30	1.00, 0.600	0.0022780	0.001272	0.00	265.72	31.58	199.57	--	--
8	0.35	1.00, 0.600	0.0022780	0.001272	0.00	265.72	23.31	199.57	--	--
9	0.40	1.00, 0.600	0.0022780	0.001272	0.00	265.72	17.92	199.57	--	--
10	0.45	1.00, 0.600	0.0022780	0.001272	0.00	265.72	14.22	199.57	--	--
11	0.50	1.00, 0.600	0.0022780	0.001272	0.00	265.72	11.57	199.57	--	--

Fondazione di monte

(L'ascissa X, espressa in [m], è positiva verso valle con origine in corrispondenza dell'estremo libero della fondazione di monte)

Nr.	Y	B, H	A _{fs}	A _{fi}	N _u	M _u	CS	V _{Rd}	V _{Rcd}	V _{Rsd}
1	0.00	1.00, 0.600	0.0010050	0.001272	0.00	0.00	1000.00	219.33	--	--
2	0.28	1.00, 0.600	0.0010050	0.001272	0.00	-211.17	71.38	219.33	--	--
3	0.57	1.00, 0.600	0.0010050	0.001272	0.00	-211.17	19.36	219.33	--	--
4	0.85	1.00, 0.600	0.0010050	0.001272	0.00	-211.17	9.40	219.33	--	--
5	1.14	1.00, 0.600	0.0010050	0.001272	0.00	-211.17	5.83	219.33	--	--
6	1.42	1.00, 0.600	0.0010050	0.001272	0.00	-211.17	4.16	219.33	--	--
7	1.71	1.00, 0.600	0.0010050	0.001272	0.00	-211.17	3.26	219.33	--	--
8	2.00	1.00, 0.600	0.0010050	0.001272	0.00	-211.17	2.74	219.33	--	--
9	2.28	1.00, 0.600	0.0022780	0.001272	0.00	-470.01	5.44	219.33	--	--

Muro MU.3F.05.N – Relazione di Calcolo

10	2.56	1.00, 0.600.0022780.001272	0.00	-470.01	5.12	199.57	--	--
11	2.85	1.00, 0.600.0022780.001272	0.00	-470.01	5.11	199.57	--	--

COMBINAZIONE n° 11

Valore della spinta statica	183.8794	[kN]						
Componente orizzontale della spinta statica	154.2719	[kN]						
Componente verticale della spinta statica	100.0590	[kN]						
Punto d'applicazione della spinta	X = 2.85	[m]				Y = -3.19	[m]	
Inclinaz. della spinta rispetto alla normale alla superficie	32.97	[°]						
Inclinazione linea di rottura in condizioni statiche	49.44	[°]						
Incremento sismico della spinta	85.5536	[kN]						
Punto d'applicazione dell'incremento sismico di spinta	X = 2.85	[m]				Y = -3.19	[m]	
Inclinazione linea di rottura in condizioni sismiche	44.38	[°]						
Peso terrapieno gravante sulla fondazione a monte	275.7206	[kN]						
Baricentro terrapieno gravante sulla fondazione a monte	X = 1.47	[m]				Y = -2.37	[m]	
Numero contrafforti	8							
Peso del singolo contrafforte	13.1250	[kN]						
Peso del contrafforte riferito ad un metro di muro	10.9375	[kN]						
Baricentro contrafforte	X = 0.30	[m]				Y = -3.02	[m]	
Inerzia del muro	7.8375	[kN]						
Inerzia verticale del muro	3.9187	[kN]						
Inerzia del terrapieno fondazione di monte	30.3292	[kN]						
Inerzia verticale del terrapieno fondazione di monte	15.1646	[kN]						
Inerzia del singolo contrafforte	1.4437	[kN]						
Inerzia del contrafforte riferita ad un metro di muro	1.2031	[kN]						
Inerzia verticale del singolo contrafforte	0.7219	[kN]						
Inerzia verticale del contrafforte riferita ad un metro di muro	0.6016	[kN]						

Risultanti

Risultante dei carichi applicati in dir. orizzontale	266.0798	[kN]						
Risultante dei carichi applicati in dir. verticale	530.2064	[kN]						
Resistenza passiva a valle del muro	-25.3313	[kN]						
Sforzo normale sul piano di posa della fondazione	530.2064	[kN]						
Sforzo tangenziale sul piano di posa della fondazione	266.0798	[kN]						
Eccentricità rispetto al baricentro della fondazione	0.63	[m]						
Lunghezza fondazione reagente	3.37	[m]						
Risultante in fondazione	593.2262	[kN]						
Inclinazione della risultante (rispetto alla normale)	26.65	[°]						
Momento rispetto al baricentro della fondazione	333.0478	[kNm]						
Carico ultimo della fondazione	1026.1521	[kN]						

Tensioni sul terreno

Lunghezza fondazione reagente	3.37	[m]						
Tensione terreno allo spigolo di valle	0.31508	[MPa]						
Tensione terreno allo spigolo di monte	0.00000	[MPa]						

Fattori per il calcolo della capacità portante

Coeff. capacità portante	$N_c = 75.31$	$N_q = 64.20$	$N_\gamma = 109.41$
Fattori forma	$s_c = 1.00$	$s_q = 1.00$	$s_\gamma = 1.00$
Fattori inclinazione	$i_c = 0.27$	$i_q = 0.30$	$i_\gamma = 0.15$
Fattori profondità	$d_c = 1.14$	$d_q = 1.09$	$d_\gamma = 1.00$
Fattori inclinazione piano posa	$b_c = 1.00$	$b_q = 1.00$	$b_\gamma = 1.00$
Fattori inclinazione pendio	$g_c = 1.00$	$g_q = 1.00$	$g_\gamma = 1.00$
I coefficienti N' tengono conto dei fattori di forma, profondità, inclinazione carico, inclinazione piano di posa, inclinazione pendio.			
	$N'_c = 46.68$	$N'_q = 38.04$	$N'_\gamma = 42.88$

Muro MU.3F.05.N – Relazione di Calcolo**COEFFICIENTI DI SICUREZZA**

Coefficiente di sicurezza a scorrimento	1.43
Coefficiente di sicurezza a carico ultimo	1.94

Sollecitazioni fondazione di valleCombinazione n° 11

L'ascissa X(espressa in m) è considerata positiva verso monte con origine in corrispondenza dell'estremo libero della fondazione di valle

Momento positivo se tende le fibre inferiori, espresso in kNm

Taglio positivo se diretto verso l'alto, espresso in kN

Nr.	X	M	T
1	0.00	0.0000	0.0000
2	0.05	0.3581	14.2869
3	0.10	1.4248	28.3397
4	0.15	3.1882	42.1585
5	0.20	5.6367	55.7432
6	0.25	8.7586	69.0939
7	0.30	12.5422	82.2105
8	0.35	16.9758	95.0931
9	0.40	22.0476	107.7417
10	0.45	27.7461	120.1562
11	0.50	34.0594	132.3367

Sollecitazioni fondazione di monteCombinazione n° 11

L'ascissa X(espressa in m) è considerata positiva verso valle con origine in corrispondenza dell'estremo libero della fondazione di monte

Momento positivo se tende le fibre inferiori, espresso in kNm

Taglio positivo se diretto verso l'alto, espresso in kN

Nr.	X	M	T
1	0.00	0.0000	0.0000
2	0.28	-5.0657	-34.7065
3	0.57	-19.0101	-61.7275
4	0.85	-39.4399	-80.2169
5	1.14	-63.9233	-90.1747
6	1.42	-90.0290	-91.6009
7	1.71	-115.3430	-84.7473
8	2.00	-137.6117	-70.2574
9	2.28	-154.6673	-48.1634
10	2.56	-164.3425	-18.4652
11	2.85	-164.4701	18.8371

Armature e tensioni nei materiali della fondazioneCombinazione n° 11

Simbologia adottata

B	base della sezione espressa in [m]
H	altezza della sezione espressa in [m]
A _{fi}	area di armatura in corrispondenza del lembo inferiore in [mq]
A _{fs}	area di armatura in corrispondenza del lembo superiore in [mq]
N _u	sfuerzo normale ultimo espresso in [kN]
M _u	momento ultimo espresso in [kNm]
CS	coefficiente sicurezza sezione
VR _{cd}	Aliquota di taglio assorbito dal cls, espresso in [kN]
VR _{sd}	Aliquota di taglio assorbito dall'armatura, espresso in [kN]
VR _d	Resistenza al taglio, espresso in [kN]

Fondazione di valle

(L'ascissa X, espressa in [m], è positiva verso monte con origine in corrispondenza dell'estremo libero della fondazione di valle)

PV_D_SR_AP_MU_3_F_005-_001_N_001_R_A_0

Muro MU.3F.05.N – Relazione di Calcolo

Nr.	Y	B, H	A _{fs}	A _{fi}	N _u	M _u	CS	V _{Rd}	V _{Rcd}	V _{Rsd}
1	0.00	1.00, 0.600	0.0010050	0.001272	0.00	0.00	1000.00	199.57	--	--
2	0.05	1.00, 0.600	0.0010050	0.000000	0.00	2.03	5.67	199.57	--	--
3	0.10	1.00, 0.600	0.0022780	0.001272	0.00	265.72	186.50	199.57	--	--
4	0.15	1.00, 0.600	0.0022780	0.001272	0.00	265.72	83.34	199.57	--	--
5	0.20	1.00, 0.600	0.0022780	0.001272	0.00	265.72	47.14	199.57	--	--
6	0.25	1.00, 0.600	0.0022780	0.001272	0.00	265.72	30.34	199.57	--	--
7	0.30	1.00, 0.600	0.0022780	0.001272	0.00	265.72	21.19	199.57	--	--
8	0.35	1.00, 0.600	0.0022780	0.001272	0.00	265.72	15.65	199.57	--	--
9	0.40	1.00, 0.600	0.0022780	0.001272	0.00	265.72	12.05	199.57	--	--
10	0.45	1.00, 0.600	0.0022780	0.001272	0.00	265.72	9.58	199.57	--	--
11	0.50	1.00, 0.600	0.0022780	0.001272	0.00	265.72	7.80	199.57	--	--

Fondazione di monte

(L'ascissa X, espressa in [m], è positiva verso valle con origine in corrispondenza dell'estremo libero della fondazione di monte)

Nr.	Y	B, H	A _{fs}	A _{fi}	N _u	M _u	CS	V _{Rd}	V _{Rcd}	V _{Rsd}
1	0.00	1.00, 0.600	0.0010050	0.001272	0.00	0.00	1000.00	219.33	--	--
2	0.28	1.00, 0.600	0.0010050	0.001272	0.00	-211.17	41.69	219.33	--	--
3	0.57	1.00, 0.600	0.0010050	0.001272	0.00	-211.17	11.11	219.33	--	--
4	0.85	1.00, 0.600	0.0010050	0.001272	0.00	-211.17	5.35	219.33	--	--
5	1.14	1.00, 0.600	0.0010050	0.001272	0.00	-211.17	3.30	219.33	--	--
6	1.42	1.00, 0.600	0.0010050	0.001272	0.00	-211.17	2.35	219.33	--	--
7	1.71	1.00, 0.600	0.0010050	0.001272	0.00	-211.17	1.83	219.33	--	--
8	2.00	1.00, 0.600	0.0010050	0.001272	0.00	-211.17	1.53	219.33	--	--
9	2.28	1.00, 0.600	0.0022780	0.001272	0.00	-470.01	3.04	219.33	--	--
10	2.56	1.00, 0.600	0.0022780	0.001272	0.00	-470.01	2.86	199.57	--	--
11	2.85	1.00, 0.600	0.0022780	0.001272	0.00	-470.01	2.86	199.57	--	--

COMBINAZIONE n° 12

Valore della spinta statica	183.8794	[kN]		
Componente orizzontale della spinta statica	154.2719	[kN]		
Componente verticale della spinta statica	100.0590	[kN]		
Punto d'applicazione della spinta	X = 2.85	[m]	Y = -3.19	[m]
Inclinaz. della spinta rispetto alla normale alla superficie	32.97	[°]		
Inclinazione linea di rottura in condizioni statiche	49.44	[°]		
Incremento sismico della spinta	65.5266	[kN]		
Punto d'applicazione dell'incremento sismico di spinta	X = 2.85	[m]	Y = -3.19	[m]
Inclinazione linea di rottura in condizioni sismiche	43.81	[°]		
Peso terrapieno gravante sulla fondazione a monte	275.7206	[kN]		
Baricentro terrapieno gravante sulla fondazione a monte	X = 1.47	[m]	Y = -2.37	[m]
Numero contrafforti	8			
Peso del singolo contrafforte	13.1250	[kN]		
Peso del contrafforte riferito ad un metro di muro	10.9375	[kN]		
Baricentro contrafforte	X = 0.30	[m]	Y = -3.02	[m]
Inerzia del muro	7.8375	[kN]		
Inerzia verticale del muro	-3.9187	[kN]		
Inerzia del terrapieno fondazione di monte	30.3292	[kN]		
Inerzia verticale del terrapieno fondazione di monte	-15.1646	[kN]		
Inerzia del singolo contrafforte	1.4437	[kN]		
Inerzia del contrafforte riferita ad un metro di muro	1.2031	[kN]		
Inerzia verticale del singolo contrafforte	-0.7219	[kN]		
Inerzia verticale del contrafforte riferita ad un metro di muro	-0.6016	[kN]		

Risultanti

Risultante dei carichi applicati in dir. orizzontale 249.2775 [kN]

PV_D_SR_AP_MU_3_F_005-_001_N_001_R_A_0

Muro MU.3F.05.N – Relazione di Calcolo

Risultante dei carichi applicati in dir. verticale	479.9388	[kN]
Resistenza passiva a valle del muro	-25.3313	[kN]
Sforzo normale sul piano di posa della fondazione	479.9388	[kN]
Sforzo tangenziale sul piano di posa della fondazione	249.2775	[kN]
Eccentricità rispetto al baricentro della fondazione	0.67	[m]
Lunghezza fondazione reagente	3.25	[m]
Risultante in fondazione	540.8147	[kN]
Inclinazione della risultante (rispetto alla normale)	27.45	[°]
Momento rispetto al baricentro della fondazione	319.3364	[kNm]
Carico ultimo della fondazione	916.8905	[kN]

Tensioni sul terreno

Lunghezza fondazione reagente	3.25	[m]
Tensione terreno allo spigolo di valle	0.29499	[MPa]
Tensione terreno allo spigolo di monte	0.00000	[MPa]

Fattori per il calcolo della capacità portante

Coeff. capacità portante	$N_c = 75.31$	$N_q = 64.20$	$N_\gamma = 109.41$
Fattori forma	$s_c = 1.00$	$s_q = 1.00$	$s_\gamma = 1.00$
Fattori inclinazione	$i_c = 0.26$	$i_q = 0.28$	$i_\gamma = 0.14$
Fattori profondità	$d_c = 1.14$	$d_q = 1.09$	$d_\gamma = 1.00$
Fattori inclinazione piano posa	$b_c = 1.00$	$b_q = 1.00$	$b_\gamma = 1.00$
Fattori inclinazione pendio	$g_c = 1.00$	$g_q = 1.00$	$g_\gamma = 1.00$
I coefficienti N' tengono conto dei fattori di forma, profondità, inclinazione carico, inclinazione piano di posa, inclinazione pendio.			
	$N'_c = 46.68$	$N'_q = 38.04$	$N'_\gamma = 42.88$

COEFFICIENTI DI SICUREZZA

Coefficiente di sicurezza a scorrimento	1.39
Coefficiente di sicurezza a carico ultimo	1.91

Sollecitazioni fondazione di valleCombinazione n° 12

L'ascissa X(espressa in m) è considerata positiva verso monte con origine in corrispondenza dell'estremo libero della fondazione di valle

Momento positivo se tende le fibre inferiori, espresso in kNm

Taglio positivo se diretto verso l'alto, espresso in kN

Nr.	X	M	T
1	0.00	0.0000	0.0000
2	0.05	0.3331	13.2864
3	0.10	1.3249	26.3461
4	0.15	2.9639	39.1791
5	0.20	5.2390	51.7855
6	0.25	8.1387	64.1653
7	0.30	11.6517	76.3184
8	0.35	15.7668	88.2449
9	0.40	20.4725	99.9448
10	0.45	25.7575	111.4179
11	0.50	31.6105	122.6645

Sollecitazioni fondazione di monteCombinazione n° 12

L'ascissa X(espressa in m) è considerata positiva verso valle con origine in corrispondenza dell'estremo libero della fondazione di monte

Momento positivo se tende le fibre inferiori, espresso in kNm

Taglio positivo se diretto verso l'alto, espresso in kN

Nr.	X	M	T
1	0.00	0.0000	0.0000

PV_D_SR_AP_MU_3_F_005-_001_N_001_R_A_0

Muro MU.3F.05.N – Relazione di Calcolo

2	0.28	-5.1180	-35.6990
3	0.57	-19.7860	-65.8524
4	0.85	-41.8662	-87.7145
5	1.14	-68.9956	-101.2855
6	1.42	-98.8113	-106.5652
7	1.71	-128.9678	-103.8056
8	2.00	-157.2801	-93.6500
9	2.28	-181.6487	-76.1308
10	2.56	-199.9751	-51.2477
11	2.85	-210.1604	-19.0009

Armature e tensioni nei materiali della fondazioneCombinazione n° 12

Simbologia adottata

B	base della sezione espressa in [m]
H	altezza della sezione espressa in [m]
A _{fi}	area di armatura in corrispondenza del lembo inferiore in [mq]
A _{fs}	area di armatura in corrispondenza del lembo superiore in [mq]
N _u	sforzo normale ultimo espresso in [kN]
M _u	momento ultimo espresso in [kNm]
CS	coefficiente sicurezza sezione
V _{Rcd}	Aliquota di taglio assorbito dal cls, espresso in [kN]
V _{Rsd}	Aliquota di taglio assorbito dall'armatura, espresso in [kN]
VRd	Resistenza al taglio, espresso in [kN]

Fondazione di valle

(L'ascissa X, espressa in [m], è positiva verso monte con origine in corrispondenza dell'estremo libero della fondazione di valle)

Nr.	Y	B, H	A _{fs}	A _{fi}	N _u	M _u	CS	V _{Rd}	V _{Rcd}	V _{Rsd}
1	0.00	1.00, 0.600	0.0010050	0.001272	0.00	0.00	1000.00	199.57	--	--
2	0.05	1.00, 0.600	0.0010050	0.000000	0.00	2.03	6.10	199.57	--	--
3	0.10	1.00, 0.600	0.0022780	0.001272	0.00	265.72	200.56	199.57	--	--
4	0.15	1.00, 0.600	0.0022780	0.001272	0.00	265.72	89.65	199.57	--	--
5	0.20	1.00, 0.600	0.0022780	0.001272	0.00	265.72	50.72	199.57	--	--
6	0.25	1.00, 0.600	0.0022780	0.001272	0.00	265.72	32.65	199.57	--	--
7	0.30	1.00, 0.600	0.0022780	0.001272	0.00	265.72	22.81	199.57	--	--
8	0.35	1.00, 0.600	0.0022780	0.001272	0.00	265.72	16.85	199.57	--	--
9	0.40	1.00, 0.600	0.0022780	0.001272	0.00	265.72	12.98	199.57	--	--
10	0.45	1.00, 0.600	0.0022780	0.001272	0.00	265.72	10.32	199.57	--	--
11	0.50	1.00, 0.600	0.0022780	0.001272	0.00	265.72	8.41	199.57	--	--

Fondazione di monte

(L'ascissa X, espressa in [m], è positiva verso valle con origine in corrispondenza dell'estremo libero della fondazione di monte)

Nr.	Y	B, H	A _{fs}	A _{fi}	N _u	M _u	CS	V _{Rd}	V _{Rcd}	V _{Rsd}
1	0.00	1.00, 0.600	0.0010050	0.001272	0.00	0.00	1000.00	219.33	--	--
2	0.28	1.00, 0.600	0.0010050	0.001272	0.00	-211.17	41.26	219.33	--	--
3	0.57	1.00, 0.600	0.0010050	0.001272	0.00	-211.17	10.67	219.33	--	--
4	0.85	1.00, 0.600	0.0010050	0.001272	0.00	-211.17	5.04	219.33	--	--
5	1.14	1.00, 0.600	0.0010050	0.001272	0.00	-211.17	3.06	219.33	--	--
6	1.42	1.00, 0.600	0.0010050	0.001272	0.00	-211.17	2.14	219.33	--	--
7	1.71	1.00, 0.600	0.0010050	0.001272	0.00	-211.17	1.64	219.33	--	--
8	2.00	1.00, 0.600	0.0010050	0.001272	0.00	-211.17	1.34	219.33	--	--
9	2.28	1.00, 0.600	0.0022780	0.001272	0.00	-470.01	2.59	219.33	--	--
10	2.56	1.00, 0.600	0.0022780	0.001272	0.00	-470.01	2.35	199.57	--	--
11	2.85	1.00, 0.600	0.0022780	0.001272	0.00	-470.01	2.24	199.57	--	--

COMBINAZIONE n° 13

Valore della spinta statica 183.8794 [kN]

PV_D_SR_AP_MU_3_F_005-_001_N_001_R_A_0

Muro MU.3F.05.N – Relazione di Calcolo

Componente orizzontale della spinta statica	154.2719	[kN]		
Componente verticale della spinta statica	100.0590	[kN]		
Punto d'applicazione della spinta	X = 2.85	[m]	Y = -3.19	[m]
Inclinaz. della spinta rispetto alla normale alla superficie	32.97	[°]		
Inclinazione linea di rottura in condizioni statiche	49.44	[°]		
Incremento sismico della spinta	85.5536	[kN]		
Punto d'applicazione dell'incremento sismico di spinta	X = 2.85	[m]	Y = -3.19	[m]
Inclinazione linea di rottura in condizioni sismiche	44.38	[°]		
Peso terrapieno gravante sulla fondazione a monte	275.7206	[kN]		
Baricentro terrapieno gravante sulla fondazione a monte	X = 1.47	[m]	Y = -2.37	[m]
Numero contrafforti	8			
Peso del singolo contrafforte	13.1250	[kN]		
Peso del contrafforte riferito ad un metro di muro	10.9375	[kN]		
Baricentro contrafforte	X = 0.30	[m]	Y = -3.02	[m]
Inerzia del muro	7.8375	[kN]		
Inerzia verticale del muro	3.9187	[kN]		
Inerzia del terrapieno fondazione di monte	30.3292	[kN]		
Inerzia verticale del terrapieno fondazione di monte	15.1646	[kN]		
Inerzia del singolo contrafforte	1.4437	[kN]		
Inerzia del contrafforte riferita ad un metro di muro	1.2031	[kN]		
Inerzia verticale del singolo contrafforte	0.7219	[kN]		
Inerzia verticale del contrafforte riferita ad un metro di muro	0.6016	[kN]		

Risultanti

Risultante dei carichi applicati in dir. orizzontale	266.0798	[kN]		
Risultante dei carichi applicati in dir. verticale	530.2064	[kN]		
Resistenza passiva a valle del muro	-25.3313	[kN]		
Momento ribaltante rispetto allo spigolo a valle	654.8266	[kNm]		
Momento stabilizzante rispetto allo spigolo a valle	1249.6400	[kNm]		
Sforzo normale sul piano di posa della fondazione	530.2064	[kN]		
Sforzo tangenziale sul piano di posa della fondazione	266.0798	[kN]		
Eccentricità rispetto al baricentro della fondazione	0.63	[m]		
Lunghezza fondazione reagente	3.37	[m]		
Risultante in fondazione	593.2262	[kN]		
Inclinazione della risultante (rispetto alla normale)	26.65	[°]		
Momento rispetto al baricentro della fondazione	333.0478	[kNm]		

COEFFICIENTI DI SICUREZZA

Coefficiente di sicurezza a ribaltamento	1.91			
--	------	--	--	--

COMBINAZIONE n° 14

Valore della spinta statica	183.8794	[kN]		
Componente orizzontale della spinta statica	154.2719	[kN]		
Componente verticale della spinta statica	100.0590	[kN]		
Punto d'applicazione della spinta	X = 2.85	[m]	Y = -3.19	[m]
Inclinaz. della spinta rispetto alla normale alla superficie	32.97	[°]		
Inclinazione linea di rottura in condizioni statiche	49.44	[°]		
Incremento sismico della spinta	65.5266	[kN]		
Punto d'applicazione dell'incremento sismico di spinta	X = 2.85	[m]	Y = -3.19	[m]
Inclinazione linea di rottura in condizioni sismiche	43.81	[°]		
Peso terrapieno gravante sulla fondazione a monte	275.7206	[kN]		
Baricentro terrapieno gravante sulla fondazione a monte	X = 1.47	[m]	Y = -2.37	[m]
Numero contrafforti	8			
Peso del singolo contrafforte	13.1250	[kN]		
Peso del contrafforte riferito ad un metro di muro	10.9375	[kN]		
Baricentro contrafforte	X = 0.30	[m]	Y = -3.02	[m]

PV_D_SR_AP_MU_3_F_005-_001_N_001_R_A_0

Muro MU.3F.05.N – Relazione di Calcolo

Inerzia del muro	7.8375	[kN]
Inerzia verticale del muro	-3.9187	[kN]
Inerzia del terrapieno fondazione di monte	30.3292	[kN]
Inerzia verticale del terrapieno fondazione di monte	-15.1646	[kN]
Inerzia del singolo contrafforte	1.4437	[kN]
Inerzia del contrafforte riferita ad un metro di muro	1.2031	[kN]
Inerzia verticale del singolo contrafforte	-0.7219	[kN]
Inerzia verticale del contrafforte riferita ad un metro di muro	-0.6016	[kN]

Risultanti

Risultante dei carichi applicati in dir. orizzontale	249.2775	[kN]
Risultante dei carichi applicati in dir. verticale	479.9388	[kN]
Resistenza passiva a valle del muro	-25.3313	[kN]
Momento ribaltante rispetto allo spigolo a valle	652.6241	[kNm]
Momento stabilizzante rispetto allo spigolo a valle	1173.1806	[kNm]
Sforzo normale sul piano di posa della fondazione	479.9388	[kN]
Sforzo tangenziale sul piano di posa della fondazione	249.2775	[kN]
Eccentricità rispetto al baricentro della fondazione	0.67	[m]
Lunghezza fondazione reagente	3.25	[m]
Risultante in fondazione	540.8147	[kN]
Inclinazione della risultante (rispetto alla normale)	27.45	[°]
Momento rispetto al baricentro della fondazione	319.3364	[kNm]

COEFFICIENTI DI SICUREZZA

Coefficiente di sicurezza a ribaltamento	1.80
--	------

Stabilità globale muro + terrenoCombinazione n° 15

Le ascisse X sono considerate positive verso monte

Le ordinate Y sono considerate positive verso l'alto

Origine in testa al muro (spigolo contro terra)

W	peso della striscia espresso in [kN]
α	angolo fra la base della striscia e l'orizzontale espresso in [°] (positivo antiorario)
ϕ	angolo d'attrito del terreno lungo la base della striscia
c	coesione del terreno lungo la base della striscia espressa in [MPa]
b	larghezza della striscia espressa in [m]
u	pressione neutra lungo la base della striscia espressa in [MPa]

Metodo di Bishop

Numero di cerchi analizzati 36

Numero di strisce 25

Cerchio critico

Coordinate del centro X[m]= -0.48 Y[m]= 4.29

Raggio del cerchio R[m]= 10.43

Ascissa a valle del cerchio Xi[m]= -6.27

Ascissa a monte del cerchio Xs[m]= 9.94

Larghezza della striscia dx[m]= 0.65

Coefficiente di sicurezza C= 1.48

Le strisce sono numerate da monte verso valle

Caratteristiche delle strisce

Striscia	W	α (°)	Wsin α	b/cos α	ϕ	c	u
1	3280.00	78.19	3210.59	3.17	29.26	0.000	0.000
2	5553.57	65.21	5041.70	1.55	31.15	0.007	0.000
3	6662.08	57.63	5626.83	1.21	33.87	0.016	0.000
4	7412.57	51.44	5796.64	1.04	33.87	0.016	0.000
5	7931.01	46.02	5707.13	0.93	33.87	0.016	0.000
6	8285.45	41.09	5445.89	0.86	33.87	0.016	0.000
7	8513.00	36.51	5065.37	0.81	33.87	0.016	0.000

PV_D_SR_AP_MU_3_F_005-_001_N_001_R_A_0

Muro MU.3F.05.N – Relazione di Calcolo

8	8636.55	32.19	4601.37	0.77	33.87	0.016	0.000
9	8671.33	28.07	4080.37	0.73	33.87	0.016	0.000
10	8627.99	24.10	3523.25	0.71	33.87	0.016	0.000
11	8512.61	20.25	2946.66	0.69	33.87	0.016	0.000
12	8272.86	16.50	2349.15	0.68	33.87	0.016	0.000
13	8006.85	12.81	1775.68	0.66	33.87	0.016	0.000
14	7823.03	9.18	1248.43	0.66	33.87	0.016	0.000
15	7918.82	5.59	771.29	0.65	33.87	0.016	0.000
16	6035.10	2.02	212.54	0.65	33.87	0.016	0.000
17	2361.52	-1.55	-63.68	0.65	33.87	0.016	0.000
18	2245.33	-5.11	-200.17	0.65	33.87	0.016	0.000
19	2141.32	-8.70	-324.05	0.66	33.87	0.016	0.000
20	1981.98	-12.33	-423.19	0.66	33.87	0.016	0.000
21	1765.31	-16.00	-486.71	0.67	33.87	0.016	0.000
22	1488.41	-19.75	-502.93	0.69	33.87	0.016	0.000
23	1147.32	-23.58	-459.04	0.71	33.87	0.016	0.000
24	736.63	-27.54	-340.55	0.73	33.87	0.016	0.000
25	248.97	-31.64	-130.59	0.76	33.87	0.016	0.000

$\Sigma W_i = 1316.6580$ [kN]

$\Sigma W_i \sin \alpha_i = 534.1963$ [kN]

$\Sigma W_i \tan \phi_i = 876.6333$ [kN]

$\Sigma \tan \alpha_i \tan \phi_i = 7.73$

Stabilità globale muro + terreno

Combinazione n° 16

Le ascisse X sono considerate positive verso monte

Le ordinate Y sono considerate positive verso l'alto

Origine in testa al muro (spigolo contro terra)

W peso della striscia espresso in [kN]

α angolo fra la base della striscia e l'orizzontale espresso in [°] (positivo antiorario)

ϕ angolo d'attrito del terreno lungo la base della striscia

c coesione del terreno lungo la base della striscia espressa in [MPa]

b larghezza della striscia espressa in [m]

u pressione neutra lungo la base della striscia espressa in [MPa]

Metodo di Bishop

Numero di cerchi analizzati 36

Numero di strisce 25

Cerchio critico

Coordinate del centro X[m]= -0.48 Y[m]= 4.29

Raggio del cerchio R[m]= 10.43

Ascissa a valle del cerchio Xi[m]= -6.27

Ascissa a monte del cerchio Xs[m]= 9.94

Larghezza della striscia dx[m]= 0.65

Coefficiente di sicurezza C= 1.46

Le strisce sono numerate da monte verso valle

Caratteristiche delle strisce

Striscia	W	α (°)	$W \sin \alpha$	$b / \cos \alpha$	ϕ	c	u
1	3280.00	78.19	3210.59	3.17	29.26	0.000	0.000
2	5553.57	65.21	5041.70	1.55	31.15	0.007	0.000
3	6662.08	57.63	5626.83	1.21	33.87	0.016	0.000
4	7412.57	51.44	5796.64	1.04	33.87	0.016	0.000
5	7931.01	46.02	5707.13	0.93	33.87	0.016	0.000
6	8285.45	41.09	5445.89	0.86	33.87	0.016	0.000
7	8513.00	36.51	5065.37	0.81	33.87	0.016	0.000
8	8636.55	32.19	4601.37	0.77	33.87	0.016	0.000
9	8671.33	28.07	4080.37	0.73	33.87	0.016	0.000

PV_D_SR_AP_MU_3_F_005-_001_N_001_R_A_0

Muro MU.3F.05.N – Relazione di Calcolo

10	8627.99	24.10	3523.25	0.71	33.87	0.016	0.000
11	8512.61	20.25	2946.66	0.69	33.87	0.016	0.000
12	8272.86	16.50	2349.15	0.68	33.87	0.016	0.000
13	8006.85	12.81	1775.68	0.66	33.87	0.016	0.000
14	7823.03	9.18	1248.43	0.66	33.87	0.016	0.000
15	7918.82	5.59	771.29	0.65	33.87	0.016	0.000
16	6035.10	2.02	212.54	0.65	33.87	0.016	0.000
17	2361.52	-1.55	-63.68	0.65	33.87	0.016	0.000
18	2245.33	-5.11	-200.17	0.65	33.87	0.016	0.000
19	2141.32	-8.70	-324.05	0.66	33.87	0.016	0.000
20	1981.98	-12.33	-423.19	0.66	33.87	0.016	0.000
21	1765.31	-16.00	-486.71	0.67	33.87	0.016	0.000
22	1488.41	-19.75	-502.93	0.69	33.87	0.016	0.000
23	1147.32	-23.58	-459.04	0.71	33.87	0.016	0.000
24	736.63	-27.54	-340.55	0.73	33.87	0.016	0.000
25	248.97	-31.64	-130.59	0.76	33.87	0.016	0.000

 $\Sigma W_i = 1316.6580$ [kN] $\Sigma W_i \sin \alpha_i = 534.1963$ [kN] $\Sigma W_i \tan \phi_i = 876.6333$ [kN] $\Sigma \tan \alpha_i \tan \phi_i = 7.73$ **Sollecitazioni fondazione di valle**Combinazione n° 17

L'ascissa X (espressa in m) è considerata positiva verso monte con origine in corrispondenza dell'estremo libero della fondazione di valle

Momento positivo se tende le fibre inferiori, espresso in kNm

Taglio positivo se diretto verso l'alto, espresso in kN

Nr.	X	M	T
1	0.00	0.0000	0.0000
2	0.05	0.1544	6.1724
3	0.10	0.6167	12.3130
4	0.15	1.3852	18.4216
5	0.20	2.4583	24.4983
6	0.25	3.8345	30.5432
7	0.30	5.5121	36.5561
8	0.35	7.4896	42.5371
9	0.40	9.7653	48.4863
10	0.45	12.3377	54.4035
11	0.50	15.2051	60.2889

Sollecitazioni fondazione di monteCombinazione n° 17

L'ascissa X (espressa in m) è considerata positiva verso valle con origine in corrispondenza dell'estremo libero della fondazione di monte

Momento positivo se tende le fibre inferiori, espresso in kNm

Taglio positivo se diretto verso l'alto, espresso in kN

Nr.	X	M	T
1	0.00	0.0000	0.0000
2	0.28	-0.7603	-5.0079
3	0.57	-2.6679	-8.0520
4	0.85	-5.1633	-9.1323
5	1.14	-7.6868	-8.2487
6	1.42	-9.6785	-5.4014
7	1.71	-10.5966	-0.8420
8	2.00	-10.0592	4.7859
9	2.28	-7.7702	11.4501
10	2.56	-3.4342	19.1506

PV_D_SR_AP_MU_3_F_005-001_N_001_R_A_0

Muro MU.3F.05.N – Relazione di Calcolo

11 2.85 3.2441 27.8876

Armature e tensioni nei materiali della fondazioneCombinazione n° 17

Simbologia adottata

B	base della sezione espressa in [m]
H	altezza della sezione espressa in [m]
A _{fi}	area di armatura in corrispondenza del lembo inferiore in [mq]
A _{fs}	area di armatura in corrispondenza del lembo superiore in [mq]
σ _c	tensione nel calcestruzzo espressa in [MPa]
τ _c	tensione tangenziale nel calcestruzzo espressa in [MPa]
σ _{fi}	tensione nell'armatura disposta in corrispondenza del lembo inferiore in [MPa]
σ _{fs}	tensione nell'armatura disposta in corrispondenza del lembo superiore in [MPa]

Fondazione di valle

(L'ascissa X, espressa in [m], è positiva verso monte con origine in corrispondenza dell'estremo libero della fondazione di valle)

Nr.	X	B, H	A _{fs}	A _{fi}	σ _c	τ _c	σ _{fi}	σ _{fs}
1	0.00	1.00, 0.600	0.0010050	0.001272	0.000	0.000	0.000	0.000
2	0.05	1.00, 0.600	0.0010050	0.000000	0.418	0.013	0.000	4.741
3	0.10	1.00, 0.600	0.0022780	0.001272	0.015	0.026	0.928	-0.147
4	0.15	1.00, 0.600	0.0022780	0.001272	0.034	0.039	2.085	-0.329
5	0.20	1.00, 0.600	0.0022780	0.001272	0.061	0.051	3.700	-0.584
6	0.25	1.00, 0.600	0.0022780	0.001272	0.095	0.064	5.771	-0.911
7	0.30	1.00, 0.600	0.0022780	0.001272	0.137	0.077	8.297	-1.310
8	0.35	1.00, 0.600	0.0022780	0.001272	0.186	0.089	11.273	-1.780
9	0.40	1.00, 0.600	0.0022780	0.001272	0.242	0.102	14.698	-2.320
10	0.45	1.00, 0.600	0.0022780	0.001272	0.306	0.114	18.570	-2.932
11	0.50	1.00, 0.600	0.0022780	0.001272	0.377	0.127	22.886	-3.613

Fondazione di monte

(L'ascissa X, espressa in [m], è positiva verso valle con origine in corrispondenza dell'estremo libero della fondazione di monte)

Nr.	X	B, H	A _{fs}	A _{fi}	σ _c	τ _c	σ _{fi}	σ _{fs}
1	0.00	1.00, 0.600	0.0010050	0.001272	0.000	0.000	0.000	0.000
2	0.28	1.00, 0.600	0.0010050	0.001272	0.022	-0.011	-0.209	1.444
3	0.57	1.00, 0.600	0.0010050	0.001272	0.079	-0.017	-0.734	5.066
4	0.85	1.00, 0.600	0.0010050	0.001272	0.152	-0.019	-1.420	9.804
5	1.14	1.00, 0.600	0.0010050	0.001272	0.227	-0.017	-2.114	14.595
6	1.42	1.00, 0.600	0.0010050	0.001272	0.285	-0.011	-2.661	18.377
7	1.71	1.00, 0.600	0.0010050	0.001272	0.312	-0.002	-2.914	20.121
8	2.00	1.00, 0.600	0.0010050	0.001272	0.297	0.010	-2.766	19.100
9	2.28	1.00, 0.600	0.0022780	0.001272	0.168	0.024	-1.859	6.681
10	2.56	1.00, 0.600	0.0022780	0.001272	0.074	0.040	-0.822	2.953
11	2.85	1.00, 0.600	0.0022780	0.001272	0.080	0.059	4.883	-0.771

Sollecitazioni fondazione di valleCombinazione n° 18

L'ascissa X(espressa in m) è considerata positiva verso monte con origine in corrispondenza dell'estremo libero della fondazione di valle

Momento positivo se tende le fibre inferiori, espresso in kNm

Taglio positivo se diretto verso l'alto, espresso in kN

Nr.	X	M	T
1	0.00	0.0000	0.0000
2	0.05	0.1544	6.1724
3	0.10	0.6167	12.3130
4	0.15	1.3852	18.4216
5	0.20	2.4583	24.4983

PV_D_SR_AP_MU_3_F_005-_001_N_001_R_A_0

Muro MU.3F.05.N – Relazione di Calcolo

6	0.25	3.8345	30.5432
7	0.30	5.5121	36.5561
8	0.35	7.4896	42.5371
9	0.40	9.7653	48.4863
10	0.45	12.3377	54.4035
11	0.50	15.2051	60.2889

Sollecitazioni fondazione di monteCombinazione n° 18

L'ascissa X(espressa in m) è considerata positiva verso valle con origine in corrispondenza dell'estremo libero della fondazione di monte

Momento positivo se tende le fibre inferiori, espresso in kNm

Taglio positivo se diretto verso l'alto, espresso in kN

Nr.	X	M	T
1	0.00	0.0000	0.0000
2	0.28	-0.7603	-5.0079
3	0.57	-2.6679	-8.0520
4	0.85	-5.1633	-9.1323
5	1.14	-7.6868	-8.2487
6	1.42	-9.6785	-5.4014
7	1.71	-10.5966	-0.8420
8	2.00	-10.0592	4.7859
9	2.28	-7.7702	11.4501
10	2.56	-3.4342	19.1506
11	2.85	3.2441	27.8876

Armature e tensioni nei materiali della fondazioneCombinazione n° 18

Simbologia adottata

B base della sezione espressa in [m]

H altezza della sezione espressa in [m]

A_{fi} area di armatura in corrispondenza del lembo inferiore in [mq]

A_{fs} area di armatura in corrispondenza del lembo superiore in [mq]

σ_c tensione nel calcestruzzo espressa in [MPa]

τ_c tensione tangenziale nel calcestruzzo espressa in [MPa]

σ_{fi} tensione nell'armatura disposta in corrispondenza del lembo inferiore in [MPa]

σ_{fs} tensione nell'armatura disposta in corrispondenza del lembo superiore in [MPa]

Fondazione di valle

(L'ascissa X, espressa in [m], è positiva verso monte con origine in corrispondenza dell'estremo libero della fondazione di valle)

Nr.	X	B, H	A _{fs}	A _{fi}	σ _c	τ _c	σ _{fi}	σ _{fs}
1	0.00	1.00, 0.600	0.0010050	0.001272	0.000	0.000	0.000	0.000
2	0.05	1.00, 0.600	0.0010050	0.000000	0.418	0.013	0.000	4.741
3	0.10	1.00, 0.600	0.0022780	0.001272	0.015	0.026	0.928	-0.147
4	0.15	1.00, 0.600	0.0022780	0.001272	0.034	0.039	2.085	-0.329
5	0.20	1.00, 0.600	0.0022780	0.001272	0.061	0.051	3.700	-0.584
6	0.25	1.00, 0.600	0.0022780	0.001272	0.095	0.064	5.771	-0.911
7	0.30	1.00, 0.600	0.0022780	0.001272	0.137	0.077	8.297	-1.310
8	0.35	1.00, 0.600	0.0022780	0.001272	0.186	0.089	11.273	-1.780
9	0.40	1.00, 0.600	0.0022780	0.001272	0.242	0.102	14.698	-2.320
10	0.45	1.00, 0.600	0.0022780	0.001272	0.306	0.114	18.570	-2.932
11	0.50	1.00, 0.600	0.0022780	0.001272	0.377	0.127	22.886	-3.613

Fondazione di monte

(L'ascissa X, espressa in [m], è positiva verso valle con origine in corrispondenza dell'estremo libero della fondazione di monte)

Nr.	X	B, H	A _{fs}	A _{fi}	σ _c	τ _c	σ _{fi}	σ _{fs}
-----	---	------	-----------------	-----------------	----------------	----------------	-----------------	-----------------

PV_D_SR_AP_MU_3_F_005-_001_N_001_R_A_0

Muro MU.3F.05.N – Relazione di Calcolo

1	0.00	1.00, 0.600.0010050.001272	0.000	0.000	0.000	0.000
2	0.28	1.00, 0.600.0010050.001272	0.022	-0.011	-0.209	1.444
3	0.57	1.00, 0.600.0010050.001272	0.079	-0.017	-0.734	5.066
4	0.85	1.00, 0.600.0010050.001272	0.152	-0.019	-1.420	9.804
5	1.14	1.00, 0.600.0010050.001272	0.227	-0.017	-2.114	14.595
6	1.42	1.00, 0.600.0010050.001272	0.285	-0.011	-2.661	18.377
7	1.71	1.00, 0.600.0010050.001272	0.312	-0.002	-2.914	20.121
8	2.00	1.00, 0.600.0010050.001272	0.297	0.010	-2.766	19.100
9	2.28	1.00, 0.600.0022780.001272	0.168	0.024	-1.859	6.681
10	2.56	1.00, 0.600.0022780.001272	0.074	0.040	-0.822	2.953
11	2.85	1.00, 0.600.0022780.001272	0.080	0.059	4.883	-0.771

Sollecitazioni fondazione di valle**Combinazione n° 19**

L'ascissa X(espressa in m) è considerata positiva verso monte con origine in corrispondenza dell'estremo libero della fondazione di valle

Momento positivo se tende le fibre inferiori, espresso in kNm

Taglio positivo se diretto verso l'alto, espresso in kN

Nr.	X	M	T
1	0.00	0.0000	0.0000
2	0.05	0.1544	6.1724
3	0.10	0.6167	12.3130
4	0.15	1.3852	18.4216
5	0.20	2.4583	24.4983
6	0.25	3.8345	30.5432
7	0.30	5.5121	36.5561
8	0.35	7.4896	42.5371
9	0.40	9.7653	48.4863
10	0.45	12.3377	54.4035
11	0.50	15.2051	60.2889

Sollecitazioni fondazione di monte**Combinazione n° 19**

L'ascissa X(espressa in m) è considerata positiva verso valle con origine in corrispondenza dell'estremo libero della fondazione di monte

Momento positivo se tende le fibre inferiori, espresso in kNm

Taglio positivo se diretto verso l'alto, espresso in kN

Nr.	X	M	T
1	0.00	0.0000	0.0000
2	0.28	-0.7603	-5.0079
3	0.57	-2.6679	-8.0520
4	0.85	-5.1633	-9.1323
5	1.14	-7.6868	-8.2487
6	1.42	-9.6785	-5.4014
7	1.71	-10.5966	-0.8420
8	2.00	-10.0592	4.7859
9	2.28	-7.7702	11.4501
10	2.56	-3.4342	19.1506
11	2.85	3.2441	27.8876

Armature e tensioni nei materiali della fondazione**Combinazione n° 19**

Simbologia adottata

B base della sezione espressa in [m]

H altezza della sezione espressa in [m]

A_{fi} area di armatura in corrispondenza del lembo inferiore in [mq]

A_{fs} area di armatura in corrispondenza del lembo superiore in [mq]

σ_c tensione nel calcestruzzo espressa in [MPa]

PV_D_SR_AP_MU_3_F_005-001_N_001_R_A_0

Muro MU.3F.05.N – Relazione di Calcolo

τ_c	tensione tangenziale nel calcestruzzo espressa in [MPa]
σ_{fi}	tensione nell'armatura disposta in corrispondenza del lembo inferiore in [MPa]
σ_{fs}	tensione nell'armatura disposta in corrispondenza del lembo superiore in [MPa]

Fondazione di valle

(L'ascissa X, espressa in [m], è positiva verso monte con origine in corrispondenza dell'estremo libero della fondazione di valle)

Nr.	X	B, H	A_{fs}	A_{fi}	σ_c	τ_c	σ_{fi}	σ_{fs}
1	0.00	1.00, 0.600	0.0010050	0.001272	0.000	0.000	0.000	0.000
2	0.05	1.00, 0.600	0.0010050	0.000000	0.418	0.013	0.000	4.741
3	0.10	1.00, 0.600	0.0022780	0.001272	0.015	0.026	0.928	-0.147
4	0.15	1.00, 0.600	0.0022780	0.001272	0.034	0.039	2.085	-0.329
5	0.20	1.00, 0.600	0.0022780	0.001272	0.061	0.051	3.700	-0.584
6	0.25	1.00, 0.600	0.0022780	0.001272	0.095	0.064	5.771	-0.911
7	0.30	1.00, 0.600	0.0022780	0.001272	0.137	0.077	8.297	-1.310
8	0.35	1.00, 0.600	0.0022780	0.001272	0.186	0.089	11.273	-1.780
9	0.40	1.00, 0.600	0.0022780	0.001272	0.242	0.102	14.698	-2.320
10	0.45	1.00, 0.600	0.0022780	0.001272	0.306	0.114	18.570	-2.932
11	0.50	1.00, 0.600	0.0022780	0.001272	0.377	0.127	22.886	-3.613

Fondazione di monte

(L'ascissa X, espressa in [m], è positiva verso valle con origine in corrispondenza dell'estremo libero della fondazione di monte)

Nr.	X	B, H	A_{fs}	A_{fi}	σ_c	τ_c	σ_{fi}	σ_{fs}
1	0.00	1.00, 0.600	0.0010050	0.001272	0.000	0.000	0.000	0.000
2	0.28	1.00, 0.600	0.0010050	0.001272	0.022	-0.011	-0.209	1.444
3	0.57	1.00, 0.600	0.0010050	0.001272	0.079	-0.017	-0.734	5.066
4	0.85	1.00, 0.600	0.0010050	0.001272	0.152	-0.019	-1.420	9.804
5	1.14	1.00, 0.600	0.0010050	0.001272	0.227	-0.017	-2.114	14.595
6	1.42	1.00, 0.600	0.0010050	0.001272	0.285	-0.011	-2.661	18.377
7	1.71	1.00, 0.600	0.0010050	0.001272	0.312	-0.002	-2.914	20.121
8	2.00	1.00, 0.600	0.0010050	0.001272	0.297	0.010	-2.766	19.100
9	2.28	1.00, 0.600	0.0022780	0.001272	0.168	0.024	-1.859	6.681
10	2.56	1.00, 0.600	0.0022780	0.001272	0.074	0.040	-0.822	2.953
11	2.85	1.00, 0.600	0.0022780	0.001272	0.080	0.059	4.883	-0.771

2.1.3. Tipo F5 - Muro tratto F con altezza fuori terra di 6m

Normativa

N.T.C. 2008 - Approccio 1

Simbologia adottata

γ_{Gsfav}	Coefficiente parziale sfavorevole sulle azioni permanenti
γ_{Gfav}	Coefficiente parziale favorevole sulle azioni permanenti
γ_{Qsfav}	Coefficiente parziale sfavorevole sulle azioni variabili
γ_{Qfav}	Coefficiente parziale favorevole sulle azioni variabili
$\gamma_{tan\phi'}$	Coefficiente parziale di riduzione dell'angolo di attrito drenato
$\gamma_{c'}$	Coefficiente parziale di riduzione della coesione drenata
γ_{cu}	Coefficiente parziale di riduzione della coesione non drenata
γ_{qu}	Coefficiente parziale di riduzione del carico ultimo
γ_{γ}	Coefficiente parziale di riduzione della resistenza a compressione uniassiale delle rocce

Coefficienti di partecipazione combinazioni statiche

Coefficienti parziali per le azioni o per l'effetto delle azioni:

Carichi	Effetto		A1	A2	EQU	HYD
Permanenti	Favorevole	γ_{Gfav}	1.00	1.00	0.90	0.90
Permanenti	Sfavorevole	γ_{Gsfav}	1.30	1.00	1.10	1.30
Variabili	Favorevole	γ_{Qfav}	0.00	0.00	0.00	0.00
Variabili	Sfavorevole	γ_{Qsfav}	1.50	1.30	1.50	1.50

Coefficienti parziali per i parametri geotecnici del terreno:

Parametri		M1	M2	M2	M1
Tangente dell'angolo di attrito	$\gamma_{tan\phi'}$	1.00	1.25	1.25	1.00
Coesione efficace	$\gamma_{c'}$	1.00	1.25	1.25	1.00
Resistenza non drenata	γ_{cu}	1.00	1.40	1.40	1.00
Resistenza a compressione uniassiale	γ_{qu}	1.00	1.60	1.60	1.00
Peso dell'unità di volume	γ_{γ}	1.00	1.00	1.00	1.00

Coefficienti di partecipazione combinazioni sismiche

Coefficienti parziali per le azioni o per l'effetto delle azioni:

Carichi	Effetto		A1	A2	EQU	HYD
Permanenti	Favorevole	γ_{Gfav}	1.00	1.00	1.00	0.90
Permanenti	Sfavorevole	γ_{Gsfav}	1.00	1.00	1.00	1.30
Variabili	Favorevole	γ_{Qfav}	0.00	0.00	0.00	0.00
Variabili	Sfavorevole	γ_{Qsfav}	1.00	1.00	1.00	1.50

Coefficienti parziali per i parametri geotecnici del terreno:

Parametri		M1	M2	M2	M1
Tangente dell'angolo di attrito	$\gamma_{tan\phi'}$	1.00	1.25	1.25	1.00
Coesione efficace	$\gamma_{c'}$	1.00	1.25	1.25	1.00
Resistenza non drenata	γ_{cu}	1.00	1.40	1.40	1.00
Resistenza a compressione uniassiale	γ_{qu}	1.00	1.60	1.60	1.00
Peso dell'unità di volume	γ_{γ}	1.00	1.00	1.00	1.00

FONDAZIONE SUPERFICIALE

Coefficienti parziali γ_R per le verifiche agli stati limite ultimi STR e GEO

Verifica	Coefficienti parziali		
	R1	R2	R3
Capacità portante della fondazione	1.00	1.00	1.40
Scorrimento	1.00	1.00	1.10
Resistenza del terreno a valle	1.00	1.00	1.40

PV_D_SR_AP_MU_3_F_005-_001_N_001_R_A_0

Stabilità globale

1.10

Geometria muro e fondazioneDescrizione **Muro a mensola in c.a.**

Altezza del paramento	6.00 [m]
Spessore in sommità	0.15 [m]
Spessore all'attacco con la fondazione	0.15 [m]
Inclinazione paramento esterno	0.00 [°]
Inclinazione paramento interno	0.00 [°]

Fondazione

Lunghezza mensola fondazione di valle	0.50 [m]
Lunghezza mensola fondazione di monte	3.55 [m]
Lunghezza totale fondazione	4.20 [m]
Inclinazione piano di posa della fondazione	0.00 [°]
Spessore fondazione	0.80 [m]
Spessore magrone	0.10 [m]

Contrafforti prefabbricati

Altezza contrafforti	6.00 [m]
Spessore contrafforti	0.20 [m]
Larghezza in sommità	0.20 [m]
Larghezza alla base	1.06 [m]
Larghezza elemento	1.20 [m]
Numero contrafforti	8
Posizione :	Monte

Materiali utilizzati per la struttura

<i>Calcestruzzo</i>	
Peso specifico	25.000 [kN/mc]
Classe di Resistenza	C25/30
Resistenza caratteristica a compressione R_{ck}	30.00 [MPa]
Modulo elastico E	31447.048 [MPa]
<i>Acciaio</i>	
Tipo	B450C
Tensione di snervamento σ_{fa}	450 [MPa]

Geometria profilo terreno a monte del muro*Simbologia adottata e sistema di riferimento*

(Sistema di riferimento con origine in testa al muro, ascissa X positiva verso monte, ordinata Y positiva verso l'alto)

N numero ordine del punto

X ascissa del punto espressa in [m]

Y ordinata del punto espressa in [m]

A inclinazione del tratto espressa in [°]

N	X	Y	A
1	1.35	0.00	0.00
2	9.67	5.00	31.00
3	30.00	5.00	0.00

Terreno a valle del muro

Inclinazione terreno a valle del muro rispetto all'orizzontale 0.00 [°]

PV_D_SR_AP_MU_3_F_005-_001_N_001_R_A_0

Muro MU.3F.05.N – Relazione di Calcolo

Altezza del rinterro rispetto all'attacco fondaz.valle-paramento 0.60 [m]

Descrizione terreni*Simbologia adottata*

Nr.	Indice del terreno
Descrizione	Descrizione terreno
γ	Peso di volume del terreno espresso in [kN/mc]
γ_s	Peso di volume saturo del terreno espresso in [kN/mc]
ϕ	Angolo d'attrito interno espresso in [°]
δ	Angolo d'attrito terra-muro espresso in [°]
c	Coesione espressa in [MPa]
c_a	Adesione terra-muro espressa in [MPa]

Descrizione	γ	γ_s	ϕ	δ	c	c_a
AL1	18.00	18.00	35.00	23.33	0.0000	0.0000
AL3 - Paramento	19.00	19.00	40.00	26.67	0.0020	0.0000
AL3 - Fondazione	20.00	20.00	40.00	40.00	0.0020	0.0000

Stratigrafia*Simbologia adottata*

N	Indice dello strato
H	Spessore dello strato espresso in [m]
a	Inclinazione espressa in [°]
Kw	Costante di Winkler orizzontale espressa in Kg/cm ² /cm
Ks	Coefficiente di spinta
Terreno	Terreno dello strato

Nr.	H	a	Kw	Ks	Terreno
1	0.10	0.00	0.00	0.00	AL1
2	20.00	0.00	22.94	0.00	AL3 - Fondazione

Terreno di riempimento AL3 - Paramento

Condizioni di carico*Simbologia e convenzioni di segno adottate*

Carichi verticali positivi verso il basso.

Carichi orizzontali positivi verso sinistra.

Momento positivo senso antiorario.

X	Ascissa del punto di applicazione del carico concentrato espressa in [m]
F_x	Componente orizzontale del carico concentrato espressa in [kN]
F_y	Componente verticale del carico concentrato espressa in [kN]
M	Momento espresso in [kNm]
X_i	Ascissa del punto iniziale del carico ripartito espressa in [m]
X_f	Ascissa del punto finale del carico ripartito espressa in [m]
Q_i	Intensità del carico per $x=X_i$ espressa in [kN/m]
Q_f	Intensità del carico per $x=X_f$ espressa in [kN/m]
D / C	Tipo carico : D=distribuito C=concentrato

Condizione n° 1 (Vento)C Paramento X=0.00 Y=0.00 $F_x=3.0000$ $F_y=0.0000$ M=6.0000**Descrizione combinazioni di carico***Simbologia adottata*

F/S	Effetto dell'azione (FAV: Favorevole, SFAV: Sfavorevole)
γ	Coefficiente di partecipazione della condizione
Ψ	Coefficiente di combinazione della condizione

Combinazione n° 1 - Caso A1-M1 (STR)

	S/F	γ	Ψ	$\gamma * \Psi$
Peso proprio muro	FAV	1.00	1.00	1.00

PV_D_SR_AP_MU_3_F_005-_001_N_001_R_A_0

Muro MU.3F.05.N – Relazione di Calcolo

Peso proprio terrapieno	FAV	1.00	1.00	1.00
Spinta terreno	SFAV	1.30	1.00	1.30

Combinazione n° 2 - Caso A2-M2 (GEO)

	S/F	γ	Ψ	$\gamma * \Psi$
Peso proprio muro	SFAV	1.00	1.00	1.00
Peso proprio terrapieno	SFAV	1.00	1.00	1.00
Spinta terreno	SFAV	1.00	1.00	1.00

Combinazione n° 3 - Caso EQU (SLU)

	S/F	γ	Ψ	$\gamma * \Psi$
Peso proprio muro	FAV	0.90	1.00	0.90
Peso proprio terrapieno	FAV	0.90	1.00	0.90
Spinta terreno	SFAV	1.10	1.00	1.10

Combinazione n° 4 - Caso A2-M2 (GEO-STAB)

	S/F	γ	Ψ	$\gamma * \Psi$
Peso proprio muro	SFAV	1.00	1.00	1.00
Peso proprio terrapieno	SFAV	1.00	1.00	1.00
Spinta terreno	SFAV	1.00	1.00	1.00

Combinazione n° 5 - Caso A1-M1 (STR)

	S/F	γ	Ψ	$\gamma * \Psi$
Peso proprio muro	FAV	1.00	1.00	1.00
Peso proprio terrapieno	FAV	1.00	1.00	1.00
Spinta terreno	SFAV	1.30	1.00	1.30
Vento	SFAV	1.50	1.00	1.50

Combinazione n° 6 - Caso A2-M2 (GEO)

	S/F	γ	Ψ	$\gamma * \Psi$
Peso proprio muro	SFAV	1.00	1.00	1.00
Peso proprio terrapieno	SFAV	1.00	1.00	1.00
Spinta terreno	SFAV	1.00	1.00	1.00
Vento	SFAV	1.30	1.00	1.30

Combinazione n° 7 - Caso EQU (SLU)

	S/F	γ	Ψ	$\gamma * \Psi$
Peso proprio muro	FAV	0.90	1.00	0.90
Peso proprio terrapieno	FAV	0.90	1.00	0.90
Spinta terreno	SFAV	1.10	1.00	1.10
Vento	SFAV	1.50	1.00	1.50

Combinazione n° 8 - Caso A2-M2 (GEO-STAB)

	S/F	γ	Ψ	$\gamma * \Psi$
Peso proprio muro	SFAV	1.00	1.00	1.00
Peso proprio terrapieno	SFAV	1.00	1.00	1.00
Spinta terreno	SFAV	1.00	1.00	1.00
Vento	SFAV	1.30	1.00	1.30

Combinazione n° 9 - Caso A1-M1 (STR) - Sisma Vert. positivo

	S/F	γ	Ψ	$\gamma * \Psi$
Peso proprio muro	SFAV	1.00	1.00	1.00
Peso proprio terrapieno	SFAV	1.00	1.00	1.00
Spinta terreno	SFAV	1.00	1.00	1.00

Combinazione n° 10 - Caso A1-M1 (STR) - Sisma Vert. negativo

	S/F	γ	Ψ	$\gamma * \Psi$
Peso proprio muro	SFAV	1.00	1.00	1.00
Peso proprio terrapieno	SFAV	1.00	1.00	1.00
Spinta terreno	SFAV	1.00	1.00	1.00

PV_D_SR_AP_MU_3_F_005-_001_N_001_R_A_0

Muro MU.3F.05.N – Relazione di CalcoloCombinazione n° 11 - Caso A2-M2 (GEO) - Sisma Vert. positivo

	S/F	γ	Ψ	$\gamma * \Psi$
Peso proprio muro	SFAV	1.00	1.00	1.00
Peso proprio terrapieno	SFAV	1.00	1.00	1.00
Spinta terreno	SFAV	1.00	1.00	1.00

Combinazione n° 12 - Caso A2-M2 (GEO) - Sisma Vert. negativo

	S/F	γ	Ψ	$\gamma * \Psi$
Peso proprio muro	SFAV	1.00	1.00	1.00
Peso proprio terrapieno	SFAV	1.00	1.00	1.00
Spinta terreno	SFAV	1.00	1.00	1.00

Combinazione n° 13 - Caso EQU (SLU) - Sisma Vert. positivo

	S/F	γ	Ψ	$\gamma * \Psi$
Peso proprio muro	FAV	1.00	1.00	1.00
Peso proprio terrapieno	FAV	1.00	1.00	1.00
Spinta terreno	SFAV	1.00	1.00	1.00

Combinazione n° 14 - Caso EQU (SLU) - Sisma Vert. negativo

	S/F	γ	Ψ	$\gamma * \Psi$
Peso proprio muro	FAV	1.00	1.00	1.00
Peso proprio terrapieno	FAV	1.00	1.00	1.00
Spinta terreno	SFAV	1.00	1.00	1.00

Combinazione n° 15 - Caso A2-M2 (GEO-STAB) - Sisma Vert. positivo

	S/F	γ	Ψ	$\gamma * \Psi$
Peso proprio muro	SFAV	1.00	1.00	1.00
Peso proprio terrapieno	SFAV	1.00	1.00	1.00
Spinta terreno	SFAV	1.00	1.00	1.00

Combinazione n° 16 - Caso A2-M2 (GEO-STAB) - Sisma Vert. negativo

	S/F	γ	Ψ	$\gamma * \Psi$
Peso proprio muro	SFAV	1.00	1.00	1.00
Peso proprio terrapieno	SFAV	1.00	1.00	1.00
Spinta terreno	SFAV	1.00	1.00	1.00

Combinazione n° 17 - Quasi Permanente (SLE)

	S/F	γ	Ψ	$\gamma * \Psi$
Peso proprio muro	--	1.00	1.00	1.00
Peso proprio terrapieno	--	1.00	1.00	1.00
Spinta terreno	--	1.00	1.00	1.00
Vento	SFAV	1.00	1.00	1.00

Combinazione n° 18 - Frequente (SLE)

	S/F	γ	Ψ	$\gamma * \Psi$
Peso proprio muro	--	1.00	1.00	1.00
Peso proprio terrapieno	--	1.00	1.00	1.00
Spinta terreno	--	1.00	1.00	1.00
Vento	SFAV	1.00	1.00	1.00

Combinazione n° 19 - Rara (SLE)

	S/F	γ	Ψ	$\gamma * \Psi$
Peso proprio muro	--	1.00	1.00	1.00
Peso proprio terrapieno	--	1.00	1.00	1.00
Spinta terreno	--	1.00	1.00	1.00
Vento	SFAV	1.00	1.00	1.00

Impostazioni di analisi

Muro MU.3F.05.N – Relazione di Calcolo

Metodo verifica sezioni

Stato limite

Impostazioni verifiche SLUCoefficienti parziali per resistenze di calcolo dei materiali

Coefficiente di sicurezza calcestruzzo a compressione	1.60
Coefficiente di sicurezza calcestruzzo a trazione	1.60
Coefficiente di sicurezza acciaio	1.15
Fattore riduzione da resistenza cubica a cilindrica	0.83
Fattore di riduzione per carichi di lungo periodo	0.85
Coefficiente di sicurezza per la sezione	1.00

Impostazioni verifiche SLE

Condizioni ambientali

Ordinarie

Armatura ad aderenza migliorata

Verifica fessurazione

Sensibilità delle armature

Sensibile

Valori limite delle aperture delle fessure

 $w_1 = 0.20$ $w_2 = 0.30$ $w_3 = 0.40$

Metodo di calcolo aperture delle fessure

Circ. Min. 252 (15/10/1996)

Verifica delle tensioni

Combinazione di carico

Rara $\sigma_c < 0.60 f_{ck}$ - $\sigma_f < 0.80 f_{yk}$ Quasi permanente $\sigma_c < 0.45 f_{ck}$ Calcolo della portanza metodo di VesicCoefficiente correttivo su N_y per effetti cinematici (combinazioni sismiche SLU): 1.00Coefficiente correttivo su N_y per effetti cinematici (combinazioni sismiche SLE): 1.00**Impostazioni avanzate**

Componente verticale della spinta nel calcolo delle sollecitazioni

Influenza del terreno sulla fondazione di valle nelle verifiche e nel calcolo delle sollecitazioni

Diagramma correttivo per eccentricità negativa con aliquota di parzializzazione pari a 0.00

Quadro riassuntivo coeff. di sicurezza calcolatiSimbologia adottata

C	Identificativo della combinazione
Tipo	Tipo combinazione
Sisma	Combinazione sismica
CS_{SCO}	Coeff. di sicurezza allo scorrimento
CS_{RIB}	Coeff. di sicurezza al ribaltamento
CS_{QLIM}	Coeff. di sicurezza a carico limite
CS_{STAB}	Coeff. di sicurezza a stabilità globale

C	Tipo	Sisma	CS_{SCO}	CS_{RIB}	CS_{qlim}	CS_{stab}
1	A1-M1 - [1]	--	3.15	--	16.15	--
2	A2-M2 - [1]	--	2.26	--	5.45	--
3	EQU - [1]	--	--	2.43	--	--
4	STAB - [1]	--	--	--	--	1.74
5	A1-M1 - [2]	--	3.09	--	15.37	--
6	A2-M2 - [2]	--	2.22	--	5.20	--
7	EQU - [2]	--	--	2.30	--	--
8	STAB - [2]	--	--	--	--	1.74
9	A1-M1 - [3]	Orizzontale + Verticale positivo	2.36	--	9.30	--
10	A1-M1 - [3]	Orizzontale + Verticale negativo	2.29	--	9.47	--
11	A2-M2 - [3]	Orizzontale + Verticale positivo	1.50	--	2.04	--
12	A2-M2 - [3]	Orizzontale + Verticale negativo	1.46	--	2.03	--
13	EQU - [3]	Orizzontale + Verticale positivo	--	1.89	--	--

PV_D_SR_AP_MU_3_F_005-001_N_001_R_A_0

Muro MU.3F.05.N – Relazione di Calcolo

14	EQU - [3]	Orizzontale + Verticale negativo	--	1.78	--	--
15	STAB - [3]	Orizzontale + Verticale positivo	--	--	--	1.47
16	STAB - [3]	Orizzontale + Verticale negativo	--	--	--	1.45
17	SLEQ - [1]	--	3.87	--	20.55	--
18	SLEF - [1]	--	3.87	--	20.55	--
19	SLER - [1]	--	3.87	--	20.55	--

Analisi della spinta e verifiche

Sistema di riferimento adottato per le coordinate :

Origine in testa al muro (spigolo di monte)

Ascisse X (espresse in [m]) positive verso monte

Ordinate Y (espresse in [m]) positive verso l'alto

Le forze orizzontali sono considerate positive se agenti da monte verso valle

Le forze verticali sono considerate positive se agenti dall'alto verso il basso

Calcolo riferito ad 1 metro di muro

Tipo di analisi

Calcolo della spinta	metodo di Culmann
Calcolo del carico limite	metodo di Vesic
Calcolo della stabilità globale	metodo di Bishop
Calcolo della spinta in condizioni di	Spinta attiva

Sisma**Combinazioni SLU**

Accelerazione al suolo a_g	3.20 [m/s ²]
Coefficiente di amplificazione per tipo di sottosuolo (S)	1.09
Coefficiente di amplificazione topografica (St)	1.00
Coefficiente riduzione (β_m)	0.31
Rapporto intensità sismica verticale/orizzontale	0.50
Coefficiente di intensità sismica orizzontale (percento)	$k_h=(a_g/g*\beta_m*St*S) = 11.00$
Coefficiente di intensità sismica verticale (percento)	$k_v=0.50 * k_h = 5.50$

Combinazioni SLE

Accelerazione al suolo a_g	1.31 [m/s ²]
Coefficiente di amplificazione per tipo di sottosuolo (S)	1.20
Coefficiente di amplificazione topografica (St)	1.00
Coefficiente riduzione (β_m)	0.24
Rapporto intensità sismica verticale/orizzontale	0.50
Coefficiente di intensità sismica orizzontale (percento)	$k_h=(a_g/g*\beta_m*St*S) = 3.86$
Coefficiente di intensità sismica verticale (percento)	$k_v=0.50 * k_h = 1.93$

Forma diagramma incremento sismico Stessa forma diagramma statico

Partecipazione spinta passiva (percento)	50.0
Lunghezza del muro	9.60 [m]

Peso muro	106.5000 [kN]
Baricentro del muro	X=1.13 Y=-5.68

Superficie di spinta

Punto inferiore superficie di spinta	X = 3.55	Y = -6.80
Punto superiore superficie di spinta	X = 3.55	Y = 1.32
Altezza della superficie di spinta	8.12 [m]	
Inclinazione superficie di spinta(rispetto alla verticale)	0.00 [°]	

COMBINAZIONE n° 1**Peso muro favorevole e Peso terrapieno favorevole**

PV_D_SR_AP_MU_3_F_005-_001_N_001_R_A_0

Muro MU.3F.05.N – Relazione di Calcolo

Valore della spinta statica	264.5593	[kN]		
Componente orizzontale della spinta statica	204.9797	[kN]		
Componente verticale della spinta statica	167.2572	[kN]		
Punto d'applicazione della spinta	X = 3.55	[m]	Y = -3.91	[m]
Inclinaz. della spinta rispetto alla normale alla superficie	39.21	[°]		
Inclinazione linea di rottura in condizioni statiche	55.07	[°]		
Peso terrapieno gravante sulla fondazione a monte	420.9922	[kN]		
Baricentro terrapieno gravante sulla fondazione a monte	X = 1.84	[m]	Y = -2.78	[m]
Numero contrafforti	8			
Peso del singolo contrafforte	18.9000	[kN]		
Peso del contrafforte riferito ad un metro di muro	15.7500	[kN]		
Baricentro contrafforte	X = 0.36	[m]	Y = -3.68	[m]

Risultanti

Risultante dei carichi applicati in dir. orizzontale	204.9797	[kN]
Risultante dei carichi applicati in dir. verticale	716.4994	[kN]
Resistenza passiva a valle del muro	-45.0693	[kN]
Sforzo normale sul piano di posa della fondazione	716.4994	[kN]
Sforzo tangenziale sul piano di posa della fondazione	204.9797	[kN]
Eccentricità rispetto al baricentro della fondazione	0.19	[m]
Lunghezza fondazione reagente	4.20	[m]
Risultante in fondazione	745.2436	[kN]
Inclinazione della risultante (rispetto alla normale)	15.97	[°]
Momento rispetto al baricentro della fondazione	138.7222	[kNm]
Carico ultimo della fondazione	11573.2738	[kN]

Tensioni sul terreno

Lunghezza fondazione reagente	4.20	[m]
Tensione terreno allo spigolo di valle	0.21778	[MPa]
Tensione terreno allo spigolo di monte	0.12341	[MPa]

Fattori per il calcolo della capacità portante

Coeff. capacità portante	$N_c = 75.31$	$N_q = 64.20$	$N_\gamma = 109.41$
Fattori forma	$s_c = 1.00$	$s_q = 1.00$	$s_\gamma = 1.00$
Fattori inclinazione	$i_c = 0.56$	$i_q = 0.56$	$i_\gamma = 0.40$
Fattori profondità	$d_c = 1.13$	$d_q = 1.07$	$d_\gamma = 1.00$
Fattori inclinazione piano posa	$b_c = 1.00$	$b_q = 1.00$	$b_\gamma = 1.00$
Fattori inclinazione pendio	$g_c = 1.00$	$g_q = 1.00$	$g_\gamma = 1.00$
I coefficienti N' tengono conto dei fattori di forma, profondità, inclinazione carico, inclinazione piano di posa, inclinazione pendio.			
	$N'_c = 47.61$	$N'_q = 38.84$	$N'_\gamma = 44.11$

COEFFICIENTI DI SICUREZZA

Coefficiente di sicurezza a scorrimento	3.15
Coefficiente di sicurezza a carico ultimo	16.15

Sollecitazioni fondazione di valleCombinazione n° 1

L'ascissa X(espressa in m) è considerata positiva verso monte con origine in corrispondenza dell'estremo libero della fondazione di valle

Momento positivo se tende le fibre inferiori, espresso in kNm

Taglio positivo se diretto verso l'alto, espresso in kN

Nr.	X	M	T
1	0.00	0.0000	0.0000
2	0.05	0.2273	9.0809
3	0.10	0.9072	18.1056
4	0.15	2.0369	27.0742
5	0.20	3.6136	35.9865

PV_D_SR_AP_MU_3_F_005-_001_N_001_R_A_0

Muro MU.3F.05.N – Relazione di Calcolo

6	0.25	5.6346	44.8427
7	0.30	8.0970	53.6428
8	0.35	10.9979	62.3866
9	0.40	14.3347	71.0743
10	0.45	18.1044	79.7058
11	0.50	22.3043	88.2812

Sollecitazioni fondazione di monteCombinazione n° 1

L'ascissa X(espressa in m) è considerata positiva verso valle con origine in corrispondenza dell'estremo libero della fondazione di monte

Momento positivo se tende le fibre inferiori, espresso in kNm

Taglio positivo se diretto verso l'alto, espresso in kN

Nr.	X	M	T
1	0.00	0.0000	0.0000
2	0.35	-4.6018	-25.1420
3	0.71	-17.2944	-45.5817
4	1.06	-36.4084	-61.3191
5	1.42	-60.2745	-72.3542
6	1.77	-87.2235	-78.6870
7	2.13	-115.5859	-80.3175
8	2.48	-143.7497	-77.8485
9	2.84	-170.5224	-72.5115
10	3.19	-194.8978	-64.3429
11	3.55	-215.8707	-53.3426

Armature e tensioni nei materiali della fondazioneCombinazione n° 1

Simbologia adottata

B	base della sezione espressa in [m]
H	altezza della sezione espressa in [m]
A _{fi}	area di armatura in corrispondenza del lembo inferiore in [mq]
A _{fs}	area di armatura in corrispondenza del lembo superiore in [mq]
N _u	sforzo normale ultimo espresso in [kN]
M _u	momento ultimo espresso in [kNm]
CS	coefficiente sicurezza sezione
VRcd	Aliquota di taglio assorbito dal cls, espresso in [kN]
VRsd	Aliquota di taglio assorbito dall'armatura, espresso in [kN]
VRd	Resistenza al taglio, espresso in [kN]

Fondazione di valle

(L'ascissa X, espressa in [m], è positiva verso monte con origine in corrispondenza dell'estremo libero della fondazione di valle)

Nr.	Y	B, H	A _{fs}	A _{fi}	N _u	M _u	CS	V _{Rd}	V _{Rcd}	V _{Rsd}
1	0.00	1.00, 0.800	0.0025760	0.000770	0.00	0.00	1000.00	265.28	--	--
2	0.05	1.00, 0.800	0.0025760	0.000770	0.00	221.65	975.31	249.62	--	--
3	0.10	1.00, 0.800	0.0025760	0.000770	0.00	221.65	244.33	249.62	--	--
4	0.15	1.00, 0.800	0.0025760	0.000770	0.00	221.65	108.82	249.62	--	--
5	0.20	1.00, 0.800	0.0025760	0.000770	0.00	221.65	61.34	249.62	--	--
6	0.25	1.00, 0.800	0.0025760	0.000770	0.00	221.65	39.34	249.62	--	--
7	0.30	1.00, 0.800	0.0025760	0.000770	0.00	221.65	27.37	249.62	--	--
8	0.35	1.00, 0.800	0.0025760	0.000770	0.00	221.65	20.15	249.62	--	--
9	0.40	1.00, 0.800	0.0025760	0.000770	0.00	221.65	15.46	249.62	--	--
10	0.45	1.00, 0.800	0.0025760	0.000770	0.00	221.65	12.24	249.62	--	--
11	0.50	1.00, 0.800	0.0025760	0.000770	0.00	221.65	9.94	249.62	--	--

Fondazione di monte

(L'ascissa X, espressa in [m], è positiva verso valle con origine in corrispondenza dell'estremo libero della fondazione di monte)

PV_D_SR_AP_MU_3_F_005-_001_N_001_R_A_0

Muro MU.3F.05.N – Relazione di Calcolo

Nr.	Y	B, H	A _{fs}	A _{fi}	N _u	M _u	CS	V _{Rd}	V _{Rcd}	V _{Rsd}
1	0.00	1.00, 0.800	0.0010050	0.000770	0.00	0.00	1000.00	265.28	--	--
2	0.35	1.00, 0.800	0.0010050	0.000770	0.00	-289.07	62.82	265.28	--	--
3	0.71	1.00, 0.800	0.0010050	0.000770	0.00	-289.07	16.71	265.28	--	--
4	1.06	1.00, 0.800	0.0010050	0.000770	0.00	-289.07	7.94	265.28	--	--
5	1.42	1.00, 0.800	0.0010050	0.000770	0.00	-289.07	4.80	265.28	--	--
6	1.77	1.00, 0.800	0.0010050	0.000770	0.00	-289.07	3.31	265.28	--	--
7	2.13	1.00, 0.800	0.0010050	0.000770	0.00	-289.07	2.50	265.28	--	--
8	2.48	1.00, 0.800	0.0025760	0.000770	0.00	-726.47	5.05	265.28	--	--
9	2.84	1.00, 0.800	0.0025760	0.000770	0.00	-726.47	4.26	265.28	--	--
10	3.19	1.00, 0.800	0.0025760	0.000770	0.00	-726.47	3.73	265.28	--	--
11	3.55	1.00, 0.800	0.0025760	0.000770	0.00	-726.47	3.37	265.28	--	--

COMBINAZIONE n° 2

Valore della spinta statica	262.7948	[kN]		
Componente orizzontale della spinta statica	220.6339	[kN]		
Componente verticale della spinta statica	142.7649	[kN]		
Punto d'applicazione della spinta	X = 3.55	[m]	Y = -3.77	[m]
Inclinaz. della spinta rispetto alla normale alla superficie	32.91	[°]		
Inclinazione linea di rottura in condizioni statiche	51.63	[°]		
Peso terrapieno gravante sulla fondazione a monte	420.9922	[kN]		
Baricentro terrapieno gravante sulla fondazione a monte	X = 1.84	[m]	Y = -2.78	[m]
Numero contrafforti	8			
Peso del singolo contrafforte	18.9000	[kN]		
Peso del contrafforte riferito ad un metro di muro	15.7500	[kN]		
Baricentro contrafforte	X = 0.36	[m]	Y = -3.68	[m]

Risultanti

Risultante dei carichi applicati in dir. orizzontale	220.6339	[kN]
Risultante dei carichi applicati in dir. verticale	692.0071	[kN]
Resistenza passiva a valle del muro	-34.4787	[kN]
Sforzo normale sul piano di posa della fondazione	692.0071	[kN]
Sforzo tangenziale sul piano di posa della fondazione	220.6339	[kN]
Eccentricità rispetto al baricentro della fondazione	0.38	[m]
Lunghezza fondazione reagente	4.20	[m]
Risultante in fondazione	726.3285	[kN]
Inclinazione della risultante (rispetto alla normale)	17.68	[°]
Momento rispetto al baricentro della fondazione	265.8154	[kNm]
Carico ultimo della fondazione	3772.1068	[kN]

Tensioni sul terreno

Lunghezza fondazione reagente	4.20	[m]
Tensione terreno allo spigolo di valle	0.25518	[MPa]
Tensione terreno allo spigolo di monte	0.07435	[MPa]

Fattori per il calcolo della capacità portante

Coeff. capacità portante	N _c = 75.31	N _q = 64.20	N _γ = 109.41
Fattori forma	s _c = 1.00	s _q = 1.00	s _γ = 1.00
Fattori inclinazione	i _c = 0.50	i _q = 0.52	i _γ = 0.36
Fattori profondità	d _c = 1.13	d _q = 1.09	d _γ = 1.00
Fattori inclinazione piano posa	b _c = 1.00	b _q = 1.00	b _γ = 1.00
Fattori inclinazione pendio	g _c = 1.00	g _q = 1.00	g _γ = 1.00
I coefficienti N' tengono conto dei fattori di forma, profondità, inclinazione carico, inclinazione piano di posa, inclinazione pendio.			
	N' _c = 47.61	N' _q = 38.84	N' _γ = 44.11

COEFFICIENTI DI SICUREZZA

Coefficiente di sicurezza a scorrimento	2.26
---	------

PV_D_SR_AP_MU_3_F_005-_001_N_001_R_A_0

Muro MU.3F.05.N – Relazione di Calcolo

Coefficiente di sicurezza a carico ultimo

5.45

Sollecitazioni fondazione di valleCombinazione n° 2

L'ascissa X(espressa in m) è considerata positiva verso monte con origine in corrispondenza dell'estremo libero della fondazione di valle

Momento positivo se tende le fibre inferiori, espresso in kNm

Taglio positivo se diretto verso l'alto, espresso in kN

Nr.	X	M	T
1	0.00	0.0000	0.0000
2	0.05	0.2781	11.1050
3	0.10	1.1087	22.1024
4	0.15	2.4865	32.9922
5	0.20	4.4061	43.7743
6	0.25	6.8622	54.4488
7	0.30	9.8492	65.0157
8	0.35	13.3619	75.4749
9	0.40	17.3949	85.8265
10	0.45	21.9428	96.0704
11	0.50	27.0002	106.2067

Sollecitazioni fondazione di monteCombinazione n° 2

L'ascissa X(espressa in m) è considerata positiva verso valle con origine in corrispondenza dell'estremo libero della fondazione di monte

Momento positivo se tende le fibre inferiori, espresso in kNm

Taglio positivo se diretto verso l'alto, espresso in kN

Nr.	X	M	T
1	0.00	0.0000	0.0000
2	0.35	-4.9354	-26.6609
3	0.71	-18.1169	-46.4570
4	1.06	-37.1075	-59.3882
5	1.42	-59.4702	-65.4545
6	1.77	-82.7678	-64.6559
7	2.13	-104.5635	-56.9925
8	2.48	-122.4642	-42.9279
9	2.84	-134.3996	-23.4095
10	3.19	-138.4429	1.5348
11	3.55	-132.6678	31.9050

Armature e tensioni nei materiali della fondazioneCombinazione n° 2

Simbologia adottata

B	base della sezione espressa in [m]
H	altezza della sezione espressa in [m]
A _{fi}	area di armatura in corrispondenza del lembo inferiore in [mq]
A _{fs}	area di armatura in corrispondenza del lembo superiore in [mq]
N _u	sfuerzo normale ultimo espresso in [kN]
M _u	momento ultimo espresso in [kNm]
CS	coefficiente sicurezza sezione
V _{Rcd}	Aliquota di taglio assorbito dal cls, espresso in [kN]
V _{Rsd}	Aliquota di taglio assorbito dall'armatura, espresso in [kN]
V _{Rd}	Resistenza al taglio, espresso in [kN]

Fondazione di valle

(L'ascissa X, espressa in [m], è positiva verso monte con origine in corrispondenza dell'estremo libero della fondazione di valle)

Nr.	Y	B, H	A _{fs}	A _{fi}	N _u	M _u	CS	V _{Rd}	V _{Rcd}	V _{Rsd}
-----	---	------	-----------------	-----------------	----------------	----------------	----	-----------------	------------------	------------------

PV_D_SR_AP_MU_3_F_005-_001_N_001_R_A_0

Muro MU.3F.05.N – Relazione di Calcolo

1	0.00	1.00, 0.800.0025760.000770	0.00	0.00	1000.00	265.28	--	--
2	0.05	1.00, 0.800.0025760.000770	0.00	221.65	797.07	249.62	--	--
3	0.10	1.00, 0.800.0025760.000770	0.00	221.65	199.91	249.62	--	--
4	0.15	1.00, 0.800.0025760.000770	0.00	221.65	89.14	249.62	--	--
5	0.20	1.00, 0.800.0025760.000770	0.00	221.65	50.30	249.62	--	--
6	0.25	1.00, 0.800.0025760.000770	0.00	221.65	32.30	249.62	--	--
7	0.30	1.00, 0.800.0025760.000770	0.00	221.65	22.50	249.62	--	--
8	0.35	1.00, 0.800.0025760.000770	0.00	221.65	16.59	249.62	--	--
9	0.40	1.00, 0.800.0025760.000770	0.00	221.65	12.74	249.62	--	--
10	0.45	1.00, 0.800.0025760.000770	0.00	221.65	10.10	249.62	--	--
11	0.50	1.00, 0.800.0025760.000770	0.00	221.65	8.21	249.62	--	--

Fondazione di monte

(L'ascissa X, espressa in [m], è positiva verso valle con origine in corrispondenza dell'estremo libero della fondazione di monte)

Nr.	Y	B, H	A _{fs}	A _{fi}	N _u	M _u	CS	V _{Rd}	V _{Rcd}	V _{Rsd}
1	0.00	1.00, 0.800.0010050.000770	0.00	0.00	1000.00	265.28	--	--		
2	0.35	1.00, 0.800.0010050.000770	0.00	-289.07	58.57	265.28	--	--		
3	0.71	1.00, 0.800.0010050.000770	0.00	-289.07	15.96	265.28	--	--		
4	1.06	1.00, 0.800.0010050.000770	0.00	-289.07	7.79	265.28	--	--		
5	1.42	1.00, 0.800.0010050.000770	0.00	-289.07	4.86	265.28	--	--		
6	1.77	1.00, 0.800.0010050.000770	0.00	-289.07	3.49	265.28	--	--		
7	2.13	1.00, 0.800.0010050.000770	0.00	-289.07	2.76	265.28	--	--		
8	2.48	1.00, 0.800.0025760.000770	0.00	-726.47	5.93	265.28	--	--		
9	2.84	1.00, 0.800.0025760.000770	0.00	-726.47	5.41	265.28	--	--		
10	3.19	1.00, 0.800.0025760.000770	0.00	-726.47	5.25	265.28	--	--		
11	3.55	1.00, 0.800.0025760.000770	0.00	-726.47	5.48	265.28	--	--		

COMBINAZIONE n° 3

Valore della spinta statica	290.2335	[kN]		
Componente orizzontale della spinta statica	243.6653	[kN]		
Componente verticale della spinta statica	157.6792	[kN]		
Punto d'applicazione della spinta	X = 3.55	[m]	Y = -3.77	[m]
Inclinaz. della spinta rispetto alla normale alla superficie	32.91	[°]		
Inclinazione linea di rottura in condizioni statiche	51.63	[°]		
Peso terrapieno gravante sulla fondazione a monte	378.8930	[kN]		
Baricentro terrapieno gravante sulla fondazione a monte	X = 1.84	[m]	Y = -2.78	[m]
Numero contrafforti	8			
Peso del singolo contrafforte	17.0100	[kN]		
Peso del contrafforte riferito ad un metro di muro	14.1750	[kN]		
Baricentro contrafforte	X = 0.36	[m]	Y = -3.68	[m]

Risultanti

Risultante dei carichi applicati in dir. orizzontale	243.6653	[kN]
Risultante dei carichi applicati in dir. verticale	651.9972	[kN]
Resistenza passiva a valle del muro	-31.0308	[kN]
Momento ribaltante rispetto allo spigolo a valle	738.1994	[kNm]
Momento stabilizzante rispetto allo spigolo a valle	1792.4198	[kNm]
Sforzo normale sul piano di posa della fondazione	651.9972	[kN]
Sforzo tangenziale sul piano di posa della fondazione	243.6653	[kN]
Eccentricità rispetto al baricentro della fondazione	0.48	[m]
Lunghezza fondazione reagente	4.20	[m]
Risultante in fondazione	696.0410	[kN]
Inclinazione della risultante (rispetto alla normale)	20.49	[°]
Momento rispetto al baricentro della fondazione	314.9736	[kNm]

COEFFICIENTI DI SICUREZZA

Coefficiente di sicurezza a ribaltamento	2.43
--	------

PV_D_SR_AP_MU_3_F_005-_001_N_001_R_A_0

Stabilità globale muro + terreno

Combinazione n° 4

Le ascisse X sono considerate positive verso monte

Le ordinate Y sono considerate positive verso l'alto

Origine in testa al muro (spigolo contro terra)

W peso della striscia espresso in [kN]

α angolo fra la base della striscia e l'orizzontale espresso in [°] (positivo antiorario)

ϕ angolo d'attrito del terreno lungo la base della striscia

c coesione del terreno lungo la base della striscia espressa in [MPa]

b larghezza della striscia espressa in [m]

u pressione neutra lungo la base della striscia espressa in [MPa]

Metodo di Bishop

Numero di cerchi analizzati 36

Numero di strisce 25

Cerchio critico

Coordinate del centro X[m]= -0.58 Y[m]= 5.23

Raggio del cerchio R[m]= 12.72

Ascissa a valle del cerchio Xi[m]= -7.58

Ascissa a monte del cerchio Xs[m]= 12.13

Larghezza della striscia dx[m]= 0.79

Coefficiente di sicurezza C= 1.74

Le strisce sono numerate da monte verso valle

Caratteristiche delle strisce

Striscia	W	$\alpha(^{\circ})$	$W\sin\alpha$	$b/\cos\alpha$	ϕ	c	u
1	3027.19	79.32	2974.78	4.26	29.26	0.000	0.000
2	7333.54	65.44	6669.87	1.90	31.42	0.008	0.000
3	9689.60	57.82	8201.11	1.48	33.87	0.016	0.000
4	11235.55	51.62	8807.59	1.27	33.87	0.016	0.000
5	12016.63	46.19	8671.54	1.14	33.87	0.016	0.000
6	12547.97	41.26	8274.68	1.05	33.87	0.016	0.000
7	12890.56	36.68	7699.63	0.98	33.87	0.016	0.000
8	13078.66	32.36	6999.70	0.93	33.87	0.016	0.000
9	13135.01	28.24	6214.32	0.90	33.87	0.016	0.000
10	13075.51	24.27	5374.49	0.87	33.87	0.016	0.000
11	12910.48	20.42	4505.32	0.84	33.87	0.016	0.000
12	12586.45	16.67	3611.11	0.82	33.87	0.016	0.000
13	12197.11	12.99	2742.48	0.81	33.87	0.016	0.000
14	11764.72	9.37	1915.20	0.80	33.87	0.016	0.000
15	11769.41	5.78	1185.64	0.79	33.87	0.016	0.000
16	8942.49	2.22	345.96	0.79	33.87	0.016	0.000
17	3413.33	-1.34	-79.75	0.79	33.87	0.016	0.000
18	3276.13	-4.90	-279.83	0.79	33.87	0.016	0.000
19	3127.21	-8.48	-461.16	0.80	33.87	0.016	0.000
20	2896.77	-12.09	-606.94	0.81	33.87	0.016	0.000
21	2581.94	-15.76	-701.20	0.82	33.87	0.016	0.000
22	2178.55	-19.49	-726.85	0.84	33.87	0.016	0.000
23	1680.87	-23.31	-665.13	0.86	33.87	0.016	0.000
24	1081.09	-27.24	-494.90	0.89	33.87	0.016	0.000
25	368.64	-31.32	-191.64	0.92	33.87	0.016	0.000

$\Sigma W_i = 1949.6461$ [kN]

$\Sigma W_i \sin\alpha_i = 784.4072$ [kN]

$\Sigma W_i \tan\phi_i = 1301.1128$ [kN]

$\Sigma \tan\alpha_i \tan\phi_i = 8.12$

COMBINAZIONE n° 5

PV_D_SR_AP_MU_3_F_005-_001_N_001_R_A_0

Muro MU.3F.05.N – Relazione di Calcolo

Peso muro favorevole e Peso terrapieno favorevole

Valore della spinta statica	264.5593	[kN]		
Componente orizzontale della spinta statica	204.9797	[kN]		
Componente verticale della spinta statica	167.2572	[kN]		
Punto d'applicazione della spinta	X = 3.55	[m]	Y = -3.91	[m]
Inclinaz. della spinta rispetto alla normale alla superficie	39.21	[°]		
Inclinazione linea di rottura in condizioni statiche	55.07	[°]		

Peso terrapieno gravante sulla fondazione a monte	420.9922	[kN]		
Baricentro terrapieno gravante sulla fondazione a monte	X = 1.84	[m]	Y = -2.78	[m]
Numero contrafforti	8			
Peso del singolo contrafforte	18.9000	[kN]		
Peso del contrafforte riferito ad un metro di muro	15.7500	[kN]		
Baricentro contrafforte	X = 0.36	[m]	Y = -3.68	[m]

Risultanti carichi esterni

Componente dir. X	4.50	[kN]		
-------------------	------	------	--	--

Risultanti

Risultante dei carichi applicati in dir. orizzontale	209.4797	[kN]		
Risultante dei carichi applicati in dir. verticale	716.4994	[kN]		
Resistenza passiva a valle del muro	-45.0693	[kN]		
Sforzo normale sul piano di posa della fondazione	716.4994	[kN]		
Sforzo tangenziale sul piano di posa della fondazione	209.4797	[kN]		
Eccentricità rispetto al baricentro della fondazione	0.25	[m]		
Lunghezza fondazione reagente	4.20	[m]		
Risultante in fondazione	746.4939	[kN]		
Inclinazione della risultante (rispetto alla normale)	16.30	[°]		
Momento rispetto al baricentro della fondazione	178.3222	[kNm]		
Carico ultimo della fondazione	11011.0359	[kN]		

Tensioni sul terreno

Lunghezza fondazione reagente	4.20	[m]		
Tensione terreno allo spigolo di valle	0.23125	[MPa]		
Tensione terreno allo spigolo di monte	0.10994	[MPa]		

Fattori per il calcolo della capacità portante

Coeff. capacità portante	$N_c = 75.31$	$N_q = 64.20$	$N_\gamma = 109.41$
Fattori forma	$s_c = 1.00$	$s_q = 1.00$	$s_\gamma = 1.00$
Fattori inclinazione	$i_c = 0.55$	$i_q = 0.56$	$i_\gamma = 0.39$
Fattori profondità	$d_c = 1.13$	$d_q = 1.07$	$d_\gamma = 1.00$
Fattori inclinazione piano posa	$b_c = 1.00$	$b_q = 1.00$	$b_\gamma = 1.00$
Fattori inclinazione pendio	$g_c = 1.00$	$g_q = 1.00$	$g_\gamma = 1.00$

I coefficienti N' tengono conto dei fattori di forma, profondità, inclinazione carico, inclinazione piano di posa, inclinazione pendio.

$$N'_c = 47.61 \qquad N'_q = 38.84 \qquad N'_\gamma = 44.11$$

COEFFICIENTI DI SICUREZZA

Coefficiente di sicurezza a scorrimento	3.09
Coefficiente di sicurezza a carico ultimo	15.37

Sollecitazioni fondazione di valleCombinazione n° 5

L'ascissa X(espressa in m) è considerata positiva verso monte con origine in corrispondenza dell'estremo libero della fondazione di valle

Momento positivo se tende le fibre inferiori, espresso in kNm
Taglio positivo se diretto verso l'alto, espresso in kN

Nr.	X	M	T
-----	---	---	---

PV_D_SR_AP_MU_3_F_005-_001_N_001_R_A_0			
--	--	--	--

Muro MU.3F.05.N – Relazione di Calcolo

1	0.00	0.0000	0.0000
2	0.05	0.2440	9.7463
3	0.10	0.9734	19.4205
4	0.15	2.1848	29.0224
5	0.20	3.8745	38.5521
6	0.25	6.0388	48.0096
7	0.30	8.6742	57.3949
8	0.35	11.7771	66.7080
9	0.40	15.3438	75.9489
10	0.45	19.3708	85.1176
11	0.50	23.8544	94.2141

Sollecitazioni fondazione di monteCombinazione n° 5

L'ascissa X(espressa in m) è considerata positiva verso valle con origine in corrispondenza dell'estremo libero della fondazione di monte

Momento positivo se tende le fibre inferiori, espresso in kNm

Taglio positivo se diretto verso l'alto, espresso in kN

Nr.	X	M	T
1	0.00	0.0000	0.0000
2	0.35	-5.4027	-29.5195
3	0.71	-20.3067	-53.5283
4	1.06	-42.7558	-72.0266
5	1.42	-70.7935	-85.0142
6	1.77	-102.4637	-92.4911
7	2.13	-135.8101	-94.4574
8	2.48	-168.9337	-91.5160
9	2.84	-200.3549	-84.8982
10	3.19	-228.7807	-74.6405
11	3.55	-252.9189	-60.7428

Armature e tensioni nei materiali della fondazioneCombinazione n° 5

Simbologia adottata

B	base della sezione espressa in [m]
H	altezza della sezione espressa in [m]
A _{fi}	area di armatura in corrispondenza del lembo inferiore in [mq]
A _{fs}	area di armatura in corrispondenza del lembo superiore in [mq]
N _u	sfuerzo normale ultimo espresso in [kN]
M _u	momento ultimo espresso in [kNm]
CS	coefficiente sicurezza sezione
V _{Rcd}	Aliquota di taglio assorbito dal cls, espresso in [kN]
V _{Rsd}	Aliquota di taglio assorbito dall'armatura, espresso in [kN]
VRd	Resistenza al taglio, espresso in [kN]

Fondazione di valle

(L'ascissa X, espressa in [m], è positiva verso monte con origine in corrispondenza dell'estremo libero della fondazione di valle)

Nr.	Y	B, H	A _{fs}	A _{fi}	N _u	M _u	CS	V _{Rd}	V _{Rcd}	V _{Rsd}
1	0.00	1.00, 0.800	0.0025760	0.000770	0.00	0.00	1000.00	265.28	--	--
2	0.05	1.00, 0.800	0.0025760	0.000770	0.00	221.65	908.54	249.62	--	--
3	0.10	1.00, 0.800	0.0025760	0.000770	0.00	221.65	227.70	249.62	--	--
4	0.15	1.00, 0.800	0.0025760	0.000770	0.00	221.65	101.45	249.62	--	--
5	0.20	1.00, 0.800	0.0025760	0.000770	0.00	221.65	57.21	249.62	--	--
6	0.25	1.00, 0.800	0.0025760	0.000770	0.00	221.65	36.70	249.62	--	--
7	0.30	1.00, 0.800	0.0025760	0.000770	0.00	221.65	25.55	249.62	--	--
8	0.35	1.00, 0.800	0.0025760	0.000770	0.00	221.65	18.82	249.62	--	--
9	0.40	1.00, 0.800	0.0025760	0.000770	0.00	221.65	14.45	249.62	--	--
10	0.45	1.00, 0.800	0.0025760	0.000770	0.00	221.65	11.44	249.62	--	--
11	0.50	1.00, 0.800	0.0025760	0.000770	0.00	221.65	9.29	249.62	--	--

PV_D_SR_AP_MU_3_F_005-001_N_001_R_A_0

Muro MU.3F.05.N – Relazione di Calcolo

Fondazione di monte

(L'ascissa X, espressa in [m], è positiva verso valle con origine in corrispondenza dell'estremo libero della fondazione di monte)

Nr.	Y	B, H	A _{fs}	A _{fi}	N _u	M _u	CS	V _{Rd}	V _{Rcd}	V _{Rsd}
1	0.00	1.00, 0.800	0.0010050	0.000770	0.00	0.00	1000.00	265.28	--	--
2	0.35	1.00, 0.800	0.0010050	0.000770	0.00	-289.07	53.50	265.28	--	--
3	0.71	1.00, 0.800	0.0010050	0.000770	0.00	-289.07	14.23	265.28	--	--
4	1.06	1.00, 0.800	0.0010050	0.000770	0.00	-289.07	6.76	265.28	--	--
5	1.42	1.00, 0.800	0.0010050	0.000770	0.00	-289.07	4.08	265.28	--	--
6	1.77	1.00, 0.800	0.0010050	0.000770	0.00	-289.07	2.82	265.28	--	--
7	2.13	1.00, 0.800	0.0010050	0.000770	0.00	-289.07	2.13	265.28	--	--
8	2.48	1.00, 0.800	0.0025760	0.000770	0.00	-726.47	4.30	265.28	--	--
9	2.84	1.00, 0.800	0.0025760	0.000770	0.00	-726.47	3.63	265.28	--	--
10	3.19	1.00, 0.800	0.0025760	0.000770	0.00	-726.47	3.18	265.28	--	--
11	3.55	1.00, 0.800	0.0025760	0.000770	0.00	-726.47	2.87	265.28	--	--

COMBINAZIONE n° 6

Valore della spinta statica	262.7948	[kN]		
Componente orizzontale della spinta statica	220.6339	[kN]		
Componente verticale della spinta statica	142.7649	[kN]		
Punto d'applicazione della spinta	X = 3.55	[m]	Y = -3.77	[m]
Inclinaz. della spinta rispetto alla normale alla superficie	32.91	[°]		
Inclinazione linea di rottura in condizioni statiche	51.63	[°]		

Peso terrapieno gravante sulla fondazione a monte	420.9922	[kN]		
Baricentro terrapieno gravante sulla fondazione a monte	X = 1.84	[m]	Y = -2.78	[m]
Numero contrafforti	8			
Peso del singolo contrafforte	18.9000	[kN]		
Peso del contrafforte riferito ad un metro di muro	15.7500	[kN]		
Baricentro contrafforte	X = 0.36	[m]	Y = -3.68	[m]

Risultanti carichi esterni

Componente dir. X	3.90	[kN]		
-------------------	------	------	--	--

Risultanti

Risultante dei carichi applicati in dir. orizzontale	224.5339	[kN]		
Risultante dei carichi applicati in dir. verticale	692.0071	[kN]		
Resistenza passiva a valle del muro	-34.4787	[kN]		
Sforzo normale sul piano di posa della fondazione	692.0071	[kN]		
Sforzo tangenziale sul piano di posa della fondazione	224.5339	[kN]		
Eccentricità rispetto al baricentro della fondazione	0.43	[m]		
Lunghezza fondazione reagente	4.20	[m]		
Risultante in fondazione	727.5227	[kN]		
Inclinazione della risultante (rispetto alla normale)	17.98	[°]		
Momento rispetto al baricentro della fondazione	300.1354	[kNm]		
Carico ultimo della fondazione	3595.3813	[kN]		

Tensioni sul terreno

Lunghezza fondazione reagente	4.20	[m]		
Tensione terreno allo spigolo di valle	0.26685	[MPa]		
Tensione terreno allo spigolo di monte	0.06268	[MPa]		

Fattori per il calcolo della capacità portante

Coeff. capacità portante	N _c = 75.31	N _q = 64.20	N _y = 109.41
Fattori forma	s _c = 1.00	s _q = 1.00	s _y = 1.00
Fattori inclinazione	i _c = 0.50	i _q = 0.51	i _y = 0.35
Fattori profondità	d _c = 1.13	d _q = 1.09	d _y = 1.00
Fattori inclinazione piano posa	b _c = 1.00	b _q = 1.00	b _y = 1.00

PV_D_SR_AP_MU_3_F_005-_001_N_001_R_A_0

Muro MU.3F.05.N – Relazione di Calcolo**Fattori inclinazione pendio** $g_c = 1.00$ $g_q = 1.00$ $g_\gamma = 1.00$

I coefficienti N' tengono conto dei fattori di forma, profondità, inclinazione carico, inclinazione piano di posa, inclinazione pendio.

 $N'_c = 47.61$ $N'_q = 38.84$ $N'_\gamma = 44.11$ **COEFFICIENTI DI SICUREZZA**

Coefficiente di sicurezza a scorrimento

2.22

Coefficiente di sicurezza a carico ultimo

5.20

Sollecitazioni fondazione di valle**Combinazione n° 6**

L'ascissa X(espressa in m) è considerata positiva verso monte con origine in corrispondenza dell'estremo libero della fondazione di valle

Momento positivo se tende le fibre inferiori, espresso in kNm

Taglio positivo se diretto verso l'alto, espresso in kN

Nr.	X	M	T
1	0.00	0.0000	0.0000
2	0.05	0.2926	11.6818
3	0.10	1.1662	23.2420
4	0.15	2.6147	34.6807
5	0.20	4.6322	45.9978
6	0.25	7.2125	57.1935
7	0.30	10.3495	68.2676
8	0.35	14.0372	79.2201
9	0.40	18.2695	90.0512
10	0.45	23.0403	100.7607
11	0.50	28.3435	111.3486

Sollecitazioni fondazione di monte**Combinazione n° 6**

L'ascissa X(espressa in m) è considerata positiva verso valle con origine in corrispondenza dell'estremo libero della fondazione di monte

Momento positivo se tende le fibre inferiori, espresso in kNm

Taglio positivo se diretto verso l'alto, espresso in kN

Nr.	X	M	T
1	0.00	0.0000	0.0000
2	0.35	-5.6295	-30.4547
3	0.71	-20.7276	-53.3440
4	1.06	-42.6085	-68.6679
5	1.42	-68.5866	-76.4264
6	1.77	-95.9761	-76.6195
7	2.13	-122.0912	-69.2471
8	2.48	-144.2903	-54.7731
9	2.84	-160.2545	-34.1446
10	3.19	-167.8081	-7.3898
11	3.55	-164.7763	25.4915

Armature e tensioni nei materiali della fondazione**Combinazione n° 6**

Simbologia adottata

B	base della sezione espressa in [m]
H	altezza della sezione espressa in [m]
A_{fi}	area di armatura in corrispondenza del lembo inferiore in [mq]
A_{fs}	area di armatura in corrispondenza del lembo superiore in [mq]
N_u	sforzo normale ultimo espresso in [kN]
M_u	momento ultimo espresso in [kNm]
CS	coefficiente sicurezza sezione
VRcd	Aliquota di taglio assorbito dal cls, espresso in [kN]

PV_D_SR_AP_MU_3_F_005-_001_N_001_R_A_0

Muro MU.3F.05.N – Relazione di Calcolo

VRsd Aliquota di taglio assorbito dall'armatura, espresso in [kN]
 VRd Resistenza al taglio, espresso in [kN]

Fondazione di valle

(L'ascissa X, espressa in [m], è positiva verso monte con origine in corrispondenza dell'estremo libero della fondazione di valle)

Nr.	Y	B, H	A _{fs}	A _{fi}	N _u	M _u	CS	V _{Rd}	V _{Rcd}	V _{Rsd}
1	0.00	1.00, 0.800	0.0025760	0.000770	0.00	0.00	1000.00	265.28	--	--
2	0.05	1.00, 0.800	0.0025760	0.000770	0.00	221.65	757.63	249.62	--	--
3	0.10	1.00, 0.800	0.0025760	0.000770	0.00	221.65	190.07	249.62	--	--
4	0.15	1.00, 0.800	0.0025760	0.000770	0.00	221.65	84.77	249.62	--	--
5	0.20	1.00, 0.800	0.0025760	0.000770	0.00	221.65	47.85	249.62	--	--
6	0.25	1.00, 0.800	0.0025760	0.000770	0.00	221.65	30.73	249.62	--	--
7	0.30	1.00, 0.800	0.0025760	0.000770	0.00	221.65	21.42	249.62	--	--
8	0.35	1.00, 0.800	0.0025760	0.000770	0.00	221.65	15.79	249.62	--	--
9	0.40	1.00, 0.800	0.0025760	0.000770	0.00	221.65	12.13	249.62	--	--
10	0.45	1.00, 0.800	0.0025760	0.000770	0.00	221.65	9.62	249.62	--	--
11	0.50	1.00, 0.800	0.0025760	0.000770	0.00	221.65	7.82	249.62	--	--

Fondazione di monte

(L'ascissa X, espressa in [m], è positiva verso valle con origine in corrispondenza dell'estremo libero della fondazione di monte)

Nr.	Y	B, H	A _{fs}	A _{fi}	N _u	M _u	CS	V _{Rd}	V _{Rcd}	V _{Rsd}
1	0.00	1.00, 0.800	0.0010050	0.000770	0.00	0.00	1000.00	265.28	--	--
2	0.35	1.00, 0.800	0.0010050	0.000770	0.00	-289.07	51.35	265.28	--	--
3	0.71	1.00, 0.800	0.0010050	0.000770	0.00	-289.07	13.95	265.28	--	--
4	1.06	1.00, 0.800	0.0010050	0.000770	0.00	-289.07	6.78	265.28	--	--
5	1.42	1.00, 0.800	0.0010050	0.000770	0.00	-289.07	4.21	265.28	--	--
6	1.77	1.00, 0.800	0.0010050	0.000770	0.00	-289.07	3.01	265.28	--	--
7	2.13	1.00, 0.800	0.0010050	0.000770	0.00	-289.07	2.37	265.28	--	--
8	2.48	1.00, 0.800	0.0025760	0.000770	0.00	-726.47	5.03	265.28	--	--
9	2.84	1.00, 0.800	0.0025760	0.000770	0.00	-726.47	4.53	265.28	--	--
10	3.19	1.00, 0.800	0.0025760	0.000770	0.00	-726.47	4.33	265.28	--	--
11	3.55	1.00, 0.800	0.0025760	0.000770	0.00	-726.47	4.41	265.28	--	--

COMBINAZIONE n° 7

Valore della spinta statica	290.2335	[kN]		
Componente orizzontale della spinta statica	243.6653	[kN]		
Componente verticale della spinta statica	157.6792	[kN]		
Punto d'applicazione della spinta	X = 3.55	[m]	Y = -3.77	[m]
Inclinaz. della spinta rispetto alla normale alla superficie	32.91	[°]		
Inclinazione linea di rottura in condizioni statiche	51.63	[°]		

Peso terrapieno gravante sulla fondazione a monte	378.8930	[kN]		
Baricentro terrapieno gravante sulla fondazione a monte	X = 1.84	[m]	Y = -2.78	[m]
Numero contrafforti	8			
Peso del singolo contrafforte	17.0100	[kN]		
Peso del contrafforte riferito ad un metro di muro	14.1750	[kN]		
Baricentro contrafforte	X = 0.36	[m]	Y = -3.68	[m]

Risultanti carichi esterni

Componente dir. X	4.50	[kN]		
-------------------	------	------	--	--

Risultanti

Risultante dei carichi applicati in dir. orizzontale	248.1653	[kN]		
Risultante dei carichi applicati in dir. verticale	651.9972	[kN]		
Resistenza passiva a valle del muro	-31.0308	[kN]		
Momento ribaltante rispetto allo spigolo a valle	777.7994	[kNm]		
Momento stabilizzante rispetto allo spigolo a valle	1792.4198	[kNm]		

PV_D_SR_AP_MU_3_F_005-_001_N_001_R_A_0

Muro MU.3F.05.N – Relazione di Calcolo

Sforzo normale sul piano di posa della fondazione	651.9972	[kN]
Sforzo tangenziale sul piano di posa della fondazione	248.1653	[kN]
Eccentricità rispetto al baricentro della fondazione	0.54	[m]
Lunghezza fondazione reagente	4.20	[m]
Risultante in fondazione	697.6291	[kN]
Inclinazione della risultante (rispetto alla normale)	20.84	[°]
Momento rispetto al baricentro della fondazione	354.5736	[kNm]

COEFFICIENTI DI SICUREZZA

Coefficiente di sicurezza a ribaltamento	2.30
--	------

Stabilità globale muro + terrenoCombinazione n° 8

Le ascisse X sono considerate positive verso monte

Le ordinate Y sono considerate positive verso l'alto

Origine in testa al muro (spigolo contro terra)

W peso della striscia espresso in [kN]

 α angolo fra la base della striscia e l'orizzontale espresso in [°] (positivo antiorario) ϕ angolo d'attrito del terreno lungo la base della striscia

c coesione del terreno lungo la base della striscia espressa in [MPa]

b larghezza della striscia espressa in [m]

u pressione neutra lungo la base della striscia espressa in [MPa]

Metodo di Bishop

Numero di cerchi analizzati 36

Numero di strisce 25

Cerchio critico

Coordinate del centro X[m]= -0.58 Y[m]= 5.23

Raggio del cerchio R[m]= 12.72

Ascissa a valle del cerchio Xi[m]= -7.58

Ascissa a monte del cerchio Xs[m]= 12.13

Larghezza della striscia dx[m]= 0.79

Coefficiente di sicurezza C= 1.74

Le strisce sono numerate da monte verso valle

Caratteristiche delle strisce

Striscia	W	$\alpha(^{\circ})$	$W\sin\alpha$	$b/\cos\alpha$	ϕ	c	u
1	3027.19	79.32	2974.78	4.26	29.26	0.000	0.000
2	7333.54	65.44	6669.87	1.90	31.42	0.008	0.000
3	9689.60	57.82	8201.11	1.48	33.87	0.016	0.000
4	11235.55	51.62	8807.59	1.27	33.87	0.016	0.000
5	12016.63	46.19	8671.54	1.14	33.87	0.016	0.000
6	12547.97	41.26	8274.68	1.05	33.87	0.016	0.000
7	12890.56	36.68	7699.63	0.98	33.87	0.016	0.000
8	13078.66	32.36	6999.70	0.93	33.87	0.016	0.000
9	13135.01	28.24	6214.32	0.90	33.87	0.016	0.000
10	13075.51	24.27	5374.49	0.87	33.87	0.016	0.000
11	12910.48	20.42	4505.32	0.84	33.87	0.016	0.000
12	12586.45	16.67	3611.11	0.82	33.87	0.016	0.000
13	12197.11	12.99	2742.48	0.81	33.87	0.016	0.000
14	11764.72	9.37	1915.20	0.80	33.87	0.016	0.000
15	11769.41	5.78	1185.64	0.79	33.87	0.016	0.000
16	8942.49	2.22	345.96	0.79	33.87	0.016	0.000
17	3413.33	-1.34	-79.75	0.79	33.87	0.016	0.000
18	3276.13	-4.90	-279.83	0.79	33.87	0.016	0.000
19	3127.21	-8.48	-461.16	0.80	33.87	0.016	0.000
20	2896.77	-12.09	-606.94	0.81	33.87	0.016	0.000
21	2581.94	-15.76	-701.20	0.82	33.87	0.016	0.000
22	2178.55	-19.49	-726.85	0.84	33.87	0.016	0.000

PV_D_SR_AP_MU_3_F_005-_001_N_001_R_A_0

Muro MU.3F.05.N – Relazione di Calcolo

23	1680.87	-23.31	-665.13	0.86	33.87	0.016	0.000
24	1081.09	-27.24	-494.90	0.89	33.87	0.016	0.000
25	368.64	-31.32	-191.64	0.92	33.87	0.016	0.000

$\Sigma W_i = 1949.6461$ [kN]
 $\Sigma W_i \sin \alpha_i = 784.4072$ [kN]
 $\Sigma W_i \tan \phi_i = 1301.1128$ [kN]
 $\Sigma \tan \alpha_i \tan \phi_i = 8.12$

COMBINAZIONE n° 9

Valore della spinta statica	200.4120	[kN]		
Componente orizzontale della spinta statica	155.2886	[kN]		
Componente verticale della spinta statica	126.6903	[kN]		
Punto d'applicazione della spinta	X = 3.55	[m]	Y = -3.92	[m]
Inclinaz. della spinta rispetto alla normale alla superficie	39.21	[°]		
Inclinazione linea di rottura in condizioni statiche	55.13	[°]		
Incremento sismico della spinta	97.8534	[kN]		
Punto d'applicazione dell'incremento sismico di spinta	X = 3.55	[m]	Y = -3.92	[m]
Inclinazione linea di rottura in condizioni sismiche	50.26	[°]		
Peso terrapieno gravante sulla fondazione a monte	420.9922	[kN]		
Baricentro terrapieno gravante sulla fondazione a monte	X = 1.84	[m]	Y = -2.78	[m]
Numero contrafforti	8			
Peso del singolo contrafforte	18.9000	[kN]		
Peso del contrafforte riferito ad un metro di muro	15.7500	[kN]		
Baricentro contrafforte	X = 0.36	[m]	Y = -3.68	[m]
Inerzia del muro	11.7150	[kN]		
Inerzia verticale del muro	5.8575	[kN]		
Inerzia del terrapieno fondazione di monte	46.3090	[kN]		
Inerzia verticale del terrapieno fondazione di monte	23.1545	[kN]		
Inerzia del singolo contrafforte	2.0790	[kN]		
Inerzia del contrafforte riferita ad un metro di muro	1.7325	[kN]		
Inerzia verticale del singolo contrafforte	1.0395	[kN]		
Inerzia verticale del contrafforte riferita ad un metro di muro	0.8662	[kN]		

Risultanti

Risultante dei carichi applicati in dir. orizzontale	291.5264	[kN]
Risultante dei carichi applicati in dir. verticale	767.6687	[kN]
Resistenza passiva a valle del muro	-45.0693	[kN]
Sforzo normale sul piano di posa della fondazione	767.6687	[kN]
Sforzo tangenziale sul piano di posa della fondazione	291.5264	[kN]
Eccentricità rispetto al baricentro della fondazione	0.48	[m]
Lunghezza fondazione reagente	4.20	[m]
Risultante in fondazione	821.1595	[kN]
Inclinazione della risultante (rispetto alla normale)	20.79	[°]
Momento rispetto al baricentro della fondazione	366.2914	[kNm]
Carico ultimo della fondazione	7138.1090	[kN]

Tensioni sul terreno

Lunghezza fondazione reagente	4.20	[m]
Tensione terreno allo spigolo di valle	0.30737	[MPa]
Tensione terreno allo spigolo di monte	0.05819	[MPa]

Fattori per il calcolo della capacità portante

Coeff. capacità portante	$N_c = 75.31$	$N_q = 64.20$	$N_\gamma = 109.41$
Fattori forma	$s_c = 1.00$	$s_q = 1.00$	$s_\gamma = 1.00$
Fattori inclinazione	$i_c = 0.44$	$i_q = 0.44$	$i_\gamma = 0.28$
Fattori profondità	$d_c = 1.13$	$d_q = 1.07$	$d_\gamma = 1.00$

PV_D_SR_AP_MU_3_F_005-_001_N_001_R_A_0

Muro MU.3F.05.N – Relazione di Calcolo**Fattori inclinazione piano posa** $b_c = 1.00$ $b_q = 1.00$ $b_\gamma = 1.00$ **Fattori inclinazione pendio** $g_c = 1.00$ $g_q = 1.00$ $g_\gamma = 1.00$

I coefficienti N' tengono conto dei fattori di forma, profondità, inclinazione carico, inclinazione piano di posa, inclinazione pendio.

 $N'_c = 47.61$ $N'_q = 38.84$ $N'_\gamma = 44.11$ **COEFFICIENTI DI SICUREZZA**

Coefficiente di sicurezza a scorrimento

2.36

Coefficiente di sicurezza a carico ultimo

9.30

Sollecitazioni fondazione di valle**Combinazione n° 9**

L'ascissa X(espressa in m) è considerata positiva verso monte con origine in corrispondenza dell'estremo libero della fondazione di valle

Momento positivo se tende le fibre inferiori, espresso in kNm

Taglio positivo se diretto verso l'alto, espresso in kN

Nr.	X	M	T
1	0.00	0.0000	0.0000
2	0.05	0.3430	13.6942
3	0.10	1.3669	27.2401
4	0.15	3.0645	40.6376
5	0.20	5.4282	53.8869
6	0.25	8.4507	66.9878
7	0.30	12.1245	79.9404
8	0.35	16.4423	92.7447
9	0.40	21.3965	105.4006
10	0.45	26.9799	117.9083
11	0.50	33.1849	130.2676

Sollecitazioni fondazione di monte**Combinazione n° 9**

L'ascissa X(espressa in m) è considerata positiva verso valle con origine in corrispondenza dell'estremo libero della fondazione di monte

Momento positivo se tende le fibre inferiori, espresso in kNm

Taglio positivo se diretto verso l'alto, espresso in kN

Nr.	X	M	T
1	0.00	0.0000	0.0000
2	0.35	-5.8324	-31.3725
3	0.71	-21.2195	-53.8293
4	1.06	-42.9961	-67.3702
5	1.42	-67.9973	-71.9954
6	1.77	-93.0578	-67.7047
7	2.13	-115.0126	-54.4982
8	2.48	-130.7405	-32.8396
9	2.84	-137.4433	-3.6763
10	3.19	-132.4659	32.9639
11	3.55	-113.1542	77.0809

Armature e tensioni nei materiali della fondazione**Combinazione n° 9**

Simbologia adottata

B base della sezione espressa in [m]

H altezza della sezione espressa in [m]

 A_{fi} area di armatura in corrispondenza del lembo inferiore in [mq] A_{fs} area di armatura in corrispondenza del lembo superiore in [mq] N_u sforzo normale ultimo espresso in [kN] M_u momento ultimo espresso in [kNm]

CS coefficiente sicurezza sezione

PV_D_SR_AP_MU_3_F_005-_001_N_001_R_A_0

Muro MU.3F.05.N – Relazione di Calcolo

VRcd Aliquota di taglio assorbito dal cls, espresso in [kN]
 VRsd Aliquota di taglio assorbito dall'armatura, espresso in [kN]
 VRd Resistenza al taglio, espresso in [kN]

Fondazione di valle

(L'ascissa X, espressa in [m], è positiva verso monte con origine in corrispondenza dell'estremo libero della fondazione di valle)

Nr.	Y	B, H	A _{fs}	A _{fi}	N _u	M _u	CS	V _{Rd}	V _{Rcd}	V _{Rsd}
1	0.00	1.00, 0.800	0.0025760	0.000770	0.00	0.00	1000.00	265.28	--	--
2	0.05	1.00, 0.800	0.0025760	0.000770	0.00	221.65	646.25	249.62	--	--
3	0.10	1.00, 0.800	0.0025760	0.000770	0.00	221.65	162.15	249.62	--	--
4	0.15	1.00, 0.800	0.0025760	0.000770	0.00	221.65	72.33	249.62	--	--
5	0.20	1.00, 0.800	0.0025760	0.000770	0.00	221.65	40.83	249.62	--	--
6	0.25	1.00, 0.800	0.0025760	0.000770	0.00	221.65	26.23	249.62	--	--
7	0.30	1.00, 0.800	0.0025760	0.000770	0.00	221.65	18.28	249.62	--	--
8	0.35	1.00, 0.800	0.0025760	0.000770	0.00	221.65	13.48	249.62	--	--
9	0.40	1.00, 0.800	0.0025760	0.000770	0.00	221.65	10.36	249.62	--	--
10	0.45	1.00, 0.800	0.0025760	0.000770	0.00	221.65	8.22	249.62	--	--
11	0.50	1.00, 0.800	0.0025760	0.000770	0.00	221.65	6.68	249.62	--	--

Fondazione di monte

(L'ascissa X, espressa in [m], è positiva verso valle con origine in corrispondenza dell'estremo libero della fondazione di monte)

Nr.	Y	B, H	A _{fs}	A _{fi}	N _u	M _u	CS	V _{Rd}	V _{Rcd}	V _{Rsd}
1	0.00	1.00, 0.800	0.010050	0.000770	0.00	0.00	1000.00	265.28	--	--
2	0.35	1.00, 0.800	0.010050	0.000770	0.00	-289.07	49.56	265.28	--	--
3	0.71	1.00, 0.800	0.010050	0.000770	0.00	-289.07	13.62	265.28	--	--
4	1.06	1.00, 0.800	0.010050	0.000770	0.00	-289.07	6.72	265.28	--	--
5	1.42	1.00, 0.800	0.010050	0.000770	0.00	-289.07	4.25	265.28	--	--
6	1.77	1.00, 0.800	0.010050	0.000770	0.00	-289.07	3.11	265.28	--	--
7	2.13	1.00, 0.800	0.010050	0.000770	0.00	-289.07	2.51	265.28	--	--
8	2.48	1.00, 0.800	0.0025760	0.000770	0.00	-726.47	5.56	265.28	--	--
9	2.84	1.00, 0.800	0.0025760	0.000770	0.00	-726.47	5.29	265.28	--	--
10	3.19	1.00, 0.800	0.0025760	0.000770	0.00	-726.47	5.48	265.28	--	--
11	3.55	1.00, 0.800	0.0025760	0.000770	0.00	-726.47	6.42	265.28	--	--

COMBINAZIONE n° 10

Valore della spinta statica	200.4120	[kN]		
Componente orizzontale della spinta statica	155.2886	[kN]		
Componente verticale della spinta statica	126.6903	[kN]		
Punto d'applicazione della spinta	X = 3.55	[m]	Y = -3.92	[m]
Inclinaz. della spinta rispetto alla normale alla superficie	39.21	[°]		
Inclinazione linea di rottura in condizioni statiche	55.13	[°]		
Incremento sismico della spinta	75.5694	[kN]		
Punto d'applicazione dell'incremento sismico di spinta	X = 3.55	[m]	Y = -3.92	[m]
Inclinazione linea di rottura in condizioni sismiche	49.69	[°]		
Peso terrapieno gravante sulla fondazione a monte	420.9922	[kN]		
Baricentro terrapieno gravante sulla fondazione a monte	X = 1.84	[m]	Y = -2.78	[m]
Numero contrafforti	8			
Peso del singolo contrafforte	18.9000	[kN]		
Peso del contrafforte riferito ad un metro di muro	15.7500	[kN]		
Baricentro contrafforte	X = 0.36	[m]	Y = -3.68	[m]
Inerzia del muro	11.7150	[kN]		
Inerzia verticale del muro	-5.8575	[kN]		
Inerzia del terrapieno fondazione di monte	46.3090	[kN]		
Inerzia verticale del terrapieno fondazione di monte	-23.1545	[kN]		
Inerzia del singolo contrafforte	2.0790	[kN]		

PV_D_SR_AP_MU_3_F_005-_001_N_001_R_A_0

Muro MU.3F.05.N – Relazione di Calcolo

Inerzia del contrafforte riferita ad un metro di muro	1.7325	[kN]
Inerzia verticale del singolo contrafforte	-1.0395	[kN]
Inerzia verticale del contrafforte riferita ad un metro di muro	-0.8662	[kN]

Risultanti

Risultante dei carichi applicati in dir. orizzontale	274.2598	[kN]
Risultante dei carichi applicati in dir. verticale	693.8254	[kN]
Resistenza passiva a valle del muro	-45.0693	[kN]
Sforzo normale sul piano di posa della fondazione	693.8254	[kN]
Sforzo tangenziale sul piano di posa della fondazione	274.2598	[kN]
Eccentricità rispetto al baricentro della fondazione	0.52	[m]
Lunghezza fondazione reagente	4.20	[m]
Risultante in fondazione	746.0644	[kN]
Inclinazione della risultante (rispetto alla normale)	21.57	[°]
Momento rispetto al baricentro della fondazione	358.6358	[kNm]
Carico ultimo della fondazione	6573.5419	[kN]

Tensioni sul terreno

Lunghezza fondazione reagente	4.20	[m]
Tensione terreno allo spigolo di valle	0.28718	[MPa]
Tensione terreno allo spigolo di monte	0.04321	[MPa]

Fattori per il calcolo della capacità portante

Coeff. capacità portante	$N_c = 75.31$	$N_q = 64.20$	$N_\gamma = 109.41$
Fattori forma	$s_c = 1.00$	$s_q = 1.00$	$s_\gamma = 1.00$
Fattori inclinazione	$i_c = 0.42$	$i_q = 0.43$	$i_\gamma = 0.26$
Fattori profondità	$d_c = 1.13$	$d_q = 1.07$	$d_\gamma = 1.00$
Fattori inclinazione piano posa	$b_c = 1.00$	$b_q = 1.00$	$b_\gamma = 1.00$
Fattori inclinazione pendio	$g_c = 1.00$	$g_q = 1.00$	$g_\gamma = 1.00$
I coefficienti N' tengono conto dei fattori di forma, profondità, inclinazione carico, inclinazione piano di posa, inclinazione pendio.			
	$N'_c = 47.61$	$N'_q = 38.84$	$N'_\gamma = 44.11$

COEFFICIENTI DI SICUREZZA

Coefficiente di sicurezza a scorrimento	2.29
Coefficiente di sicurezza a carico ultimo	9.47

Sollecitazioni fondazione di valleCombinazione n° 10

L'ascissa X(espressa in m) è considerata positiva verso monte con origine in corrispondenza dell'estremo libero della fondazione di valle

Momento positivo se tende le fibre inferiori, espresso in kNm

Taglio positivo se diretto verso l'alto, espresso in kN

Nr.	X	M	T
1	0.00	0.0000	0.0000
2	0.05	0.3178	12.6865
3	0.10	1.2662	25.2277
4	0.15	2.8381	37.6237
5	0.20	5.0262	49.8745
6	0.25	7.8232	61.9801
7	0.30	11.2218	73.9405
8	0.35	15.2148	85.7556
9	0.40	19.7949	97.4255
10	0.45	24.9549	108.9502
11	0.50	30.6875	120.3297

Sollecitazioni fondazione di monteCombinazione n° 10

PV_D_SR_AP_MU_3_F_005-_001_N_001_R_A_0

Muro MU.3F.05.N – Relazione di Calcolo

L'ascissa X(espressa in m) è considerata positiva verso valle con origine in corrispondenza dell'estremo libero della fondazione di monte

Momento positivo se tende le fibre inferiori, espresso in kNm

Taglio positivo se diretto verso l'alto, espresso in kN

Nr.	X	M	T
1	0.00	0.0000	0.0000
2	0.35	-6.7854	-36.7678
3	0.71	-25.0686	-64.7761
4	1.06	-51.7399	-84.0248
5	1.42	-83.6896	-94.5140
6	1.77	-117.8083	-96.2436
7	2.13	-150.9861	-89.2137
8	2.48	-180.1575	-73.8880
9	2.84	-202.5797	-51.2138
10	3.19	-215.6531	-21.2190
11	3.55	-216.7789	16.0963

Armature e tensioni nei materiali della fondazioneCombinazione n° 10

Simbologia adottata

B	base della sezione espressa in [m]
H	altezza della sezione espressa in [m]
A _{fi}	area di armatura in corrispondenza del lembo inferiore in [mq]
A _{fs}	area di armatura in corrispondenza del lembo superiore in [mq]
N _u	sforzo normale ultimo espresso in [kN]
M _u	momento ultimo espresso in [kNm]
CS	coefficiente sicurezza sezione
V _{Rcd}	Aliquota di taglio assorbito dal cls, espresso in [kN]
V _{Rsd}	Aliquota di taglio assorbito dall'armatura, espresso in [kN]
VRd	Resistenza al taglio, espresso in [kN]

Fondazione di valle

(L'ascissa X, espressa in [m], è positiva verso monte con origine in corrispondenza dell'estremo libero della fondazione di valle)

Nr.	Y	B, H	A _{fs}	A _{fi}	N _u	M _u	CS	V _{Rd}	V _{Rcd}	V _{Rsd}
1	0.00	1.00, 0.800	0.0025760	0.000770	0.00	0.00	1000.00	265.28	--	--
2	0.05	1.00, 0.800	0.0025760	0.000770	0.00	221.65	697.51	249.62	--	--
3	0.10	1.00, 0.800	0.0025760	0.000770	0.00	221.65	175.04	249.62	--	--
4	0.15	1.00, 0.800	0.0025760	0.000770	0.00	221.65	78.10	249.62	--	--
5	0.20	1.00, 0.800	0.0025760	0.000770	0.00	221.65	44.10	249.62	--	--
6	0.25	1.00, 0.800	0.0025760	0.000770	0.00	221.65	28.33	249.62	--	--
7	0.30	1.00, 0.800	0.0025760	0.000770	0.00	221.65	19.75	249.62	--	--
8	0.35	1.00, 0.800	0.0025760	0.000770	0.00	221.65	14.57	249.62	--	--
9	0.40	1.00, 0.800	0.0025760	0.000770	0.00	221.65	11.20	249.62	--	--
10	0.45	1.00, 0.800	0.0025760	0.000770	0.00	221.65	8.88	249.62	--	--
11	0.50	1.00, 0.800	0.0025760	0.000770	0.00	221.65	7.22	249.62	--	--

Fondazione di monte

(L'ascissa X, espressa in [m], è positiva verso valle con origine in corrispondenza dell'estremo libero della fondazione di monte)

Nr.	Y	B, H	A _{fs}	A _{fi}	N _u	M _u	CS	V _{Rd}	V _{Rcd}	V _{Rsd}
1	0.00	1.00, 0.800	0.0010050	0.000770	0.00	0.00	1000.00	265.28	--	--
2	0.35	1.00, 0.800	0.0010050	0.000770	0.00	-289.07	42.60	265.28	--	--
3	0.71	1.00, 0.800	0.0010050	0.000770	0.00	-289.07	11.53	265.28	--	--
4	1.06	1.00, 0.800	0.0010050	0.000770	0.00	-289.07	5.59	265.28	--	--
5	1.42	1.00, 0.800	0.0010050	0.000770	0.00	-289.07	3.45	265.28	--	--
6	1.77	1.00, 0.800	0.0010050	0.000770	0.00	-289.07	2.45	265.28	--	--
7	2.13	1.00, 0.800	0.0010050	0.000770	0.00	-289.07	1.91	265.28	--	--
8	2.48	1.00, 0.800	0.0025760	0.000770	0.00	-726.47	4.03	265.28	--	--
9	2.84	1.00, 0.800	0.0025760	0.000770	0.00	-726.47	3.59	265.28	--	--

Muro MU.3F.05.N – Relazione di Calcolo

10	3.19	1.00, 0.800.0025760.000770	0.00	-726.47	3.37	265.28	--	--
11	3.55	1.00, 0.800.0025760.000770	0.00	-726.47	3.35	265.28	--	--

COMBINAZIONE n° 11

Valore della spinta statica	262.7948	[kN]						
Componente orizzontale della spinta statica	220.6339	[kN]						
Componente verticale della spinta statica	142.7649	[kN]						
Punto d'applicazione della spinta	X = 3.55	[m]				Y = -3.77	[m]	
Inclinaz. della spinta rispetto alla normale alla superficie	32.91	[°]						
Inclinazione linea di rottura in condizioni statiche	51.63	[°]						

Incremento sismico della spinta	110.3286	[kN]						
Punto d'applicazione dell'incremento sismico di spinta	X = 3.55	[m]				Y = -3.77	[m]	
Inclinazione linea di rottura in condizioni sismiche	46.44	[°]						

Peso terrapieno gravante sulla fondazione a monte	420.9922	[kN]						
Baricentro terrapieno gravante sulla fondazione a monte	X = 1.84	[m]				Y = -2.78	[m]	
Numero contrafforti	8							
Peso del singolo contrafforte	18.9000	[kN]						
Peso del contrafforte riferito ad un metro di muro	15.7500	[kN]						
Baricentro contrafforte	X = 0.36	[m]				Y = -3.68	[m]	
Inerzia del muro	11.7150	[kN]						
Inerzia verticale del muro	5.8575	[kN]						
Inerzia del terrapieno fondazione di monte	46.3090	[kN]						
Inerzia verticale del terrapieno fondazione di monte	23.1545	[kN]						
Inerzia del singolo contrafforte	2.0790	[kN]						
Inerzia del contrafforte riferita ad un metro di muro	1.7325	[kN]						
Inerzia verticale del singolo contrafforte	1.0395	[kN]						
Inerzia verticale del contrafforte riferita ad un metro di muro	0.8662	[kN]						

Risultanti

Risultante dei carichi applicati in dir. orizzontale	373.6786	[kN]						
Risultante dei carichi applicati in dir. verticale	781.8220	[kN]						
Resistenza passiva a valle del muro	-34.4787	[kN]						
Sforzo normale sul piano di posa della fondazione	781.8220	[kN]						
Sforzo tangenziale sul piano di posa della fondazione	373.6786	[kN]						
Eccentricità rispetto al baricentro della fondazione	0.79	[m]						
Lunghezza fondazione reagente	3.92	[m]						
Risultante in fondazione	866.5341	[kN]						
Inclinazione della risultante (rispetto alla normale)	25.55	[°]						
Momento rispetto al baricentro della fondazione	619.5215	[kNm]						
Carico ultimo della fondazione	1594.5092	[kN]						

Tensioni sul terreno

Lunghezza fondazione reagente	3.92	[m]						
Tensione terreno allo spigolo di valle	0.39861	[MPa]						
Tensione terreno allo spigolo di monte	0.00000	[MPa]						

Fattori per il calcolo della capacità portante

Coeff. capacità portante	$N_c = 75.31$	$N_q = 64.20$	$N_\gamma = 109.41$
Fattori forma	$s_c = 1.00$	$s_q = 1.00$	$s_\gamma = 1.00$
Fattori inclinazione	$i_c = 0.31$	$i_q = 0.33$	$i_\gamma = 0.17$
Fattori profondità	$d_c = 1.13$	$d_q = 1.09$	$d_\gamma = 1.00$
Fattori inclinazione piano posa	$b_c = 1.00$	$b_q = 1.00$	$b_\gamma = 1.00$
Fattori inclinazione pendio	$g_c = 1.00$	$g_q = 1.00$	$g_\gamma = 1.00$

I coefficienti N' tengono conto dei fattori di forma, profondità, inclinazione carico, inclinazione piano di posa, inclinazione pendio.

$$N'_c = 47.61 \quad N'_q = 38.84 \quad N'_\gamma = 44.11$$

Muro MU.3F.05.N – Relazione di Calcolo**COEFFICIENTI DI SICUREZZA**

Coefficiente di sicurezza a scorrimento	1.50
Coefficiente di sicurezza a carico ultimo	2.04

Sollecitazioni fondazione di valleCombinazione n° 11

L'ascissa X(espressa in m) è considerata positiva verso monte con origine in corrispondenza dell'estremo libero della fondazione di valle

Momento positivo se tende le fibre inferiori, espresso in kNm

Taglio positivo se diretto verso l'alto, espresso in kN

Nr.	X	M	T
1	0.00	0.0000	0.0000
2	0.05	0.4561	18.2033
3	0.10	1.8161	36.1526
4	0.15	4.0672	53.8478
5	0.20	7.1966	71.2890
6	0.25	11.1918	88.4762
7	0.30	16.0400	105.4093
8	0.35	21.7285	122.0884
9	0.40	28.2446	138.5135
10	0.45	35.5756	154.6845
11	0.50	43.7088	170.6015

Sollecitazioni fondazione di monteCombinazione n° 11

L'ascissa X(espressa in m) è considerata positiva verso valle con origine in corrispondenza dell'estremo libero della fondazione di monte

Momento positivo se tende le fibre inferiori, espresso in kNm

Taglio positivo se diretto verso l'alto, espresso in kN

Nr.	X	M	T
1	0.00	0.0000	0.0000
2	0.35	-9.9335	-55.4608
3	0.71	-38.0524	-100.5815
4	1.06	-79.6606	-131.4573
5	1.42	-129.7014	-148.0883
6	1.77	-183.1177	-150.4745
7	2.13	-234.8527	-138.6159
8	2.48	-279.8934	-112.9763
9	2.84	-313.5498	-74.5028
10	3.19	-331.2751	-23.2236
11	3.55	-328.5232	40.8615

Armature e tensioni nei materiali della fondazioneCombinazione n° 11

Simbologia adottata

B	base della sezione espressa in [m]
H	altezza della sezione espressa in [m]
A _{fi}	area di armatura in corrispondenza del lembo inferiore in [mq]
A _{fs}	area di armatura in corrispondenza del lembo superiore in [mq]
N _u	sforzo normale ultimo espresso in [kN]
M _u	momento ultimo espresso in [kNm]
CS	coefficiente sicurezza sezione
VR _{cd}	Aliquota di taglio assorbito dal cls, espresso in [kN]
VR _{sd}	Aliquota di taglio assorbito dall'armatura, espresso in [kN]
VR _d	Resistenza al taglio, espresso in [kN]

Fondazione di valle

(L'ascissa X, espressa in [m], è positiva verso monte con origine in corrispondenza dell'estremo libero della fondazione di valle)

PV_D_SR_AP_MU_3_F_005-_001_N_001_R_A_0

Muro MU.3F.05.N – Relazione di Calcolo

Nr.	Y	B, H	A _{fs}	A _{fi}	N _u	M _u	CS	V _{Rd}	V _{Rcd}	V _{Rsd}
1	0.00	1.00, 0.800	0.0025760	0.000770	0.00	0.00	1000.00	265.28	--	--
2	0.05	1.00, 0.800	0.0025760	0.000770	0.00	221.65	485.92	249.62	--	--
3	0.10	1.00, 0.800	0.0025760	0.000770	0.00	221.65	122.05	249.62	--	--
4	0.15	1.00, 0.800	0.0025760	0.000770	0.00	221.65	54.50	249.62	--	--
5	0.20	1.00, 0.800	0.0025760	0.000770	0.00	221.65	30.80	249.62	--	--
6	0.25	1.00, 0.800	0.0025760	0.000770	0.00	221.65	19.80	249.62	--	--
7	0.30	1.00, 0.800	0.0025760	0.000770	0.00	221.65	13.82	249.62	--	--
8	0.35	1.00, 0.800	0.0025760	0.000770	0.00	221.65	10.20	249.62	--	--
9	0.40	1.00, 0.800	0.0025760	0.000770	0.00	221.65	7.85	249.62	--	--
10	0.45	1.00, 0.800	0.0025760	0.000770	0.00	221.65	6.23	249.62	--	--
11	0.50	1.00, 0.800	0.0025760	0.000770	0.00	221.65	5.07	249.62	--	--

Fondazione di monte

(L'ascissa X, espressa in [m], è positiva verso valle con origine in corrispondenza dell'estremo libero della fondazione di monte)

Nr.	Y	B, H	A _{fs}	A _{fi}	N _u	M _u	CS	V _{Rd}	V _{Rcd}	V _{Rsd}
1	0.00	1.00, 0.800	0.0010050	0.000770	0.00	0.00	1000.00	265.28	--	--
2	0.35	1.00, 0.800	0.0010050	0.000770	0.00	-289.07	29.10	265.28	--	--
3	0.71	1.00, 0.800	0.0010050	0.000770	0.00	-289.07	7.60	265.28	--	--
4	1.06	1.00, 0.800	0.0010050	0.000770	0.00	-289.07	3.63	265.28	--	--
5	1.42	1.00, 0.800	0.0010050	0.000770	0.00	-289.07	2.23	265.28	--	--
6	1.77	1.00, 0.800	0.0010050	0.000770	0.00	-289.07	1.58	265.28	--	--
7	2.13	1.00, 0.800	0.0010050	0.000770	0.00	-289.07	1.23	265.28	--	--
8	2.48	1.00, 0.800	0.0025760	0.000770	0.00	-726.47	2.60	265.28	--	--
9	2.84	1.00, 0.800	0.0025760	0.000770	0.00	-726.47	2.32	265.28	--	--
10	3.19	1.00, 0.800	0.0025760	0.000770	0.00	-726.47	2.19	265.28	--	--
11	3.55	1.00, 0.800	0.0025760	0.000770	0.00	-726.47	2.21	265.28	--	--

COMBINAZIONE n° 12

Valore della spinta statica	262.7948	[kN]		
Componente orizzontale della spinta statica	220.6339	[kN]		
Componente verticale della spinta statica	142.7649	[kN]		
Punto d'applicazione della spinta	X = 3.55	[m]	Y = -3.77	[m]
Inclinaz. della spinta rispetto alla normale alla superficie	32.91	[°]		
Inclinazione linea di rottura in condizioni statiche	51.63	[°]		
Incremento sismico della spinta	81.6665	[kN]		
Punto d'applicazione dell'incremento sismico di spinta	X = 3.55	[m]	Y = -3.77	[m]
Inclinazione linea di rottura in condizioni sismiche	45.81	[°]		
Peso terrapieno gravante sulla fondazione a monte	420.9922	[kN]		
Baricentro terrapieno gravante sulla fondazione a monte	X = 1.84	[m]	Y = -2.78	[m]
Numero contrafforti	8			
Peso del singolo contrafforte	18.9000	[kN]		
Peso del contrafforte riferito ad un metro di muro	15.7500	[kN]		
Baricentro contrafforte	X = 0.36	[m]	Y = -3.68	[m]
Inerzia del muro	11.7150	[kN]		
Inerzia verticale del muro	-5.8575	[kN]		
Inerzia del terrapieno fondazione di monte	46.3090	[kN]		
Inerzia verticale del terrapieno fondazione di monte	-23.1545	[kN]		
Inerzia del singolo contrafforte	2.0790	[kN]		
Inerzia del contrafforte riferita ad un metro di muro	1.7325	[kN]		
Inerzia verticale del singolo contrafforte	-1.0395	[kN]		
Inerzia verticale del contrafforte riferita ad un metro di muro	-0.8662	[kN]		

Risultanti

Risultante dei carichi applicati in dir. orizzontale	349.6149	[kN]
--	----------	------

PV_D_SR_AP_MU_3_F_005-_001_N_001_R_A_0

Muro MU.3F.05.N – Relazione di Calcolo

Risultante dei carichi applicati in dir. verticale	706.4947	[kN]
Resistenza passiva a valle del muro	-34.4787	[kN]
Sforzo normale sul piano di posa della fondazione	706.4947	[kN]
Sforzo tangenziale sul piano di posa della fondazione	349.6149	[kN]
Eccentricità rispetto al baricentro della fondazione	0.84	[m]
Lunghezza fondazione reagente	3.79	[m]
Risultante in fondazione	788.2673	[kN]
Inclinazione della risultante (rispetto alla normale)	26.33	[°]
Momento rispetto al baricentro della fondazione	591.8466	[kNm]
Carico ultimo della fondazione	1432.6807	[kN]

Tensioni sul terreno

Lunghezza fondazione reagente	3.79	[m]
Tensione terreno allo spigolo di valle	0.37313	[MPa]
Tensione terreno allo spigolo di monte	0.00000	[MPa]

Fattori per il calcolo della capacità portante

Coeff. capacità portante	$N_c = 75.31$	$N_q = 64.20$	$N_\gamma = 109.41$
Fattori forma	$s_c = 1.00$	$s_q = 1.00$	$s_\gamma = 1.00$
Fattori inclinazione	$i_c = 0.29$	$i_q = 0.31$	$i_\gamma = 0.16$
Fattori profondità	$d_c = 1.13$	$d_q = 1.09$	$d_\gamma = 1.00$
Fattori inclinazione piano posa	$b_c = 1.00$	$b_q = 1.00$	$b_\gamma = 1.00$
Fattori inclinazione pendio	$g_c = 1.00$	$g_q = 1.00$	$g_\gamma = 1.00$
I coefficienti N' tengono conto dei fattori di forma, profondità, inclinazione carico, inclinazione piano di posa, inclinazione pendio.			
	$N'_c = 47.61$	$N'_q = 38.84$	$N'_\gamma = 44.11$

COEFFICIENTI DI SICUREZZA

Coefficiente di sicurezza a scorrimento	1.46
Coefficiente di sicurezza a carico ultimo	2.03

Sollecitazioni fondazione di valleCombinazione n° 12

L'ascissa X(espressa in m) è considerata positiva verso monte con origine in corrispondenza dell'estremo libero della fondazione di valle

Momento positivo se tende le fibre inferiori, espresso in kNm

Taglio positivo se diretto verso l'alto, espresso in kN

Nr.	X	M	T
1	0.00	0.0000	0.0000
2	0.05	0.4244	16.9334
3	0.10	1.6892	33.6206
4	0.15	3.7823	50.0613
5	0.20	6.6913	66.2558
6	0.25	10.4038	82.2039
7	0.30	14.9075	97.9057
8	0.35	20.1902	113.3611
9	0.40	26.2396	128.5702
10	0.45	33.0432	143.5330
11	0.50	40.5887	158.2494

Sollecitazioni fondazione di monteCombinazione n° 12

L'ascissa X(espressa in m) è considerata positiva verso valle con origine in corrispondenza dell'estremo libero della fondazione di monte

Momento positivo se tende le fibre inferiori, espresso in kNm

Taglio positivo se diretto verso l'alto, espresso in kN

Nr.	X	M	T
1	0.00	0.0000	0.0000

PV_D_SR_AP_MU_3_F_005-001_N_001_R_A_0

Muro MU.3F.05.N – Relazione di Calcolo

2	0.35	-9.9414	-55.7682
3	0.71	-38.9956	-105.7565
4	1.06	-83.3920	-142.0547
5	1.42	-138.2148	-164.4962
6	1.77	-198.5446	-173.0809
7	2.13	-259.4625	-167.8089
8	2.48	-316.0933	-149.1439
9	2.84	-363.8846	-118.0331
10	3.19	-398.4274	-74.5045
11	3.55	-415.3134	-18.5582

Armature e tensioni nei materiali della fondazioneCombinazione n° 12

Simbologia adottata

B	base della sezione espressa in [m]
H	altezza della sezione espressa in [m]
A _{fi}	area di armatura in corrispondenza del lembo inferiore in [mq]
A _{fs}	area di armatura in corrispondenza del lembo superiore in [mq]
N _u	sforzo normale ultimo espresso in [kN]
M _u	momento ultimo espresso in [kNm]
CS	coefficiente sicurezza sezione
V _{Rcd}	Aliquota di taglio assorbito dal cls, espresso in [kN]
V _{Rsd}	Aliquota di taglio assorbito dall'armatura, espresso in [kN]
VRd	Resistenza al taglio, espresso in [kN]

Fondazione di valle

(L'ascissa X, espressa in [m], è positiva verso monte con origine in corrispondenza dell'estremo libero della fondazione di valle)

Nr.	Y	B, H	A _{fs}	A _{fi}	N _u	M _u	CS	V _{Rd}	V _{Rcd}	V _{Rsd}
1	0.00	1.00, 0.800	0.0025760	0.000770	0.00	0.00	1000.00	265.28	--	--
2	0.05	1.00, 0.800	0.0025760	0.000770	0.00	221.65	522.30	249.62	--	--
3	0.10	1.00, 0.800	0.0025760	0.000770	0.00	221.65	131.21	249.62	--	--
4	0.15	1.00, 0.800	0.0025760	0.000770	0.00	221.65	58.60	249.62	--	--
5	0.20	1.00, 0.800	0.0025760	0.000770	0.00	221.65	33.12	249.62	--	--
6	0.25	1.00, 0.800	0.0025760	0.000770	0.00	221.65	21.30	249.62	--	--
7	0.30	1.00, 0.800	0.0025760	0.000770	0.00	221.65	14.87	249.62	--	--
8	0.35	1.00, 0.800	0.0025760	0.000770	0.00	221.65	10.98	249.62	--	--
9	0.40	1.00, 0.800	0.0025760	0.000770	0.00	221.65	8.45	249.62	--	--
10	0.45	1.00, 0.800	0.0025760	0.000770	0.00	221.65	6.71	249.62	--	--
11	0.50	1.00, 0.800	0.0025760	0.000770	0.00	221.65	5.46	249.62	--	--

Fondazione di monte

(L'ascissa X, espressa in [m], è positiva verso valle con origine in corrispondenza dell'estremo libero della fondazione di monte)

Nr.	Y	B, H	A _{fs}	A _{fi}	N _u	M _u	CS	V _{Rd}	V _{Rcd}	V _{Rsd}
1	0.00	1.00, 0.800	0.010050	0.000770	0.00	0.00	1000.00	265.28	--	--
2	0.35	1.00, 0.800	0.010050	0.000770	0.00	-289.07	29.08	265.28	--	--
3	0.71	1.00, 0.800	0.010050	0.000770	0.00	-289.07	7.41	265.28	--	--
4	1.06	1.00, 0.800	0.010050	0.000770	0.00	-289.07	3.47	265.28	--	--
5	1.42	1.00, 0.800	0.010050	0.000770	0.00	-289.07	2.09	265.28	--	--
6	1.77	1.00, 0.800	0.010050	0.000770	0.00	-289.07	1.46	265.28	--	--
7	2.13	1.00, 0.800	0.010050	0.000770	0.00	-289.07	1.11	265.28	--	--
8	2.48	1.00, 0.800	0.0025760	0.000770	0.00	-726.47	2.30	265.28	--	--
9	2.84	1.00, 0.800	0.0025760	0.000770	0.00	-726.47	2.00	265.28	--	--
10	3.19	1.00, 0.800	0.0025760	0.000770	0.00	-726.47	1.82	265.28	--	--
11	3.55	1.00, 0.800	0.0025760	0.000770	0.00	-726.47	1.75	265.28	--	--

COMBINAZIONE n° 13

Valore della spinta statica 262.7948 [kN]

PV_D_SR_AP_MU_3_F_005-_001_N_001_R_A_0

Muro MU.3F.05.N – Relazione di Calcolo

Componente orizzontale della spinta statica	220.6339	[kN]		
Componente verticale della spinta statica	142.7649	[kN]		
Punto d'applicazione della spinta	X = 3.55	[m]	Y = -3.77	[m]
Inclinaz. della spinta rispetto alla normale alla superficie	32.91	[°]		
Inclinazione linea di rottura in condizioni statiche	51.63	[°]		
Incremento sismico della spinta	110.3286	[kN]		
Punto d'applicazione dell'incremento sismico di spinta	X = 3.55	[m]	Y = -3.77	[m]
Inclinazione linea di rottura in condizioni sismiche	46.44	[°]		
Peso terrapieno gravante sulla fondazione a monte	420.9922	[kN]		
Baricentro terrapieno gravante sulla fondazione a monte	X = 1.84	[m]	Y = -2.78	[m]
Numero contrafforti	8			
Peso del singolo contrafforte	18.9000	[kN]		
Peso del contrafforte riferito ad un metro di muro	15.7500	[kN]		
Baricentro contrafforte	X = 0.36	[m]	Y = -3.68	[m]
Inerzia del muro	11.7150	[kN]		
Inerzia verticale del muro	5.8575	[kN]		
Inerzia del terrapieno fondazione di monte	46.3090	[kN]		
Inerzia verticale del terrapieno fondazione di monte	23.1545	[kN]		
Inerzia del singolo contrafforte	2.0790	[kN]		
Inerzia del contrafforte riferita ad un metro di muro	1.7325	[kN]		
Inerzia verticale del singolo contrafforte	1.0395	[kN]		
Inerzia verticale del contrafforte riferita ad un metro di muro	0.8662	[kN]		

Risultanti

Risultante dei carichi applicati in dir. orizzontale	373.6786	[kN]		
Risultante dei carichi applicati in dir. verticale	781.8220	[kN]		
Resistenza passiva a valle del muro	-34.4787	[kN]		
Momento ribaltante rispetto allo spigolo a valle	1153.7662	[kNm]		
Momento stabilizzante rispetto allo spigolo a valle	2176.0708	[kNm]		
Sforzo normale sul piano di posa della fondazione	781.8220	[kN]		
Sforzo tangenziale sul piano di posa della fondazione	373.6786	[kN]		
Eccentricità rispetto al baricentro della fondazione	0.79	[m]		
Lunghezza fondazione reagente	3.92	[m]		
Risultante in fondazione	866.5341	[kN]		
Inclinazione della risultante (rispetto alla normale)	25.55	[°]		
Momento rispetto al baricentro della fondazione	619.5215	[kNm]		

COEFFICIENTI DI SICUREZZA

Coefficiente di sicurezza a ribaltamento	1.89			
--	------	--	--	--

COMBINAZIONE n° 14

Valore della spinta statica	262.7948	[kN]		
Componente orizzontale della spinta statica	220.6339	[kN]		
Componente verticale della spinta statica	142.7649	[kN]		
Punto d'applicazione della spinta	X = 3.55	[m]	Y = -3.77	[m]
Inclinaz. della spinta rispetto alla normale alla superficie	32.91	[°]		
Inclinazione linea di rottura in condizioni statiche	51.63	[°]		
Incremento sismico della spinta	81.6665	[kN]		
Punto d'applicazione dell'incremento sismico di spinta	X = 3.55	[m]	Y = -3.77	[m]
Inclinazione linea di rottura in condizioni sismiche	45.81	[°]		
Peso terrapieno gravante sulla fondazione a monte	420.9922	[kN]		
Baricentro terrapieno gravante sulla fondazione a monte	X = 1.84	[m]	Y = -2.78	[m]
Numero contrafforti	8			
Peso del singolo contrafforte	18.9000	[kN]		
Peso del contrafforte riferito ad un metro di muro	15.7500	[kN]		
Baricentro contrafforte	X = 0.36	[m]	Y = -3.68	[m]

PV_D_SR_AP_MU_3_F_005-_001_N_001_R_A_0

Muro MU.3F.05.N – Relazione di Calcolo

Inerzia del muro	11.7150	[kN]
Inerzia verticale del muro	-5.8575	[kN]
Inerzia del terrapieno fondazione di monte	46.3090	[kN]
Inerzia verticale del terrapieno fondazione di monte	-23.1545	[kN]
Inerzia del singolo contrafforte	2.0790	[kN]
Inerzia del contrafforte riferita ad un metro di muro	1.7325	[kN]
Inerzia verticale del singolo contrafforte	-1.0395	[kN]
Inerzia verticale del contrafforte riferita ad un metro di muro	-0.8662	[kN]

Risultanti

Risultante dei carichi applicati in dir. orizzontale	349.6149	[kN]
Risultante dei carichi applicati in dir. verticale	706.4947	[kN]
Resistenza passiva a valle del muro	-34.4787	[kN]
Momento ribaltante rispetto allo spigolo a valle	1149.8981	[kNm]
Momento stabilizzante rispetto allo spigolo a valle	2041.6903	[kNm]
Sforzo normale sul piano di posa della fondazione	706.4947	[kN]
Sforzo tangenziale sul piano di posa della fondazione	349.6149	[kN]
Eccentricità rispetto al baricentro della fondazione	0.84	[m]
Lunghezza fondazione reagente	3.79	[m]
Risultante in fondazione	788.2673	[kN]
Inclinazione della risultante (rispetto alla normale)	26.33	[°]
Momento rispetto al baricentro della fondazione	591.8466	[kNm]

COEFFICIENTI DI SICUREZZA

Coefficiente di sicurezza a ribaltamento	1.78
--	------

Stabilità globale muro + terrenoCombinazione n° 15

Le ascisse X sono considerate positive verso monte

Le ordinate Y sono considerate positive verso l'alto

Origine in testa al muro (spigolo contro terra)

W	peso della striscia espresso in [kN]
α	angolo fra la base della striscia e l'orizzontale espresso in [°] (positivo antiorario)
ϕ	angolo d'attrito del terreno lungo la base della striscia
c	coesione del terreno lungo la base della striscia espressa in [MPa]
b	larghezza della striscia espressa in [m]
u	pressione neutra lungo la base della striscia espressa in [MPa]

Metodo di Bishop

Numero di cerchi analizzati 36

Numero di strisce 25

Cerchio critico

Coordinate del centro X[m]= -0.58 Y[m]= 5.23

Raggio del cerchio R[m]= 12.72

Ascissa a valle del cerchio Xi[m]= -7.58

Ascissa a monte del cerchio Xs[m]= 12.13

Larghezza della striscia dx[m]= 0.79

Coefficiente di sicurezza C= 1.47

Le strisce sono numerate da monte verso valle

Caratteristiche delle strisce

Striscia	W	α (°)	Wsin α	b/cos α	ϕ	c	u
1	3027.19	79.32	2974.78	4.26	29.26	0.000	0.000
2	7333.54	65.44	6669.87	1.90	31.42	0.008	0.000
3	9689.60	57.82	8201.11	1.48	33.87	0.016	0.000
4	11235.55	51.62	8807.59	1.27	33.87	0.016	0.000
5	12016.63	46.19	8671.54	1.14	33.87	0.016	0.000
6	12547.97	41.26	8274.68	1.05	33.87	0.016	0.000
7	12890.56	36.68	7699.63	0.98	33.87	0.016	0.000

PV_D_SR_AP_MU_3_F_005-_001_N_001_R_A_0

Muro MU.3F.05.N – Relazione di Calcolo

8	13078.66	32.36	6999.70	0.93	33.87	0.016	0.000
9	13135.01	28.24	6214.32	0.90	33.87	0.016	0.000
10	13075.51	24.27	5374.49	0.87	33.87	0.016	0.000
11	12910.48	20.42	4505.32	0.84	33.87	0.016	0.000
12	12586.45	16.67	3611.11	0.82	33.87	0.016	0.000
13	12197.11	12.99	2742.48	0.81	33.87	0.016	0.000
14	11764.72	9.37	1915.20	0.80	33.87	0.016	0.000
15	11769.41	5.78	1185.64	0.79	33.87	0.016	0.000
16	8942.49	2.22	345.96	0.79	33.87	0.016	0.000
17	3413.33	-1.34	-79.75	0.79	33.87	0.016	0.000
18	3276.13	-4.90	-279.83	0.79	33.87	0.016	0.000
19	3127.21	-8.48	-461.16	0.80	33.87	0.016	0.000
20	2896.77	-12.09	-606.94	0.81	33.87	0.016	0.000
21	2581.94	-15.76	-701.20	0.82	33.87	0.016	0.000
22	2178.55	-19.49	-726.85	0.84	33.87	0.016	0.000
23	1680.87	-23.31	-665.13	0.86	33.87	0.016	0.000
24	1081.09	-27.24	-494.90	0.89	33.87	0.016	0.000
25	368.64	-31.32	-191.64	0.92	33.87	0.016	0.000

$\Sigma W_i = 1949.6461$ [kN]

$\Sigma W_i \sin \alpha_i = 784.4072$ [kN]

$\Sigma W_i \tan \phi_i = 1301.1128$ [kN]

$\Sigma \tan \alpha_i \tan \phi_i = 8.12$

Stabilità globale muro + terreno

Combinazione n° 16

Le ascisse X sono considerate positive verso monte

Le ordinate Y sono considerate positive verso l'alto

Origine in testa al muro (spigolo contro terra)

W peso della striscia espresso in [kN]

α angolo fra la base della striscia e l'orizzontale espresso in [°] (positivo antiorario)

ϕ angolo d'attrito del terreno lungo la base della striscia

c coesione del terreno lungo la base della striscia espressa in [MPa]

b larghezza della striscia espressa in [m]

u pressione neutra lungo la base della striscia espressa in [MPa]

Metodo di Bishop

Numero di cerchi analizzati 36

Numero di strisce 25

Cerchio critico

Coordinate del centro X[m]= -0.58 Y[m]= 5.23

Raggio del cerchio R[m]= 12.72

Ascissa a valle del cerchio Xi[m]= -7.58

Ascissa a monte del cerchio Xs[m]= 12.13

Larghezza della striscia dx[m]= 0.79

Coefficiente di sicurezza C= 1.45

Le strisce sono numerate da monte verso valle

Caratteristiche delle strisce

Striscia	W	α (°)	$W \sin \alpha$	$b / \cos \alpha$	ϕ	c	u
1	3027.19	79.32	2974.78	4.26	29.26	0.000	0.000
2	7333.54	65.44	6669.87	1.90	31.42	0.008	0.000
3	9689.60	57.82	8201.11	1.48	33.87	0.016	0.000
4	11235.55	51.62	8807.59	1.27	33.87	0.016	0.000
5	12016.63	46.19	8671.54	1.14	33.87	0.016	0.000
6	12547.97	41.26	8274.68	1.05	33.87	0.016	0.000
7	12890.56	36.68	7699.63	0.98	33.87	0.016	0.000
8	13078.66	32.36	6999.70	0.93	33.87	0.016	0.000
9	13135.01	28.24	6214.32	0.90	33.87	0.016	0.000

PV_D_SR_AP_MU_3_F_005-_001_N_001_R_A_0

Muro MU.3F.05.N – Relazione di Calcolo

10	13075.51	24.27	5374.49	0.87	33.87	0.016	0.000
11	12910.48	20.42	4505.32	0.84	33.87	0.016	0.000
12	12586.45	16.67	3611.11	0.82	33.87	0.016	0.000
13	12197.11	12.99	2742.48	0.81	33.87	0.016	0.000
14	11764.72	9.37	1915.20	0.80	33.87	0.016	0.000
15	11769.41	5.78	1185.64	0.79	33.87	0.016	0.000
16	8942.49	2.22	345.96	0.79	33.87	0.016	0.000
17	3413.33	-1.34	-79.75	0.79	33.87	0.016	0.000
18	3276.13	-4.90	-279.83	0.79	33.87	0.016	0.000
19	3127.21	-8.48	-461.16	0.80	33.87	0.016	0.000
20	2896.77	-12.09	-606.94	0.81	33.87	0.016	0.000
21	2581.94	-15.76	-701.20	0.82	33.87	0.016	0.000
22	2178.55	-19.49	-726.85	0.84	33.87	0.016	0.000
23	1680.87	-23.31	-665.13	0.86	33.87	0.016	0.000
24	1081.09	-27.24	-494.90	0.89	33.87	0.016	0.000
25	368.64	-31.32	-191.64	0.92	33.87	0.016	0.000

$\Sigma W_i = 1949.6461$ [kN]

$\Sigma W_i \sin \alpha_i = 784.4072$ [kN]

$\Sigma W_i \tan \phi_i = 1301.1128$ [kN]

$\Sigma \tan \alpha_i \tan \phi_i = 8.12$

Sollecitazioni fondazione di valleCombinazione n° 17

L'ascissa X (espressa in m) è considerata positiva verso monte con origine in corrispondenza dell'estremo libero della fondazione di valle

Momento positivo se tende le fibre inferiori, espresso in kNm

Taglio positivo se diretto verso l'alto, espresso in kN

Nr.	X	M	T
1	0.00	0.0000	0.0000
2	0.05	0.2055	8.2135
3	0.10	0.8206	16.3845
4	0.15	1.8433	24.5129
5	0.20	3.2712	32.5988
6	0.25	5.1024	40.6420
7	0.30	7.3347	48.6427
8	0.35	9.9660	56.6008
9	0.40	12.9941	64.5164
10	0.45	16.4169	72.3893
11	0.50	20.2323	80.2197

Sollecitazioni fondazione di monteCombinazione n° 17

L'ascissa X (espressa in m) è considerata positiva verso valle con origine in corrispondenza dell'estremo libero della fondazione di monte

Momento positivo se tende le fibre inferiori, espresso in kNm

Taglio positivo se diretto verso l'alto, espresso in kN

Nr.	X	M	T
1	0.00	0.0000	0.0000
2	0.35	-1.9268	-10.2577
3	0.71	-6.8587	-16.9304
4	1.06	-13.5231	-20.0180
5	1.42	-20.6473	-19.5206
6	1.77	-26.9585	-15.4381
7	2.13	-31.1841	-7.7706
8	2.48	-32.0955	3.0182
9	2.84	-28.7866	15.9810
10	3.19	-20.4950	31.0899

PV_D_SR_AP_MU_3_F_005-001_N_001_R_A_0

Muro MU.3F.05.N – Relazione di Calcolo

11 3.55 -6.4588 48.3448

Armature e tensioni nei materiali della fondazioneCombinazione n° 17

Simbologia adottata

B	base della sezione espressa in [m]
H	altezza della sezione espressa in [m]
A _{fi}	area di armatura in corrispondenza del lembo inferiore in [mq]
A _{fs}	area di armatura in corrispondenza del lembo superiore in [mq]
σ _c	tensione nel calcestruzzo espressa in [MPa]
τ _c	tensione tangenziale nel calcestruzzo espressa in [MPa]
σ _{fi}	tensione nell'armatura disposta in corrispondenza del lembo inferiore in [MPa]
σ _{fs}	tensione nell'armatura disposta in corrispondenza del lembo superiore in [MPa]

Fondazione di valle

(L'ascissa X, espressa in [m], è positiva verso monte con origine in corrispondenza dell'estremo libero della fondazione di valle)

Nr.	X	B, H	A _{fs}	A _{fi}	σ _c	τ _c	σ _{fi}	σ _{fs}
1	0.00	1.00, 0.800	0.0025760	0.000770	0.000	0.000	0.000	0.000
2	0.05	1.00, 0.800	0.0025760	0.000770	0.004	0.013	0.369	-0.035
3	0.10	1.00, 0.800	0.0025760	0.000770	0.015	0.025	1.472	-0.139
4	0.15	1.00, 0.800	0.0025760	0.000770	0.034	0.038	3.307	-0.312
5	0.20	1.00, 0.800	0.0025760	0.000770	0.061	0.050	5.869	-0.553
6	0.25	1.00, 0.800	0.0025760	0.000770	0.095	0.063	9.155	-0.863
7	0.30	1.00, 0.800	0.0025760	0.000770	0.136	0.075	13.160	-1.240
8	0.35	1.00, 0.800	0.0025760	0.000770	0.185	0.088	17.881	-1.685
9	0.40	1.00, 0.800	0.0025760	0.000770	0.241	0.100	23.314	-2.197
10	0.45	1.00, 0.800	0.0025760	0.000770	0.304	0.112	29.456	-2.775
11	0.50	1.00, 0.800	0.0025760	0.000770	0.375	0.124	36.302	-3.420

Fondazione di monte

(L'ascissa X, espressa in [m], è positiva verso valle con origine in corrispondenza dell'estremo libero della fondazione di monte)

Nr.	X	B, H	A _{fs}	A _{fi}	σ _c	τ _c	σ _{fi}	σ _{fs}
1	0.00	1.00, 0.800	0.0010050	0.000770	0.000	0.000	0.000	0.000
2	0.35	1.00, 0.800	0.0010050	0.000770	0.037	-0.016	-0.382	2.673
3	0.71	1.00, 0.800	0.0010050	0.000770	0.131	-0.026	-1.361	9.515
4	1.06	1.00, 0.800	0.0010050	0.000770	0.258	-0.031	-2.683	18.761
5	1.42	1.00, 0.800	0.0010050	0.000770	0.394	-0.030	-4.096	28.644
6	1.77	1.00, 0.800	0.0010050	0.000770	0.515	-0.024	-5.348	37.400
7	2.13	1.00, 0.800	0.0010050	0.000770	0.596	-0.012	-6.186	43.262
8	2.48	1.00, 0.800	0.0025760	0.000770	0.424	0.005	-5.081	17.905
9	2.84	1.00, 0.800	0.0025760	0.000770	0.380	0.025	-4.558	16.059
10	3.19	1.00, 0.800	0.0025760	0.000770	0.271	0.048	-3.245	11.433
11	3.55	1.00, 0.800	0.0025760	0.000770	0.085	0.075	-1.023	3.603

Sollecitazioni fondazione di valleCombinazione n° 18

L'ascissa X(espressa in m) è considerata positiva verso monte con origine in corrispondenza dell'estremo libero della fondazione di valle

Momento positivo se tende le fibre inferiori, espresso in kNm

Taglio positivo se diretto verso l'alto, espresso in kN

Nr.	X	M	T
1	0.00	0.0000	0.0000
2	0.05	0.2055	8.2135
3	0.10	0.8206	16.3845
4	0.15	1.8433	24.5129
5	0.20	3.2712	32.5988

PV_D_SR_AP_MU_3_F_005-_001_N_001_R_A_0

Muro MU.3F.05.N – Relazione di Calcolo

6	0.25	5.1024	40.6420
7	0.30	7.3347	48.6427
8	0.35	9.9660	56.6008
9	0.40	12.9941	64.5164
10	0.45	16.4169	72.3893
11	0.50	20.2323	80.2197

Sollecitazioni fondazione di monteCombinazione n° 18

L'ascissa X(espressa in m) è considerata positiva verso valle con origine in corrispondenza dell'estremo libero della fondazione di monte

Momento positivo se tende le fibre inferiori, espresso in kNm

Taglio positivo se diretto verso l'alto, espresso in kN

Nr.	X	M	T
1	0.00	0.0000	0.0000
2	0.35	-1.9268	-10.2577
3	0.71	-6.8587	-16.9304
4	1.06	-13.5231	-20.0180
5	1.42	-20.6473	-19.5206
6	1.77	-26.9585	-15.4381
7	2.13	-31.1841	-7.7706
8	2.48	-32.0955	3.0182
9	2.84	-28.7866	15.9810
10	3.19	-20.4950	31.0899
11	3.55	-6.4588	48.3448

Armature e tensioni nei materiali della fondazioneCombinazione n° 18

Simbologia adottata

B base della sezione espressa in [m]

H altezza della sezione espressa in [m]

A_{fi} area di armatura in corrispondenza del lembo inferiore in [mq]

A_{fs} area di armatura in corrispondenza del lembo superiore in [mq]

σ_c tensione nel calcestruzzo espressa in [MPa]

τ_c tensione tangenziale nel calcestruzzo espressa in [MPa]

σ_{fi} tensione nell'armatura disposta in corrispondenza del lembo inferiore in [MPa]

σ_{fs} tensione nell'armatura disposta in corrispondenza del lembo superiore in [MPa]

Fondazione di valle

(L'ascissa X, espressa in [m], è positiva verso monte con origine in corrispondenza dell'estremo libero della fondazione di valle)

Nr.	X	B, H	A _{fs}	A _{fi}	σ _c	τ _c	σ _{fi}	σ _{fs}
1	0.00	1.00, 0.800	0.0025760	0.000770	0.000	0.000	0.000	0.000
2	0.05	1.00, 0.800	0.0025760	0.000770	0.004	0.013	0.369	-0.035
3	0.10	1.00, 0.800	0.0025760	0.000770	0.015	0.025	1.472	-0.139
4	0.15	1.00, 0.800	0.0025760	0.000770	0.034	0.038	3.307	-0.312
5	0.20	1.00, 0.800	0.0025760	0.000770	0.061	0.050	5.869	-0.553
6	0.25	1.00, 0.800	0.0025760	0.000770	0.095	0.063	9.155	-0.863
7	0.30	1.00, 0.800	0.0025760	0.000770	0.136	0.075	13.160	-1.240
8	0.35	1.00, 0.800	0.0025760	0.000770	0.185	0.088	17.881	-1.685
9	0.40	1.00, 0.800	0.0025760	0.000770	0.241	0.100	23.314	-2.197
10	0.45	1.00, 0.800	0.0025760	0.000770	0.304	0.112	29.456	-2.775
11	0.50	1.00, 0.800	0.0025760	0.000770	0.375	0.124	36.302	-3.420

Fondazione di monte

(L'ascissa X, espressa in [m], è positiva verso valle con origine in corrispondenza dell'estremo libero della fondazione di monte)

Nr.	X	B, H	A _{fs}	A _{fi}	σ _c	τ _c	σ _{fi}	σ _{fs}
-----	---	------	-----------------	-----------------	----------------	----------------	-----------------	-----------------

PV_D_SR_AP_MU_3_F_005-_001_N_001_R_A_0

Muro MU.3F.05.N – Relazione di Calcolo

1	0.00	1.00, 0.800.0010050.000770	0.000	0.000	0.000	0.000
2	0.35	1.00, 0.800.0010050.000770	0.037	-0.016	-0.382	2.673
3	0.71	1.00, 0.800.0010050.000770	0.131	-0.026	-1.361	9.515
4	1.06	1.00, 0.800.0010050.000770	0.258	-0.031	-2.683	18.761
5	1.42	1.00, 0.800.0010050.000770	0.394	-0.030	-4.096	28.644
6	1.77	1.00, 0.800.0010050.000770	0.515	-0.024	-5.348	37.400
7	2.13	1.00, 0.800.0010050.000770	0.596	-0.012	-6.186	43.262
8	2.48	1.00, 0.800.0025760.000770	0.424	0.005	-5.081	17.905
9	2.84	1.00, 0.800.0025760.000770	0.380	0.025	-4.558	16.059
10	3.19	1.00, 0.800.0025760.000770	0.271	0.048	-3.245	11.433
11	3.55	1.00, 0.800.0025760.000770	0.085	0.075	-1.023	3.603

Sollecitazioni fondazione di valleCombinazione n° 19

L'ascissa X(espressa in m) è considerata positiva verso monte con origine in corrispondenza dell'estremo libero della fondazione di valle

Momento positivo se tende le fibre inferiori, espresso in kNm

Taglio positivo se diretto verso l'alto, espresso in kN

Nr.	X	M	T
1	0.00	0.0000	0.0000
2	0.05	0.2055	8.2135
3	0.10	0.8206	16.3845
4	0.15	1.8433	24.5129
5	0.20	3.2712	32.5988
6	0.25	5.1024	40.6420
7	0.30	7.3347	48.6427
8	0.35	9.9660	56.6008
9	0.40	12.9941	64.5164
10	0.45	16.4169	72.3893
11	0.50	20.2323	80.2197

Sollecitazioni fondazione di monteCombinazione n° 19

L'ascissa X(espressa in m) è considerata positiva verso valle con origine in corrispondenza dell'estremo libero della fondazione di monte

Momento positivo se tende le fibre inferiori, espresso in kNm

Taglio positivo se diretto verso l'alto, espresso in kN

Nr.	X	M	T
1	0.00	0.0000	0.0000
2	0.35	-1.9268	-10.2577
3	0.71	-6.8587	-16.9304
4	1.06	-13.5231	-20.0180
5	1.42	-20.6473	-19.5206
6	1.77	-26.9585	-15.4381
7	2.13	-31.1841	-7.7706
8	2.48	-32.0955	3.0182
9	2.84	-28.7866	15.9810
10	3.19	-20.4950	31.0899
11	3.55	-6.4588	48.3448

Armature e tensioni nei materiali della fondazioneCombinazione n° 19

Simbologia adottata

B base della sezione espressa in [m]

H altezza della sezione espressa in [m]

A_{fi} area di armatura in corrispondenza del lembo inferiore in [mq]

A_{fs} area di armatura in corrispondenza del lembo superiore in [mq]

σ_c tensione nel calcestruzzo espressa in [MPa]

PV_D_SR_AP_MU_3_F_005-001_N_001_R_A_0

Muro MU.3F.05.N – Relazione di Calcolo

τ_c	tensione tangenziale nel calcestruzzo espressa in [MPa]
σ_{fi}	tensione nell'armatura disposta in corrispondenza del lembo inferiore in [MPa]
σ_{fs}	tensione nell'armatura disposta in corrispondenza del lembo superiore in [MPa]

Fondazione di valle

(L'ascissa X, espressa in [m], è positiva verso monte con origine in corrispondenza dell'estremo libero della fondazione di valle)

Nr.	X	B, H	A_{fs}	A_{fi}	σ_c	τ_c	σ_{fi}	σ_{fs}
1	0.00	1.00, 0.800	0.0025760	0.000770	0.000	0.000	0.000	0.000
2	0.05	1.00, 0.800	0.0025760	0.000770	0.004	0.013	0.369	-0.035
3	0.10	1.00, 0.800	0.0025760	0.000770	0.015	0.025	1.472	-0.139
4	0.15	1.00, 0.800	0.0025760	0.000770	0.034	0.038	3.307	-0.312
5	0.20	1.00, 0.800	0.0025760	0.000770	0.061	0.050	5.869	-0.553
6	0.25	1.00, 0.800	0.0025760	0.000770	0.095	0.063	9.155	-0.863
7	0.30	1.00, 0.800	0.0025760	0.000770	0.136	0.075	13.160	-1.240
8	0.35	1.00, 0.800	0.0025760	0.000770	0.185	0.088	17.881	-1.685
9	0.40	1.00, 0.800	0.0025760	0.000770	0.241	0.100	23.314	-2.197
10	0.45	1.00, 0.800	0.0025760	0.000770	0.304	0.112	29.456	-2.775
11	0.50	1.00, 0.800	0.0025760	0.000770	0.375	0.124	36.302	-3.420

Fondazione di monte

(L'ascissa X, espressa in [m], è positiva verso valle con origine in corrispondenza dell'estremo libero della fondazione di monte)

Nr.	X	B, H	A_{fs}	A_{fi}	σ_c	τ_c	σ_{fi}	σ_{fs}
1	0.00	1.00, 0.800	0.0010050	0.000770	0.000	0.000	0.000	0.000
2	0.35	1.00, 0.800	0.0010050	0.000770	0.037	-0.016	-0.382	2.673
3	0.71	1.00, 0.800	0.0010050	0.000770	0.131	-0.026	-1.361	9.515
4	1.06	1.00, 0.800	0.0010050	0.000770	0.258	-0.031	-2.683	18.761
5	1.42	1.00, 0.800	0.0010050	0.000770	0.394	-0.030	-4.096	28.644
6	1.77	1.00, 0.800	0.0010050	0.000770	0.515	-0.024	-5.348	37.400
7	2.13	1.00, 0.800	0.0010050	0.000770	0.596	-0.012	-6.186	43.262
8	2.48	1.00, 0.800	0.0025760	0.000770	0.424	0.005	-5.081	17.905
9	2.84	1.00, 0.800	0.0025760	0.000770	0.380	0.025	-4.558	16.059
10	3.19	1.00, 0.800	0.0025760	0.000770	0.271	0.048	-3.245	11.433
11	3.55	1.00, 0.800	0.0025760	0.000770	0.085	0.075	-1.023	3.603

2.1.4. Tipo Gettato in opera - Altezza fuori terra $H < 5.50m$

Normativa

N.T.C. 2008 - Approccio 1

Simbologia adottata

γ_{Gsfav}	Coefficiente parziale sfavorevole sulle azioni permanenti
γ_{Gfav}	Coefficiente parziale favorevole sulle azioni permanenti
γ_{Qsfav}	Coefficiente parziale sfavorevole sulle azioni variabili
γ_{Qfav}	Coefficiente parziale favorevole sulle azioni variabili
$\gamma_{tan\phi'}$	Coefficiente parziale di riduzione dell'angolo di attrito drenato
$\gamma_{c'}$	Coefficiente parziale di riduzione della coesione drenata
γ_{cu}	Coefficiente parziale di riduzione della coesione non drenata
γ_{qu}	Coefficiente parziale di riduzione del carico ultimo
γ_{γ}	Coefficiente parziale di riduzione della resistenza a compressione uniassiale delle rocce

Coefficienti di partecipazione combinazioni statiche

Coefficienti parziali per le azioni o per l'effetto delle azioni:

Carichi	Effetto		A1	A2	EQU	HYD
Permanenti	Favorevole	γ_{Gfav}	1.00	1.00	0.90	0.90
Permanenti	Sfavorevole	γ_{Gsfav}	1.30	1.00	1.10	1.30
Variabili	Favorevole	γ_{Qfav}	0.00	0.00	0.00	0.00
Variabili	Sfavorevole	γ_{Qsfav}	1.50	1.30	1.50	1.50

Coefficienti parziali per i parametri geotecnici del terreno:

Parametri		M1	M2	M2	M1
Tangente dell'angolo di attrito	$\gamma_{tan\phi'}$	1.00	1.25	1.25	1.00
Coesione efficace	$\gamma_{c'}$	1.00	1.25	1.25	1.00
Resistenza non drenata	γ_{cu}	1.00	1.40	1.40	1.00
Resistenza a compressione uniassiale	γ_{qu}	1.00	1.60	1.60	1.00
Peso dell'unità di volume	γ_{γ}	1.00	1.00	1.00	1.00

Coefficienti di partecipazione combinazioni sismiche

Coefficienti parziali per le azioni o per l'effetto delle azioni:

Carichi	Effetto		A1	A2	EQU	HYD
Permanenti	Favorevole	γ_{Gfav}	1.00	1.00	1.00	0.90
Permanenti	Sfavorevole	γ_{Gsfav}	1.00	1.00	1.00	1.30
Variabili	Favorevole	γ_{Qfav}	0.00	0.00	0.00	0.00
Variabili	Sfavorevole	γ_{Qsfav}	1.00	1.00	1.00	1.50

Coefficienti parziali per i parametri geotecnici del terreno:

Parametri		M1	M2	M2	M1
Tangente dell'angolo di attrito	$\gamma_{tan\phi'}$	1.00	1.25	1.25	1.00
Coesione efficace	$\gamma_{c'}$	1.00	1.25	1.25	1.00
Resistenza non drenata	γ_{cu}	1.00	1.40	1.40	1.00
Resistenza a compressione uniassiale	γ_{qu}	1.00	1.60	1.60	1.00
Peso dell'unità di volume	γ_{γ}	1.00	1.00	1.00	1.00

FONDAZIONE SUPERFICIALE

Coefficienti parziali γ_R per le verifiche agli stati limite ultimi STR e GEO

Verifica	Coefficienti parziali		
	R1	R2	R3
Capacità portante della fondazione	1.00	1.00	1.40
Scorrimento	1.00	1.00	1.10
Resistenza del terreno a valle	1.00	1.00	1.40

PV_D_SR_AP_MU_3_F_005-_001_N_001_R_A_0

Muro MU.3F.05.N – Relazione di Calcolo

Stabilità globale 1.10

Geometria muro

Descrizione	Muro a mensola in c.a.
Altezza del paramento	5.50 [m]
Spessore in sommità	0.50 [m]
Spessore all'attacco con la fondazione	0.50 [m]
Inclinazione paramento esterno	0.00 [°]
Inclinazione paramento interno	0.00 [°]

Materiali utilizzati per la struttura

<i>Calcestruzzo</i>	
Peso specifico	25.000 [kN/mc]
Classe di Resistenza	C28/35
Resistenza caratteristica a compressione R_{ck}	35.00 [MPa]
Modulo elastico E	32587.986 [MPa]
<i>Acciaio</i>	
Tipo	B450C
Tensione di snervamento σ_{fa}	450 [MPa]

Geometria profilo terreno a monte del muro*Simbologia adottata e sistema di riferimento*

(Sistema di riferimento con origine in testa al muro, ascissa X positiva verso monte, ordinata Y positiva verso l'alto)

N numero ordine del punto

X ascissa del punto espressa in [m]

Y ordinata del punto espressa in [m]

A inclinazione del tratto espressa in [°]

N	X	Y	A
1	1.35	0.00	0.00
2	9.67	5.00	31.00
3	30.00	5.00	0.00

Terreno a valle del muro

Inclinazione terreno a valle del muro rispetto all'orizzontale	0.00	[°]
Altezza del rinterro rispetto all'attacco fondaz.valle-paramento	0.60	[m]

Descrizione terreni*Simbologia adottata*

Nr.	Indice del terreno
Descrizione	Descrizione terreno
γ	Peso di volume del terreno espresso in [kN/mc]
γ_s	Peso di volume saturo del terreno espresso in [kN/mc]
ϕ	Angolo d'attrito interno espresso in [°]
δ	Angolo d'attrito terra-muro espresso in [°]
c	Coesione espressa in [MPa]
c_a	Adesione terra-muro espressa in [MPa]

Descrizione	γ	γ_s	ϕ	δ	c	c_a
AL1	18.00	18.00	35.00	23.33	0.0000	0.0000
AL3 - Paramento	19.00	19.00	40.00	26.67	0.0020	0.0000
AL3 - Fondazione	20.00	20.00	40.00	40.00	0.0020	0.0000

Stratigrafia

PV_D_SR_AP_MU_3_F_005-_001_N_001_R_A_0

Muro MU.3F.05.N – Relazione di Calcolo

Simbologia adottata

N	Indice dello strato
H	Spessore dello strato espresso in [m]
a	Inclinazione espressa in [°]
Kw	Costante di Winkler orizzontale espressa in Kg/cm ² /cm
Ks	Coefficiente di spinta
Terreno	Terreno dello strato

Nr.	H	a	Kw	Ks	Terreno
1	0.10	0.00	13.68	0.00	AL1
2	20.00	0.00	43.85	0.00	AL3 - Fondazione

Terreno di riempimento

AL3 - Paramento

Condizioni di carico

Simbologia e convenzioni di segno adottate

Carichi verticali positivi verso il basso.

Carichi orizzontali positivi verso sinistra.

Momento positivo senso antiorario.

X	Ascissa del punto di applicazione del carico concentrato espressa in [m]
F _x	Componente orizzontale del carico concentrato espressa in [kN]
F _y	Componente verticale del carico concentrato espressa in [kN]
M	Momento espresso in [kNm]
X _i	Ascissa del punto iniziale del carico ripartito espressa in [m]
X _f	Ascissa del punto finale del carico ripartito espressa in [m]
Q _i	Intensità del carico per x=X _i espressa in [kN/m]
Q _f	Intensità del carico per x=X _f espressa in [kN/m]
D / C	Tipo carico : D=distribuito C=concentrato

Condizione n° 1 (Vento)

C	Paramento	X=0.00	Y=0.00	F _x =3.0000	F _y =0.0000	M=6.0000
---	-----------	--------	--------	------------------------	------------------------	----------

Descrizione combinazioni di carico

Simbologia adottata

F/S	Effetto dell'azione (FAV: Favorevole, SFAV: Sfavorevole)
γ	Coefficiente di partecipazione della condizione
ψ	Coefficiente di combinazione della condizione

Combinazione n° 1 - Caso A1-M1 (STR)

	S/F	γ	ψ	γ * ψ
Peso proprio muro	FAV	1.00	1.00	1.00
Peso proprio terrapieno	FAV	1.00	1.00	1.00
Spinta terreno	SFAV	1.30	1.00	1.30

Combinazione n° 2 - Caso A2-M2 (GEO)

	S/F	γ	ψ	γ * ψ
Peso proprio muro	SFAV	1.00	1.00	1.00
Peso proprio terrapieno	SFAV	1.00	1.00	1.00
Spinta terreno	SFAV	1.00	1.00	1.00

Combinazione n° 3 - Caso EQU (SLU)

	S/F	γ	ψ	γ * ψ
Peso proprio muro	FAV	0.90	1.00	0.90
Peso proprio terrapieno	FAV	0.90	1.00	0.90
Spinta terreno	SFAV	1.10	1.00	1.10

Combinazione n° 4 - Caso A2-M2 (GEO-STAB)

	S/F	γ	ψ	γ * ψ
Peso proprio muro	SFAV	1.00	1.00	1.00
Peso proprio terrapieno	SFAV	1.00	1.00	1.00

PV_D_SR_AP_MU_3_F_005-_001_N_001_R_A_0

Muro MU.3F.05.N – Relazione di Calcolo

Spinta terreno	SFAV	1.00	1.00	1.00
<u>Combinazione n° 5 - Caso A1-M1 (STR)</u>				
	S/F	γ	Ψ	$\gamma * \Psi$
Peso proprio muro	FAV	1.00	1.00	1.00
Peso proprio terrapieno	FAV	1.00	1.00	1.00
Spinta terreno	SFAV	1.30	1.00	1.30
Vento	SFAV	1.50	1.00	1.50
<u>Combinazione n° 6 - Caso A2-M2 (GEO)</u>				
	S/F	γ	Ψ	$\gamma * \Psi$
Peso proprio muro	SFAV	1.00	1.00	1.00
Peso proprio terrapieno	SFAV	1.00	1.00	1.00
Spinta terreno	SFAV	1.00	1.00	1.00
Vento	SFAV	1.30	1.00	1.30
<u>Combinazione n° 7 - Caso EQU (SLU)</u>				
	S/F	γ	Ψ	$\gamma * \Psi$
Peso proprio muro	FAV	0.90	1.00	0.90
Peso proprio terrapieno	FAV	0.90	1.00	0.90
Spinta terreno	SFAV	1.10	1.00	1.10
Vento	SFAV	1.50	1.00	1.50
<u>Combinazione n° 8 - Caso A2-M2 (GEO-STAB)</u>				
	S/F	γ	Ψ	$\gamma * \Psi$
Peso proprio muro	SFAV	1.00	1.00	1.00
Peso proprio terrapieno	SFAV	1.00	1.00	1.00
Spinta terreno	SFAV	1.00	1.00	1.00
Vento	SFAV	1.30	1.00	1.30
<u>Combinazione n° 9 - Caso A1-M1 (STR) - Sisma Vert. positivo</u>				
	S/F	γ	Ψ	$\gamma * \Psi$
Peso proprio muro	SFAV	1.00	1.00	1.00
Peso proprio terrapieno	SFAV	1.00	1.00	1.00
Spinta terreno	SFAV	1.00	1.00	1.00
<u>Combinazione n° 10 - Caso A1-M1 (STR) - Sisma Vert. negativo</u>				
	S/F	γ	Ψ	$\gamma * \Psi$
Peso proprio muro	SFAV	1.00	1.00	1.00
Peso proprio terrapieno	SFAV	1.00	1.00	1.00
Spinta terreno	SFAV	1.00	1.00	1.00
<u>Combinazione n° 11 - Caso A2-M2 (GEO) - Sisma Vert. positivo</u>				
	S/F	γ	Ψ	$\gamma * \Psi$
Peso proprio muro	SFAV	1.00	1.00	1.00
Peso proprio terrapieno	SFAV	1.00	1.00	1.00
Spinta terreno	SFAV	1.00	1.00	1.00
<u>Combinazione n° 12 - Caso A2-M2 (GEO) - Sisma Vert. negativo</u>				
	S/F	γ	Ψ	$\gamma * \Psi$
Peso proprio muro	SFAV	1.00	1.00	1.00
Peso proprio terrapieno	SFAV	1.00	1.00	1.00
Spinta terreno	SFAV	1.00	1.00	1.00
<u>Combinazione n° 13 - Caso EQU (SLU) - Sisma Vert. positivo</u>				
	S/F	γ	Ψ	$\gamma * \Psi$
Peso proprio muro	FAV	1.00	1.00	1.00
Peso proprio terrapieno	FAV	1.00	1.00	1.00
Spinta terreno	SFAV	1.00	1.00	1.00

Muro MU.3F.05.N – Relazione di CalcoloCombinazione n° 14 - Caso EQU (SLU) - Sisma Vert. negativo

	S/F	γ	Ψ	$\gamma * \Psi$
Peso proprio muro	FAV	1.00	1.00	1.00
Peso proprio terrapieno	FAV	1.00	1.00	1.00
Spinta terreno	SFAV	1.00	1.00	1.00

Combinazione n° 15 - Caso A2-M2 (GEO-STAB) - Sisma Vert. positivo

	S/F	γ	Ψ	$\gamma * \Psi$
Peso proprio muro	SFAV	1.00	1.00	1.00
Peso proprio terrapieno	SFAV	1.00	1.00	1.00
Spinta terreno	SFAV	1.00	1.00	1.00

Combinazione n° 16 - Caso A2-M2 (GEO-STAB) - Sisma Vert. negativo

	S/F	γ	Ψ	$\gamma * \Psi$
Peso proprio muro	SFAV	1.00	1.00	1.00
Peso proprio terrapieno	SFAV	1.00	1.00	1.00
Spinta terreno	SFAV	1.00	1.00	1.00

Combinazione n° 17 - Quasi Permanente (SLE)

	S/F	γ	Ψ	$\gamma * \Psi$
Peso proprio muro	--	1.00	1.00	1.00
Peso proprio terrapieno	--	1.00	1.00	1.00
Spinta terreno	--	1.00	1.00	1.00
Vento	SFAV	1.00	1.00	1.00

Combinazione n° 18 - Frequente (SLE)

	S/F	γ	Ψ	$\gamma * \Psi$
Peso proprio muro	--	1.00	1.00	1.00
Peso proprio terrapieno	--	1.00	1.00	1.00
Spinta terreno	--	1.00	1.00	1.00
Vento	SFAV	1.00	1.00	1.00

Combinazione n° 19 - Rara (SLE)

	S/F	γ	Ψ	$\gamma * \Psi$
Peso proprio muro	--	1.00	1.00	1.00
Peso proprio terrapieno	--	1.00	1.00	1.00
Spinta terreno	--	1.00	1.00	1.00
Vento	SFAV	1.00	1.00	1.00

Impostazioni di analisi

Metodo verifica sezioni

Stato limite**Impostazioni verifiche SLU**Coefficienti parziali per resistenze di calcolo dei materiali

Coefficiente di sicurezza calcestruzzo a compressione	1.60
Coefficiente di sicurezza calcestruzzo a trazione	1.60
Coefficiente di sicurezza acciaio	1.15
Fattore riduzione da resistenza cubica a cilindrica	0.83
Fattore di riduzione per carichi di lungo periodo	0.85
Coefficiente di sicurezza per la sezione	1.00

Impostazioni verifiche SLE

Condizioni ambientali Ordinarie

Armatura ad aderenza migliorata

Verifica fessurazioneSensibilità delle armature Sensibile
Valori limite delle aperture delle fessure $w_1 = 0.20$

PV_D_SR_AP_MU_3_F_005-001_N_001_R_A_0

Muro MU.3F.05.N – Relazione di Calcolo

	$w_2 = 0.30$
	$w_3 = 0.40$
Metodo di calcolo aperture delle fessure	Circ. Min. 252 (15/10/1996)
<u>Verifica delle tensioni</u>	
Combinazione di carico	Rara $\sigma_c < 0.60 f_{ck}$ - $\sigma_f < 0.80 f_{yk}$ Quasi permanente $\sigma_c < 0.45 f_{ck}$

Calcolo della portanza metodo di VesicCoefficiente correttivo su N_γ per effetti cinematici (combinazioni sismiche SLU): 1.00Coefficiente correttivo su N_γ per effetti cinematici (combinazioni sismiche SLE): 1.00**Impostazioni avanzate**

Componente verticale della spinta nel calcolo delle sollecitazioni

Influenza del terreno sulla fondazione di valle nelle verifiche e nel calcolo delle sollecitazioni

Diagramma correttivo per eccentricità negativa con aliquota di parzializzazione pari a 0.00

Analisi della spinta e verifiche

Sistema di riferimento adottato per le coordinate :

Origine in testa al muro (spigolo di monte)

Ascisse X (espresse in [m]) positive verso monte

Ordinate Y (espresse in [m]) positive verso l'alto

Le forze orizzontali sono considerate positive se agenti da monte verso valle

Le forze verticali sono considerate positive se agenti dall'alto verso il basso

Calcolo riferito ad 1 metro di muro

Tipo di analisi

Calcolo della spinta	metodo di Culmann
Calcolo del carico limite	metodo di Vesic
Calcolo della stabilità globale	metodo di Bishop
Calcolo della spinta in condizioni di	Spinta attiva

Sisma**Combinazioni SLU**

Accelerazione al suolo a_g	3.20 [m/s ²]
Coefficiente di amplificazione per tipo di sottosuolo (S)	1.09
Coefficiente di amplificazione topografica (St)	1.00
Coefficiente riduzione (β_m)	0.31
Rapporto intensità sismica verticale/orizzontale	0.50
Coefficiente di intensità sismica orizzontale (percento)	$k_h = (a_g/g * \beta_m * St * S) = 11.00$
Coefficiente di intensità sismica verticale (percento)	$k_v = 0.50 * k_h = 5.50$

Combinazioni SLE

Accelerazione al suolo a_g	1.31 [m/s ²]
Coefficiente di amplificazione per tipo di sottosuolo (S)	1.20
Coefficiente di amplificazione topografica (St)	1.00
Coefficiente riduzione (β_m)	0.24
Rapporto intensità sismica verticale/orizzontale	0.50
Coefficiente di intensità sismica orizzontale (percento)	$k_h = (a_g/g * \beta_m * St * S) = 3.86$
Coefficiente di intensità sismica verticale (percento)	$k_v = 0.50 * k_h = 1.93$

Forma diagramma incremento sismico Stessa forma diagramma statico

Partecipazione spinta passiva (percento) 50.0

Lunghezza del muro 9.60 [m]

Muro MU.3F.05.N – Relazione di Calcolo

Peso muro 489.5000 [kN]
 Baricentro del muro X=3.12 Y=-5.89

Superficie di spinta

Punto inferiore superficie di spinta X = 8.35 Y = -7.30
 Punto superiore superficie di spinta X = 8.35 Y = 4.21
 Altezza della superficie di spinta 11.51 [m]
 Inclinazione superficie di spinta (rispetto alla verticale) 0.00 [°]

COMBINAZIONE n° 1**Peso muro favorevole e Peso terrapieno favorevole**

Valore della spinta statica 375.9708 [kN]
 Componente orizzontale della spinta statica 301.3158 [kN]
 Componente verticale della spinta statica 224.8618 [kN]
 Punto d'applicazione della spinta X = 8.35 [m] Y = -3.03 [m]
 Inclinaz. della spinta rispetto alla normale alla superficie 36.73 [°]
 Inclinazione linea di rottura in condizioni statiche 58.94 [°]

Peso terrapieno gravante sulla fondazione a monte 1152.3226 [kN]
 Baricentro terrapieno gravante sulla fondazione a monte X = 4.62 [m] Y = -1.74 [m]

Risultanti

Risultante dei carichi applicati in dir. orizzontale 301.3158 [kN]
 Risultante dei carichi applicati in dir. verticale 1872.6844 [kN]
 Resistenza passiva a valle del muro -132.4486 [kN]
 Sforzo normale sul piano di posa della fondazione 1872.6844 [kN]
 Sforzo tangenziale sul piano di posa della fondazione 301.3158 [kN]
 Eccentricità rispetto al baricentro della fondazione -0.30 [m]
 Lunghezza fondazione reagente 9.35 [m]
 Risultante in fondazione 1896.7704 [kN]
 Inclinazione della risultante (rispetto alla normale) 9.14 [°]
 Momento rispetto al baricentro della fondazione -559.3296 [kNm]
 Carico ultimo della fondazione 80637.2447 [kN]

Sollecitazioni paramentoCombinazione n° 1

L'ordinata Y (espressa in m) è considerata positiva verso il basso con origine in testa al muro

Momento positivo se tende le fibre contro terra (a monte), espresso in kNm

Sforzo normale positivo di compressione, espresso in kN

Taglio positivo se diretto da monte verso valle, espresso in kN

Nr.	Y	N	M	T
1	0.00	0.0000	0.0000	0.0000
2	0.28	3.4764	-0.0083	0.0774
3	0.55	9.4485	-0.2512	5.1242
4	0.83	25.8640	1.2891	30.9656
5	1.10	36.8221	10.6333	45.9404
6	1.38	40.2596	23.2669	45.9404
7	1.65	43.7065	35.8988	45.9591
8	1.93	47.2910	48.5289	46.2517
9	2.20	51.3350	61.2301	47.4594
10	2.48	56.0954	74.2826	50.0936
11	2.75	61.2783	88.0823	53.5688
12	3.03	66.9516	102.8516	58.0208
13	3.30	72.8153	118.8590	62.8516
14	3.58	79.0275	136.1834	68.3767
15	3.85	85.7927	155.0414	75.0026
16	4.13	92.9987	175.7477	82.5064
17	4.40	100.2580	198.5279	90.1162

Muro MU.3F.05.N – Relazione di Calcolo

18	4.68	107.7464	223.3852	98.1821
19	4.95	115.6852	250.4722	107.1449
20	5.23	123.9646	280.0479	116.7860
21	5.50	132.1289	312.2892	126.1978

Armature e tensioni nei materiali del muroCombinazione n° 1

L'ordinata Y (espressa in [m]) è considerata positiva verso il basso con origine in testa al muro

B	base della sezione espressa in [m]
H	altezza della sezione espressa in [m]
A _{fs}	area di armatura in corrispondenza del lembo di monte in [mq]
A _{fi}	area di armatura in corrispondenza del lembo di valle in [mq]
N _u	sforzo normale ultimo espresso in [kN]
M _u	momento ultimo espresso in [kNm]
CS	coefficiente sicurezza sezione
VRcd	Aliquota di taglio assorbito dal cls, espresso in [kN]
VRsd	Aliquota di taglio assorbito dall'armatura, espresso in [kN]
VRd	Resistenza al taglio, espresso in [kN]

Nr.	Y	B, H	A _{fs}	A _{fi}	N _u	M _u	CS	V _{Rd}	V _{Rcd}	V _{Rsd}
1	0.00	1.00, 0.500	0.0036600	0.001005	0.00	0.00	1000.00	246.38	--	--
2	0.28	1.00, 0.500	0.0036600	0.001005	7981.34	19.05	2295.89	187.92	--	--
3	0.55	1.00, 0.500	0.0036600	0.001005	7812.37	207.68	826.84	188.74	--	--
4	0.83	1.00, 0.500	0.0036600	0.001005	6665.43	-332.21	257.71	249.95	--	--
5	1.10	1.00, 0.500	0.0036600	0.001005	2875.82	-830.46	78.10	251.46	--	--
6	1.38	1.00, 0.500	0.0036600	0.001005	1366.36	-789.65	33.94	251.93	--	--
7	1.65	1.00, 0.500	0.0036600	0.001005	897.14	-736.88	20.53	252.41	--	--
8	1.93	1.00, 0.500	0.0036600	0.001005	687.77	-705.77	14.54	252.90	--	--
9	2.20	1.00, 0.500	0.0036600	0.001005	578.05	-689.47	11.26	253.46	--	--
10	2.48	1.00, 0.500	0.0036600	0.001005	513.41	-679.86	9.15	254.12	--	--
11	2.75	1.00, 0.500	0.0036600	0.001005	468.32	-673.16	7.64	254.84	--	--
12	3.03	1.00, 0.500	0.0036600	0.001005	434.97	-668.21	6.50	255.62	--	--
13	3.30	1.00, 0.500	0.0036600	0.001005	406.79	-664.02	5.59	256.43	--	--
14	3.58	1.00, 0.500	0.0036600	0.001005	383.31	-660.53	4.85	257.28	--	--
15	3.85	1.00, 0.500	0.0036600	0.001005	363.91	-657.65	4.24	258.22	--	--
16	4.13	1.00, 0.500	0.0036600	0.001005	346.65	-655.09	3.73	259.21	--	--
17	4.40	1.00, 0.500	0.0036600	0.001005	329.54	-652.54	3.29	260.21	--	--
18	4.68	1.00, 0.500	0.0036600	0.001005	313.60	-650.18	2.91	261.25	--	--
19	4.95	1.00, 0.500	0.0036600	0.001005	299.32	-648.05	2.59	262.34	--	--
20	5.23	1.00, 0.500	0.0036600	0.001005	285.99	-646.07	2.31	263.49	--	--
21	5.50	1.00, 0.500	0.0036600	0.001005	272.50	-644.07	2.06	264.61	--	--

COMBINAZIONE n° 2

Valore della spinta statica	360.2661	[kN]		
Componente orizzontale della spinta statica	309.0765	[kN]		
Componente verticale della spinta statica	185.1037	[kN]		
Punto d'applicazione della spinta	X = 8.35	[m]	Y = -3.06	[m]
Inclinaz. della spinta rispetto alla normale alla superficie	30.92	[°]		
Inclinazione linea di rottura in condizioni statiche	55.63	[°]		
Peso terrapieno gravante sulla fondazione a monte	1152.3226	[kN]		
Baricentro terrapieno gravante sulla fondazione a monte	X = 4.62	[m]	Y = -1.74	[m]

Risultanti

Risultante dei carichi applicati in dir. orizzontale	309.0765	[kN]
Risultante dei carichi applicati in dir. verticale	1832.9263	[kN]
Resistenza passiva a valle del muro	-101.3251	[kN]
Sforzo normale sul piano di posa della fondazione	1832.9263	[kN]
Sforzo tangenziale sul piano di posa della fondazione	309.0765	[kN]
Eccentricità rispetto al baricentro della fondazione	-0.19	[m]
Lunghezza fondazione reagente	9.35	[m]
PV_D_SR_AP_MU_3_F_005-001_N_001_R_A_0		

Muro MU.3F.05.N – Relazione di Calcolo

Risultante in fondazione	1858.8026	[kN]
Inclinazione della risultante (rispetto alla normale)	9.57	[°]
Momento rispetto al baricentro della fondazione	-348.8673	[kNm]
Carico ultimo della fondazione	31832.5526	[kN]

Sollecitazioni paramento

Combinazione n° 2

L'ordinata Y (espressa in m) è considerata positiva verso il basso con origine in testa al muro

Momento positivo se tende le fibre contro terra (a monte), espresso in kNm

Sforzo normale positivo di compressione, espresso in kN

Taglio positivo se diretto da monte verso valle, espresso in kN

Nr.	Y	N	M	T
1	0.00	0.0000	0.0000	0.0000
2	0.28	3.5339	-0.0197	0.2399
3	0.55	10.6727	0.0306	9.4523
4	0.83	23.5062	3.4976	32.8386
5	1.10	31.2955	13.4114	43.6699
6	1.38	34.9505	25.4158	44.2114
7	1.65	39.0480	37.6125	45.8541
8	1.93	43.4199	50.2961	48.1797
9	2.20	48.0703	63.6346	51.1984
10	2.48	53.1232	77.8417	55.2193
11	2.75	58.4271	93.1859	59.8646
12	3.03	64.0187	109.8356	65.2260
13	3.30	69.7413	127.9777	70.9135
14	3.58	75.6784	147.6907	77.1350
15	3.85	81.9375	169.1451	84.1578
16	4.13	88.4599	192.5652	91.8360
17	4.40	95.0418	218.1084	99.6623
18	4.68	101.7753	245.8039	107.8659
19	4.95	108.7765	275.7807	116.7357
20	5.23	115.9872	308.2265	126.1270
21	5.50	123.1624	343.2636	135.4301

Armature e tensioni nei materiali del muro

Combinazione n° 2

L'ordinata Y (espressa in [m]) è considerata positiva verso il basso con origine in testa al muro

B base della sezione espressa in [m]

H altezza della sezione espressa in [m]

A_{fs} area di armatura in corrispondenza del lembo di monte in [mq]

A_{fi} area di armatura in corrispondenza del lembo di valle in [mq]

N_u sforzo normale ultimo espresso in [kN]

M_u momento ultimo espresso in [kNm]

CS coefficiente sicurezza sezione

V_{Rcd} Aliquota di taglio assorbito dal cls, espresso in [kN]

V_{Rsd} Aliquota di taglio assorbito dall'armatura, espresso in [kN]

VRd Resistenza al taglio, espresso in [kN]

Nr.	Y	B, H	A _{fs}	A _{fi}	N _u	M _u	CS	V _{Rd}	V _{Rcd}	V _{Rsd}
1	0.00	1.00, 0.500	0.0036600	0.001005	0.00	0.00	1000.00	246.38	--	--
2	0.28	1.00, 0.500	0.0036600	0.001005	7958.66	44.37	2252.09	187.92	--	--
3	0.55	1.00, 0.500	0.0036600	0.001005	7934.55	-22.74	743.44	247.85	--	--
4	0.83	1.00, 0.500	0.0036600	0.001005	4412.24	-656.51	187.71	249.62	--	--
5	1.10	1.00, 0.500	0.0036600	0.001005	1937.33	-830.23	61.90	250.70	--	--
6	1.38	1.00, 0.500	0.0036600	0.001005	1043.15	-758.57	29.85	251.20	--	--
7	1.65	1.00, 0.500	0.0036600	0.001005	740.90	-713.66	18.97	251.77	--	--
8	1.93	1.00, 0.500	0.0036600	0.001005	597.73	-692.39	13.77	252.37	--	--
9	2.20	1.00, 0.500	0.0036600	0.001005	513.60	-679.89	10.68	253.01	--	--
10	2.48	1.00, 0.500	0.0036600	0.001005	458.40	-671.69	8.63	253.71	--	--
11	2.75	1.00, 0.500	0.0036600	0.001005	417.32	-665.59	7.14	254.44	--	--

PV_D_SR_AP_MU_3_F_005-_001_N_001_R_A_0

Muro MU.3F.05.N – Relazione di Calcolo

12	3.03	1.00, 0.500.0036600.001005	385.16	-660.81	6.02	255.21	--	--
13	3.30	1.00, 0.500.0036600.001005	357.90	-656.76	5.13	256.00	--	--
14	3.58	1.00, 0.500.0036600.001005	334.77	-653.32	4.42	256.82	--	--
15	3.85	1.00, 0.500.0036600.001005	315.06	-650.39	3.85	257.69	--	--
16	4.13	1.00, 0.500.0036600.001005	297.58	-647.80	3.36	258.59	--	--
17	4.40	1.00, 0.500.0036600.001005	281.22	-645.37	2.96	259.49	--	--
18	4.68	1.00, 0.500.0036600.001005	266.30	-643.15	2.62	260.42	--	--
19	4.95	1.00, 0.500.0036600.001005	252.89	-641.16	2.32	261.39	--	--
20	5.23	1.00, 0.500.0036600.001005	240.58	-639.33	2.07	262.39	--	--
21	5.50	1.00, 0.500.0036600.001005	228.76	-637.57	1.86	263.38	--	--

COMBINAZIONE n° 3

Valore della spinta statica	397.4574	[kN]		
Componente orizzontale della spinta statica	340.9574	[kN]		
Componente verticale della spinta statica	204.2557	[kN]		
Punto d'applicazione della spinta	X = 8.35	[m]	Y = -3.06	[m]
Inclinaz. della spinta rispetto alla normale alla superficie	30.92	[°]		
Inclinazione linea di rottura in condizioni statiche	55.63	[°]		
Peso terrapieno gravante sulla fondazione a monte	1037.0903	[kN]		
Baricentro terrapieno gravante sulla fondazione a monte	X = 4.62	[m]	Y = -1.74	[m]

Risultanti

Risultante dei carichi applicati in dir. orizzontale	340.9574	[kN]
Risultante dei carichi applicati in dir. verticale	1687.2960	[kN]
Resistenza passiva a valle del muro	-91.1926	[kN]
Momento ribaltante rispetto allo spigolo a valle	1446.1438	[kNm]
Momento stabilizzante rispetto allo spigolo a valle	9558.4767	[kNm]
Sforzo normale sul piano di posa della fondazione	1687.2960	[kN]
Sforzo tangenziale sul piano di posa della fondazione	340.9574	[kN]
Eccentricità rispetto al baricentro della fondazione	-0.13	[m]
Lunghezza fondazione reagente	9.35	[m]
Risultante in fondazione	1721.4006	[kN]
Inclinazione della risultante (rispetto alla normale)	11.42	[°]
Momento rispetto al baricentro della fondazione	-224.2240	[kNm]

COMBINAZIONE n° 5**Peso muro favorevole e Peso terrapieno favorevole**

Valore della spinta statica	375.9708	[kN]		
Componente orizzontale della spinta statica	301.3158	[kN]		
Componente verticale della spinta statica	224.8618	[kN]		
Punto d'applicazione della spinta	X = 8.35	[m]	Y = -3.03	[m]
Inclinaz. della spinta rispetto alla normale alla superficie	36.73	[°]		
Inclinazione linea di rottura in condizioni statiche	58.94	[°]		
Peso terrapieno gravante sulla fondazione a monte	1152.3226	[kN]		
Baricentro terrapieno gravante sulla fondazione a monte	X = 4.62	[m]	Y = -1.74	[m]

Risultanti carichi esterni

Componente dir. X	4.50	[kN]
-------------------	------	------

Risultanti

Risultante dei carichi applicati in dir. orizzontale	305.8158	[kN]
Risultante dei carichi applicati in dir. verticale	1872.6844	[kN]
Resistenza passiva a valle del muro	-132.4486	[kN]
Sforzo normale sul piano di posa della fondazione	1872.6844	[kN]
Sforzo tangenziale sul piano di posa della fondazione	305.8158	[kN]
Eccentricità rispetto al baricentro della fondazione	-0.28	[m]
Lunghezza fondazione reagente	9.35	[m]

PV_D_SR_AP_MU_3_F_005-_001_N_001_R_A_0

Muro MU.3F.05.N – Relazione di Calcolo

Risultante in fondazione	1897.4905	[kN]
Inclinazione della risultante (rispetto alla normale)	9.27	[°]
Momento rispetto al baricentro della fondazione	-517.4796	[kNm]
Carico ultimo della fondazione	80534.1699	[kN]

Sollecitazioni paramento

Combinazione n° 5

L'ordinata Y (espressa in m) è considerata positiva verso il basso con origine in testa al muro

Momento positivo se tende le fibre contro terra (a monte), espresso in kNm

Sforzo normale positivo di compressione, espresso in kN

Taglio positivo se diretto da monte verso valle, espresso in kN

Nr.	Y	N	M	T
1	0.00	0.0000	9.0000	4.5000
2	0.28	3.4764	10.2292	4.5774
3	0.55	9.4485	11.2238	9.6242
4	0.83	25.8640	14.0016	35.4656
5	1.10	36.8221	24.5833	50.4404
6	1.38	40.2596	38.4544	50.4404
7	1.65	43.7065	52.3238	50.4591
8	1.93	47.2910	66.1914	50.7517
9	2.20	51.3350	80.1301	51.9594
10	2.48	56.0954	94.4201	54.5936
11	2.75	61.2783	109.4573	58.0688
12	3.03	66.9516	125.4641	62.5208
13	3.30	72.8153	142.7090	67.3516
14	3.58	79.0275	161.2709	72.8767
15	3.85	85.7927	181.3664	79.5026
16	4.13	92.9987	203.3102	87.0064
17	4.40	100.2580	227.3279	94.6162
18	4.68	107.7464	253.4227	102.6821
19	4.95	115.6852	281.7472	111.6449
20	5.23	123.9646	312.5604	121.2860
21	5.50	132.1289	346.0392	130.6978

Armature e tensioni nei materiali del muro

Combinazione n° 5

L'ordinata Y (espressa in [m]) è considerata positiva verso il basso con origine in testa al muro

B base della sezione espressa in [m]

H altezza della sezione espressa in [m]

A_{fs} area di armatura in corrispondenza del lembo di monte in [mq]

A_{fi} area di armatura in corrispondenza del lembo di valle in [mq]

N_u sforzo normale ultimo espresso in [kN]

M_u momento ultimo espresso in [kNm]

CS coefficiente sicurezza sezione

V_{Rcd} Aliquota di taglio assorbito dal cls, espresso in [kN]

V_{Rsd} Aliquota di taglio assorbito dall'armatura, espresso in [kN]

V_{Rd} Resistenza al taglio, espresso in [kN]

Nr.	Y	B, H	A _{fs}	A _{fi}	N _u	M _u	CS	V _{Rd}	V _{Rcd}	V _{Rsd}
1	0.00	1.00, 0.500	0.0036600	0.001005	0.00	-603.58	67.06	246.38	--	--
2	0.28	1.00, 0.500	0.0036600	0.001005	216.03	-635.68	62.14	246.86	--	--
3	0.55	1.00, 0.500	0.0036600	0.001005	580.75	-689.87	61.46	247.68	--	--
4	0.83	1.00, 0.500	0.0036600	0.001005	1477.57	-799.89	57.13	249.95	--	--
5	1.10	1.00, 0.500	0.0036600	0.001005	1153.41	-770.04	31.32	251.46	--	--
6	1.38	1.00, 0.500	0.0036600	0.001005	748.32	-714.77	18.59	251.93	--	--
7	1.65	1.00, 0.500	0.0036600	0.001005	575.62	-689.11	13.17	252.41	--	--
8	1.93	1.00, 0.500	0.0036600	0.001005	482.45	-675.26	10.20	252.90	--	--
9	2.20	1.00, 0.500	0.0036600	0.001005	427.36	-667.08	8.32	253.46	--	--
10	2.48	1.00, 0.500	0.0036600	0.001005	393.31	-662.02	7.01	254.12	--	--
11	2.75	1.00, 0.500	0.0036600	0.001005	368.56	-658.34	6.01	254.84	--	--

PV_D_SR_AP_MU_3_F_005-_001_N_001_R_A_0

Muro MU.3F.05.N – Relazione di Calcolo

12	3.03	1.00, 0.500.0036600.001005	349.83	-655.56	5.23	255.62	--	--
13	3.30	1.00, 0.500.0036600.001005	333.23	-653.09	4.58	256.43	--	--
14	3.58	1.00, 0.500.0036600.001005	319.00	-650.98	4.04	257.28	--	--
15	3.85	1.00, 0.500.0036600.001005	307.10	-649.21	3.58	258.22	--	--
16	4.13	1.00, 0.500.0036600.001005	296.22	-647.60	3.19	259.21	--	--
17	4.40	1.00, 0.500.0036600.001005	284.86	-645.91	2.84	260.21	--	--
18	4.68	1.00, 0.500.0036600.001005	273.93	-644.28	2.54	261.25	--	--
19	4.95	1.00, 0.500.0036600.001005	263.93	-642.80	2.28	262.34	--	--
20	5.23	1.00, 0.500.0036600.001005	254.38	-641.38	2.05	263.49	--	--
21	5.50	1.00, 0.500.0036600.001005	244.33	-639.88	1.85	264.61	--	--

COMBINAZIONE n° 6

Valore della spinta statica	360.2661	[kN]		
Componente orizzontale della spinta statica	309.0765	[kN]		
Componente verticale della spinta statica	185.1037	[kN]		
Punto d'applicazione della spinta	X = 8.35	[m]	Y = -3.06	[m]
Inclinaz. della spinta rispetto alla normale alla superficie	30.92	[°]		
Inclinazione linea di rottura in condizioni statiche	55.63	[°]		

Peso terrapieno gravante sulla fondazione a monte	1152.3226	[kN]		
Baricentro terrapieno gravante sulla fondazione a monte	X = 4.62	[m]	Y = -1.74	[m]

Risultanti carichi esterni

Componente dir. X	3.90	[kN]		
-------------------	------	------	--	--

Risultanti

Risultante dei carichi applicati in dir. orizzontale	312.9765	[kN]		
Risultante dei carichi applicati in dir. verticale	1832.9263	[kN]		
Resistenza passiva a valle del muro	-101.3251	[kN]		
Sforzo normale sul piano di posa della fondazione	1832.9263	[kN]		
Sforzo tangenziale sul piano di posa della fondazione	312.9765	[kN]		
Eccentricità rispetto al baricentro della fondazione	-0.17	[m]		
Lunghezza fondazione reagente	9.35	[m]		
Risultante in fondazione	1859.4551	[kN]		
Inclinazione della risultante (rispetto alla normale)	9.69	[°]		
Momento rispetto al baricentro della fondazione	-312.5973	[kNm]		
Carico ultimo della fondazione	31795.2955	[kN]		

Sollecitazioni paramentoCombinazione n° 6

L'ordinata Y (espressa in m) è considerata positiva verso il basso con origine in testa al muro

Momento positivo se tende le fibre contro terra (a monte), espresso in kNm

Sforzo normale positivo di compressione, espresso in kN

Taglio positivo se diretto da monte verso valle, espresso in kN

Nr.	Y	N	M	T
1	0.00	0.0000	7.8000	3.9000
2	0.28	3.5339	8.8528	4.1399
3	0.55	10.6727	9.9756	13.3523
4	0.83	23.5062	14.5151	36.7386
5	1.10	31.2955	25.5014	47.5699
6	1.38	34.9505	38.5783	48.1114
7	1.65	39.0480	51.8475	49.7541
8	1.93	43.4199	65.6036	52.0797
9	2.20	48.0703	80.0146	55.0984
10	2.48	53.1232	95.2942	59.1193
11	2.75	58.4271	111.7109	63.7646
12	3.03	64.0187	129.4331	69.1260
13	3.30	69.7413	148.6477	74.8135

Muro MU.3F.05.N – Relazione di Calcolo

14	3.58	75.6784	169.4332	81.0350
15	3.85	81.9375	191.9601	88.0578
16	4.13	88.4599	216.4527	95.7360
17	4.40	95.0418	243.0684	103.5623
18	4.68	101.7753	271.8364	111.7659
19	4.95	108.7765	302.8857	120.6357
20	5.23	115.9872	336.4040	130.0270
21	5.50	123.1624	372.5136	139.3301

Armature e tensioni nei materiali del muro

Combinazione n° 6

L'ordinata Y (espressa in [m]) è considerata positiva verso il basso con origine in testa al muro

B	base della sezione espressa in [m]
H	altezza della sezione espressa in [m]
A _{fs}	area di armatura in corrispondenza del lembo di monte in [mq]
A _{fi}	area di armatura in corrispondenza del lembo di valle in [mq]
N _u	sforzo normale ultimo espresso in [kN]
M _u	momento ultimo espresso in [kNm]
CS	coefficiente sicurezza sezione
VRcd	Aliquota di taglio assorbito dal cls, espresso in [kN]
VRsd	Aliquota di taglio assorbito dall'armatura, espresso in [kN]
VRd	Resistenza al taglio, espresso in [kN]

Nr.	Y	B, H	A _{fs}	A _{fi}	N _u	M _u	CS	V _{Rd}	V _{Rcd}	V _{Rsd}
1	0.00	1.00, 0.500	0.0036600	0.001005	0.00	-603.58	77.38	246.38	--	--
2	0.28	1.00, 0.500	0.0036600	0.001005	256.13	-641.64	72.48	246.87	--	--
3	0.55	1.00, 0.500	0.0036600	0.001005	767.81	-717.66	71.94	247.85	--	--
4	0.83	1.00, 0.500	0.0036600	0.001005	1263.44	-780.17	53.75	249.62	--	--
5	1.10	1.00, 0.500	0.0036600	0.001005	905.90	-738.18	28.95	250.70	--	--
6	1.38	1.00, 0.500	0.0036600	0.001005	631.88	-697.47	18.08	251.20	--	--
7	1.65	1.00, 0.500	0.0036600	0.001005	511.85	-679.63	13.11	251.77	--	--
8	1.93	1.00, 0.500	0.0036600	0.001005	443.05	-669.41	10.20	252.37	--	--
9	2.20	1.00, 0.500	0.0036600	0.001005	398.15	-662.74	8.28	253.01	--	--
10	2.48	1.00, 0.500	0.0036600	0.001005	366.86	-658.09	6.91	253.71	--	--
11	2.75	1.00, 0.500	0.0036600	0.001005	342.28	-654.44	5.86	254.44	--	--
12	3.03	1.00, 0.500	0.0036600	0.001005	322.22	-651.46	5.03	255.21	--	--
13	3.30	1.00, 0.500	0.0036600	0.001005	304.40	-648.81	4.36	256.00	--	--
14	3.58	1.00, 0.500	0.0036600	0.001005	288.76	-646.49	3.82	256.82	--	--
15	3.85	1.00, 0.500	0.0036600	0.001005	275.08	-644.45	3.36	257.69	--	--
16	4.13	1.00, 0.500	0.0036600	0.001005	262.62	-642.60	2.97	258.59	--	--
17	4.40	1.00, 0.500	0.0036600	0.001005	250.56	-640.81	2.64	259.49	--	--
18	4.68	1.00, 0.500	0.0036600	0.001005	239.29	-639.14	2.35	260.42	--	--
19	4.95	1.00, 0.500	0.0036600	0.001005	228.99	-637.60	2.11	261.39	--	--
20	5.23	1.00, 0.500	0.0036600	0.001005	219.34	-636.17	1.89	262.39	--	--
21	5.50	1.00, 0.500	0.0036600	0.001005	209.87	-634.76	1.70	263.38	--	--

COMBINAZIONE n° 7

Valore della spinta statica	397.4574	[kN]		
Componente orizzontale della spinta statica	340.9574	[kN]		
Componente verticale della spinta statica	204.2557	[kN]		
Punto d'applicazione della spinta	X = 8.35	[m]	Y = -3.06	[m]
Inclinaz. della spinta rispetto alla normale alla superficie	30.92	[°]		
Inclinazione linea di rottura in condizioni statiche	55.63	[°]		
Peso terrapieno gravante sulla fondazione a monte	1037.0903	[kN]		
Baricentro terrapieno gravante sulla fondazione a monte	X = 4.62	[m]	Y = -1.74	[m]

Risultanti carichi esterni

Componente dir. X	4.50	[kN]
-------------------	------	------

Risultanti

PV_D_SR_AP_MU_3_F_005-_001_N_001_R_A_0

Muro MU.3F.05.N – Relazione di Calcolo

Risultante dei carichi applicati in dir. orizzontale	345.4574	[kN]
Risultante dei carichi applicati in dir. verticale	1687.2960	[kN]
Resistenza passiva a valle del muro	-91.1926	[kN]
Momento ribaltante rispetto allo spigolo a valle	1487.9938	[kNm]
Momento stabilizzante rispetto allo spigolo a valle	9558.4767	[kNm]
Sforzo normale sul piano di posa della fondazione	1687.2960	[kN]
Sforzo tangenziale sul piano di posa della fondazione	345.4574	[kN]
Eccentricità rispetto al baricentro della fondazione	-0.11	[m]
Lunghezza fondazione reagente	9.35	[m]
Risultante in fondazione	1722.2975	[kN]
Inclinazione della risultante (rispetto alla normale)	11.57	[°]
Momento rispetto al baricentro della fondazione	-182.3740	[kNm]

COMBINAZIONE n° 9

Valore della spinta statica	286.1080	[kN]		
Componente orizzontale della spinta statica	229.3850	[kN]		
Componente verticale della spinta statica	170.9980	[kN]		
Punto d'applicazione della spinta	X = 8.35	[m]	Y = -3.02	[m]
Inclinaz. della spinta rispetto alla normale alla superficie	36.70	[°]		
Inclinazione linea di rottura in condizioni statiche	59.01	[°]		
Incremento sismico della spinta	114.3682	[kN]		
Punto d'applicazione dell'incremento sismico di spinta	X = 8.35	[m]	Y = -3.02	[m]
Inclinazione linea di rottura in condizioni sismiche	53.76	[°]		
Peso terrapieno gravante sulla fondazione a monte	1152.3226	[kN]		
Baricentro terrapieno gravante sulla fondazione a monte	X = 4.62	[m]	Y = -1.74	[m]
Inerzia del muro	53.8449	[kN]		
Inerzia verticale del muro	26.9224	[kN]		
Inerzia del terrapieno fondazione di monte	126.7552	[kN]		
Inerzia verticale del terrapieno fondazione di monte	63.3776	[kN]		

Risultanti

Risultante dei carichi applicati in dir. orizzontale	502.3390	[kN]
Risultante dei carichi applicati in dir. verticale	1977.4749	[kN]
Resistenza passiva a valle del muro	-132.4486	[kN]
Sforzo normale sul piano di posa della fondazione	1977.4749	[kN]
Sforzo tangenziale sul piano di posa della fondazione	502.3390	[kN]
Eccentricità rispetto al baricentro della fondazione	0.10	[m]
Lunghezza fondazione reagente	9.35	[m]
Risultante in fondazione	2040.2822	[kN]
Inclinazione della risultante (rispetto alla normale)	14.25	[°]
Momento rispetto al baricentro della fondazione	196.2232	[kNm]
Carico ultimo della fondazione	65007.4633	[kN]

Sollecitazioni paramentoCombinazione n° 9

L'ordinata Y (espressa in m) è considerata positiva verso il basso con origine in testa al muro

Momento positivo se tende le fibre contro terra (a monte), espresso in kNm

Sforzo normale positivo di compressione, espresso in kN

Taglio positivo se diretto da monte verso valle, espresso in kN

Nr.	Y	N	M	T
1	0.00	0.0000	0.0000	0.0000
2	0.28	3.4377	0.0520	0.3785
3	0.55	8.4128	-0.0633	3.8183
4	0.83	25.4166	1.0918	31.2092
5	1.10	37.4599	10.6679	48.7228
6	1.38	40.8974	24.1187	49.1009

PV_D_SR_AP_MU_3_F_005-_001_N_001_R_A_0

Muro MU.3F.05.N – Relazione di Calcolo

7	1.65	44.3450	37.6717	49.4991
8	1.93	47.9444	51.3260	50.1997
9	2.20	52.0671	65.1621	51.9422
10	2.48	57.0077	79.4994	55.3132
11	2.75	62.4299	94.7898	59.6432
12	3.03	68.4117	111.2867	65.0873
13	3.30	74.6098	129.2966	70.9624
14	3.58	81.2057	148.9088	77.6293
15	3.85	88.4326	170.3708	85.5527
16	4.13	96.1624	194.0415	94.4776
17	4.40	103.9527	220.1785	103.5228
18	4.68	112.0043	248.7850	113.0884
19	4.95	120.5697	280.0353	123.6771
20	5.23	129.5237	314.2248	135.0393
21	5.50	138.3465	351.5552	146.1405

Armature e tensioni nei materiali del muro

Combinazione n° 9

L'ordinata Y (espressa in [m]) è considerata positiva verso il basso con origine in testa al muro

B	base della sezione espressa in [m]
H	altezza della sezione espressa in [m]
A _{fs}	area di armatura in corrispondenza del lembo di monte in [mq]
A _{fi}	area di armatura in corrispondenza del lembo di valle in [mq]
N _u	sforzo normale ultimo espresso in [kN]
M _u	momento ultimo espresso in [kNm]
CS	coefficiente sicurezza sezione
V _{Rcd}	Aliquota di taglio assorbito dal cls, espresso in [kN]
V _{Rsd}	Aliquota di taglio assorbito dall'armatura, espresso in [kN]
VRd	Resistenza al taglio, espresso in [kN]

Nr.	Y	B, H	A _{fs}	A _{fi}	N _u	M _u	CS	V _{Rd}	V _{Rcd}	V _{Rsd}
1	0.00	1.00, 0.500	0.0036600	0.001005	0.00	0.00	1000.00	246.38	--	--
2	0.28	1.00, 0.500	0.0036600	0.001005	7672.70	-115.96	2231.95	246.85	--	--
3	0.55	1.00, 0.500	0.0036600	0.001005	7944.84	59.80	944.37	188.60	--	--
4	0.83	1.00, 0.500	0.0036600	0.001005	6878.59	-295.48	270.63	249.89	--	--
5	1.10	1.00, 0.500	0.0036600	0.001005	2905.25	-827.37	77.56	251.55	--	--
6	1.38	1.00, 0.500	0.0036600	0.001005	1333.92	-786.66	32.62	252.02	--	--
7	1.65	1.00, 0.500	0.0036600	0.001005	861.11	-731.52	19.42	252.50	--	--
8	1.93	1.00, 0.500	0.0036600	0.001005	654.68	-700.85	13.65	253.00	--	--
9	2.20	1.00, 0.500	0.0036600	0.001005	547.26	-684.89	10.51	253.56	--	--
10	2.48	1.00, 0.500	0.0036600	0.001005	484.43	-675.56	8.50	254.25	--	--
11	2.75	1.00, 0.500	0.0036600	0.001005	440.65	-669.05	7.06	254.99	--	--
12	3.03	1.00, 0.500	0.0036600	0.001005	408.34	-664.25	5.97	255.82	--	--
13	3.30	1.00, 0.500	0.0036600	0.001005	380.96	-660.18	5.11	256.67	--	--
14	3.58	1.00, 0.500	0.0036600	0.001005	358.18	-656.80	4.41	257.59	--	--
15	3.85	1.00, 0.500	0.0036600	0.001005	339.48	-654.02	3.84	258.58	--	--
16	4.13	1.00, 0.500	0.0036600	0.001005	322.90	-651.56	3.36	259.65	--	--
17	4.40	1.00, 0.500	0.0036600	0.001005	306.47	-649.12	2.95	260.72	--	--
18	4.68	1.00, 0.500	0.0036600	0.001005	291.22	-646.85	2.60	261.84	--	--
19	4.95	1.00, 0.500	0.0036600	0.001005	277.63	-644.83	2.30	263.02	--	--
20	5.23	1.00, 0.500	0.0036600	0.001005	265.03	-642.96	2.05	264.25	--	--
21	5.50	1.00, 0.500	0.0036600	0.001005	252.28	-641.07	1.82	265.47	--	--

COMBINAZIONE n° 10

Valore della spinta statica	286.1080	[kN]		
Componente orizzontale della spinta statica	229.3850	[kN]		
Componente verticale della spinta statica	170.9980	[kN]		
Punto d'applicazione della spinta	X = 8.35	[m]	Y = -3.02	[m]
Inclinaz. della spinta rispetto alla normale alla superficie	36.70	[°]		
Inclinazione linea di rottura in condizioni statiche	59.01	[°]		

PV_D_SR_AP_MU_3_F_005-_001_N_001_R_A_0

Muro MU.3F.05.N – Relazione di Calcolo

Incremento sismico della spinta	82.8775	[kN]		
Punto d'applicazione dell'incremento sismico di spinta	X = 8.35	[m]	Y = -3.02	[m]
Inclinazione linea di rottura in condizioni sismiche	53.13	[°]		
Peso terrapieno gravante sulla fondazione a monte	1152.3226	[kN]		
Baricentro terrapieno gravante sulla fondazione a monte	X = 4.62	[m]	Y = -1.74	[m]
Inerzia del muro	53.8449	[kN]		
Inerzia verticale del muro	-26.9224	[kN]		
Inerzia del terrapieno fondazione di monte	126.7552	[kN]		
Inerzia verticale del terrapieno fondazione di monte	-63.3776	[kN]		

Risultanti

Risultante dei carichi applicati in dir. orizzontale	477.0915	[kN]		
Risultante dei carichi applicati in dir. verticale	1778.0538	[kN]		
Resistenza passiva a valle del muro	-132.4486	[kN]		
Sforzo normale sul piano di posa della fondazione	1778.0538	[kN]		
Sforzo tangenziale sul piano di posa della fondazione	477.0915	[kN]		
Eccentricità rispetto al baricentro della fondazione	0.15	[m]		
Lunghezza fondazione reagente	9.35	[m]		
Risultante in fondazione	1840.9486	[kN]		
Inclinazione della risultante (rispetto alla normale)	15.02	[°]		
Momento rispetto al baricentro della fondazione	266.5845	[kNm]		
Carico ultimo della fondazione	61613.4795	[kN]		

Sollecitazioni paramentoCombinazione n° 10

L'ordinata Y (espressa in m) è considerata positiva verso il basso con origine in testa al muro

Momento positivo se tende le fibre contro terra (a monte), espresso in kNm

Sforzo normale positivo di compressione, espresso in kN

Taglio positivo se diretto da monte verso valle, espresso in kN

Nr.	Y	N	M	T
1	0.00	0.0000	0.0000	0.0000
2	0.28	3.4377	0.0520	0.3784
3	0.55	8.2804	-0.0400	3.5547
4	0.83	24.1163	1.0381	28.6200
5	1.10	35.4187	9.8211	44.6584
6	1.38	38.8562	22.1542	45.0365
7	1.65	42.3029	34.5896	45.4330
8	1.93	45.8884	47.1266	46.1058
9	2.20	49.9521	59.8387	47.7308
10	2.48	54.7633	73.0177	50.8442
11	2.75	60.0146	87.0768	54.8340
12	3.03	65.7773	102.2475	59.8420
13	3.30	71.7378	118.8098	65.2438
14	3.58	78.0618	136.8455	71.3693
15	3.85	84.9624	156.5807	78.6431
16	4.13	92.3227	178.3434	86.8322
17	4.40	99.7383	202.3689	95.1313
18	4.68	107.3927	228.6604	103.9059
19	4.95	115.5166	257.3770	113.6155
20	5.23	123.9956	288.7887	124.0321
21	5.50	132.3548	323.0798	134.2101

Armature e tensioni nei materiali del muroCombinazione n° 10

L'ordinata Y (espressa in [m]) è considerata positiva verso il basso con origine in testa al muro

B base della sezione espressa in [m]

H altezza della sezione espressa in [m]

A_{fs} area di armatura in corrispondenza del lembo di monte in [mq]

PV_D_SR_AP_MU_3_F_005-_001_N_001_R_A_0

Muro MU.3F.05.N – Relazione di Calcolo

A_{fi}	area di armatura in corrispondenza del lembo di valle in [mq]
N_u	sforzo normale ultimo espresso in [kN]
M_u	momento ultimo espresso in [kNm]
CS	coefficiente sicurezza sezione
VRcd	Aliquota di taglio assorbito dal cls, espresso in [kN]
VRsd	Aliquota di taglio assorbito dall'armatura, espresso in [kN]
VRd	Resistenza al taglio, espresso in [kN]

Nr.	Y	B, H	A_{fs}	A_{fi}	N_u	M_u	CS	V_{Rd}	V_{Rcd}	V_{Rsd}
1	0.00	1.00, 0.500	0.0036600	0.001005	0.00	0.00	1000.00	246.38	--	--
2	0.28	1.00, 0.500	0.0036600	0.001005	7672.68	-115.97	2231.95	246.85	--	--
3	0.55	1.00, 0.500	0.0036600	0.001005	7963.97	38.43	961.78	188.58	--	--
4	0.83	1.00, 0.500	0.0036600	0.001005	6875.74	-295.97	285.11	249.71	--	--
5	1.10	1.00, 0.500	0.0036600	0.001005	2962.20	-821.38	83.63	251.27	--	--
6	1.38	1.00, 0.500	0.0036600	0.001005	1388.54	-791.69	35.74	251.74	--	--
7	1.65	1.00, 0.500	0.0036600	0.001005	902.10	-737.61	21.32	252.22	--	--
8	1.93	1.00, 0.500	0.0036600	0.001005	687.13	-705.68	14.97	252.71	--	--
9	2.20	1.00, 0.500	0.0036600	0.001005	575.20	-689.04	11.52	253.27	--	--
10	2.48	1.00, 0.500	0.0036600	0.001005	509.46	-679.28	9.30	253.94	--	--
11	2.75	1.00, 0.500	0.0036600	0.001005	463.46	-672.44	7.72	254.66	--	--
12	3.03	1.00, 0.500	0.0036600	0.001005	429.33	-667.37	6.53	255.46	--	--
13	3.30	1.00, 0.500	0.0036600	0.001005	400.36	-663.07	5.58	256.28	--	--
14	3.58	1.00, 0.500	0.0036600	0.001005	376.19	-659.48	4.82	257.15	--	--
15	3.85	1.00, 0.500	0.0036600	0.001005	356.23	-656.51	4.19	258.10	--	--
16	4.13	1.00, 0.500	0.0036600	0.001005	338.49	-653.87	3.67	259.12	--	--
17	4.40	1.00, 0.500	0.0036600	0.001005	320.98	-651.27	3.22	260.14	--	--
18	4.68	1.00, 0.500	0.0036600	0.001005	304.74	-648.86	2.84	261.20	--	--
19	4.95	1.00, 0.500	0.0036600	0.001005	290.26	-646.71	2.51	262.32	--	--
20	5.23	1.00, 0.500	0.0036600	0.001005	276.82	-644.71	2.23	263.49	--	--
21	5.50	1.00, 0.500	0.0036600	0.001005	263.29	-642.70	1.99	264.64	--	--

COMBINAZIONE n° 11

Valore della spinta statica	360.2661	[kN]		
Componente orizzontale della spinta statica	309.0765	[kN]		
Componente verticale della spinta statica	185.1037	[kN]		
Punto d'applicazione della spinta	X = 8.35	[m]	Y = -3.06	[m]
Inclinaz. della spinta rispetto alla normale alla superficie	30.92	[°]		
Inclinazione linea di rottura in condizioni statiche	55.63	[°]		
Incremento sismico della spinta	128.1713	[kN]		
Punto d'applicazione dell'incremento sismico di spinta	X = 8.35	[m]	Y = -3.06	[m]
Inclinazione linea di rottura in condizioni sismiche	50.00	[°]		
Peso terrapieno gravante sulla fondazione a monte	1152.3226	[kN]		
Baricentro terrapieno gravante sulla fondazione a monte	X = 4.62	[m]	Y = -1.74	[m]
Inerzia del muro	53.8449	[kN]		
Inerzia verticale del muro	26.9224	[kN]		
Inerzia del terrapieno fondazione di monte	126.7552	[kN]		
Inerzia verticale del terrapieno fondazione di monte	63.3776	[kN]		

Risultanti

Risultante dei carichi applicati in dir. orizzontale	600.2962	[kN]
Risultante dei carichi applicati in dir. verticale	1989.0804	[kN]
Resistenza passiva a valle del muro	-101.3251	[kN]
Sforzo normale sul piano di posa della fondazione	1989.0804	[kN]
Sforzo tangenziale sul piano di posa della fondazione	600.2962	[kN]
Eccentricità rispetto al baricentro della fondazione	0.27	[m]
Lunghezza fondazione reagente	9.35	[m]
Risultante in fondazione	2077.6902	[kN]
Inclinazione della risultante (rispetto alla normale)	16.79	[°]
Momento rispetto al baricentro della fondazione	546.6173	[kNm]

PV_D_SR_AP_MU_3_F_005-_001_N_001_R_A_0

Muro MU.3F.05.N – Relazione di Calcolo

Carico ultimo della fondazione

21436.9282 [kN]

Sollecitazioni paramentoCombinazione n° 11

L'ordinata Y (espressa in m) è considerata positiva verso il basso con origine in testa al muro

Momento positivo se tende le fibre contro terra (a monte), espresso in kNm

Sforzo normale positivo di compressione, espresso in kN

Taglio positivo se diretto da monte verso valle, espresso in kN

Nr.	Y	N	M	T
1	0.00	0.0000	0.0000	0.0000
2	0.28	3.5687	0.0252	0.7046
3	0.55	12.0431	0.2496	13.6195
4	0.83	28.2673	5.2276	45.8231
5	1.10	37.6269	19.0829	60.9411
6	1.38	41.3605	35.8871	62.0561
7	1.65	45.6962	53.0570	64.6698
8	1.93	50.4052	70.9935	68.2126
9	2.20	55.4932	89.9252	72.6989
10	2.48	61.1291	110.1429	78.5488
11	2.75	67.1065	132.0121	85.2485
12	3.03	73.4754	155.7618	92.9227
13	3.30	80.0226	181.6465	101.0408
14	3.58	86.8618	209.7730	109.8855
15	3.85	94.1391	240.3731	119.8207
16	4.13	101.7747	273.7524	130.6478
17	4.40	109.4913	310.1248	141.6763
18	4.68	117.4142	349.5303	153.2184
19	4.95	125.7014	392.1443	165.6671
20	5.23	134.2736	438.2221	178.8255
21	5.50	142.7977	487.9304	191.8638

Armature e tensioni nei materiali del muroCombinazione n° 11

L'ordinata Y (espressa in [m]) è considerata positiva verso il basso con origine in testa al muro

B base della sezione espressa in [m]

H altezza della sezione espressa in [m]

A_{fs} area di armatura in corrispondenza del lembo di monte in [mq]A_{fi} area di armatura in corrispondenza del lembo di valle in [mq]N_u sforzo normale ultimo espresso in [kN]M_u momento ultimo espresso in [kNm]

CS coefficiente sicurezza sezione

V_{Rcd} Aliquota di taglio assorbito dal cls, espresso in [kN]V_{Rsd} Aliquota di taglio assorbito dall'armatura, espresso in [kN]

VRd Resistenza al taglio, espresso in [kN]

Nr.	Y	B, H	A _{fs}	A _{fi}	N _u	M _u	CS	V _{Rd}	V _{Rcd}	V _{Rsd}
1	0.00	1.00, 0.500	0.0036600	0.001005	0.00	0.00	1000.00	246.38	--	--
2	0.28	1.00, 0.500	0.0036600	0.001005	7842.96	-55.34	2197.72	246.87	--	--
3	0.55	1.00, 0.500	0.0036600	0.001005	7558.44	-156.64	627.61	248.04	--	--
4	0.83	1.00, 0.500	0.0036600	0.001005	3886.61	-718.77	137.49	250.28	--	--
5	1.10	1.00, 0.500	0.0036600	0.001005	1599.28	-811.09	42.50	251.57	--	--
6	1.38	1.00, 0.500	0.0036600	0.001005	839.37	-728.30	20.29	252.09	--	--
7	1.65	1.00, 0.500	0.0036600	0.001005	596.13	-692.15	13.05	252.68	--	--
8	1.93	1.00, 0.500	0.0036600	0.001005	479.08	-674.76	9.50	253.33	--	--
9	2.20	1.00, 0.500	0.0036600	0.001005	410.07	-664.51	7.39	254.04	--	--
10	2.48	1.00, 0.500	0.0036600	0.001005	365.09	-657.83	5.97	254.81	--	--
11	2.75	1.00, 0.500	0.0036600	0.001005	331.89	-652.89	4.95	255.64	--	--
12	3.03	1.00, 0.500	0.0036600	0.001005	306.18	-649.07	4.17	256.52	--	--
13	3.30	1.00, 0.500	0.0036600	0.001005	284.53	-645.86	3.56	257.42	--	--
14	3.58	1.00, 0.500	0.0036600	0.001005	266.31	-643.15	3.07	258.37	--	--

Muro MU.3F.05.N – Relazione di Calcolo

15	3.85	1.00, 0.500.0036600.001005	250.99	-640.87	2.67	259.37	--	--
16	4.13	1.00, 0.500.0036600.001005	237.52	-638.87	2.33	260.42	--	--
17	4.40	1.00, 0.500.0036600.001005	224.90	-637.00	2.05	261.49	--	--
18	4.68	1.00, 0.500.0036600.001005	213.41	-635.29	1.82	262.58	--	--
19	4.95	1.00, 0.500.0036600.001005	203.15	-633.77	1.62	263.73	--	--
20	5.23	1.00, 0.500.0036600.001005	193.76	-632.37	1.44	264.91	--	--
21	5.50	1.00, 0.500.0036600.001005	184.67	-631.02	1.29	266.08	--	--

COMBINAZIONE n° 12

Valore della spinta statica	360.2661	[kN]						
Componente orizzontale della spinta statica	309.0765	[kN]						
Componente verticale della spinta statica	185.1037	[kN]						
Punto d'applicazione della spinta	X = 8.35	[m]				Y = -3.06	[m]	
Inclinaz. della spinta rispetto alla normale alla superficie	30.92	[°]						
Inclinazione linea di rottura in condizioni statiche	55.63	[°]						
Incremento sismico della spinta	88.9058	[kN]						
Punto d'applicazione dell'incremento sismico di spinta	X = 8.35	[m]				Y = -3.06	[m]	
Inclinazione linea di rottura in condizioni sismiche	49.31	[°]						
Peso terrapieno gravante sulla fondazione a monte	1152.3226	[kN]						
Baricentro terrapieno gravante sulla fondazione a monte	X = 4.62	[m]				Y = -1.74	[m]	
Inerzia del muro	53.8449	[kN]						
Inerzia verticale del muro	-26.9224	[kN]						
Inerzia del terrapieno fondazione di monte	126.7552	[kN]						
Inerzia verticale del terrapieno fondazione di monte	-63.3776	[kN]						

Risultanti

Risultante dei carichi applicati in dir. orizzontale	566.6099	[kN]						
Risultante dei carichi applicati in dir. verticale	1788.3058	[kN]						
Resistenza passiva a valle del muro	-101.3251	[kN]						
Sforzo normale sul piano di posa della fondazione	1788.3058	[kN]						
Sforzo tangenziale sul piano di posa della fondazione	566.6099	[kN]						
Eccentricità rispetto al baricentro della fondazione	0.33	[m]						
Lunghezza fondazione reagente	9.35	[m]						
Risultante in fondazione	1875.9223	[kN]						
Inclinazione della risultante (rispetto alla normale)	17.58	[°]						
Momento rispetto al baricentro della fondazione	588.3635	[kNm]						
Carico ultimo della fondazione	20211.2428	[kN]						

Sollecitazioni paramentoCombinazione n° 12

L'ordinata Y (espressa in m) è considerata positiva verso il basso con origine in testa al muro

Momento positivo se tende le fibre contro terra (a monte), espresso in kNm

Sforzo normale positivo di compressione, espresso in kN

Taglio positivo se diretto da monte verso valle, espresso in kN

Nr.	Y	N	M	T
1	0.00	0.0000	0.0000	0.0000
2	0.28	3.5568	0.0276	0.6750
3	0.55	11.5738	0.2458	12.4514
4	0.83	26.6369	4.7954	41.7651
5	1.10	35.4587	17.4256	55.5446
6	1.38	39.1654	32.7463	56.5926
7	1.65	43.4195	48.4090	59.0033
8	1.93	48.0131	64.7781	62.2588
9	2.20	52.9512	82.0615	66.3720
10	2.48	58.3875	100.5236	71.7250
11	2.75	64.1343	120.4966	77.8507

Muro MU.3F.05.N – Relazione di Calcolo

12	3.03	70.2370	142.1888	84.8624
13	3.30	76.5018	165.8316	92.2776
14	3.58	83.0321	191.5220	100.3535
15	3.85	89.9607	219.4709	109.4208
16	4.13	97.2151	249.9560	119.2991
17	4.40	104.5431	283.1720	129.3605
18	4.68	112.0587	319.1550	139.8889
19	4.95	119.9055	358.0645	151.2415
20	5.23	128.0115	400.1329	163.2393
21	5.50	136.0736	445.5114	175.1280

Armature e tensioni nei materiali del muro

Combinazione n° 12

L'ordinata Y (espressa in [m]) è considerata positiva verso il basso con origine in testa al muro

B	base della sezione espressa in [m]
H	altezza della sezione espressa in [m]
A _{fs}	area di armatura in corrispondenza del lembo di monte in [mq]
A _{fi}	area di armatura in corrispondenza del lembo di valle in [mq]
N _u	sforzo normale ultimo espresso in [kN]
M _u	momento ultimo espresso in [kNm]
CS	coefficiente sicurezza sezione
V _{Rcd}	Aliquota di taglio assorbito dal cls, espresso in [kN]
V _{Rsd}	Aliquota di taglio assorbito dall'armatura, espresso in [kN]
V _{Rd}	Resistenza al taglio, espresso in [kN]

Nr.	Y	B, H	A _{fs}	A _{fi}	N _u	M _u	CS	V _{Rd}	V _{Rcd}	V _{Rsd}
1	0.00	1.00, 0.500	0.0036600	0.001005	0.00	0.00	1000.00	246.38	--	--
2	0.28	1.00, 0.500	0.0036600	0.001005	7827.70	-60.78	2200.79	246.87	--	--
3	0.55	1.00, 0.500	0.0036600	0.001005	7548.15	-160.31	652.17	247.98	--	--
4	0.83	1.00, 0.500	0.0036600	0.001005	3950.90	-711.28	148.32	250.05	--	--
5	1.10	1.00, 0.500	0.0036600	0.001005	1657.15	-814.38	46.73	251.27	--	--
6	1.38	1.00, 0.500	0.0036600	0.001005	877.91	-734.02	22.42	251.78	--	--
7	1.65	1.00, 0.500	0.0036600	0.001005	624.61	-696.39	14.39	252.37	--	--
8	1.93	1.00, 0.500	0.0036600	0.001005	502.73	-678.28	10.47	253.00	--	--
9	2.20	1.00, 0.500	0.0036600	0.001005	430.77	-667.59	8.14	253.69	--	--
10	2.48	1.00, 0.500	0.0036600	0.001005	383.69	-660.59	6.57	254.44	--	--
11	2.75	1.00, 0.500	0.0036600	0.001005	348.84	-655.41	5.44	255.23	--	--
12	3.03	1.00, 0.500	0.0036600	0.001005	321.77	-651.39	4.58	256.07	--	--
13	3.30	1.00, 0.500	0.0036600	0.001005	298.94	-648.00	3.91	256.94	--	--
14	3.58	1.00, 0.500	0.0036600	0.001005	279.69	-645.14	3.37	257.84	--	--
15	3.85	1.00, 0.500	0.0036600	0.001005	263.45	-642.73	2.93	258.79	--	--
16	4.13	1.00, 0.500	0.0036600	0.001005	249.15	-640.60	2.56	259.79	--	--
17	4.40	1.00, 0.500	0.0036600	0.001005	235.77	-638.61	2.26	260.81	--	--
18	4.68	1.00, 0.500	0.0036600	0.001005	223.59	-636.80	2.00	261.84	--	--
19	4.95	1.00, 0.500	0.0036600	0.001005	212.71	-635.19	1.77	262.93	--	--
20	5.23	1.00, 0.500	0.0036600	0.001005	202.74	-633.70	1.58	264.04	--	--
21	5.50	1.00, 0.500	0.0036600	0.001005	193.12	-632.28	1.42	265.16	--	--

COMBINAZIONE n° 13

Valore della spinta statica	360.2661	[kN]		
Componente orizzontale della spinta statica	309.0765	[kN]		
Componente verticale della spinta statica	185.1037	[kN]		
Punto d'applicazione della spinta	X = 8.35	[m]	Y = -3.06	[m]
Inclinaz. della spinta rispetto alla normale alla superficie	30.92	[°]		
Inclinazione linea di rottura in condizioni statiche	55.63	[°]		
Incremento sismico della spinta	128.1713	[kN]		
Punto d'applicazione dell'incremento sismico di spinta	X = 8.35	[m]	Y = -3.06	[m]
Inclinazione linea di rottura in condizioni sismiche	50.00	[°]		
Peso terrapieno gravante sulla fondazione a monte	1152.3226	[kN]		
PV_D_SR_AP_MU_3_F_005-_001_N_001_R_A_0				

Muro MU.3F.05.N – Relazione di Calcolo

Baricentro terrapieno gravante sulla fondazione a monte	X = 4.62	[m]	Y = -1.74	[m]
Inerzia del muro	53.8449	[kN]		
Inerzia verticale del muro	26.9224	[kN]		
Inerzia del terrapieno fondazione di monte	126.7552	[kN]		
Inerzia verticale del terrapieno fondazione di monte	63.3776	[kN]		

Risultanti

Risultante dei carichi applicati in dir. orizzontale	600.2962	[kN]		
Risultante dei carichi applicati in dir. verticale	1989.0804	[kN]		
Resistenza passiva a valle del muro	-101.3251	[kN]		
Momento ribaltante rispetto allo spigolo a valle	2559.9978	[kNm]		
Momento stabilizzante rispetto allo spigolo a valle	11312.3313	[kNm]		
Sforzo normale sul piano di posa della fondazione	1989.0804	[kN]		
Sforzo tangenziale sul piano di posa della fondazione	600.2962	[kN]		
Eccentricità rispetto al baricentro della fondazione	0.27	[m]		
Lunghezza fondazione reagente	9.35	[m]		
Risultante in fondazione	2077.6902	[kN]		
Inclinazione della risultante (rispetto alla normale)	16.79	[°]		
Momento rispetto al baricentro della fondazione	546.6173	[kNm]		

COMBINAZIONE n° 14

Valore della spinta statica	360.2661	[kN]		
Componente orizzontale della spinta statica	309.0765	[kN]		
Componente verticale della spinta statica	185.1037	[kN]		
Punto d'applicazione della spinta	X = 8.35	[m]	Y = -3.06	[m]
Inclinaz. della spinta rispetto alla normale alla superficie	30.92	[°]		
Inclinazione linea di rottura in condizioni statiche	55.63	[°]		
Incremento sismico della spinta	88.9058	[kN]		
Punto d'applicazione dell'incremento sismico di spinta	X = 8.35	[m]	Y = -3.06	[m]
Inclinazione linea di rottura in condizioni sismiche	49.31	[°]		
Peso terrapieno gravante sulla fondazione a monte	1152.3226	[kN]		
Baricentro terrapieno gravante sulla fondazione a monte	X = 4.62	[m]	Y = -1.74	[m]
Inerzia del muro	53.8449	[kN]		
Inerzia verticale del muro	-26.9224	[kN]		
Inerzia del terrapieno fondazione di monte	126.7552	[kN]		
Inerzia verticale del terrapieno fondazione di monte	-63.3776	[kN]		

Risultanti

Risultante dei carichi applicati in dir. orizzontale	566.6099	[kN]		
Risultante dei carichi applicati in dir. verticale	1788.3058	[kN]		
Resistenza passiva a valle del muro	-101.3251	[kN]		
Momento ribaltante rispetto allo spigolo a valle	2884.3974	[kNm]		
Momento stabilizzante rispetto allo spigolo a valle	10656.3638	[kNm]		
Sforzo normale sul piano di posa della fondazione	1788.3058	[kN]		
Sforzo tangenziale sul piano di posa della fondazione	566.6099	[kN]		
Eccentricità rispetto al baricentro della fondazione	0.33	[m]		
Lunghezza fondazione reagente	9.35	[m]		
Risultante in fondazione	1875.9223	[kN]		
Inclinazione della risultante (rispetto alla normale)	17.58	[°]		
Momento rispetto al baricentro della fondazione	588.3635	[kNm]		

Sollecitazioni paramentoCombinazione n° 17

L'ordinata Y (espressa in m) è considerata positiva verso il basso con origine in testa al muro

Momento positivo se tende le fibre contro terra (a monte), espresso in kNm

Sforzo normale positivo di compressione, espresso in kN

Taglio positivo se diretto da monte verso valle, espresso in kN

PV_D_SR_AP_MU_3_F_005-_001_N_001_R_A_0

Muro MU.3F.05.N – Relazione di Calcolo

Nr.	Y	N	M	T
1	0.00	0.0000	6.0000	3.0000
2	0.28	3.4376	6.8250	3.0002
3	0.55	7.9065	7.4680	5.0540
4	0.83	20.4441	8.8935	23.1738
5	1.10	29.6543	15.8979	34.6680
6	1.38	33.0918	25.4316	34.6680
7	1.65	36.5360	34.9641	34.6815
8	1.93	40.0822	44.4949	34.8978
9	2.20	43.9793	54.0778	35.8130
10	2.48	48.4251	63.9272	37.8206
11	2.75	53.1939	74.3461	40.4714
12	3.03	58.3380	85.5047	43.8696
13	3.30	63.6273	97.6083	47.5569
14	3.58	69.1834	110.7170	51.7753
15	3.85	75.1628	124.9968	56.8366
16	4.13	81.4795	140.6884	62.5696
17	4.40	87.8368	157.9645	68.3834
18	4.68	94.3694	176.8275	74.5463
19	4.95	101.2466	197.3942	81.3953
20	5.23	108.3845	219.8626	88.7633
21	5.50	115.4344	244.3682	95.9562

Armature e tensioni nei materiali del muro

Combinazione n° 17

L'ordinata Y (espressa in [m]) è considerata positiva verso il basso con origine in testa al muro

B	base della sezione espressa in [m]
H	altezza della sezione espressa in [m]
A _{fs}	area di armatura in corrispondenza del lembo di monte in [mq]
A _{fi}	area di armatura in corrispondenza del lembo di valle in [mq]
σ _c	tensione nel calcestruzzo espressa in [MPa]
τ _c	tensione tangenziale nel calcestruzzo espressa in [MPa]
σ _{fs}	tensione nell'armatura disposta sul lembo di monte in [MPa]
σ _{fi}	tensione nell'armatura disposta sul lembo di valle in [MPa]

Nr.	Y	B, H	A _{fs}	A _{fi}	σ _c	τ _c	σ _{fs}	σ _{fi}
1	0.00	1.00, 0.500	0.0036600	0.001005	0.155	0.008	4.038	-1.769
2	0.28	1.00, 0.500	0.0036600	0.001005	0.183	0.008	4.194	-2.140
3	0.55	1.00, 0.500	0.0036600	0.001005	0.207	0.013	4.124	-2.481
4	0.83	1.00, 0.500	0.0036600	0.001005	0.263	0.059	3.766	-3.274
5	1.10	1.00, 0.500	0.0036600	0.001005	0.461	0.089	7.420	-5.666
6	1.38	1.00, 0.500	0.0036600	0.001005	0.716	0.089	13.374	-8.643
7	1.65	1.00, 0.500	0.0036600	0.001005	0.970	0.089	19.361	-11.602
8	1.93	1.00, 0.500	0.0036600	0.001005	1.224	0.089	25.347	-14.556
9	2.20	1.00, 0.500	0.0036600	0.001005	1.479	0.092	31.334	-17.533
10	2.48	1.00, 0.500	0.0036600	0.001005	1.742	0.097	37.440	-20.607
11	2.75	1.00, 0.500	0.0036600	0.001005	2.021	0.104	43.894	-23.859
12	3.03	1.00, 0.500	0.0036600	0.001005	2.319	0.112	50.802	-27.343
13	3.30	1.00, 0.500	0.0036600	0.001005	2.642	0.122	58.329	-31.112
14	3.58	1.00, 0.500	0.0036600	0.001005	2.991	0.132	66.502	-35.187
15	3.85	1.00, 0.500	0.0036600	0.001005	3.372	0.145	75.413	-39.623
16	4.13	1.00, 0.500	0.0036600	0.001005	3.790	0.160	85.235	-44.488
17	4.40	1.00, 0.500	0.0036600	0.001005	4.248	0.175	96.117	-49.824
18	4.68	1.00, 0.500	0.0036600	0.001005	4.748	0.191	108.046	-55.634
19	4.95	1.00, 0.500	0.0036600	0.001005	5.293	0.208	121.081	-61.961
20	5.23	1.00, 0.500	0.0036600	0.001005	5.887	0.227	135.365	-68.858
21	5.50	1.00, 0.500	0.0036600	0.001005	6.534	0.245	151.029	-76.354

Verifiche a fessurazione

PV_D_SR_AP_MU_3_F_005-_001_N_001_R_A_0

Muro MU.3F.05.N – Relazione di CalcoloCombinazione n° 17

L'ordinata Y (espressa in [m]) è considerata positiva verso il basso con origine in testa al muro

A_{fs}	area di armatura in corrispondenza del lembo di monte in [mq]
A_{fi}	area di armatura in corrispondenza del lembo di valle in [mq]
M_{pf}	Momento di prima fessurazione espressa in [kNm]
M	Momento agente nella sezione espressa in [kNm]
ϵ_m	deformazione media espressa in [%]
s_m	Distanza media tra le fessure espressa in [mm]
w	Apertura media della fessura espressa in [mm]

Verifica fessurazione paramento

N°	Y	A_{fs}	A_{fi}	M_{pf}	M	ϵ_m	s_m	w
1	0.00	0.003660	0.001005	-78.08	-6.00	0.0000	0.00	0.000
2	0.28	0.003660	0.001005	-78.08	-6.82	0.0000	0.00	0.000
3	0.55	0.003660	0.001005	-78.08	-7.47	0.0000	0.00	0.000
4	0.83	0.003660	0.001005	-78.08	-8.89	0.0000	0.00	0.000
5	1.10	0.003660	0.001005	-78.08	-15.90	0.0000	0.00	0.000
6	1.38	0.003660	0.001005	-78.08	-25.43	0.0000	0.00	0.000
7	1.65	0.003660	0.001005	-78.08	-34.96	0.0000	0.00	0.000
8	1.93	0.003660	0.001005	-78.08	-44.49	0.0000	0.00	0.000
9	2.20	0.003660	0.001005	-78.08	-54.08	0.0000	0.00	0.000
10	2.48	0.003660	0.001005	-78.08	-63.93	0.0000	0.00	0.000
11	2.75	0.003660	0.001005	-78.08	-74.35	0.0000	0.00	0.000
12	3.03	0.003660	0.001005	-78.08	-85.50	0.0148	103.47	0.026
13	3.30	0.003660	0.001005	-78.08	-97.61	0.0176	103.47	0.031
14	3.58	0.003660	0.001005	-78.08	-110.72	0.0229	103.47	0.040
15	3.85	0.003660	0.001005	-78.08	-125.00	0.0283	103.47	0.050
16	4.13	0.003660	0.001005	-78.08	-140.69	0.0340	103.47	0.060
17	4.40	0.003660	0.001005	-78.08	-157.96	0.0401	103.47	0.071
18	4.68	0.003660	0.001005	-78.08	-176.83	0.0467	103.47	0.082
19	4.95	0.003660	0.001005	-78.08	-197.39	0.0536	103.47	0.094
20	5.23	0.003660	0.001005	-78.08	-219.86	0.0611	103.47	0.107
21	5.50	0.003660	0.001005	-78.08	-244.37	0.0692	103.47	0.122

Sollecitazioni paramentoCombinazione n° 18

L'ordinata Y (espressa in m) è considerata positiva verso il basso con origine in testa al muro

Momento positivo se tende le fibre contro terra (a monte), espresso in kNm

Sforzo normale positivo di compressione, espresso in kN

Taglio positivo se diretto da monte verso valle, espresso in kN

Nr.	Y	N	M	T
1	0.00	0.0000	6.0000	3.0000
2	0.28	3.4376	6.8250	3.0002
3	0.55	7.9065	7.4680	5.0540
4	0.83	20.4441	8.8935	23.1738
5	1.10	29.6543	15.8979	34.6680
6	1.38	33.0918	25.4316	34.6680
7	1.65	36.5360	34.9641	34.6815
8	1.93	40.0822	44.4949	34.8978
9	2.20	43.9793	54.0778	35.8130
10	2.48	48.4251	63.9272	37.8206
11	2.75	53.1939	74.3461	40.4714
12	3.03	58.3380	85.5047	43.8696
13	3.30	63.6273	97.6083	47.5569
14	3.58	69.1834	110.7170	51.7753
15	3.85	75.1628	124.9968	56.8366
16	4.13	81.4795	140.6884	62.5696
17	4.40	87.8368	157.9645	68.3834
18	4.68	94.3694	176.8275	74.5463
19	4.95	101.2466	197.3942	81.3953

PV_D_SR_AP_MU_3_F_005-_001_N_001_R_A_0

Muro MU.3F.05.N – Relazione di Calcolo

20	5.23	108.3845	219.8626	88.7633
21	5.50	115.4344	244.3682	95.9562

Armature e tensioni nei materiali del muroCombinazione n° 18

L'ordinata Y (espressa in [m]) è considerata positiva verso il basso con origine in testa al muro

B	base della sezione espressa in [m]
H	altezza della sezione espressa in [m]
A _{fs}	area di armatura in corrispondenza del lembo di monte in [mq]
A _{fi}	area di armatura in corrispondenza del lembo di valle in [mq]
σ _c	tensione nel calcestruzzo espressa in [MPa]
τ _c	tensione tangenziale nel calcestruzzo espressa in [MPa]
σ _{fs}	tensione nell'armatura disposta sul lembo di monte in [MPa]
σ _{fi}	tensione nell'armatura disposta sul lembo di valle in [MPa]

Nr.	Y	B, H	A _{fs}	A _{fi}	σ _c	τ _c	σ _{fs}	σ _{fi}
1	0.00	1.00, 0.500	0.0036600	0.001005	0.155	0.008	4.038	-1.769
2	0.28	1.00, 0.500	0.0036600	0.001005	0.183	0.008	4.194	-2.140
3	0.55	1.00, 0.500	0.0036600	0.001005	0.207	0.013	4.124	-2.481
4	0.83	1.00, 0.500	0.0036600	0.001005	0.263	0.059	3.766	-3.274
5	1.10	1.00, 0.500	0.0036600	0.001005	0.461	0.089	7.420	-5.666
6	1.38	1.00, 0.500	0.0036600	0.001005	0.716	0.089	13.374	-8.643
7	1.65	1.00, 0.500	0.0036600	0.001005	0.970	0.089	19.361	-11.602
8	1.93	1.00, 0.500	0.0036600	0.001005	1.224	0.089	25.347	-14.556
9	2.20	1.00, 0.500	0.0036600	0.001005	1.479	0.092	31.334	-17.533
10	2.48	1.00, 0.500	0.0036600	0.001005	1.742	0.097	37.440	-20.607
11	2.75	1.00, 0.500	0.0036600	0.001005	2.021	0.104	43.894	-23.859
12	3.03	1.00, 0.500	0.0036600	0.001005	2.319	0.112	50.802	-27.343
13	3.30	1.00, 0.500	0.0036600	0.001005	2.642	0.122	58.329	-31.112
14	3.58	1.00, 0.500	0.0036600	0.001005	2.991	0.132	66.502	-35.187
15	3.85	1.00, 0.500	0.0036600	0.001005	3.372	0.145	75.413	-39.623
16	4.13	1.00, 0.500	0.0036600	0.001005	3.790	0.160	85.235	-44.488
17	4.40	1.00, 0.500	0.0036600	0.001005	4.248	0.175	96.117	-49.824
18	4.68	1.00, 0.500	0.0036600	0.001005	4.748	0.191	108.046	-55.634
19	4.95	1.00, 0.500	0.0036600	0.001005	5.293	0.208	121.081	-61.961
20	5.23	1.00, 0.500	0.0036600	0.001005	5.887	0.227	135.365	-68.858
21	5.50	1.00, 0.500	0.0036600	0.001005	6.534	0.245	151.029	-76.354

Verifiche a fessurazioneCombinazione n° 18

L'ordinata Y (espressa in [m]) è considerata positiva verso il basso con origine in testa al muro

A _{fs}	area di armatura in corrispondenza del lembo di monte in [mq]
A _{fi}	area di armatura in corrispondenza del lembo di valle in [mq]
M _{pf}	Momento di prima fessurazione espressa in [kNm]
M	Momento agente nella sezione espressa in [kNm]
ε _m	deformazione media espressa in [%]
s _m	Distanza media tra le fessure espressa in [mm]
w	Apertura media della fessura espressa in [mm]

Verifica fessurazione paramento

N°	Y	A _{fs}	A _{fi}	M _{pf}	M	ε _m	s _m	w
1	0.00	0.003660	0.001005	-78.08	-6.00	0.0000	0.00	0.000
2	0.28	0.003660	0.001005	-78.08	-6.82	0.0000	0.00	0.000
3	0.55	0.003660	0.001005	-78.08	-7.47	0.0000	0.00	0.000
4	0.83	0.003660	0.001005	-78.08	-8.89	0.0000	0.00	0.000
5	1.10	0.003660	0.001005	-78.08	-15.90	0.0000	0.00	0.000
6	1.38	0.003660	0.001005	-78.08	-25.43	0.0000	0.00	0.000
7	1.65	0.003660	0.001005	-78.08	-34.96	0.0000	0.00	0.000
8	1.93	0.003660	0.001005	-78.08	-44.49	0.0000	0.00	0.000
9	2.20	0.003660	0.001005	-78.08	-54.08	0.0000	0.00	0.000

PV_D_SR_AP_MU_3_F_005-_001_N_001_R_A_0

Muro MU.3F.05.N – Relazione di Calcolo

10	2.48	0.003660	0.001005	-78.08	-63.93	0.0000	0.00	0.000
11	2.75	0.003660	0.001005	-78.08	-74.35	0.0000	0.00	0.000
12	3.03	0.003660	0.001005	-78.08	-85.50	0.0148	103.47	0.026
13	3.30	0.003660	0.001005	-78.08	-97.61	0.0176	103.47	0.031
14	3.58	0.003660	0.001005	-78.08	-110.72	0.0229	103.47	0.040
15	3.85	0.003660	0.001005	-78.08	-125.00	0.0283	103.47	0.050
16	4.13	0.003660	0.001005	-78.08	-140.69	0.0340	103.47	0.060
17	4.40	0.003660	0.001005	-78.08	-157.96	0.0401	103.47	0.071
18	4.68	0.003660	0.001005	-78.08	-176.83	0.0467	103.47	0.082
19	4.95	0.003660	0.001005	-78.08	-197.39	0.0536	103.47	0.094
20	5.23	0.003660	0.001005	-78.08	-219.86	0.0611	103.47	0.107
21	5.50	0.003660	0.001005	-78.08	-244.37	0.0692	103.47	0.122

Sollecitazioni paramento

Combinazione n° 19

L'ordinata Y (espressa in m) è considerata positiva verso il basso con origine in testa al muro

Momento positivo se tende le fibre contro terra (a monte), espresso in kNm

Sforzo normale positivo di compressione, espresso in kN

Taglio positivo se diretto da monte verso valle, espresso in kN

Nr.	Y	N	M	T
1	0.00	0.0000	6.0000	3.0000
2	0.28	3.4376	6.8250	3.0002
3	0.55	7.9065	7.4680	5.0540
4	0.83	20.4441	8.8935	23.1738
5	1.10	29.6543	15.8979	34.6680
6	1.38	33.0918	25.4316	34.6680
7	1.65	36.5360	34.9641	34.6815
8	1.93	40.0822	44.4949	34.8978
9	2.20	43.9793	54.0778	35.8130
10	2.48	48.4251	63.9272	37.8206
11	2.75	53.1939	74.3461	40.4714
12	3.03	58.3380	85.5047	43.8696
13	3.30	63.6273	97.6083	47.5569
14	3.58	69.1834	110.7170	51.7753
15	3.85	75.1628	124.9968	56.8366
16	4.13	81.4795	140.6884	62.5696
17	4.40	87.8368	157.9645	68.3834
18	4.68	94.3694	176.8275	74.5463
19	4.95	101.2466	197.3942	81.3953
20	5.23	108.3845	219.8626	88.7633
21	5.50	115.4344	244.3682	95.9562

Armature e tensioni nei materiali del muro

Combinazione n° 19

L'ordinata Y (espressa in [m]) è considerata positiva verso il basso con origine in testa al muro

B base della sezione espressa in [m]

H altezza della sezione espressa in [m]

A_{fs} area di armatura in corrispondenza del lembo di monte in [mq]

A_{fi} area di armatura in corrispondenza del lembo di valle in [mq]

σ_c tensione nel calcestruzzo espressa in [MPa]

τ_c tensione tangenziale nel calcestruzzo espressa in [MPa]

σ_{fs} tensione nell'armatura disposta sul lembo di monte in [MPa]

σ_{fi} tensione nell'armatura disposta sul lembo di valle in [MPa]

Nr.	Y	B, H	A _{fs}	A _{fi}	σ _c	τ _c	σ _{fs}	σ _{fi}
1	0.00	1.00, 0.500	0.003660	0.001005	0.155	0.008	4.038	-1.769
2	0.28	1.00, 0.500	0.003660	0.001005	0.183	0.008	4.194	-2.140
3	0.55	1.00, 0.500	0.003660	0.001005	0.207	0.013	4.124	-2.481
4	0.83	1.00, 0.500	0.003660	0.001005	0.263	0.059	3.766	-3.274

Muro MU.3F.05.N – Relazione di Calcolo

5	1.10	1.00, 0.500.0036600.001005	0.461	0.089	7.420	-5.666
6	1.38	1.00, 0.500.0036600.001005	0.716	0.089	13.374	-8.643
7	1.65	1.00, 0.500.0036600.001005	0.970	0.089	19.361	-11.602
8	1.93	1.00, 0.500.0036600.001005	1.224	0.089	25.347	-14.556
9	2.20	1.00, 0.500.0036600.001005	1.479	0.092	31.334	-17.533
10	2.48	1.00, 0.500.0036600.001005	1.742	0.097	37.440	-20.607
11	2.75	1.00, 0.500.0036600.001005	2.021	0.104	43.894	-23.859
12	3.03	1.00, 0.500.0036600.001005	2.319	0.112	50.802	-27.343
13	3.30	1.00, 0.500.0036600.001005	2.642	0.122	58.329	-31.112
14	3.58	1.00, 0.500.0036600.001005	2.991	0.132	66.502	-35.187
15	3.85	1.00, 0.500.0036600.001005	3.372	0.145	75.413	-39.623
16	4.13	1.00, 0.500.0036600.001005	3.790	0.160	85.235	-44.488
17	4.40	1.00, 0.500.0036600.001005	4.248	0.175	96.117	-49.824
18	4.68	1.00, 0.500.0036600.001005	4.748	0.191	108.046	-55.634
19	4.95	1.00, 0.500.0036600.001005	5.293	0.208	121.081	-61.961
20	5.23	1.00, 0.500.0036600.001005	5.887	0.227	135.365	-68.858
21	5.50	1.00, 0.500.0036600.001005	6.534	0.245	151.029	-76.354

Verifiche a fessurazioneCombinazione n° 19

L'ordinata Y (espressa in [m]) è considerata positiva verso il basso con origine in testa al muro

A_{fs}	area di armatura in corrispondenza del lembo di monte in [mq]
A_{fi}	area di armatura in corrispondenza del lembo di valle in [mq]
M_{pf}	Momento di prima fessurazione espressa in [kNm]
M	Momento agente nella sezione espressa in [kNm]
ϵ_m	deformazione media espressa in [%]
S_m	Distanza media tra le fessure espressa in [mm]
w	Apertura media della fessura espressa in [mm]

Verifica fessurazione paramento

N°	Y	A_{fs}	A_{fi}	M_{pf}	M	ϵ_m	S_m	w
1	0.00	0.003660	0.001005	-78.08	-6.00	0.0000	0.00	0.000
2	0.28	0.003660	0.001005	-78.08	-6.82	0.0000	0.00	0.000
3	0.55	0.003660	0.001005	-78.08	-7.47	0.0000	0.00	0.000
4	0.83	0.003660	0.001005	-78.08	-8.89	0.0000	0.00	0.000
5	1.10	0.003660	0.001005	-78.08	-15.90	0.0000	0.00	0.000
6	1.38	0.003660	0.001005	-78.08	-25.43	0.0000	0.00	0.000
7	1.65	0.003660	0.001005	-78.08	-34.96	0.0000	0.00	0.000
8	1.93	0.003660	0.001005	-78.08	-44.49	0.0000	0.00	0.000
9	2.20	0.003660	0.001005	-78.08	-54.08	0.0000	0.00	0.000
10	2.48	0.003660	0.001005	-78.08	-63.93	0.0000	0.00	0.000
11	2.75	0.003660	0.001005	-78.08	-74.35	0.0000	0.00	0.000
12	3.03	0.003660	0.001005	-78.08	-85.50	0.0148	103.47	0.026
13	3.30	0.003660	0.001005	-78.08	-97.61	0.0176	103.47	0.031
14	3.58	0.003660	0.001005	-78.08	-110.72	0.0229	103.47	0.040
15	3.85	0.003660	0.001005	-78.08	-125.00	0.0283	103.47	0.050
16	4.13	0.003660	0.001005	-78.08	-140.69	0.0340	103.47	0.060
17	4.40	0.003660	0.001005	-78.08	-157.96	0.0401	103.47	0.071
18	4.68	0.003660	0.001005	-78.08	-176.83	0.0467	103.47	0.082
19	4.95	0.003660	0.001005	-78.08	-197.39	0.0536	103.47	0.094
20	5.23	0.003660	0.001005	-78.08	-219.86	0.0611	103.47	0.107
21	5.50	0.003660	0.001005	-78.08	-244.37	0.0692	103.47	0.122